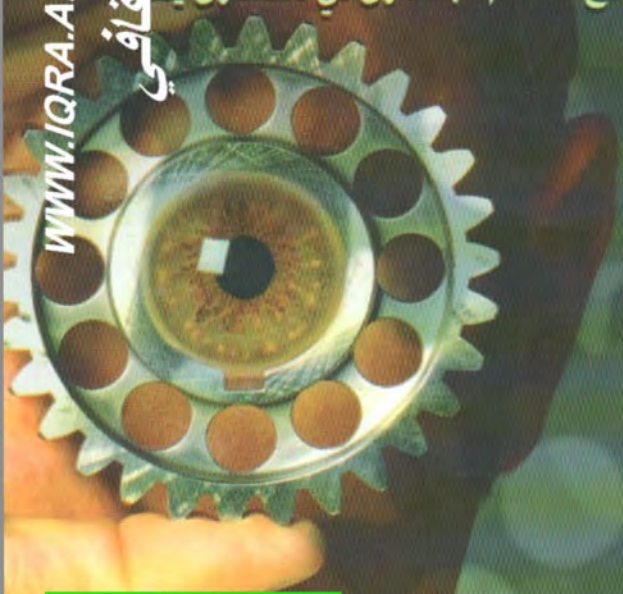


منتدى المهرة
ل منتدى المهرة
أونلاين

دليل المهندس الميكانيكي

المرجع في قوانين الميكانيك والمعادلات لمهندسي القدرة
والإنتاج والتصميم مع أهم الجداول في متناول يدك



إعداد المهندس عبد الكريم البيكو

لتحميل أنواع الكتب راجع: ([منتدي إقرأ الثقافى](#))

پیرای دائمی کتابی‌ای مختلف مراجعه: (منتدى اقرا المقاوم)

بِسْمِ اللَّهِ الرَّحْمَنِ الرَّحِيمِ جُوْرِدَاهَا كِتَابِ سَهْرَدَانِ: (مُفْتَدِي إِقْرَا النَّقَافِ)

www.iqra.ahlamontada.com



www.iqra.ahlamontada.com

لیکتب (کوردی . عربی . فارسی)

■ الطبعة الأولى 2004
■ جميع الحقوق محفوظة
■ الناشر: شعاع للنشر والعلوم
حارة الرباط 2 - المنطقة 12 - حي السبيل 2
تلفاكس : 00963 (21) 2643545
هاتف : 00963 (21) 2643546
سوريا . حلب
ص.ب. 7875

لمزيد من المعلومات ولشراء كتب الدار مباشرة على الانترنت

يرجى زيارة موقعنا <http://www.raypub.com>

البريد الإلكتروني للقراء: nabilray@scs-net.org

البريد الإلكتروني لدور النشر والموزعين: raymail@raypub.com

دليل المهندس الميكانيكي

إعداد المهندس عبد الكريم البيكو

الإهداء

إلى روح أبي الطاهر وأمي المكافحة
أخواتي، أخواتي، أقربائي، أصدقائي
إلى كل من يؤمن بمحمية نهوض هذه الأمة

عبدالكريم البيكر

مقدمة

يجوبي هذا الدليل على أكثر من 2000 معادلة يحتاجها المهندسون الميكانيكيون لتساعدهم على التصميم وحل المسائل والمشاكل التي يواجهوها، وتفيده هذه المعادلات مهندسي التصميم ومهندسي الإنتاج ومهندسي الطاقة والعديد من الاختصاصات المختلفة لمهندسي الميكانيك.

لقد تم إدراج المعادلات في هذا الدليل وفق أحد عشر باباً من أبواب الهندسة الميكانيكية: عوامل التحويل بين جملتي الوحدات USCS و IS (الجملة الدولية)، معادلات الستاتيك والتحرير، معادلات الإجهادات في العناصر الميكانيكية، المحاور ومعادلات المحاور، عناصر الآلات ومعادلات الوثوقية، معادلات تشغيل المعادن، معادلات التدفئة والتهرية والتكييف، معادلات الترموديناميك، معادلات هندسة الطاقة، معادلات هندسة المروانع، الاهتزازات.

لقد أوردنا شرحاً للمتغيرات الداخلية في المعادلة عقب كل معادلة، وأعطيت معظم المعادلات وفق نظامي الوحدات USCS و IS، حيث أوردنا مختلف عوامل التحويل بين هذين النظامين في الفصل الأول.

لقد اعتمدت في تجميع هذا الكتاب على خبرتي العملية والحالات التي أراها هامة أكثر، وتساعد المهندس في حياته العملية وفي تطبيق معادلات الهندسة الميكانيكية.

يستطيع مهندسو الميكانيك - بصرف النظر عن مدى احترافهم - استخدام هذه المعادلات لتساعدهم على إقام أعمالهم على أكمل وجه، مثل تصميم الآلات - التقدير - الاختبار - التعليمات التقنية - التصنيف - الإصلاح إلخ ...

لإيجاد المعادلة المناسبة للحالة التي تواجهها أخي المهندس أبداً أولاً بالفهرس لتحديد

المجال العام للمعادلة، ثم أقرأ النص المكتوب بجانب المعادلة والذي يعطي معلومات عنها، قم بتطبيق المعادلة واستخدم النتائج.

حتى تستم肯 من استخدام هذه المعادلات وفق جملة الوحدات التي تنسكب نصلك بإنشاء قائمة بعوامل التحويل التي تستخدمها بكثرة، ثم اختر الوحدات التي تريد تحويلها من الجملة المستخدمة في المعادلة إلى الجملة التي تريدها، أنشئ جدولًا بهذه الوحدات واستخدمه كـ كان ذلك ضروريًا.

انتبه عزيزي المهندس إلى المعادلات التي تحتوي ثوابت عددية، قم بتحويل هذه الثوابت إلى الجملة التي تريدها، أو  بتجادل النتيجة وفق الجملة الموضوعة فيها المعادلة ثم حول النتيجة إلى جملة الوحدات التي تريده.



عبد الكريم بيكون

حلب 2004/2/15

1

عوامل التحويل إلى الوحدات
في الناظر الدولي

منتدى
الثقافي



الجدول 1.1

نضرب →	إلى	التحويل من
1.233489 E + 03	cubic meter, m ³	acre-foot acre . ft
4.046873 E + 03	square meter, m ²	acre
1.000000 E - 10	meter, m	angstrom, Å
1.013250 E + 05	pascal, Pa	atmosphere, atm (standard)
9.806650 E + 04	pascal, Pa	atmosphere, atm (technical = 1 kgf/cm ²)
1.000000 E + 0.5	pascal, Pa	bar
1.589873 E - 01	cubic meter, m ³	barrel (for petroleum, 42 gal)
2.359737 E - 03	cubic meter, m ³	board foot, board ft
1.05587 E + 03	joule, J	British thermal unit, Btu (mean)
1.442279 E - 01	watt per meter-kelvin, W/(m . K)	British thermal unit, Btu (International Table) . in/(h) (ft ²) (°F) (k, thermal conductivity)
2.930711 E - 01	watt, W	British thermal unit, Btu (International Table)/h
5.678263 E + 00	watt per square meter-kelvin, W/(m ² . K)	British thermal unit, Btu (International Table)/(h) (ft ²) (°F) (C, thermal conductance)
2.326000 E + 03	joule per kilogram, J/kg	British thermal unit, Btu (International Table)/lb
4.186800 E + 03	joule per kilogram-kelvin, J/(kg . K)	British thermal unit, Btu (International Table)/(lb) (°F) (c. heat capacity)
3.725895 E + 04	joule per cubic meter, J/m ³	British thermal unit per cubic foot, Btu (International Table)/ft ³
3.523907 E - 02	cubic meter, m ³	bushel (U.S.)

النضرب →	إلى	التحويل من
4.19002 E + 00	joule, J	calorie (mean)
1.550003 E + 03	candela per square meter, cd/m ²	candela per square inch, cd/in ²
1.33322 E + 03	pascal, Pa	centimeter, cm, of mercury (0°C)
9.80638 E + 01	pascal, Pa	centimeter, cm, of water (4°C)
2.011684 E + 01	meter, m	chain
5.067075 E - 10	square meter, m ²	circular mil
8.640000 E + 04	second, s	day
8.616409 E + 04	second, s	day (sidereal)
1.745329 E - 02	radian, rad	degree (angle)
T _K = t _C + 273.15	kelvin, K	degree Celsius
t _C = (t _F - 32)/1.8	degree Celsius, °C	degree Fahrenheit
T _K = (t _F + 459.67)/1.8	kelvin, K	degree Fahrenheit
T _R = T _K /1.8	kelvin, K	degree Rankine
1.761102 E - 01	kelvin-square meter per watt,	(*F) (h) (ft ²)/Btu
	K . m ² /W	(International Table) (R, thermal resistance)
6.933471 E + 00	kelvin-meter per watt,	(*F) (h) (ft ²)[Btu (International Table) . in] (thermal resistivity)
	K . m/W	
1.000000 E - 05	newton, N	dyne, dyn
1.828804 E + 00	meter, m	fathom
3.048000 E - 01	meter, m	foot, ft
3.048006 E - 01	meter, m	foot, ft (U.S. survey)
2.98898 E + 03	pascal, Pa	foot, ft, of water (39.2°F) (pressure)
9.290304 E - 02	square meter, m ²	square foot, ft ²

نضرب →	إلى	التحويل من
2.580640 E - 05	square meter per second, m ² /s	square foot per hour, ft ² /h (thermal diffusivity)
9.290304 E - 02	square meter per second, m ² /s	square foot per second, ft ² /s
2.831685 E - 02	cubic meter, m ³	cubic foot, ft ³ (volume or section modulus)
4.719474 E - 04	cubic meter per second, m ³ /s	cubic foot per minute, ft ³ /min
2.831685 E - 02	cubic meter per second, m ³ /s	cubic foot per second, ft ³ /s
8.630975 E - 03	meter to fourth power, m ⁴	foot to the fourth power, ft ⁴ (area moment of inertia)
5.080000 E - 03	meter per second, m/s	foot per minute, ft/min
3.048000 E - 01	meter per second, m/s	foot per second, ft/s
3.048000 E - 01	meter per second squared, m/s ²	foot per second squared, ft/s ²
1.076391 E + 01	lux, lx	footcandle, fc
3.426259 E + 00	candela per square meter, cd/m ²	foot-lambert, ft . L
1.355818 E + 00	joule, J	foot-pound force, ft . lbf
2.259697 E - 02	watt, W	foot-pound force per minute, ft . lbf/min
1.355818 E + 00	watt, W	foot-pound force per second, ft . lbf/s
4.214011 E - 02	joule, J	foot poundal, ft poundal
9.806650 E + 00	meter per second squared, m/s ²	free fall, standard g
4.546090 E - 03	cubic meter, m ³	gallon, gal (Canadian liquid)
4.546092 E - 03	cubic meter, m ³	gallon, gal (U.K. liquid)
4.404884 E - 03	cubic meter, m ³	gallon, gal (U.S. dry)

نضرب →	إلى	للتحويل من
3.785412 E - 03	cubic meter, m ³	gallon, gal (U.S. liquid)
4.381264 E - 08	cubic meter per second, m ³ /s	gallon, gal (U.S. liquid) per day
6.309020 E - 05	cubic meter per second, m ³ /s	gallon, gal (U.S. liquid) per minute
9.000000 E - 01	degree (angular)	grad
1.570796 E - 02	radian, rad	grad
6.479891 E - 05	kilogram, kg	grain, gr
1.000000† E - 03	kilogram, kg	gram, g
1.000000† E + 04	square meter, m ²	hectare, ha
7.456999 E + 02	watt, W	horsepower, hp (550 ft . lbf/s)
9.80950 E + 03	watt, W	horsepower, hp (boiler)
7.460000 E + 02	watt, W	horsepower, hp (electric)
7.46043 E + 02	watt, W	horsepower, hp (water)
7.4570 E + 02	watt, W	horsepower, hp (U.K.)
3.600000 E + 03	second, s	hour, h
3.590170 E + 03	second, s	hour, h (sidereal)
2.540000 E - 02	meter, m	inch, in
3.38638 E + 03	pascal, Pa	inch of mercury, inHg (32°F) (pressure)
2.4884 E + 02	pascal, Pa	inch of water, inH ₂ O (60°F) (pressure)
3.37685 E + 03		inch of mercury, in Hg (60°F) (pressure)
6.451600 E - 04	square meter, m ²	square inch, in ²
6.451600 E - 05	cubic meter, m ³	cubic inch, in ³ (volume or section modulus)

للتوصيل من	إلى	نضرب في
inch to the fourth power, in ⁴ (area moment of inertia)		4.162314 E - 07 meter to fourth power, m ⁴
inch per second, in/s		2.540000 E - 02 meter per second, m/s
kelvin, K		t _c = T _k - 273.15 degree Celsius, °C
kilogram force, kgf		9.806650 E + 00 newton, N
kilogram force-meter, kg . m		9.806650 E + 00 newton-meter, N . m
kilogram force-second squared per meter, kgf . s ² /m (mass)		9.806650 E + 00 kilogram, kg
kilogram force per square centimeter, kgf/cm ²		9.806650 E + 04 pascal, Pa
kilogram force per square meter, kgf/m ²		9.806650 E + 00 pascal, Pa
kilogram force per square millimeter, kgf/mm ²		9.806650 E + 06 pascal, Pa
kilometer per hour, km/h		2.777778 E - 01 meter per second, m/s
kilowatthour, kWh		3.600000 E + 06 joule, J
kip (1000 lbf)		4.448222 E + 03 newton, N
kip per square inch, kip/in ² or ksi		6.894757 E + 06 pascal, Pa
knot, kn (international)		5.144444 E - 01 meter per second, m/s
lambert, L		3.183099 E + 03 candela per square meter, cd/m ²
liter		1.000000 E - 03 cubic meter, m ³
maxwell		1.000000 E - 08 weber, Wb
mho		1.000000 E + 00 siemens, S
microinch, µin		2.540000 E - 08 meter, m
micrometer, µm		1.000000 E - 06 meter, m

نضرب \rightarrow	إلى	للتتحويل من
2.540000 E - 05	meter, m	miles, mi
1.609344 E + 03	meter, m	mile, mi (international)
1.609347 E + 03	meter, m	mile, mi (U.S. statute)
1.852000 E + 03	meter, m	mile, mi (international nautical)
1.852000 E + 03	meter, m	mile, mi (U.S. nautical)
2.589988 E + 06	square meter, m ²	square mile, mi ² (international)
2.589998 E + 06	square meter, m ²	square mile, mi ² (U.S. statute)
4.470400 E - 01	meter per second, m/s	mile per hour, mi/h (international)
1.609344 E + 00	kilometer per hour, km/h	mile per hour, mi/h (international)
1.000000 E + 02	pascal, Pa	millibar, mbar
1.33322 E + 02	pascal, Pa	millimeter of mercury, mmHg (0°C)
2.908882 E - 04	radian, rad	minute (angle)
6.000000 E + 01	second s	minute, min
5.983617 E + 01	second, s	minute (sidereal)
2.834952 E - 02	kilogram, kg	ounce, oz (avoirdupois)
3.110348 E - 02	kilogram, kg	ounce oz (troy or apothecary)
2.841307 E - 05	cubic meter, m ³	ounce, oz (U.K. fluid)
2.957353 E - 05	cubic meter, m ³	ounce, oz (U.S. fluid)
2.780139 E - 01	newton, N	ounce force, ozf
7.061552 E - 03	newton-meter, N.m	ounce force-inch, ozf . in
3.051517 E - 01	kilogram per square	ounce per square foot, oz (avoirdupois)/ft ²
	meter, kg/m ²	
3.390575 E - 02	kilogram per square	ounce per square yard, oz (avoirdupois)/yd ²
	meter, kg/m ²	

نضر بـ →	إلى	التحويل من
5.72135 E - 11	kilogram per pascal-second-meter, kg/(Pa . s . m)	perm (0°C)
5.74525 E - 11	kilogram per pascal-second-meter, kg/(Pa . s . m)	perm (23°C)
1.45322 E - 12	kilogram per pascal-second-meter, Kg/(Pa . s . m)	perm-inch, perm. in (0°C)
1.45929 E - 12	kilogram per pascal-second-meter, kg/(Pa . s . m)	perm-inch, perm . in (23°C)
5.506105 E - 04	cubic meter, m ³	pint, pt (U.S. dry)
4.731765 E - 04	cubic meter, m ³	pint, pt (U.S. liquid)
1.000000 E - 01	pascal-second, Pa . s	poise, P (absolute viscosity)
4.535924 E - 01	kilogram, kg	pound, lb (avoirdupois)
3.732417 E - 01	kilogram, kg	pound, lb (troy or apothecary)
2.926397 E - 04	kilogram-square meter, kg . m ²	pound-square inch, lb . in ² (moment of inertia)
1.488164 E + 00	pascal-second, Pa . s	pound per foot-second, lb/ft . s
4.882428 E + 00	kilogram per square meter, kg/m ²	pound per square foot, lb/ft ²
1.601846 E - 01	kilogram per cubic meter, kg/m ³	pound per cubic foot, lb/ft ³
9.977633 E + 01	kilogram per cubic meter, kg/m ³	pound per gallon, lb/gal (U.K. liquid)
1.198264 E + 02	kilogram per cubic meter, kg/m ³	pound per gallon, lb/gal (U.S. liquid)
1.259979 E - 04	kilogram per second, kg/s	pound per hour, lb/h
2.767990 E + 04	kilogram per cubic meter, kg/m ³	pound per cubic inch, lb/in ³

للتحويل من	إلى	نضرب بـ
pound per minute, lb/min	kilogram per second, kg/s	7.559873 E - 03
pound per second, lb/s	kilogram per second, kg/s	4.535924 E - 01
pound per cubic yard, lb/yd ³	kilogram per cubic meter, kg/m ³	5.932764 E - 01
poundal	newton, N	1.382550 E - 01
pound force, lbf	newton, N	4.448222 E + 00
pound force-foot, lbf . ft	newton-meter, N . m	1.355818 E + 00
pound force per foot, lbf/ft	newton per meter, N/m	1.459390 E + 01
pound force per square foot, lbf/ft ²	pascal, Pa	4.788026 E + 01
pound force per inch, lbf/in	newton per meter, N/m	1.751268 E + 02
pound force per square inch, lbf/in ² (psi)	pascal, Pa	6.894757 E + 03
quart, qt (U.S. dry)	cubic meter, m ³	1.101221 E - 03
quart, qt (U.S. liquid)	cubic meter, m ³	9.463529 E - 04
rod	meter, m	5.029210 E + 00
second (angle)	radian, rad	4.848137 E - 06
second (sidereal)	second, s	9.972696 E - 01
square (100 ft ²)	square meter, m ²	9.290304 E + 00
ton (assay)	kilogram, kg	2.916667 E - 02
ton (long, 2240 lb)	kilogram, kg	1.016047 E + 03
ton (metric), t	kilogram, kg	1.000000 E + 03
ton (refrigeration)	watt, W	3.516800 E + 03
ton (register)	cubic meter, m ³	2.831685 E + 00
ton (short 2000 lb)	kilogram, kg	9.071847 E + 02
ton (long) per cubic yard, ton/yd ³	kilogram per cubic meter, kg/m ³	1.328939 E + 03

نضر بـ →	إلى	للتحويل من
1.186553 E + 03	kilogram per cubic meter, kg/m ³	ton (short) per cubic yard, ton/yd ³
8.896444 E + 03	newton, N	ton force (2000 lbf)
1.000000 E + 03	kilogram, kg	tonne, t
3.600000 E + 03	joule, J	watt hour, Wh
9.144000 E - 01	meter, m	yard, yd
8.361274 E - 01	square meter, m ²	square yard, yd ²
7.645549 E - 01	cubic meter, m ³	cubic yard, yd ³
3.153600 E + 07	second, s	year (365 days), yr
3.155815 E + 07	second, s	year (sidereal)

2

معادلات الستاتيك والتحريك

معادلات الحركة

رموز وأصطلاحات

t = الزمن، s.

s = الإزاحة الخطية، ft (m).

v = السرعة الخطية، ft/s (m/s).

v_0 = السرعة الخطية عند اللحظة الصفرية (مبدأ الزمن)، ft/s (m/s).

a = التسارع الخططي، ft/s² (m/s²).

θ = الإزاحة الزاوية، rad.

ω = السرعة الزاوية، rad/s.

ω_0 = السرعة الزاوية عند اللحظة الصفرية (مبدأ الزمن)، rad/s.

α = التسارع الزاوي، rad/s².

w = كتلة الجسم، lbm (kg mass).

F = قوة التسارع، N (lb).

(9.81 m/s^2) (lbm) (ft)/(lbf.s²) 32.2 g.

v = ثابت	ω = ثابت	v = متغير	ω = متغير
$v = s/t$	$\omega = \theta/t$	$v = ds/dt$	$\omega = d\theta/dt$
a = ثابت	α = ثابت	a = متغير	α = متغير
$v = V_0 + at$	$\omega = \omega_0 + \alpha t$	$a = \frac{dv}{dt} = \frac{d^2s}{dt^2}$	$\alpha = \frac{d\omega}{dt} = \frac{d^2\theta}{dt^2}$
$s = V_0 t + 1/2at^2$	$\theta = \omega_0 t + 1/2\alpha t^2$	$v = \int a dt$	$\omega = \int \alpha dt$
$v = \sqrt{v_0^2 + 2as}$	$\omega = \sqrt{\omega_0^2 + 2\alpha\theta}$	$s = \int v dt$	$\theta = \int \omega dt$

ومن أجل تسارع نظامي:

$$f = \frac{W}{g_c} a$$

المستاتيك

نقول عن أي نظام قوة في الفضاء أنه متوازن إذا كانت محصلة القوة معدومة ومحصلة العزم معدومة أيضاً. ويعبر عن ذلك كما يلي:

$$\begin{aligned}\sum F_x &= \sum F_y = \sum F_z = 0 \\ \sum M_x &= \sum M_y = \sum M_z = 0\end{aligned}$$

حيث:

.lb (N) = القوة F

.ft.lb (N.m) = العزم M

x, y, z = محاور الإحداثيات.

عزم العطالة

عزم العطالة: يُعطى عزم العطالة I بالنسبة لمحور معين بالمعادلين التاليتين:

$$I = \int y^2 dm \quad \text{lb.ft}^2 (\text{Kg.m}^2)$$

$$I = \int y^2 dA \quad \text{ft}^4 (\text{m}^4)$$

حيث:

y = المسافة بين عناصر الكتل أو المساحة والمحور المرجعي، (m)

$\cdot \text{lb}$ = تفاضل الكتلة، (Kg)

$\cdot \text{ft}^2$ = تفاضل المساحة، (m^2)

نصف قطر الدوران: يعبر عن نصف قطر الدوران بالطول a , (m) أو (ft), والممثل بالعلاقة:

$$I = \int y^2 dm = K^2 m \quad \text{للأجسام الصلبة}$$

$$I = \int y^2 dA = K^2 A \quad \text{للمساحة المستوية}$$

حيث:

m = الكتلة الكلية، (Kg)

A = المساحة، (m^2)

عزم العطالة ونصف قطر الدوران حول المحاور المتعازية: يعطي عزم العطالة حول أي محور بالعلاقة التالية:

$$I = I_{cg} + a^2 m \quad \text{للأجسام الصلبة}$$

$$I = I_{cg} + a^2 A \quad \text{للمساحة المستوية}$$

حيث: I_{cg} = عزم العطالة للأجسام الصلبة ($\text{Kg} \cdot \text{m}^2$) أو المساحة (m^4), $\text{lb} \cdot \text{ft}^2$, أو المساحة (ft^4) حول محور مواز للمحور المرجعي ومار من مركز الثقل.

a = المسافة بين المحور المرجعي والمحور المار من مركز الثقل (m) . ft

وبالتالي يمكننا أن نكتب:

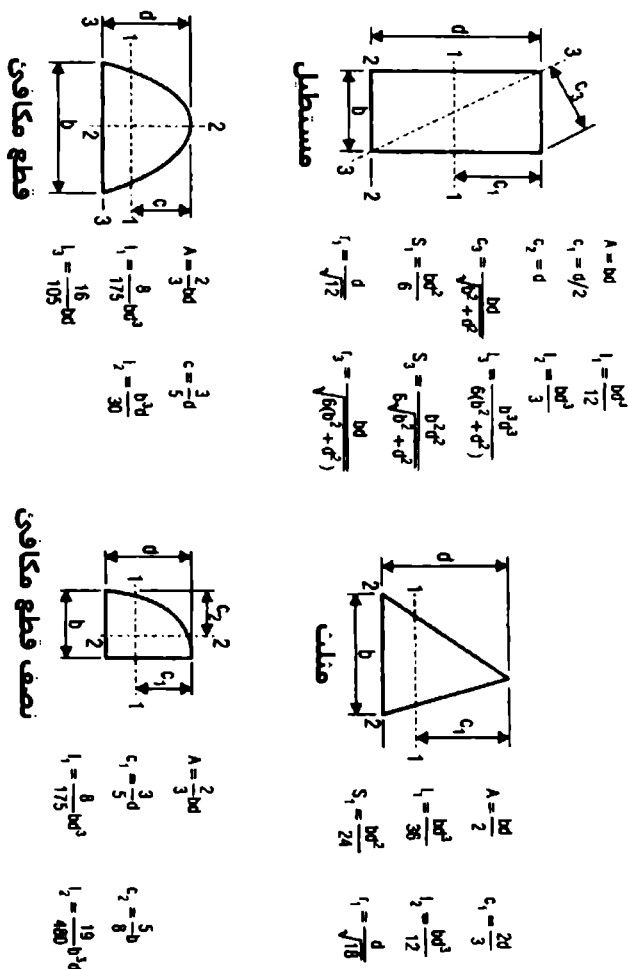
$$K^2 = K_{cg}^2 + a^2$$

حيث: K_{cg} = نصف قطر الدوران لمركز الثقل، (m) . ft

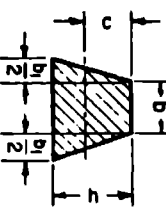
عزم العطالة القطبي : يعطى عزم العطالة القطبي لمساحة ما حول محور عمودي (أو متعامد) على تلك المساحة بالعلاقة:

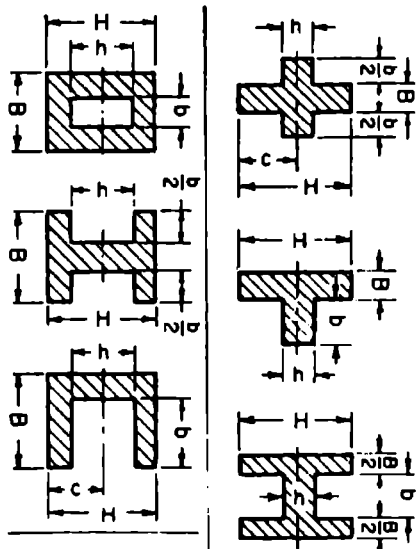
$$J = I_1 + I_2 \quad \text{ft}^4 (\text{m}^4)$$

حيث يمثل I_1 و I_2 عزماً عطالة حول أي محوري متعامدين واقعين في مستوى تلك المساحة ويقطعان المحور العمودي على المستوى.



الجدول 2.1 : خصائص المقطوعات المكافئة

نصف قطر الدوران	معاشر المقطع	عزم المطالدة	المقطع
$\sqrt{\frac{6R^2 - a^2}{24}} \approx \frac{R}{2}$	$I = \frac{I}{c} = \frac{I}{r}$ $= \frac{I}{R \cos \frac{180^\circ}{n}}$ $= \frac{AR}{4}$ (approx)	$I = \frac{A}{24}(6R^2 - a^2)$ $= A_4(12r^2 + a^2)$ $= AR^2$ (approx)	مقطع متساوي الأضلاع مقطع المساحة $A =$ مطر الدارجات والمسافة بروبوس مقدار الدائرة المعاشرة لأضلاعه عدد الأضلاع $n =$ طول المقطع $a =$
$\sqrt{\frac{12r^2 + a^2}{48}}$	$I = \frac{6b^2 + 6bb_1 + b_1^2}{36(2b + b_1)} h^2$ $c = \frac{1}{3} \frac{3b + 2b_1}{2b + b_1} h$	$I = \frac{6b^2 + 6bb_1 + b_1^2}{12(3b + 2b_1)} h^2$	
$\frac{h\sqrt{12b^2 + 12bb_1 + 2b_1^2}}{6(2b + b_1)}$			ا. جدول 2.1 : خصائص المقطع المتساوية / تابع



$$I = \frac{BH^3 + bh^3}{12}$$

$$\frac{I}{c} = \frac{BH^3 + bh^3}{6H}$$

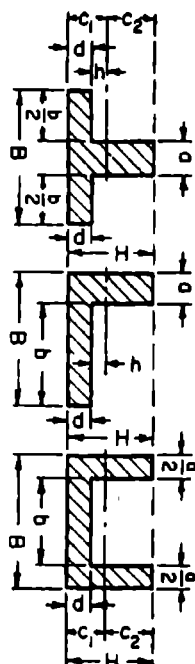
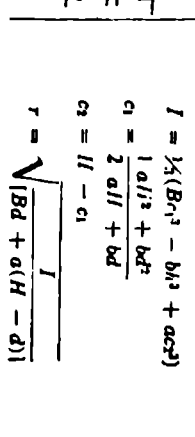
$$\sqrt{\frac{BH^3 + bh^3}{12(BH + bh)}}$$

$$I = \frac{BH^3 - bh^3}{12}$$

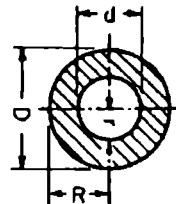
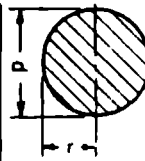
$$\frac{I}{c} = \frac{BH^3 - bh^3}{6H}$$

$$\sqrt{\frac{BH^3 - bh^3}{12(BH - bh)}}$$

إجدرل 2.1: خصائص القاطع المختلطة /تابع

نصف قطر الدوران	عزم الصدالة وعمايسير المقطوع	المقطوع
$I = \frac{1}{2} (Bd^2 + bd^2 + a(H - d)^2)$ $c_1 = \frac{1}{2} \frac{aH^2 + Bd^2 + bd(H - d)}{aH + Bd + bd}$ $r = \sqrt{\frac{I}{(Bd + bd) + a(H - d)}}$	$\frac{I}{(Bd + bd) + a(H - d)}$	
$I = \frac{1}{2} (Bd^2 + bd^2 + a(H - d)^2)$ $c_1 = \frac{1}{2} \frac{aH^2 + Bd^2 + bd(H - d)}{aH + Bd + bd}$ $c_2 = If - c_1$ $r = \sqrt{\frac{I}{(Bd + bd) + a(H - d)}}$	$\sqrt{\frac{I}{(Bd + bd) + a(H - d)}}$	

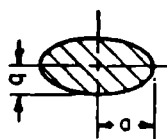
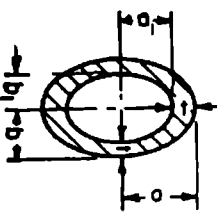
الجدول 2.1: خصائص المقاطع المختلفة / تابع

نصف قطر الدوران	معايير المقطع	عمر المطاله	المقطع
$\frac{r}{2} = \frac{d}{4}$	$I_c = \frac{\pi d^3}{32} = \frac{\pi r^3}{4} = \frac{A}{4} r^2$ = 0.1d ³ (approx)	$I = \frac{\pi d^4}{64} = \frac{\pi r^4}{4} = \frac{A}{4} r^4$ = 0.05d ⁴ (approx)	
$\frac{\sqrt{R^2 + r^2}}{2} = \frac{\sqrt{D^2 + d^2}}{4}$	$I = \frac{\pi}{32} \frac{D^4 - d^4}{D}$ = $\frac{\pi}{4} (R^4 - r^4)$ = $\frac{\pi}{4} A (R^2 + r^2)$ = $0.05(D^4 - d^4)$ when $\frac{d}{d_m}$ is very small	$I = \frac{\pi}{64} (D^4 - d^4)$ = $\frac{\pi}{4} (R^4 - r^4)$ = $0.05(D^4 - d^4)$ $d_m = \frac{1}{2}(D + d)$ $d_m = \frac{1}{2}(D - d)$	

الجدول 2.1 : خصائص المقطع الم Hollow / انتاج

نصف قطر الدوران	معابر المقطع	عزم المطاللة	المقطع
$\frac{I}{l} = 0.1908r^2$	$\frac{I}{c_1} = 0.2587r^2$	$I = r^4 \left(\frac{\pi}{8} - \frac{6}{9\pi} \right)$	
$c_1 = 0.4244r$	$c_1 = R - a$	$a = \frac{\sqrt{9r^2 - 64}}{6r}, r = 0.264r$	$I = 0.1098(R^4 - r^4) - \frac{0.283R^2r^4(R - r)}{R + r}$ = $0.3r^4$ (approx) when $\frac{l}{r}$ is very small
$a = \frac{4}{3\pi} \frac{R^2 + Rr + r^2}{R + r}$	$\sqrt{\frac{2I}{\pi(R^2 - r^2)}}$	$= 0.31n$ (approx)	2.1 : خصائص المقطوعات المثلثية / انتاج

الذريل 2.1 : خصائص المقطوعات المثلثية / انتاج



$$I = \frac{\pi a^3 b}{4} = 0.7854 a^3 b$$

$$\frac{I}{c} = \frac{\pi a^2 b}{4} = 0.7854 a^2 b$$

$$\frac{a}{2}$$

$$\begin{aligned} I &= \frac{\pi}{4} (a^2 b - a_1^2 b_1) \\ &= \frac{\pi}{4} a^2 (a + 3b)t \\ &\quad (\text{approx}) \end{aligned}$$

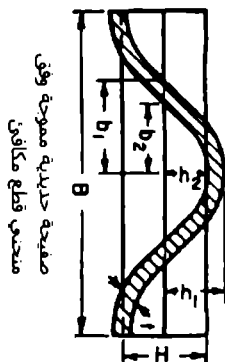
$$\begin{aligned} \frac{I}{c} &= \frac{\pi}{4} a (a + 3b)t \\ &\quad (\text{approx}) \end{aligned}$$

$$\begin{aligned} \sqrt{\frac{I}{(a_1^2 b - a_1^2 b_1)}} &= \\ \frac{a}{2} \sqrt{\frac{a + 3b}{a + b}} &\quad (\text{approx}) \end{aligned}$$

الجدول 2.1 : خصائص المنشآت المختلفة /تابع

نصف قطر الدوران	عدم العطالة ومعايير المقطع	المقطع
$\sqrt{\frac{I}{\frac{d^2}{4} + 2b(h - d)}}$ (approx)	$I = \frac{1}{12} \left[\frac{3\pi}{16} d^4 + b(h^3 - d^3) + b^2(h - d) \right]$ $\frac{I}{c} = \frac{1}{6h} \left[\frac{3\pi}{16} d^4 + b(h^3 + d^3) + b^2(h - d) \right]$	
$\sqrt{2 \left(\frac{\frac{\pi}{4}B}{h} + h \right)}$	$I = \frac{t}{4} \left(\frac{\pi B^3}{16} + B^2h + \frac{\pi B h^3}{2} + \frac{2}{3} h^5 \right)$ $h = H - \frac{t}{2}B$	

الجدول 2.1 : خصائص المقطوعات المختلفة / ناتج



صيغة حديقة مصوّبة ينافي
عنصري قطع مكافئ

$$I = \frac{64}{105} (bh_1^3 - b^3h_2^3), \text{ where}$$

$$h_1 = \frac{2}{3} (H + t) \quad | \quad h_2 = \frac{2}{3} (B + 2.6t)$$

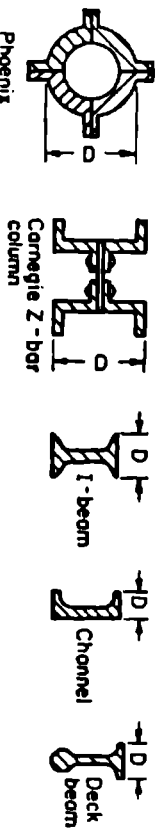
$$h_2 = \frac{2}{3} (H - t) \quad | \quad h_1 = \frac{2}{3} (B - 2.6t)$$

$$\frac{I}{c} = \frac{2L}{B+t}$$

$$r = \sqrt{\frac{3I}{(2B + 5.2H)}}$$

الجدول 2.1 : خصائص الماطع المختلفة / انتاج

القيمة التقريبية لنصف قطر الدوران الأضغر



 T-beam	$r = D/4.74$	$D/5$	$BD/2.6(B + D)$	$D/4.74$
 Angle Equal legs			$B/8$	
 Angle Unequal legs			 Cross	

المدول 2.1 : خصائص المقطاطع المختلفة / تاريخ

التحريك

طاقة الجسم الصلب

يعتبر الجسم الصلب طاقة حرارية ناتجة عن حركة:

$$\text{الطاقة الحرارية} = \frac{1}{2} m v^2 \quad \text{للحركة الانسحابية}$$

$$\text{الطاقة الحرارية} = \frac{1}{2} I_0 \omega^2 \quad \text{للحركة الدورانية}$$

حيث:

m - الكتلة، lb (Kg).

I_0 - عزم العطالة حول محور الدوران، lb.ft^2 (Kg.m^2).

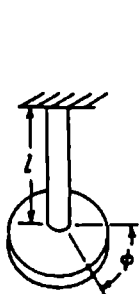
v - السرعة، ft/s (m/s).

ω - السرعة الزاوية، rad/s.

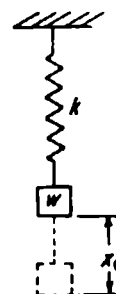
ويعتبر الجسم الصلب طاقة كامنة تكون ناتجة عن وضعه، والتي تعني، تلك الطاقة القادرة على القيام بعمل.

الاهتزازات الحرية للأنظمة وحيدة درجة الحرية

إذا أزيح نظام مرن عن وضع توازنه بقوة، فستصبح قوى المرونة للنظام في الوضع المزاح غير مكافحة للحمل، وبالتالي سينشأ لدينا اهتزاز (الشكل 2.1).



الشكل 2.2



الشكل 2.1

رموز واصطلاحات

K - ثابت صلابة النابض للنظام المرن، lb/ft (N/m)

$$\frac{dx}{dt} = v \quad \text{- السرعة، ft/s (m/s)}$$

v_0 - السرعة الابتدائية، ft/s (m/s)

t - الزمن، s

W - الوزن (مع إهمال وزن النابض بالنسبة للوزن W) (Kg) (lb)

f - تردد الاهتزاز، s^{-1}

p - دور الاهتزاز = $\sqrt{Kg_c / W}$ ، s^{-1}

t - زمن هزة كاملة واحدة، s

$P = \omega$ ، في حالة الدوران، rad/s

$$\cdot (9.81 \text{ m/s}^2) (\text{lbm}) (\text{ft}) / (\text{lbf}) (\text{s}^2) 32.2 = g_c$$

x = مقدار إزاحة W عن وضع توازنه، (m). ft

x_0 = الإزاحة الابتدائية عن وضع التوازن، (m). ft

$$\frac{W}{g_c} \frac{d^2x}{dt^2} - kx = 0$$

$$t = \frac{2\pi}{p} \quad f = \frac{1}{t} = \frac{p}{2\pi} \quad p = 2\pi f \quad P = \frac{2\pi}{f}$$

وتأخذ معادلة الحركة الشكل التالي:

$$x = x_0 \cos pt + \frac{v_0}{p} \sin pt$$

التردد الطبيعي

إذا كانت ∂_{ST} تعبر عن إزاحة النابض الناتجة عن الوزن W ، عندما
وعدد الاهتزازات الحرة خلال 2π ثانية = $\omega_n = \sqrt{\frac{g_c}{\partial_{ST}}}$
وبالتالي سيكون التردد الطبيعي:

$$f_n = 3.14 \sqrt{\frac{1}{\partial_{ST}}} \text{ Hz}$$

اهتزاز الفصل

إذا ثبّتنا قرصاً، كما في الشكل 2.2، بقضيب مرن وأدرنا القرص بزاوية ابتدائية،
عندما سيقوم هذا النظام المرن والمولف من القرص والقضيب باهتزاز فل.

دعنا نفترض:

ϕ = زاوية الفتل للمحور في أي لحظة، rad.

K = مقدار العزم الضروري لتدوير القرص بزاوية مقدارها $1 \text{ rad} (\text{N.m})$

ω_0 = السرعة الزاوية الابتدائية، rad/s .

ϕ_0 = زاوية الفتل الابتدائية للمحور، rad .

J = عزم العطالة القطي للقرص (مع إهمال عزم عطالة المحور بالنسبة لعزم عطالة القرص) $1 \text{ bm.ft} (\text{N.m})$.

مع بقاء الرموز p و f و ω_0 كما عرفناها في الاهتزازات المرنة السابقة. يعطى دور اهتزاز الفتل كما يلي:

$$p = \sqrt{\frac{K}{J}}$$

والتردد:

$$f = \frac{1}{2\pi} \sqrt{\frac{Kg_c}{J}}$$

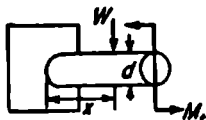
وتأخذ معادلة الحركة الشكل التالي:

$$\phi = \phi_0 \cos pt + \frac{\omega_0}{p} \sin pt$$

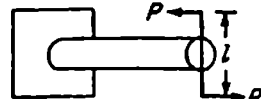
ستعرض في الفصل الحادي عشر لدراسة الاهتزاز بشكل مفصل.

الفتل

الفتل في المحاور الدائرية المصمتة



الشكل 2.4



الشكل 2.3

لدينا العلاقة:

$$S_v = \frac{M_I c}{J}$$

حيث:

S_v - إجهاد الفتل، (psi (MPa))

M_I - عزم الفتل = pl ، (in.lb (N.m))

c - المسافة من المركز وحتى السطح المجهد المؤنود، (m)

J - عزم العطالة القطبي للمقطع ($\text{in}^4 (\text{mm}^4)$)

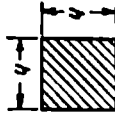
$P.S.I.$, $G =$	معامل المرونة للفصل
الارتفاع الراوي = 1 in. (25.4 mm), الطول = المطر = 1 in. (25.4 mm)	عمل الفصل (الحجم = 4)
عدم مقاومة الفصل M_f	بدلات عدم العمل بدلات اتجاه الفصل الأعظمي
$\frac{\pi}{16} d^4 S_o$	$\frac{2 S_{max}}{Q} \frac{1}{d}$
$\frac{M_f}{Q_f} = \frac{32}{\pi d^4} \frac{M_f}{R}$	$\frac{1}{4} \frac{S_{max}}{Q} A$ (ملحوظة 1)
$\frac{\pi}{16} \frac{D^4 - d^4}{D} S_o$	$\frac{2}{4} \frac{S_{max}}{Q} \frac{1}{D}$ $\frac{1}{4} \frac{S_{max}}{Q} \frac{D^4 + d^4}{D^4} A$ (ملحوظة 2)



الجدول 2.2

البول 2.2 / ج

 $\frac{a}{h} < \frac{1}{2}$	$\frac{16}{\pi} \left(\frac{D}{M_1 h} + \frac{h}{M_1 D} \right)$ $\frac{16}{\pi} \left(\frac{D}{M_1 h} + \frac{h}{M_1 D} \right) \cdot \frac{3.6 \cdot \frac{h}{D} + \frac{h}{D} \cdot \frac{D}{h}}{1 - \frac{3.6 \cdot \frac{h}{D} + \frac{h}{D} \cdot \frac{D}{h}}{\frac{16}{\pi} \left(\frac{D}{M_1 h} + \frac{h}{M_1 D} \right)}}$ $\frac{8}{\pi} \left(\frac{h}{M_1 D} + \frac{D}{M_1 h} \right)$ $q < q_c$	 $\frac{16}{\pi} \left(\frac{D}{M_1 h} + \frac{h}{M_1 D} \right)$ $\frac{16}{\pi} \left(\frac{D}{M_1 h} + \frac{h}{M_1 D} \right) \cdot \frac{3.6 \cdot \frac{h}{D} + \frac{h}{D} \cdot \frac{D}{h}}{1 - \frac{3.6 \cdot \frac{h}{D} + \frac{h}{D} \cdot \frac{D}{h}}{\frac{16}{\pi} \left(\frac{D}{M_1 h} + \frac{h}{M_1 D} \right)}}$ $q > q_c$
--	---	--

 المقطوع العربي	عزم مقاومة الفنل M_t	الطول الفنل $a_1 = 1 \text{ in.} (25.4 \text{ mm}),$ $\text{القطر} = 1 \text{ in.} (25.4 \text{ mm})$	عمل العتل (الحجم = A)
 بدالة عدم الفنل	بدالة إيجاد الفص الأعظم	بدالة إيجاد الفص الأعظم	عمل العتل (الحجم = A)
$36h^2S_o$	$7.2 \frac{1}{K^4} \frac{M_t}{G}$	$1.6 \frac{S_{\max}^2}{G} \frac{1}{h}$	$\frac{8}{45} \frac{S_{\max}^2}{G} A$ (ملاحظة 5)

المدول 22 / اثنان /

	$\frac{b^2}{20} S_0$	$4.62 \frac{1}{b} \frac{M_0}{G}$	$2.31 \frac{S_{\max}}{G}$
	$\frac{b^2}{1.09} S_0$	$0.967 \frac{1}{b} \frac{M_0}{G}$	$0.9 \frac{S_{\max}}{G}$

تابع / الجدول 2.2

حالتي الفعل والانحناء (للمعاوين الدائريه المصمتة):

انظر الشكل 2.4.

$$\sigma_{\max} = \frac{16}{\pi d^3} (M_b + \sqrt{M_b^2 + M_r^2})$$

حيث:

σ_{\max} - الإجهاد الأعظمي، psi (MPa)

M_b - العزم، in.lb (N.m)

M_r - العزم الناتج عن حمل الانحناء، W_x = in.lb (N.m)

d - قطر القضيب، in (mm)

و

$$M = \frac{\sigma I}{c}$$

حيث:

M - عزم الانحناء، lb.in (N.m)

σ - الإجهاد المرن عند المسافة c من محور التعادل، psi (MPa)

c - المسافة من محور التعادل إلى المستوى الحاوي للإجهاد σ المحسوب، in (m)

I - عزم العطالة لمساحة المقطع حول محور التعادل، in⁴ (mm⁴)

I/c - معامل المقطع، حيث يمثل c المسافة حتى آخر شريط عنصري (mm³)

إجهادات الاسطوانة

الإجهادات في الأنابيب أو الاسطوانات قليلة السماكة (ذات المقاطع الصغيرة)

انظر الشكل 2.4

$$\sigma_h = \frac{pd}{2t} \quad \sigma_l = \frac{pd}{4t}$$

حيث:

σ_h - الإجهاد الخلقي (المحطي)، .psi (MPa)

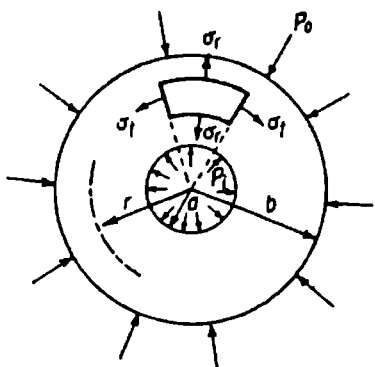
σ_l - الإجهاد الطولي، .psi (MPa)

d - القطر الداخلي، .in (mm)

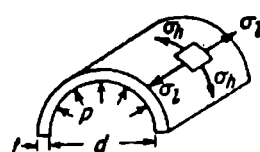
p - الضغط الداخلي، .psi (MPa)

t - سماكة جدار الأنبوب، .in (mm)

الإجهادات في الأنابيب أو الاسطوانات ذات السماكة الكبيرة



الشكل 2.6



الشكل 2.5

في حال وجود ضغط داخلي فقط:

$$\sigma_r = \frac{a^2 P_i}{b^2 - a^2} \left(1 - \frac{b^2}{r^2} \right)$$

$$\sigma_t = \frac{a^2 P_i}{b^2 - a^2} \left(1 + \frac{b^2}{r^2} \right)$$

في حالة وجود ضغط خارجي فقط:

$$\sigma_r = \frac{P_0 b^2}{b^2 - a^2} \left(1 - \frac{a^2}{r^2} \right)$$

$$\sigma_t = \frac{P_0 b^2}{b^2 - a^2} \left(1 + \frac{a^2}{r^2} \right)$$

حيث:

- σ_r - الإجهاد القطري (في الاتجاه القطري)، .psi (MPa)
- σ_t - الإجهاد المحيطي (في اتجاه المحيط للدائرة المارة بالعنصر المدروس)، .psi (MPa)
- a - نصف قطر الداخلي للاسطوانة، .in (mm)
- b - نصف قطر الخارجي للاسطوانة، .in (mm)
- r - نصف قطر العنصر المدروس، .in (mm)
- P_i - الضغط الداخلي، .psi (MPa)
- P_0 - الضغط الخارجي، .psi (MPa)

3

معادلات الإجهادات
في العناصر الميكانيكية

الإجهادات الناظمية والأساسية

الإجهادات الناظمية

يمكن تحديد الإجهادات الناظمية الأصغرية والأعظمية - $s_n(\max)$ ، $s_n(\min)$ - والتي هي إجهادات شد أو ضغط وبالحالة العامة لتحميل ثانوي البعد كما يلي:

$$s_n(\max) = \frac{s_x + s_y}{2} + \sqrt{\left(\frac{s_x - s_y}{2}\right)^2 + \tau_{xy}^2}$$

$$s_n(\min) = \frac{s_x + s_y}{2} - \sqrt{\left(\frac{s_x - s_y}{2}\right)^2 + \tau_{xy}^2}$$

تعطي العلاقات السابقتان القيم الجبرية العظمى والصغرى، حيث:

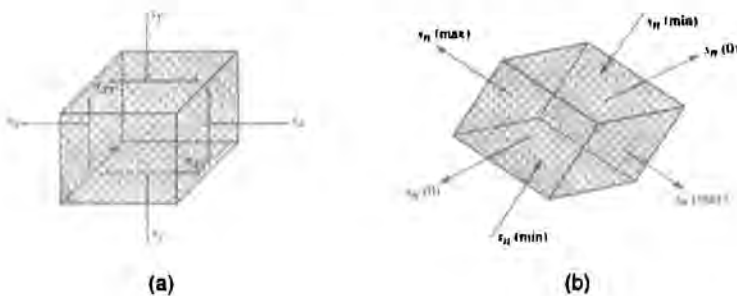
s_x يمثل الإجهاد عند النقطة الحرجة، حيث يمكن أن يؤثر إجهاد شد أو ضغط ناظمي على المقطع المتر، والذي يمكن أن يتبع عن حمولات محورية أو حمولات انعطاف أو كليهما. عندما يكون s_x إجهاد شد فيجب أن يسبق بإشارة موجبة (+)، أما إذا كان إجهاد ضغط فسيسبق بإشارة سالبة (-).

s_y يمثل إجهاد في نفس النقطة وفي اتجاه معامد للإجهاد s_x ، ويجب أن تسبق هذا الإجهاد أيضاً إشارة جبرية.

τ_{xy} يمثل إجهاد القص عند نفس النقطة الحرجة وهو واقع في المستوى العمودي على المحور y (والذي هو المستوى xz) والمستوى العمودي على المحور x (والذي يمثل المستوى yz). وقد يتبع إنتاج القص هنا عن عزوم الالتواء أو الحمولات العرضية أو حمولات مركبة من كليهما. ويظهر الشكل 3.1a كيفية توضع هذه الإجهادات.

يدعى الإجهادات (\max) و (\min) بالإجهادين الأساسيين والذين يتوضعان في مستويين متعمدين يدعان المستويين الأساسيين، ولا يحوي هذان المستويان أي

إجهادات قص. إذا كان هناك تحميل ثانوي بعد فسيكون الإجهاد الرئيسي الثالث معروضاً، وبين الشكل 3.1b توضع هذه الإجهادات بالنسبة لبعضها البعض.



الشكل 3.1: a) توضع إجهاد القص b) توضع الإجهادات الأساسية.

إجهاد القص الأعظمي

يُحسب إجهاد القص الأعظمي عند النقطة الحرجة على أنه نصف أكبر فرق بين إجهادين أساسين (مع عدم إهمال أي إجهاد أساسي معدوم). ومن أجل حالة التحميل ثانوي بعد التي تسبب إجهادات ثانوية بعد سيكون لدينا:

$$\tau(\max) = \frac{\sigma_n(\max) - \sigma_n(\min)}{2}$$

أو

$$\frac{\sigma_n(\max) - 0}{2}$$

أو

$$\frac{\sigma_n(\min) - 0}{3}$$

حيث نأخذ النتيجة الأكبر بين النتائج السابقة، ويعيل المستوى الحاوي لـ إجهاد القص الأعظمي بزاوية 45° عن المستويات الرئيسية.

تطبيق

يتطلب تطبيق علاقتي الإجهاد:

$$s_n(\max) = \frac{s_x + s_y}{2} + \sqrt{\left(\frac{s_x - s_y}{2}\right)^2 + \tau_{xy}^2}$$

$$s_n(\min) = \frac{s_x + s_y}{2} - \sqrt{\left(\frac{s_x - s_y}{2}\right)^2 + \tau_{xy}^2}$$

معرفة s_x و s_y و τ_{xy} عند النقطة الحرجة من العنصر الميكانيكي. ونقصد بالنقطة الحرجة تلك النقطة التي ينتج عندها إجهاد مركب أعظمي ناتج عن الحمل المطبق، وإذا كان لدينا قضيب وطبقنا عليه حمولات أدت إلى الإجهادات التالية عند نفس النقطة:

$$s_x \text{ and } s_y = \pm \frac{Mc}{I} \pm \frac{P}{A}$$

تذكر بأن هذه الإجهادات يمكن أن تكون سالبة أو موجبة، وذلك اعتماداً على كونها إجهادات شد أو ضغط.

$$\tau_{xy} = \frac{Tr}{J} + s_v$$

تعطى العلاقة السابقة عندما يكون مقطع القضيب دائرياً (وعندما تكون هذه الإجهادات متوازية).

حيث

M = عزم الانحناء، .in.lb (N.m)

c = المسافة بين محور التوازن والسطح الخارجي، .in (mm)

r = نصف قطر المقطع، .in (mm)

I = عزם عطالة المقطع، .in⁴ (mm⁴)

P = الحمل المحوري، .Lb (N)

A = مساحة المقطع، .in² (mm²)

T = عزم الفتل، .in.lb (N.m)

J = عزم العطالة القطبي للمقطع، .(mm⁴)

s_v = إجهاد القص العرضي، .psi (MPa)

$$s_v = \frac{VQ}{Ib}$$

حيث

V = حمولات القص العرضية على المقطع، .lb (N)

b = عرض المقطع الحاوي على النقطة الحرجة.

Q = عزم مساحة المقطع للعنصر، فوق أو أعلى النقطة الحرجة، هو مأخوذ بالنسبة لمحور التوازن (.in³ (mm³)).

$s_v(\max) = \frac{4V}{3A}$ للمقاطع الدائرية ويتوضع فوق محور التوازن.

$s_v(\max) = \frac{3V}{2A}$ للمقاطع المستطيلة ويتوضع فوق محور التوازن.

$s_n(\max)$ = الإجهاد الجيري الأعظمي، .psi (MPa)

s_n (min) = الإجهاد الجريي الأصغرى، .psi (MPa)

τ (max) = إجهاد القص الأعظمى، .psi (MPa)

الإجهادات الناتجة عن العناصر المداخلة

يمكن حساب هذه الإجهادات بعد اعتبار الأجزاء المداخلة هي اسطوانات كبيرة السماكة، كما هو واضح بالشكل 3.2، بالعلاقة التالية:

$$P_c = \frac{\delta}{d_c \left[\frac{d_c^2 + d_i^2}{E_i(d_c^2 - d_i^2)} + \frac{d_o^2 + d_c^2}{E_o(d_o^2 - d_c^2)} - \frac{\mu_i}{E_i} + \frac{\mu_o}{E_o} \right]}$$

حيث:

P_i = الضغط عند سطح التماس، .psi (MPa)

δ = التداخل الكلى، .in (mm)

d_i = القطر الداخلى للاسطوانة الداخلية، .in (mm)

d_c = قطر سطح التماس، .in (mm)

d_o = القطر الخارجى للاسطوانة الخارجية، .in (mm)

μ_o = نسبة بواسون للاسطوانة الخارجية.

μ_i = نسبة بواسون للاسطوانة الداخلية.

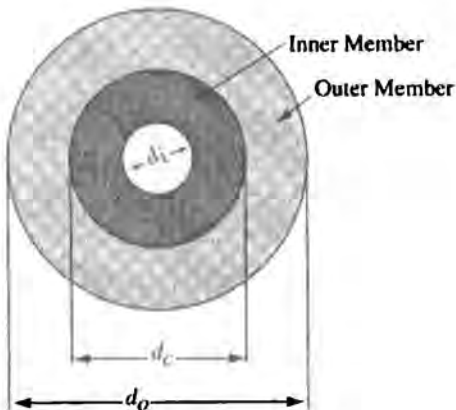
E_o = عامل المرونة للاسطوانة الخارجية، .psi (MPa)

E_i = عامل المرونة للاسطوانة الداخلية، .psi (MPa)

إذا كانت الاسطوانات الخارجية والداخلية مصنوعتان من نفس المعدن فيمكن إعادة صياغة المعادلة السابقة لتصبح كما يلي:

$$P_c = \frac{\delta}{2d_c^3(d_o^2 - d_i^2)/[E(d_c^2 - d_i^2)(d_o^2 - d_c^2)]}$$

بعد تحديد P_c فإن الإجهادات الماسية الحقيقية عند السطوح المختلفة والمحددة بمعادلة Lamé، والتي تستخدم في منطقة الاتصال ووفق نظرية الأنفيار وفق إجهاد القص الأعظمي يمكن أن تمحسب كما يلي:



الشكل 3.2

على السطح الخارجي عند d_o :

$$s_{to} = \frac{2P_c d_c^2}{d_o^2 - d_c^2}$$

على السطح عند d_c ومن جهة الأسطوانة الخارجية:

$$s_{tco} = P_c \left(\frac{d_o^2 + d_c^2}{d_o^2 - d_c^2} \right)$$

على السطح، ومن جهة الاسطوانة الداخلية:

$$s_{tci} = -p_c \left(\frac{d_c^2 + d_i^2}{d_c^2 - d_i^2} \right)$$

على السطح الداخلي عند d_i :

$$s_{ti} = \frac{-2p_c d_c^2}{d_c^2 - d_i^2}$$

أما الإجهادات المماسية المكافحة عند السطوح المختلفة والمحسوبة وفق معادلة Birnie، والتي تستخدم في منطقة الاتصال ووفق نظرية الأفيار وفق الانفعال الأعظمي فيمكن حسابها كما يلي:

على السطح الخارجي للاسطوانة الخارجية:

$$s'_{to} = \frac{2p_c d_c^2}{d_o^2 - d_c^2}$$

على السطح، من جهة الاسطوانة الخارجية:

$$s'_{tco} = p_c \left(\frac{d_o^2 + d_c^2}{d_o^2 - d_c^2} + \mu_o \right)$$

على السطح، ومن جهة الاسطوانة الداخلية:

$$s'_{tci} = -p_c \left(\frac{d_c^2 + d_i^2}{d_c^2 - d_i^2} - \mu_i \right)$$

على السطح الداخلي عند d_i :

$$s'_{ii} = \frac{-2p_c d_c^2}{d_c^2 - d_i^2}$$

القوى والعزوم

تناسب القوة المحورية العظمى F المطلوبة لإنجاز هذا التداخل بشكل طردي مع عدة عوامل منها، سمكية الاسطوانة الخارجية وطولاها والفرق بين قطري الاسطوانتين المتداخلتين ومعامل الاحتكاك، ويمكن حساب هذه القوة بقيم تقريرية كما في العلاقة التالية:

$$F_s = f \pi d L p_c$$

ويعطى العزم الذي يمكن نقله عبر هذا التداخل بين الاسطوانتين بدون انزلاق بالعلاقة:

$$T = \frac{f p_c \pi d^2 L}{2}$$

حيث:

F_s - القوة المحورية، lb (N)

T - العزم المنقول، in.lb (N.m)

d - قطر المحور الاسمي، in (mm)

f - معامل الاحتكاك.

L - طول الاسطوانة الخارجية، in (mm)

p_c - ضغط الاتصال بين الاسطوانتين، psi (MPa)

تجميع الأجزاء المداخلة

يتم التجميع غالباً بتسخين الاسطوانة الخارجية حتى تمدد على الأقل بمقدار التداخل، ويعطى فرق درجة الحرارة المطلوب لتمديد القطر الداخلي للاسطوانة الخارجية بمقدار δ بالعلاقة:

$$\Delta T = \frac{\delta}{\alpha d_i}$$

حيث:

δ - التداخل القطري، in (mm)

α - معامل التمدد الخطى لكل ${}^{\circ}\text{F}$ (${}^{\circ}\text{C}$) .

ΔT - التغير في درجة الحرارة، ${}^{\circ}\text{F}$ (${}^{\circ}\text{C}$) .

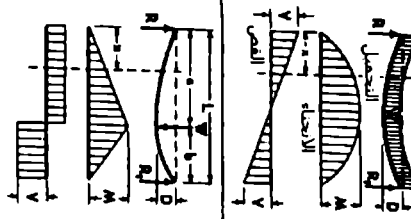
d_i - القطر الداخلي للاسطوانة الخارجية قبل التمدد، in (mm) .

وبالتوازي مع تسخين الاسطوانة الخارجية يتم تبريد الاسطوانة الداخلية بطرق التبريد المختلفة مثل الجليد الجاف.

معادلات الجوائز

العنصر	$R =$ درد النصل	$V =$ قوة النص	$M =$ عزم الازناء	$D =$
حالات: 1: جائز مسند المهابات حمل مستمر موطن انتظام	عدد المراكز: $M_{(\text{مستمر})} = \frac{\nabla L}{6}$	عدد المراكز: $D_{(\text{مستمر})} = \frac{9}{354} \frac{\nabla^3 L}{EI}$	عدد المراكز: $D = \frac{W_e}{24 EI_L} (L^2 - 2L^3)$	العنصر:
حالات: 2: جائز مسدس المهابات حمل مركزى عن أي نقطة.	عدد نقاط العمل: $M_{(\text{مستمر})} = \frac{\nabla L}{6}$	عدد نقاط العمل: $D_{(\text{مستمر})} = \frac{9}{354} \frac{\nabla^3 L}{EI}$	عدد نقاط العمل: $D = \frac{W_e}{6 EI_L} [2L(L-6)^2 - (L-3)^3]$	العنصر:
حالات: 3: محدود المهابات	$R = R_1 = V_{(\text{مستمر})} = \frac{\nabla}{2}$	$V = \frac{\nabla}{2} - \frac{\nabla_2}{L}$	$M = \frac{\nabla_2}{2L} (L-3)$	العنصر:

أمثلة 3.1 معادلات المهابات



$$R = R_1 = V_{(\text{مستمر})} = \frac{\nabla}{2}$$

$$V = \frac{\nabla}{2} - \frac{\nabla_2}{L}$$

$$M = \frac{\nabla_2}{2L} (L-3)$$

$$D = \frac{W_e}{24 EI_L} (L^2 - 2L^3)$$

$$R = \frac{W_e}{2}$$

$$R_1 = \frac{W_e}{L}$$

$$V_{(\text{مستمر})} = R_1 = \frac{W_e}{L}$$

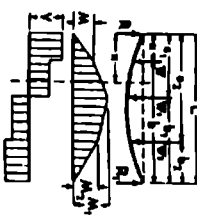
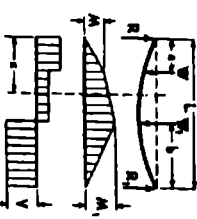
$$A_{\text{مسد}} > b$$

$$M = \frac{W_e}{L}$$

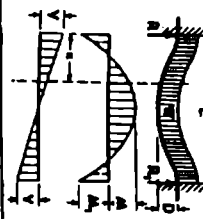
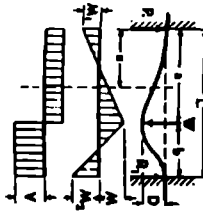
$$D = \frac{W_e}{6 EI_L} [2L(L-6)^2 - (L-3)^3]$$

$$A_k = \text{when } a > b$$

$$D = \frac{W_e}{6 EI_L} [2L(L-6)^2 - (L-3)^3]$$

 $R = \frac{W_1 + W_2 + W_3}{L}$ $R_1 = \frac{W_1 + W_2 + W_{12}}{L}$ $V_{(max)} = < 0$ $M_{(max)} = M_1 - R_1 - \frac{W_1}{L}$ $M_{(min)} = M_1 - R_1 - \frac{W_1}{L} > R$ $M_{(max)} = M_1 - R_1 - \frac{W_1}{L} > R$ $M_{(max)} = M_1 - R_1 - \frac{W_1}{L} > R_1$	$M = \frac{W_1 + W_2 + W_3}{L}$ $M_1 = R_1 - \frac{W_1}{L}$ $M_1 = R_1 - \frac{W_1}{L} > R$ $M = R_1 - \frac{W_1}{L} > R$	الحالة 4: حائز معيدي المسلمين بناءً على حالات غير متساوية ومتزوجة $R = \frac{W_1 + W_2 + W_3}{L}$ $R_1 = \frac{W_1 + W_2 + W_{12}}{L}$ $V_{(max)} = < 0$ $M_{(max)} = M_1 - R_1 - \frac{W_1}{L} > R$ $M_{(min)} = M_1 - R_1 - \frac{W_1}{L} > R$ $M_{(max)} = M_1 - R_1 - \frac{W_1}{L} > R_1$
 $R = \frac{W_1 + W_2 + W_3}{L}$ $R_1 = \frac{W_1 + W_2 + W_{12}}{L}$ $V_{(max)} = < 0$ $M_{(max)} = M_1 - R_1 - \frac{W_1}{L} > R$ $M_{(min)} = M_1 - R_1 - \frac{W_1}{L} > R$ $M_{(max)} = M_1 - R_1 - \frac{W_1}{L} > R_1$	$M = \frac{W_1 + W_2 + W_3}{L}$ $M_1 = R_1 - \frac{W_1}{L}$ $M_1 = R_1 - \frac{W_1}{L} > R$ $M = R_1 - \frac{W_1}{L} > R$	الحالة 5: حائز معيدي المسلمين غير متساوٍ وغير متزوج $R = \frac{W_1 + W_2 + W_3}{L}$ $R_1 = \frac{W_1 + W_2 + W_{12}}{L}$ $V_{(max)} = < 0$ $M_{(max)} = M_1 - R_1 - \frac{W_1}{L} > R$ $M_{(min)} = M_1 - R_1 - \frac{W_1}{L} > R$ $M_{(max)} = M_1 - R_1 - \frac{W_1}{L} > R_1$

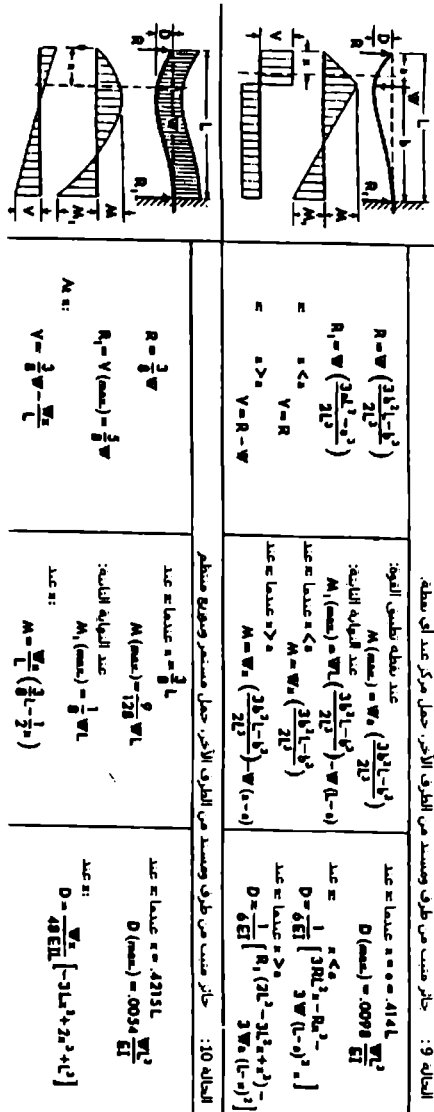
المدول 3.1 مقدارات المجرأ (ارتفاع)

 الحالة 5: حائز مثبت المعاينتين ويحمل مستقر وزنوج منظم	$R = R_1 - V \left(\frac{L}{2} \right) = \frac{V}{2}$ $M = \frac{Vx}{24}$ $D = \frac{V^2}{24EI} \left(L^2 - 2Lx + x^2 \right)$
 الحالة 6: حائز مثبت المعاينتين وبحمل مركز ثقله	$R = V \left(\frac{L^2}{2} \right) \left(\frac{R_1 + R_2}{L} \right)$ $M_1 = \frac{V}{24} \left(\frac{R_1 + R_2}{L} \right) \left(\frac{L^2}{2} \right)$ $M_2 = \frac{V}{24} \left(\frac{R_1 + R_2}{L} \right) \left(\frac{L^2}{2} \right)$ $M = \frac{V}{24} \left(\frac{R_1 + R_2}{L} \right) \left(\frac{L^2}{2} \right)$ $D = \frac{V^2}{24EI} \left(\frac{R_1 + R_2}{L} \right)^2 \left(\frac{L^2}{2} \right)$

المدول 3.1 معادلات الجود /نتائج

ال الحالات	$D = \text{الدلائل}$	$M = \text{مُد الماء}$	$V = \text{فوج الفرس}$	$R = \text{رور العجل}$	المخططات
الحالة 7: حازم مست من طرق واحد، حمل مستمر ومحض منظم	عدد الماء في العدة:	$D(\text{mm}) = \frac{V^3}{8EI}$	$R(\text{mm}) = \frac{V}{L}$	$M(\text{mm}) = \frac{V^2}{2L}$	
الحالة 8: حازم مست من طرق واحد، حمل مرکز عد في عده	عدد الماء في العدة:	$D = \frac{V^3}{24EI(L^2 + 4L^2 + 9L^2)}$	$R = \frac{V}{L}$	$M = \frac{V^2}{2L}$	
الحالة 9: حازم مست من طرق اثنين، حمل عد في عده	عدد الماء في العدة:	$D = \frac{V^3}{6EI} \left[2 - \frac{3}{L^2} + \left(\frac{6}{L} \right)^2 \right]$	$R = \frac{V}{L}$	$M = \frac{V^2}{2L}$	
الحالة 10: حازم مست من طرق اثنين، حمل عد في عده	عدد الماء في العدة:	$D = \frac{V^3}{6EI} \left(1 - \frac{3}{L^2} \right)$	$R = \frac{V}{L}$	$M = \frac{V^2}{2L}$	

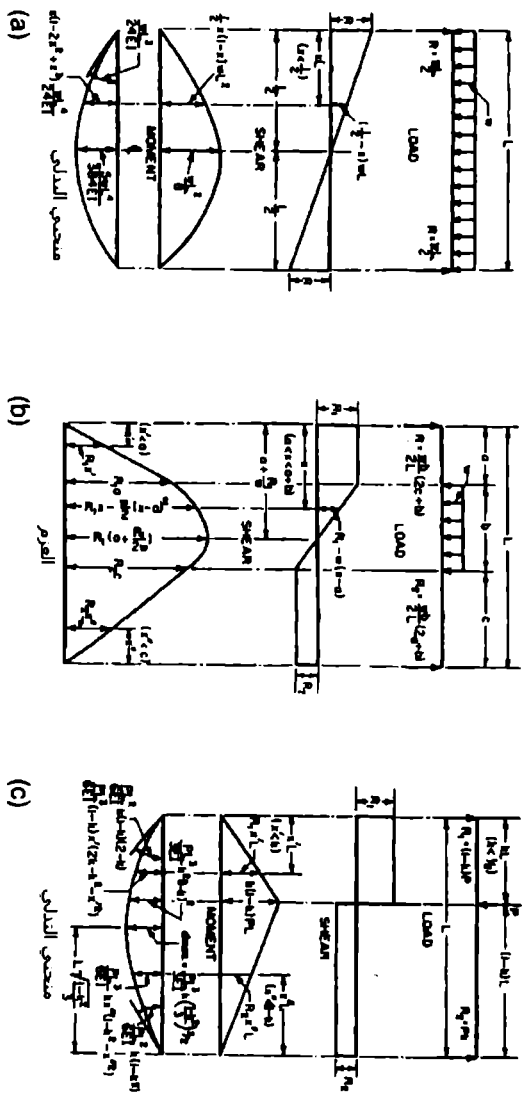
الخوارزمي 3.1 مطالبات المعلمات / ناتج



الجدول ٣.١ معادلات الجواهر /تابع/

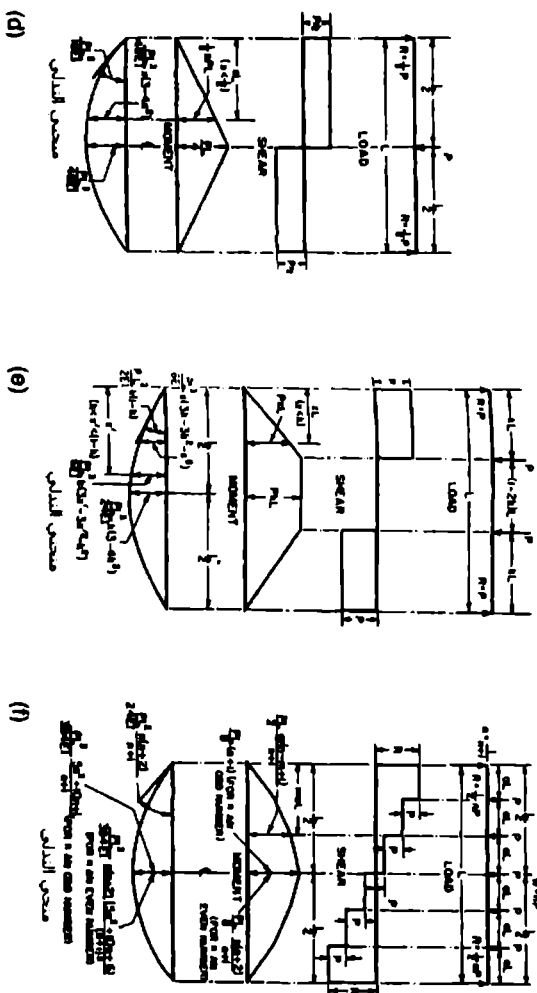
<p>الحالة 11: حائز سيميسن باريس، نوع عقر مسلط، حل معمدي وطريق منظم</p> <p>الحمل الكل عقد طرد $\Rightarrow \frac{R}{2} = عقد$</p> $M_{(max)} = R \left(\frac{R}{2L} + 2L \right)$ $R_1 = \frac{V}{2} \left[(R+V)^2 - L^2 \right] + 2L$ $R_2 = \frac{V}{2} \left[(R-V)^2 - L^2 \right] + 2L$ $V_{(max)} = \frac{V}{2} \left[(R+V)^2 - L^2 \right]$ $M_1 = M_2 = \frac{V}{2} RL^2$ $M_3 = M_4 = \frac{V}{2} RL^2$ $M_5 = M_6 = \frac{V}{2} RL^2$ $M_7 = M_8 = \frac{V}{2} RL^2$ $M_9 = M_{10} = \frac{V}{2} RL^2$ $M_{11} = M_{12} = \frac{V}{2} RL^2$ $M_{13} = M_{14} = \frac{V}{2} RL^2$ $M_{15} = M_{16} = \frac{V}{2} RL^2$ $M_{17} = M_{18} = \frac{V}{2} RL^2$ $M_{19} = M_{20} = \frac{V}{2} RL^2$
<p>الحالة 12: حائز سيميسن باريس، نوع عقر مسلط، عدد العجلين</p> <p>عدد العجلين العجلين $\Rightarrow L = عقد$</p> $R = R_1 = V_{(max)} = \frac{V}{2}$ $R_2 = \frac{V}{2} \left[(R+V)^2 - L^2 \right]$ $M_{(max)} = \frac{V}{2} \left[\frac{V}{2} \left(3L + 2R \right) \right]$ $D = \frac{V^2}{12EI}$ $D = \frac{V^2 L^2}{16EI}$
<p>الحالة 12: حائز سيميسن باريس، نوع عقر مسلط، عدد العجلين</p> <p>عدد العجلين العجلين $\Rightarrow L = عقد$</p> $R = R_1 = V_{(max)} = \frac{V}{2}$ $R_2 = \frac{V}{2} \left[(R+V)^2 - L^2 \right]$ $M_{(max)} = \frac{V}{2} \left[\frac{V}{2} \left(3L + 2R \right) \right]$ $D = \frac{V^2}{12EI}$ $D = \frac{V^2 L^2}{16EI}$

المدول 3.1 معادلات الجدول / زانج



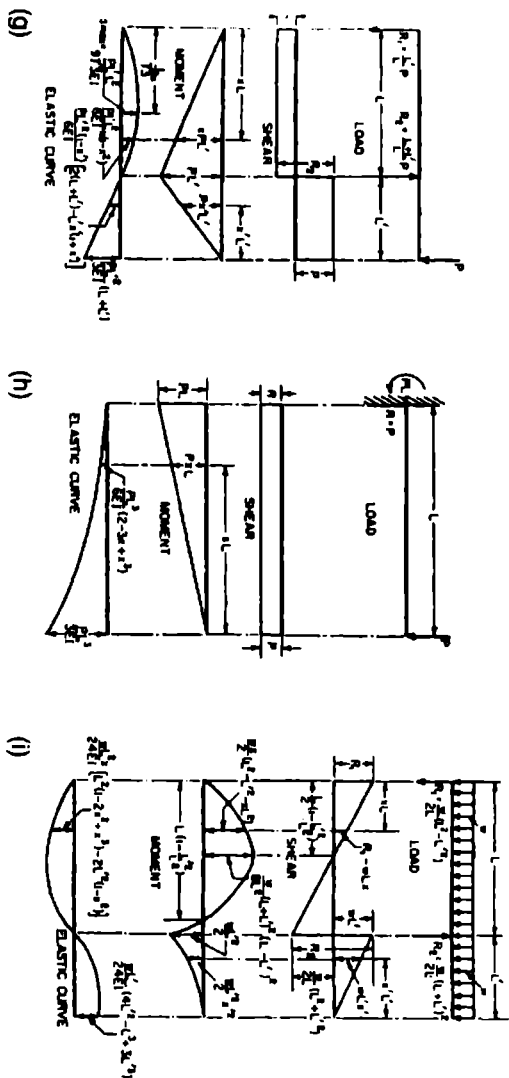
الشكل 3.3 معادلات مختبريات النيل للجهاز المنشوري

- (a) النيل والعزم والتقص لجهاز منشوري بنهائيين مستديرين ويعمل منظم على كامل الملايير.
- (b) القص والعزم لجهاز منشوري بنهائيين مستديرين ويعمل منظم على جزء من الملايير.
- (c) النيل والعزم والتقص جهاز منشوري بنهائيين مستديرين ويعمل مرکز على أبي نقطلة.



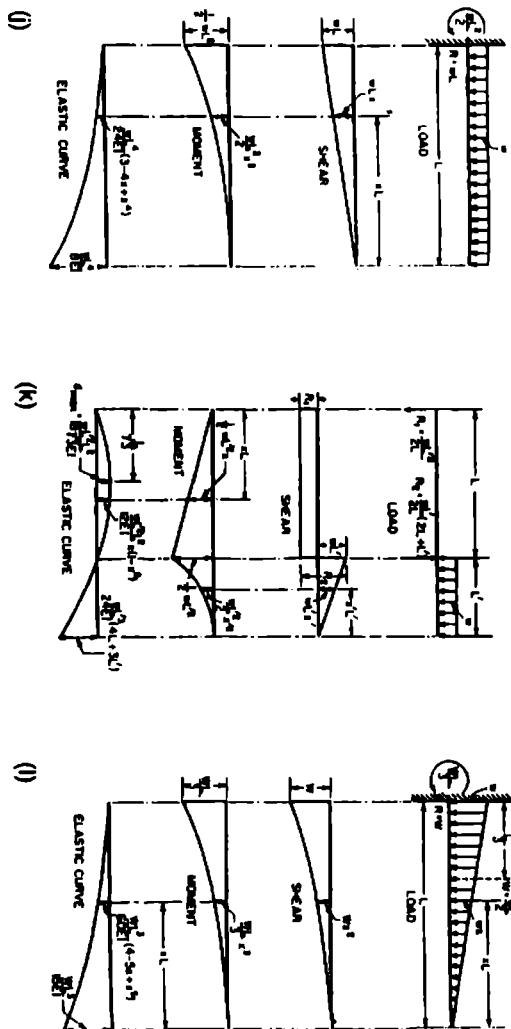
الشكل 3.3 معلمات منحنيات التدلي للجهاز المنشورة /تابع

- التدلي والغرض والقص بجهاز بسيط الإسناد وحمل مركز في منتصف المعاشر.
- التدلي والغرض والقص بجهاز بسيط الإسناد مع جلدين مرتكبين متساوين.
- التدلي والغرض والقص بجهاز بسيط الإسناد مع عدة أحوال متساوية تفصل بينها مسافات متساوية.

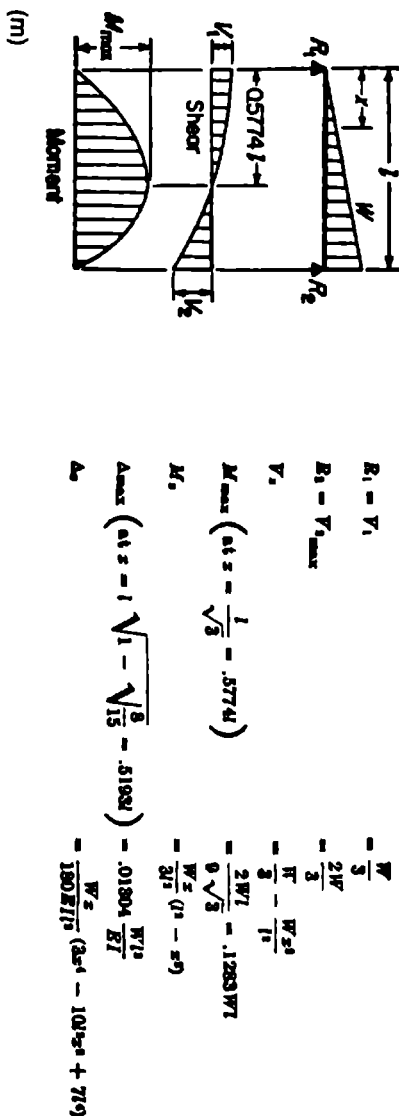


الشكل 3.3 معادلات منحنيات النيل للعناصر المبشرية /أتابع/

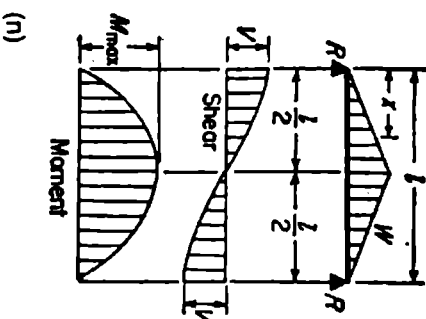
- النيل والغز و القص جلائز ذو هماية بارزة عليها حل مركب.
- النيل والغز و القص جلائز مشت من طرف واحد وحملة مركبة على طرفه الحر.
- النيل والغز و القص جلائز بارز النهاية وعليه حملة مستقطبة موزعة على كامل طوله.



- الشكل 3.3 معادلات منحنيات الدليل للمحاور المترورية (تابع)
 (أ) الندب والاعزز والقص بمحاذير مشتت من طرفه وعليه حمولة موزعة بالنظام على كامل طوله.
 (ب) الندب والاعزز والقص بمحاذير بذاتها بارزة عليها حمولة موزعة بالنظام.
 1) الندب والاعزز والقص بمحاذير بذاتها موثوقة وعليه حمولة موزعة على شكل مثلث.



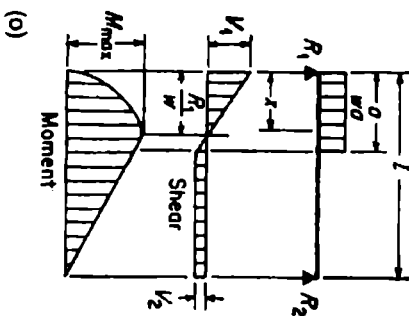
الشكل 3.3 معادلات منحنيات النطلي للمواذن المنشورة /تابع
 (m) جائز بسيط الإسناد مع حمولة تردد بالأنظمة من نهاية لنهاية الأخرى.



$$\begin{aligned}
 R &= V & = \frac{Vl}{2} \\
 V_x \left(\text{when } x < \frac{l}{2} \right) & = \frac{Vx}{2EI} (1^3 - 4x^2) \\
 M_{\max} (\text{at center}) & = \frac{11Vl^3}{96} \\
 M_x \left(\text{when } x < \frac{l}{2} \right) & = Vx \left(\frac{1}{2} - \frac{2x^2}{3l^2} \right) \\
 M_{\max} (\text{at center}) & = \frac{11Vl^4}{60EI} \\
 \Delta_x & = \frac{\frac{11}{60} \frac{V^2 l^4}{E I}}{480 E I} (341 - 4x^2)
 \end{aligned}$$

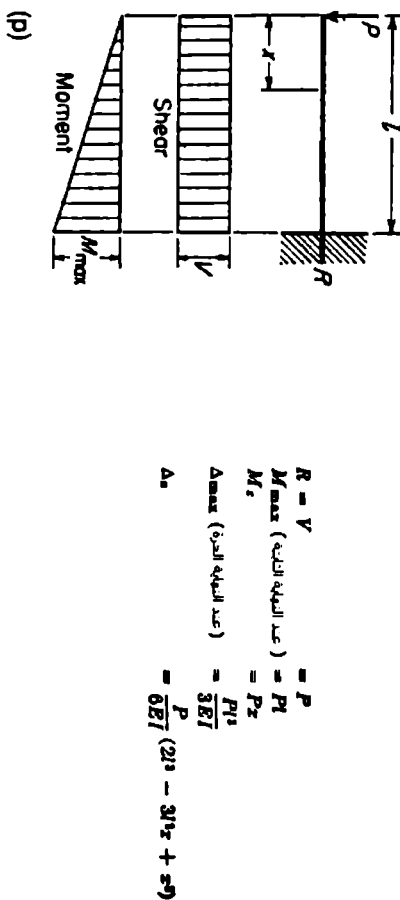
(n)

الشكل 3.3 معادلات منحنيات الدليل للجسور المنشورة /تابع
 (n) جائز بسيط الاسناد مع حمولة تردد باطنظام من النهايتين إلى المركز.

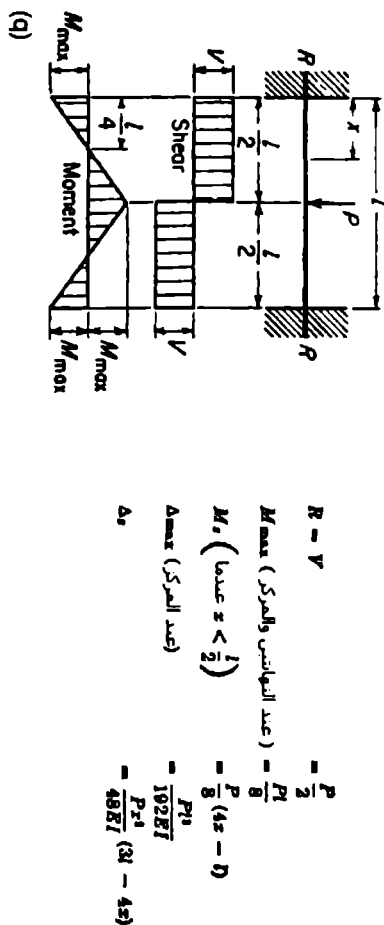


$$\begin{aligned}
 R_1 &= V_{1\text{max}} & = \frac{wt}{2l} (2l - a) \\
 R_2 &= V_1 & = \frac{wt^3}{2l} \\
 V & (\text{when } z < a) & = R_1 - wz \\
 M_{\max} & \left(\text{at } z = \frac{R_1}{w}\right) & = \frac{R_1^3}{2w} \\
 M_x & (\text{when } z < a) & = R_1 z - \frac{wz^3}{3} \\
 M_x & (\text{when } z > a) & = R_1(l - z) \\
 \Delta_s & (\text{when } z < a) & = \frac{wz^2}{24EI} [a^4(2l - a)^3 - 2az^2(2l - a) + 2a^3] \\
 \Delta_s & (\text{when } z > a) & = \frac{wt^4(l - z)}{24EI} (4zl - 2z^3 - a^3)
 \end{aligned}$$

الشكل 3.3 معادلات متحيات الندب للمحوار المنشوري /تابع
 (o) حائز ي Simplify the beam diagram by removing the intermediate support.



الشكل 3.3 معادلات منحنيات النيل للمعوثر المنشورة /إنابع/
 (م) حائز موثوق من طرف، مع حوصلة مرکزة على نهاية المرة.



الشكل 3.3 معادلات منحنيات التدلي للجهاز المنشورة /تابع

(٥٥) حائز موثوق النهايتين مع حموله مركزه في المتصف.

سنورد الآن جدولًا يبين الثوابت الفيزيائية لبعض المعادن المشهورة:

الجدول 3.2

الكتافة kg/m^3	نسبة بواسون، μ	معامل الجسامـة، $G \times 10^3$ (kgf/mm^2) MN/m^2		معامل المرونة، $E \times 10^3$ (kgf/mm^2) MN/m^2		المعدن
2730	0.334	(2.67)	26.2	(7.24)	71.0	Aluminium (حـلـاطـة)
1820	-	-	-	(29.28)	287.1	Beryllium
8230	0.285	(4.92)	48.3	(12.66)	124.2	Beryllium copper
8450	0.30 - 0.40	(3.50)	34.3	(9.70)	95.1	Brass
8730	-	-	-	(11.10)	109.0	Bronze
7820	0.292	(8.00)	78.5	(20.60)	202.0	Carbon steel
7200	0.211	(4.22)	41.4	(10.20)	100.0	Cast Iron, gray
8960	0.260	(3.90)	38.3	(12.30)	120.6	Copper
8960	0.290	(7.75)	76.0	(21.80)	214.0	Inconel
11340	0.450	(0.76)	7.5	(1.60)	15.7	Lead
1800	0.350	(1.69)	16.6	(4.57)	44.8	Magnesium
10200	0.307	(11.95)	117.2	(33.75)	331.0	Molybdenum
8830	0.320	(6.68)	65.6	(18.28)	179.3	Monel metal
8690	0.322	(4.92)	48.3	(13.00)	127.5	Nickel silver
7750	0.291	(7.80)	75.6	(20.00)	196.1	Nickel steel
8160	0.349	(4.22)	41.4	(11.32)	111.0	Phosphor bronze
7750	0.305	(7.45)	73.1	(19.40)	190.3	Stainless steel (18 - 8)
4480	-	-	-	(10.55)	103.5	Titanium
19300	0.170	(17.70)	173.6	(41.53)	437.3	Tungsten
6500	-	-	-	(6.97)	68.4	Zirconium

الجدول 3.3 عامل الوثوقية (عامل الأمان)

السلسل	التفصيل	عامل الأمان R
1	عندما يتم التحكم بالأبعاد النهائية وختبارها أثناء الإنتاج، ويتم شراء المعادن بحيث تكون خصائصها دقيقة جداً مثل حالة تصميم الطائرات وعربات الفضاء	1.0
2	إذا ضمننا بمحارة عالية الوثوقية للمعادن، وعندما نستطيع تحديد الحمولات والإجهادات بشكل دقيق واستخدام قانون دقيق للتصميم.	1.1 إلى 1.5
3	لنفس اعتبارات البند الثاني، إلا أن قانون التصميم غير صارم أو دقيق	1.5 إلى 2.0
4	للمعدن العادي، وإذا كان من المحمول زيادة الحمل، والوثوقية أو الأمان هام جداً	2.0 إلى 3.0
5	للعناصر المصنوعة من حديد الزهر أو حديد الصب (Cast iron)، وإذا كانت الحمولات غير محددة في التصميم، وإذا لم نستطع تحديد الإجهادات بدقة	3 فما فوق
6	في حالة التصميم الميكانيكي للعناصر المصنوعة من الفولاذ أو الألミニوم	1.25 إلى 1.5
7	إذا كانت المواد (من الفولاذ أو الألミニوم) ليست من النوعية الجيدة، أو إذا لم تكن هناك معلومات حول جودتها.	2.00

الجدول 3.4 اللدونة في حالة الشد

المعدن	حد المرونة σ	معامل المرونة $E \times 10^3$	معامل اللدونة u	قوة الصدم (Izod) (عدد)
	MN/m ²	kgf/mm ²	mJ/mm ³ (mm kgf/mm ³)	
7.9	118.0° (12.00)	138.3 (14.10)	124.5 (12.70)	0.905 (0.092)
				0.215 (0.022)
				0.430 (0.044)
				0.905 (0.092)
				0.905 (0.092)
				0.280 (0.029)
				0.452 (0.046)
				2.770 (0.282)
				120
				110
2.7	193.2 (19.70)	68.7 (7.00)	82.4 (8.40)	0.452 (0.046)
				0.280 (0.029)
				0.452 (0.046)
				2.770 (0.282)
20	206.0 (21.10)	207.0 (21.10)	176.5 (18.00)	2.490 (0.254)
				1.695 (0.173)
				4.290 (0.438)
				6.780 (0.691)

العنصر	قوية الصدم (Izod) عدد	معامل اللدونة u mJ/mm^3 (mm kgf/mm^3)	معامل المرونة $E \times 10^{-3}$ MN/m^2 (kgf/mm^2)	حد المرونة σ MN/m^2 (kgf/mm^2)	المعدن
	52	10.620 (1.083) 3.840 (0.392)	206.0 (21.00) 206.0 (21.00)	516.8 (52.70) 310.0 (31.60)	SAE 1095, tempered مراجع ..
	40	18.870 (1.924) 21.810 (2.224)	206.0 (21.00) 214.0 (21.80)	690.0 (70.30) 552.0 (56.25)	SAE 2320, tempered مراجع ..
	30	72.880 (7.431) 7.005 (0.714)	214.0 (21.80) 214.0 (21.00)	1383.0 (141.00) 427.6 (43.60)	SAE 3250, tempered مراجع ..
		52.650 (5.369)	214.0 (21.80)	1100.0 (112.50)	SAE 6150, tempered مراجع ..
		33.900 (3.456)	1.0×10^{-3} (0.11×10^{-3})	2.1 (0.21)	طاط (Rubber) ..

* ليس هناك تحديد دقيق لحد المرونة لحديد الزهر، ولكن يمكننا استخدام القيمة الموضوعة بكل أمان.

4

المحاور ومعادلاتها

المحاور وأعمدة الإدارة

إذا تعرض المحور لعزم أو فقل، فسيتولد داخله إجهاد قص. ويتغير إجهاد القص هذا من القيمة صفر عند محور المحور إلى قيمة أعظمية عند السطح الخارجي أو أقصى ليف. وتعطى العلاقة بين العزم T (KN.m) وإجهاد القص الأعظمي s psi (MPa)) كما يلي:

$$T = s \frac{J}{c}$$

حيث

- ١ هو عزم العطالة القطبي لمقطع المحور، $.in^4 (mm^4)$
- ٢ يمثل المسافة من محور التوازن إلى أقصى ليف.
- ومن أجل المحور الدائري المصمت فإن ٣ تساوي نصف قطر المحور و:

$$J = \frac{\pi D^4}{32}$$

حيث يمثل D قطر المحور وبالتالي:

$$s_s = \frac{TD/2}{\pi D^4 / 32} = \frac{5.1T}{D^3}$$

وإذا كان المحور مفرغ فإن:

$$J = \frac{\pi(D^4 - d^4)}{32}$$

حيث

d - نصف القطر الداخلي، وبالتالي:

$$s_s = \frac{5.17D}{D^4 - d^4}$$

وإذا أردت اختيار قطر المحور المصمت بعد معرفة العزم تستطيع استخدام العلاقة:

$$D = 1.72 \sqrt[3]{\frac{T}{s}}$$

حيث

e - إجهاد التصميم لمادة المحور، وإذا كانت لدينا القدرة على الحصان البخاري وسرعة دوران المحور معروفة، فنستطيع عندها حساب قطر المحور من العلاقة:

$$D = 68.5 \sqrt[3]{\frac{H}{ns}}$$

وستستخدم للمحور المفرغ المعرض للقتل فقط المعادلة التالية:

$$\frac{T}{s} = \frac{D^3(1-q^4)}{5.10}$$

حيث

q - النسبة بين القطر الداخلي والقطر الخارجي وبالتالي:

$$D = 1.72 \sqrt[3]{\frac{T}{s(1-q^4)}}$$

الانحراف الزاوي الناتج عن العزم

عندما يقوم المحور بنقل عزم من طرف آخر، فإنه سيحدث هناك دوران لمحور (الشكل 4.1). وتعطى الزاوية الكلية للدوران بالدرجات وبالنحو التالي: مصمت بقطيع نظامي بالعلاقة:

$$\theta = \frac{584LT}{GD^4}$$

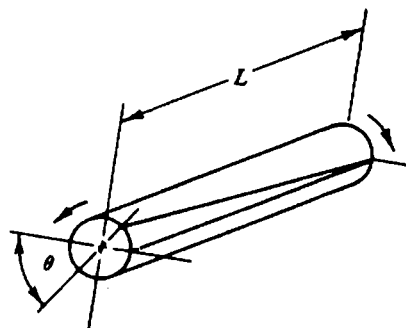
وإذا كان المحور مفرغ:

$$\theta = \frac{584LT}{G(D^4 - d^4)}$$

حيث

L - طول المحور، in (mm)

G - معامل الجسام، psi (MPa)



الشكل 4.1 الانحراف الزاوي الناتج عن تطبيق عزم على محور آلة

المحاور في حالة الانحناء

إذا تم تطبيق عزم احنانه فقط على محور فإنه سيعامل كمحائز. وإذا تعرض محور دائري مصمت لعزم احنانه M KN.m، pound-inches (KN.m)، فيعطي عندها الإجهاد الأعظمي، psi (MPa)، بالعلاقة:

$$s_t = \frac{32M}{\pi D^3}$$

ومن أجل محور مفرغ:

$$s_t = \frac{32M}{\pi D^3} \frac{1}{1 - C^4}$$

حيث:

$$C = \frac{d}{D}$$

المحاور المعرضة لعزم احنانه وفتل مركبين

لا تتعرض المحاور الناقلة للقدرة بواسطة السبورة والمسننات والسلسل إلى عزوم فتل فقط وإنما تتعرض لعزوم احنانه أيضاً. ولحساب تأثير الأحمال المركبة يتم استخدام نظرية إجهاد القص الأعظمي للمعادن المطيلية، واستخدام نظرية الإجهاد الناظمي الأعظمي للمعادن القصبة.

ومن أجل الإجهاد الناظمي الأعظمي:

$$s_{t,\max} = \frac{s_t}{2} + \sqrt{s_s^2 + \frac{s_t^2}{4}}$$

حيث:

$s_{t,\max}$ = الإجهاد الناظمي الأعظمي، psi (MPa)

s_s = إجهاد الشد، (MPa)

s_t = إجهاد القص، (MPa)

ومن أجل نظرية إجهاد القص الأعظمي:

$$s_{s,\max} = \sqrt{s_s^2 + \frac{s_t^2}{4}}$$

حيث:

$s_{s,\max}$ = إجهاد القص الأعظمي، (MPa). ولذلك ومن أجل المحاور الدائرية المقطع المصمتة تصبح المعادلة كما يلي:

$$s_{s,\max} = \frac{5.1}{D^3} \sqrt{T^2 + M^2}$$

حيث

T = عزم الفتل lb.in (KN.m)

M = عزم الانحناء lb.in (KN.m)

ومن أجل المحاور المفرغة الدائرية المقطع:

$$s_{s,\max} = \frac{5.1}{D^3} \sqrt{T^2 + M^2} \frac{1}{1 - C^4}$$

ويعطى إجهاد الشد الأعظمي الناتج عن الحمل المركب وفق نظرية الإجهاد الناظمي الأعظمي بالعلاقة:

$$s_{t,\max} = \frac{s_t}{2} + \sqrt{s_s^2 + \frac{s_t^2}{4}}$$

والتي تصبح من أجل المحاور دائيرية المقطع المصمتة:

$$s_{t,\max} = \frac{5.1}{D^3} (M + \sqrt{T^2 + M^2})$$

ومن أجل المحاور المفرغة دائيرية المقطع:

$$s_{t,\max} = \frac{5.1}{D^3} \left(M + \sqrt{T^2 + M^2} \right) \left(\frac{1}{1 - C^4} \right)$$

يشير الحد $\sqrt{T^2 + M^2}$ غالباً إلى عزم اللي المكافئ، والذي يُعرف كعزم فتل خيالي (غير حقيقي) والذي يحرّض (أو يعطي) نفس إجهاد القص في المحور كعزم مركب من عزم فتل فعلي وعزم المحناء فعلي.

وإذا تعرضت المحاور لحمولات مفاجئة فيجب ضرب العزم T و M بعامل من 1.5 إلى 2.0، اعتماداً على كبر الحمل المفاجئ المطبق، وتستخدم القيم الأعلى من أجل الحمولات الأكبر.

محاور نقل القدرة

تصنّع المحاور من المعادن المطيلية وتصمّم اعتماداً على المثانة باستخدام نظرية القص الأعظمي، ونفرض في المعادلات الآتية بأن المحاور مصنوعة من المعادن المطيلية وذات مقاطع دائيرية. تتعرض محاور نقل القدرة عادة لحمولات فتل والمحناء وحملات محورية. ويعطى إجهاد عزم الفتل T لحملات عزوم الفتل كما يلي:

$$\tau_{xy} = \begin{cases} \frac{M_I r}{J} = \frac{16M_I}{\pi d^3} & \text{للمحاور المصنفة} \\ \frac{16M_I d_o}{\pi(d_o^4 - d_i^4)} & \text{للمحاور المفرغة} \end{cases}$$

ومن أجل حمولات الانحناء يعطى إجهاد عزم الانحناء s_b (شد أو ضغط) كما يلي:

$$s_b = \begin{cases} \frac{M_b r}{J} = \frac{16M_b}{\pi d^3} & \text{للمحاور المصنفة} \\ \frac{32M_b d_o}{\pi(d_o^4 - d_i^4)} & \text{للمحاور المفرغة} \end{cases}$$

وبعطي إجهاد الشد أو الضغط من أجل الحمولات المحورية كما يلي:

$$s_a = \begin{cases} \frac{4F_a}{\pi d^2} & \text{للمحاور المصنفة} \\ \frac{4F_a}{\pi(d_o^2 - d_i^2)} & \text{للمحاور المفرغة} \end{cases}$$

ونعطي صيغة معادلة ASME للمحاور المفرغة التي تتعرض لحملات قتل وانحناء وحملات محورية غير تطبيق معادلة إجهاد القص الأعظمي المعدلة بإدخال عوامل الصدم والتعب والأعمدة كما يلي:

$$d_o^3 = \frac{16}{\pi s_s(1 - K^4)} \sqrt{\left[K_b M_b + \frac{\alpha F_a d_o (1 + K^2)}{8} \right]^2 + (K_I M_I)^2}$$

وتحتزل صيغة معادلة ASME بالنسبة للمحاور المصمتة ذات الحمولات المحورية الخفيفة أو المعدومة كما يلي:

$$d^3 = \frac{16}{\pi s_s} \sqrt{(K_b M_b)^2 + (K_i M_i)^2}$$

حيث وعند المقطع المختار لدينا:

τ_{xy} - إجهاد قص عزم الفتل، MPa.

M_i - عزم الفتل، in.lb(KN.m).

M_b - عزم الانحناء، in.lb(KN.m).

d_o - قطر المحور الخارجي، in (mm).

d_i - قطر المحور الداخلي، in (mm).

F_o - الحمل المحوري (القوة المحورية)، lb (KN).

$$K = \frac{d_i}{d_o}$$

K_o - عامل حد الصدم والتعب المركب المطبق عبر عزم الانحناء (الانعطاف).

K_i - عامل حد الصدم والتعب المركب المطبق عبر عزم الفتل.

وتعطى قيم عاملي حد الصدم والتعب المركب المطبق عبر عزمي الفتل والانحناء في الجدول التالي:

الجدول 1.4

K_1	K_2	
		للمحاور الثابتة:
1.0	1.0	تطبيق العمل بالتدريج
1.5 - 2.0	1.5 - 2.0	تطبيق العمل بشكل مفاجئ
		للمحاور الدوارة:
1.0	1.5	تطبيق العمل بالتدريج
1.0 - 1.5	1.5 - 2.0	تطبيق العمل بشكل مفاجئ (صدمة خفيفة)
1.5 - 3.0	2.0 - 3.0	تطبيق العمل بشكل مفاجئ (صدمة شديدة)

S_b - الإجهاد الناتج عن عزم الانحناء (شد أو ضغط)، (psi) (MPa).

S_c - الإجهاد الناتج عن القوة المحورية (الحمل المحوري) (شد أو ضغط)، (psi) (MPa).

تخصص صيغة معادلة ASME للأعمدة المصنوعة في الفولاذ التجاري.

للمحاور غير الخاوية على بخاري خوابير 8000 psi - (المسموح به)،

للمحاور الخاوية على بخاري خوابير 6000 psi - (المسموح به)،

S_d (الإجهاد المسموح به) = 30 % من حد المرونة ولكن ليس أعلى من 18 % من المثانة العظمى في حالة الشد للمحاور بدون بخاري خوابير، وتختفي هذه القيمة بنسبة 25 % في حالة وجود بخاري خوابير.

α - عامل توضع العمود، ويعتبر عامل توضع العمود واحدى من أجل حمولة الشد، أما من أجل حمولات الضغط فيمكن حساب α من المعادلة التالية:

$$\alpha = \begin{cases} \frac{1}{1 - 0.0044(L/k)} & \text{من أجل } \frac{L}{k} < 115 \\ \frac{s_y}{\pi^2 n E} \left(\frac{L}{k} \right)^2 & \text{من أجل } \frac{L}{k} > 115 \end{cases}$$

$$n = \begin{cases} 1 & \text{من أجل همايتين بارزتين} \\ 2.25 & \text{من أجل همايتين مشبعتين} \\ 1.6 & \text{من أجل همايتين مقيدين جزئياً كما في حالة المدحرجات} \end{cases}$$

K - نصف قطر الدوران = $\sqrt{\frac{I}{A}}$.in (mm)

I - عزم العطالة، .in⁴ (mm⁴)

A - مساحة مقطع المحور، .in² (mm²)

S_y - إجهاد حد الخضوع في حالة الضغط، .psi (MPa)

جسأة الفتل

يعتمد تصميم المعاور وفق جسأة الفتل على زاوية الفتل المسموح لها، وتعتمد زاوية الفتل المسموح لها بدورها على التطبيق العملي، وتغير بمحوالى 0.08 درجة لكل قدم (0.3 m)، من أجل المعاور المستخدمة في آلات التشغيل، حوالي 1.0° لكل قدم (0.3 m) من أجل أعمدة المناولة العلوية:

$$\theta = \begin{cases} \frac{584M_i L}{G(d^4_0 - d_i^4)} & \text{للمعايير ذات المقاطع الدائرية المفرغة} \\ \frac{584M_i L}{Gd^4} & \text{للمعايير ذات المقاطع الدائرية المصمتة} \end{cases}$$

حيث

- .deg - زاوية الفتل، θ
- .in - طول المحور، L
- .in.lb (KN.m) - عزم الفتل، M_t
- .MPa - معامل المرونة لعزم الفتل (G)
- .in (mm) - قطر المحور، d

الجسأة الجانبية

يعتمد تصميم المحاور وفق الجسأة الجانبية على الإزاحة العرضية المسماوح بها لحاوية المدحّر العامل، وعلى دقة أداء آلة التشغيل، وعلى الأداء المرضي للمسن، وعلى توضّع المحور، ومتطلبات مشاهدة أخرى. وتحدد قيمة الإزاحة عبر إجراء التكامل مرتبين للعلاقة:

$$\frac{d^2y}{dx^2} = \frac{M_b}{EI}$$

حيث

- .in.lb (KN.m) - عزم الانحناء (الانعطاف)، M_b
- .psi (MPa) - معامل المرونة، E
- .in⁴ (mm⁴) - عزم العطالة، I

إذا كان المحور مؤلف من مقاطع مختلفة فنقوم عملياً بإجراء حل بياني للمعادلة السابقة.

العزوم

يعتبر عزمي الفتل والاخناء هما العاملين الرئيسيين المؤثرين على تصميم المحور، وتكون الخطوة الأولى في عملية تصميم المحور في رسم مخطط عزم الاخناء للمحور العمل، أو مخطط عزم الاخناء المركب إذا كانت الحمولات المؤثرة على المحور واقعة في أكثر من مستوي، وعندها يمكن تحديد النقاط ذات إجهاد الاخناء الخارج من مخطط العزم.

يمكن تحديد عزم الفتل المؤثر على المحور من العلاقة التالية:

$$M_t = \frac{hp \times 33,000 \times 12}{2, \pi rpm} = \frac{63,000 \times hp}{rpm} \quad \text{in.lb (kN.m)}$$

ويمدد العزم عند استخدام القيادة بالس سور بالعلاقة:

$$M_t = (T_1 - T_2)R \quad \text{in.lb (kN.m)}$$

حيث

T_1 - قوة الشد على الجانب المشدود من القشاط (السير) على البكرة، lb (KN).

T_2 - قوة الشد على الجانب غير المشدود من القشاط على البكرة، lb (KN).

R - نصف قطر البكرة، in (mm).

ومن أجل القيادة بالمسننات يحدد العزم كما يلي:

$$M_t = F_t R$$

حيث F_t - القوى الماسية على نصف القطر الخطري، lb (KN).

R - نصف القطر الخطري، in (mm).

السرعة الحرجة

عندما يكون المحور خاضع لحمل مركز متواضع على أي نقطة من طوله، نستطيع تحديد السرعة الحرجة له بالعلاقة:

$$N_c = \frac{188}{\sqrt{Y}}$$

حيث

N_c = السرعة الحرجة، rpm.

Y = انحراف المحور، in (mm).

ويتم إيجاد انحراف المحور عبر استخدام طرق القصبان.

إذا كان المحور مصنوعاً من الفولاذ ذو مقطع دائري مصمت ومستند بواسطة مدحريين قلبي السماعة أو بمدحريات ذات تراصف تلقائي فتصبح معادلة السرعة الحرجة كما يلي:

$$N_c = 387,000 \frac{D^2}{ab} \sqrt{\frac{L}{P}}$$

حيث

D = القطر (mm)

L = المسافة بين مدحريات الإسناد، in (mm)

P = الحمل، lb (Kg)

a و b هما المسافة بين الحمل والمدحريين، in (mm)

إذا كان المحور مثبت بشكل جاسي، بمدحريات طويلة:

$$N_c = 387,000 \frac{D^2 L}{ab} \sqrt{\frac{L}{P_{ab}}}$$

وحتى نستطيع تطبيق هذه المعادلات يجب أن يكون المحور ذو قطر منتظم والأكتاف والنتوات صغيرة بحيث يمكن إهمالها، وإذا كان وزن المحور صغير نسبياً فيمكن إهماله عادةً، وإذا أردنا إدخاله فنقوم بإضافة نصف الوزن إلى الحمل المطبق.

ويجب أن لا تزيد سرعة عمل المحور الأعظمية عن 80 % من السرعة الحرجة. وتعطي السرعة الحرجة للمحاور ذات المقاطع الثابتة والمستدة إسناداً بسيطاً عند نهايتها، مع عدم وجود كتلة مضافة إلى كتلة المحور نفسه بالعلاقة التالية:

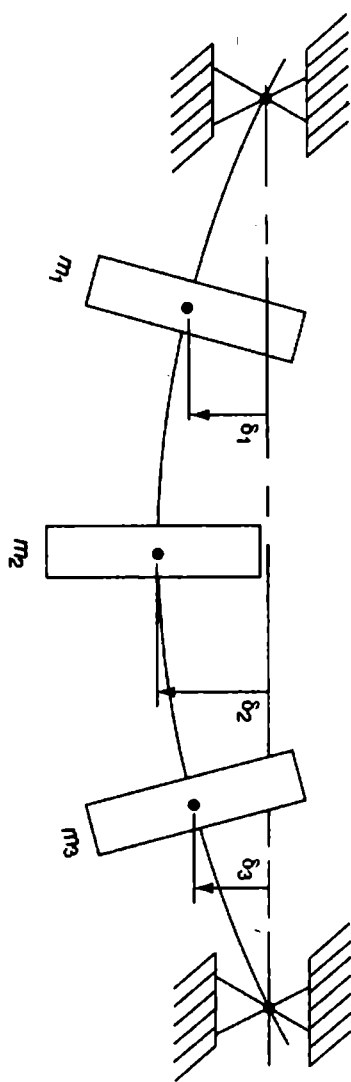
$$\omega_c = \sqrt{\frac{5}{4} \frac{g}{\delta_{(\max)}}} \quad \text{rad/unit time}$$

$\delta_{(\max)}$ تمثل الاختلاف статики الأعظمي الناتج عن الحمل الموزع بانتظام والمساوي لوزن المحور.

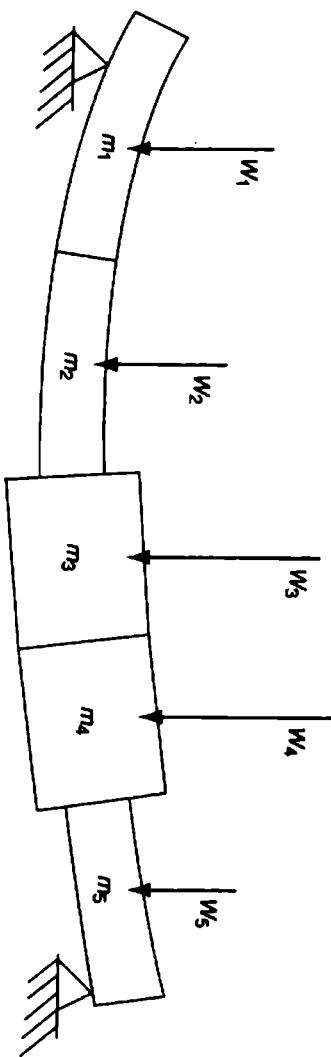
g يمثل ثابت الجاذبية (386 in/s^2 أو 32.2 ft/s^2).

ومن أجل محور مهمل الكتلة يحمل عدة كتل مرکزة (انظر الشكل 4.2) تعطي السرعة الحرية الأولى بشكل تقريري بالعلاقة:

$$\omega_c = \sqrt{\frac{\sum_j g W_n \delta_n}{\sum_1^j W_n \delta_n^2}} \quad \text{معادلة Rayleigh - Ritz}$$



الشكل ٤.٢ : مخور مهمل الكتلة يحمل عدة كتل مرکزة



الشكل ٤.٣ : محرر ذو كيل موزع

حيث

w_n = وزن الكتلة n .

δ_n = التدلي статистيكي عند الكتلة n .

ز - العدد الكلي للكتل.

يمكن استخدام نفس المعادلة لتقدير السرعة الحدية الأولى لمحور ذو كتلة موزعة. (راجع الشكل 4.3). حيث قمنا بقسم الكتلة الموزعة إلى عدد من القطع m_1 و m_2 و m_3 الخ. مركبين كل كتلة منتظمة في مركز ثقلها.

تُعطى معادلة Dunkerley والتي هي تقرير آخر للسرعة الحدية الأولى لنظام متعدد الكتل كما يلي:

$$\frac{1}{\omega_c^2} = \frac{1}{\omega_1^2} + \frac{1}{\omega_2^2} + \frac{1}{\omega_3^2} + \dots \quad \text{معادلة Dunkerley}$$

حيث تمثل

ω_n السرعة الحدية الأولى لنظام متعدد الكتل.

ω_1 السرعة الحدية فيما لو كانت الكتلة 1 موجودة فقط.

ω_2 السرعة الحدية فيما لو كانت الكتلة 2 موجودة لوحدها فقط. الخ.

إن من المفيد أن نذكر بأن معادلتي Rayleigh-Ritz و Dunkerley هما معادلتان تقريبيتان للتعدد الطبيعي الأول للاهتزاز، والذي من المفترض أن يكون قريباً من السرعة الحدية الأولى للدوران. وبشكل عام تزيد معادلة Rayleigh-Ritz من تقدير التردد الطبيعي، بينما معادلة Dunkerley تبخس من تقدير التردد الطبيعي.

المعادلات التجريبية لمحاور نقل القدرة المصنوعة من الفولاذ

تستخدم عدة معادلات تجريبية لمحاور نقل القدرة المصنوعة من الفولاذ، وتحوي معظمها على واحد أو أكثر من عوامل تجريبية.

من أجل المحاور المصمتة:

D - القطر الخارجي للمحور، .in (mm)

T - عزم الفتل الأعظمي، .in.lb (N.m)

B - عزم الانحناء الأعظمي، .in.lb (N.m)

K_t - عامل الخدمة ويطبق على العزم T، يتراوح بين 1.0 و 2.0.

K_b - عامل الخدمة ويطبق على العزم B، يتراوح بين 1.0 و 2.5.

π - ثابت، 3.1416

hp - الاستطاعة المتنقلة (KW).

R - دورة في الدقيقة.

S - إجهاد العمل المسموح به، .psi (MPa)

ويحسب قطر المحور المعرض لعزم مركب من عزم الانحناء وعزم فتل بالعلاقة:

$$D = \sqrt[3]{\frac{16}{\pi S c} \sqrt{(K_t T)^2 + (K_b B)^2}}$$

أو

$$\sqrt[3]{\frac{16}{\pi S c} \sqrt{\left(\frac{396,000 K_t hp}{2\pi R}\right)^2 + (K_b B)^2}}$$

ومن أجل حمولة عزم المثناة فقط:

$$D = \sqrt[3]{\frac{32K_b B}{\pi S_b}} \quad K_b B = \frac{\pi}{32} S_b D^3 = 0.09817 S_b D^3$$

ومن أجل حمولة عزم فتل فقط:

$$D = \sqrt[3]{\frac{321,000 K_t hp}{S_t R}} \quad K_t T = 0.1963 S_t D^3$$

$$K_t (hp) = \frac{S_t D^3 R}{321,000}$$

ومن أجل المحاور المفرغة المكافحة، قم بإيجاد القطر D للمحور المصمت واخربه بالقيمة $K^4 - 1/\sqrt[3]{1}$ لإيجاد القطر الخارجي للمحور المفرغ المكافحة لأي نسبة تصميم K، حيث يمثل D_1 القطر الداخلي للمحور المفرغ و K نسبة القطر الداخلي إلى القطر الخارجي - $\frac{D_1}{D}$.

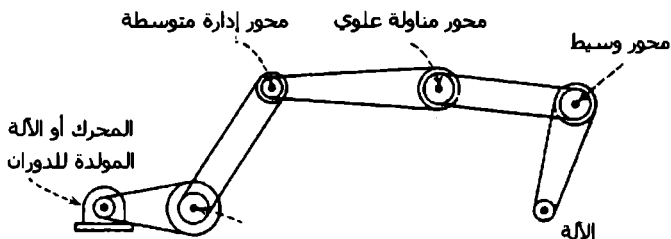
الأنظمة ذات محاور نقل القدرة المتعددة

يبين الشكل 4.4 أسماء وتوضع المحاور المختلفة المستخدمة في نظام متعدد المحاور المقاد عبر السبورة أو السلسل أو كليهما.

المحاور القائنة

الموضع: أول محور من جهة المحرك أو الآلة المولدة للدوران.

السرعات: يتراوح الحال الصناعي من 25 إلى 550 دورة بالدقيقة.



الشكل ٤.٤ : نظام يستخدم محاور نقل قدرة متعددة

المعادلة:

$$hp = \frac{D^3 R}{125}$$

$$D = \sqrt[3]{\frac{125 \times hp}{R}}$$

حيث

hp = الاستطاعة، (KW).

D = قطر المحور، .in (mm).

R = سرعة الدوران، .rpm.

125 = ثابت للإجهاد الفعلي الآمن الناتج عن عزم مركب من عزم فتل واغناء وهو psi (19.3 MPa) 2800.

محاور المناولة العلوية

التوضيح: يمكن أن تكون أول محور بعد المحرك أو أول محور أو ثاني محور من المحاور القائدة.

السرعات: يتراوح المجال الصناعي لهذه المحاور بين 70 إلى 400 rpm.

المعادلة:

$$hp = \frac{D^3 R}{100} ,$$

$$D = \sqrt[3]{\frac{100 \times hp}{R}}$$

حيث

hp = الاستطاعة (KW).

D = قطر المحور، (mm) .in

R = سرعة الدوران، rpm.

100 - ثابت للإجهاد الفعلي الآمن الناتج عن عزم مركب من عزم القتل والاختناق وهو psi (22.1 MPa) 3200.

محاور إدارة متوسطة

التوضع: إما بين المحاور القائدة ومحاور المناولة العلوية، أو بين محاور المناولة العلوية ومحاور الوسيطة.

السرعات: يتراوح المجال الصناعي لسرع هذه المحاور بين 100 و 400 rpm.

المعادلة: نفس المعادلة لمحاور المناولة العلوية.

المحاور الوسيطة

التوضع: تتوضع عادةً بين محاور المناولة العلوية وابناء الدوار من الآلة.

السرعات: يتراوح المجال الصناعي لسرع هذه المحاور بين 100 و 600 rpm.

المعادلة: من أجل تحميل وعمل متوسطين:

$$hp = \frac{D^3 R}{80}$$

$$D = \sqrt[3]{\frac{80 \times hp}{R}}$$

حيث

• الاستطاعة (KW) hp

• قطر المحور، (mm) D

• سرعة الدوران، rpm R

80 - ثابت للاجهاد الفعلي الآمن الناتج عن عزم مركب من عزم فتل وانحناء بقيمة (24.8 MPa) 3600 psi.

يعطي الجدول التالي معادلات زاوية الدوران الناتجة عن الفتل θ للمحاور ذات المقاطع المختلفة:

الجدول 4.2 : المعادلات المعتبرة عن زاوية الفتل الناتجة عن العزم كتابعة للمقطع

θ - زاوية الفتل، رadians

T - عزم الفتل، (N.m) in.lb

L - طول المحور، (mm) in

N - معامل المساحة (MPa) psi

D - أبعاد مقاطع المحور، (mm) d, d_a, d_b, d_c, d_s, d_m, b, a

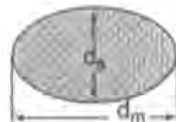
θ زاوية الفتل الناتجة عن العزم
مقطع المحور



$$\frac{32TL}{\pi D^4 N}$$



$$\frac{32TL}{\pi(d_0^4 - d_1^4)N}$$



$$\frac{16(d_m^2 + d_s^2)\pi L}{\pi d_m^3 d_s N}$$



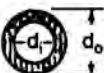
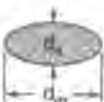
$$\frac{7.11 TL}{s^4 N}$$



$$\frac{3.33(a^2 + b^2)TL}{a^3 b^3 N}$$

بينما يعطي الجدول التالي معادلات عزم الفتل للمحور مع مواضع إجهاد القص الأعظمي في المحور.

الجدول 4.3 : معادلات عزم الفتل للمحاور ومواقع اجهاد القص الاعظمي في كل محور

معادلات عزم الفتل = T	موقع اجهاد القص الاعظمي	مقطع المحور
$\frac{\pi D^3 f}{16}$	بعد ليف	
$\frac{\pi}{16} (d_m^4 - d_o^4) f$	بعد ليف	
$\frac{\pi d_m d_i^2 f}{16}$	نهاية المحور الرئيسي	
0.2085 f	متصف الأضلاع	
$\frac{A^2 B^2 f}{3A + 1.8B}$	نقطة متصف الضلع الرئيسي	

ملاحظة : f هي اجهاد القص الاعظمي .psi (MPa)

الحدافات على المحاور (الدواليب المعدل)

تشجع بعض مصادر الاستطاعة - مثل محركات الاحتراق الداخلي - القدرة خلال جزء صغير من دورها. لذلك تستخدم الحدافات (الدواليب المعدل) لتعزيز خرج هذه التقلبات وجعل تدفق القدرة أكثر انتظاماً.

تعطى الطاقة الحركية (KE) للحدافات كما يلي:

$$KE = \frac{Wv^2}{2g}$$

حيث

KE - الطاقة الحركية، .ft.lb (KN.m)

W - وزن الحدافة، (Kg) .lb

v - سرعة مركز الكتلة، (m/s) .ft/s (m/s)

g - ثابت الجاذبية الأرضية، .ft/s² (m/s²)

يعتمد التغير المقبول في السرعة الزاوية على المشأة أو التطبيق الذي ستوضع فيه الحدافة، ويستخدم عامل التنظيم لتحديد قيمة (أو مجال) تغير السرعة الزاوية، والذي يعطى كما يلي:

$$C_f = \frac{v_1 - v_2}{v}$$

حيث

C_f - عامل التنظيم.

$$\Delta KE = \frac{WC_f v^2}{g}$$

إذا كانت سماكة الإطار مهملة بالنسبة للقطر (كما هو في الحالة المعتادة) فيمكن اعتبار مركز الإطار هو مركز الكتلة.

ويؤخذ تسارع الجاذبية الأرضية عادة بقيمة 32.2.

$$W = \frac{32.2 \Delta KE}{C_f v^2}$$

حيث

W - وزن الإطار، lb (Kg).

v - متوسط سرعة مركز الإطار (m/s . ft/s).

المخاور العمودية الخاصة بالمزج أو أوعية الخلط

معادلة الاستطاعة بالمحسان البخاري

$$\text{الاستطاعة المطلوبة} = \frac{WV^2}{550G}$$

حيث

W - الوزن الكلى المراد خلطه أو مزجه.

v - السرعة، ft/s (تشكل القطر الرئيسي للمحرك).

G - ثابت الجاذبية الأرضية أو 32.2.

لاحظ بأن: الاستطاعة بالمحسان البخاري (hp) $= 0.746 \times KW$

وستورد الآن جدولًا بخواص المواد التي تصنع منها المخاور:

نسبة الاستقطان	حد المرونة	الدانة الفصورية	نسبة الكربون	المعدن
	MN/m ² (kgf/mm ²)	(MN/m ²) (kgf/mm ²)		
ضفت	ضفت	ضفت	شد	
35	122.5 (12.5)	241.0 (24.6)	241.0 (24.6)	482.0 (49.2)
35	103.0 (10.5)	206.0 (21.0)	206.0 (21.0)	412.0 (42.0)
26	113.0 (11.5)	245.0 (25.0)	225.0 (23.0)	451.0 (46.0)
24	121.0 (12.3)	275.0 (28.0)	275.0 (28.0)	482.0 (49.2)
22	130.0 (13.2)	314.0 (32.0)	314.0 (32.0)	520.0 (53.0)
20	138.0 (14.1)	345.0 (35.2)	276.5 (28.2)	553.0 (56.4)
26	147.0 (15.0)	382.0 (39.0)	294.0 (30.0)	588.0 (60.0)
25	155.0 (15.8)	414.0 (42.2)	310.0 (31.6)	620.0 (63.2)

الجدول ٤.٤ : خواص مواد المخارق

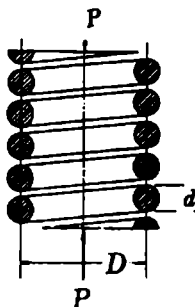
5

عناصر الآلات ومعادلات الوثوقية

النوابض

النوابض الحلزونية

من أجل نوابض الشد أو الضغط الحلزونية:



الشكل 5.1 : نابض ضغط حلزوني

$$\tau = \frac{8PD}{\pi d^3}$$

$$P = \frac{\pi d^3 \tau}{8D}$$

$$\delta = \frac{8PD^3 n}{Gd^4}$$

$$\delta = \frac{\pi D^3 n \tau}{Gd}$$

$$P = \frac{Gd^4 \delta}{8D^3 n}$$

$$k = \frac{P}{\delta} = \frac{Gd^4}{8D^3n}$$

$$\tau = K_{\tau} = \frac{8PDK}{\pi d^3}$$

$$\tau' = K_{\tau} = \frac{8PDK}{\pi d^3}$$

$$K = \frac{4c-1}{4c-4} + \frac{0.615}{c}$$

$$c = \frac{D}{d} \quad \text{دليل النابض}$$

حيث:

P - الحمل على النابض.

D - قطرى السلك واللفات.

δ - الانحراف.

τ - إجهاد القص غير المصحح.

K_{τ} - إجهاد القص المصحح.

K - عامل تصحيح الانحناء (يعطى في المراجع الهندسية).

n - عدد اللفات الفعالة في النابض.

$$k = \frac{P}{\delta} \quad \text{صلابة النابض.}$$

ومن أجل نوابض الضغط ذات النهايات المترعة من الانفاف أثناء الانحراف، يعطى التمدد في القطر خلال الانضغاط من الحالة الحرجة إلى الارتفاع الصلب كما يلي:

$$\Delta D = 0.05 \frac{P^2 - d^2}{D}$$

حيث

P - الخطرة - أو المسافة من المركز إلى المركز - عند الارتفاع الحر، وإذا كانت الهايتين حرتين في الالتفاف يصبح التمدد في القطر كما يلي:

$$\Delta D = 0.10 \frac{P^2 - 0.8pd - 0.2d^2}{D}$$

التحميل الجانبي لنوابض الضغط

تعرض النوابض الحلوانية - وخاصة تلك التي تستخدم كعوازلات اهتزاز - إلى تحمل جانبي بقورة F أثناء انضغاطها بقوة عمودية P، وتصبح في هذه الحالة المقاومة الوحيدة للتحميل الجانبي هي صلابة النابض (الشكل 5.2).

ومن أجل النوابض الفولاذية ذات الأسلاك الدائرية المقطوع - وإذا كان الصلابة k_x في الاتجاه العرضي بالمعادلة:

$$k_x = \frac{F}{\delta_x} = \frac{10^6 d^4}{C_1 n D (0.204 h_s^2 + 0.265 D^2)}$$

حيث

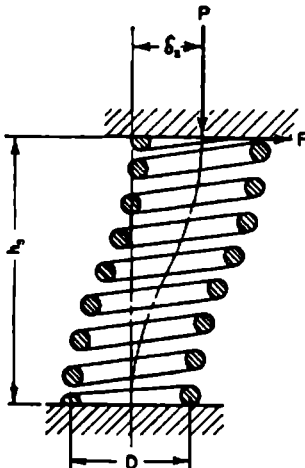
δ_x - الانحراف الجانبي الناتج عن القوة F.

l_x - الطول الحر.

h_s - مقدار انضغاط النابض - δ_x - .

δ_x - الانحراف الشاقولي الناتج عن الحمل P.

C_I = عامل يعتمد على النسبتين $\frac{l_o}{D}$ و $\frac{\delta_{st}}{l_o}$ ، وتؤخذ قيم هذا العامل من مخططات موجودة في المراجع الهندسية.



الشكل 5.2 : نابض خاضع لحمل مركب عمودي وجانبي (احدى نهايتيه مشبطة والثانية مقادة (موجهة)).

تعطى نسبة الصلابة الخورية $k_y = P/\delta_s$ إلى الصلابة الجانبية k_x للنوابض الفولاذية ذات الأسلك الدائري المقطع حيث $E = 30 \times 10^6 \text{ psi}$ (206.9 GPa) و $G = 11.5 \times 10^6 \text{ psi}$ (79.3 GPa) بالعلاقة التالية:

$$\frac{k_y}{k_x} = 1.44 C_I \left(0.204 \frac{h^2}{D^2} + 0.265 \right)$$

وتصلح هذه المعادلة أن تطبق على التوابض المصنوعة من مواد أخرى تملك النسبة $\frac{E}{G}$ مساوية تقريباً 2.6.

الترددات الطبيعية: يعطى التردد الطبيعي f_n مقدراً بدورة كل ثانية أو بالهرتز (Hz) للنوابض الحلزونية المخصوصة بين صفيحتين متوازيتين بالعلاقة:

$$f_n = \frac{2d}{\pi D^2 n} \sqrt{\frac{Gg}{32\gamma}}$$

حيث

n - عدد اللفات الفعالة.

g - تسارع الجاذبية الأرضية.

وتصبح هذه المعادلة من أجل التوابض الفولاذية مقصومتي النهاية وتملك $G = 11.5 \times 10^6 \text{ psi}$ (79.3 GPa) $D = 0.008 \text{ Kg/cm}^3$ و $\gamma = 0.285 \text{ lb/in}^3$ بالشكل التالي:

$$f_n = \frac{14,000d}{D^2 n}$$

وتكون ترددات الأنماط الأعلى للاهتزاز عبارة عن الأمثال 2 و 3 و 4 ... الخ من هذا التردد.

تأثير الصدم: إذا تعرضت إحدى نابض حلزوني طويل مسبق الضغط أو حر لانضغاط مفاجئ عبر كتلة ثقيلة متحركة بسرعة v ، فستحدث عندها موجة اندفاع منتشرة على طول سلك النابض بسرعة v ، حيث:

$$v_s = \frac{d}{D} \sqrt{\frac{gG}{2\gamma}}$$

ومن أجل فولاذ يملك $G = 11.5 \times 10^6 \text{ psi}$ (79.3 GPa) و $\gamma = 386 \text{ in/s}$ (980.4 cm/s)

$$\gamma = 0.283 \text{ lb/in}^3 (7833 \text{ kg/m}^3)$$

$$v_s = \frac{88,560d}{D} \quad \text{in/s (cm/s)}$$

ويعطى الزمن اللازم لانتشار هذه الموجة على كامل طول سلك النابض بالعلاقة:

$$t_s = \frac{\pi n D}{v_s}$$

وتعطى الزيادة في إجهاد القص غير المصحح $\Delta\tau$ ، عندما تتعرض إحدى نهايتي نابض طريل لأنضغاط مفاجئ بسرعة v بالعلاقة:

$$\Delta\tau = v \sqrt{\frac{2\gamma G}{g}}$$

ومن أجمل التوابض الفولاذية التي تملك $G = 11.5 \times 10^6 \text{ psi}$ (79.3 GPa) $\gamma = 0.285 \text{ lb/in}^3$ (7888 Kg/m³).

$$\Delta\tau = 130 v$$

حيث تعطى السرعة v بالإنش لكل ثانية (cm/s) و $\Delta\tau$ (MPa) (psi). ما يعني بأن $\Delta\tau$ لا تتعلق بأبعاد النابض.

وتعطى الزيادة المطابقة في الحمل ΔP والانحراف للفة $\Delta\delta$ بالعلاقتين:

$$\Delta P = \frac{\pi v d^3}{8 D} \sqrt{\frac{2\gamma G}{g}}$$

$$\Delta\delta = \frac{\pi v D^2}{d} \sqrt{\frac{2\gamma}{g G}}$$

ومن أجل التوابض الفولاذية، وعندما تعطى ΔP بوحدات (N) ، و $\Delta \delta$ بوحدات in/s (cm/s) تصبح كما يلي:

$$\Delta P = \frac{51d^3v}{D}$$

$$\Delta \delta = \frac{D^2v}{d} (35.5 \times 10^{-6})$$

نوابض الشد العلزونية

تعطى المعادلات التقريرية لنوابض الشد ذات نصف حلقة معدلة لتشكل نهاية الرشيعة (الشكل 5.3) بالشكل:

$$\frac{PD}{2} \text{ عند الانحناء عند } A'$$

حيث

D - قطر اللفة الوسطي.

$$\frac{16PD}{\pi d^3} = A' \text{ وإجهاد الانحناء الاسمي عند } A'$$

حيث

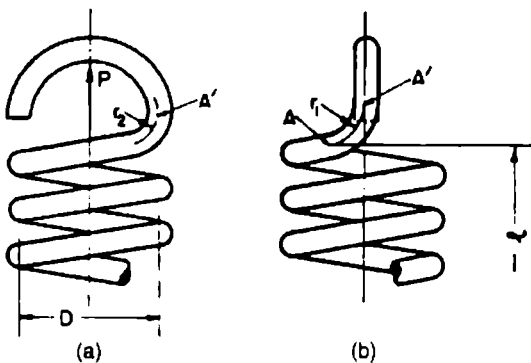
d - قطر السلك.

$$\text{وإجهاد الشد الاسمي الناتج عن عزم الفتل} . \frac{8pD}{\pi d^3}$$

وبعطي إجهاد الانحناء الأعظمي σ عند النقطة A' (عند بداية الانحناء) بالعلاقة:

$$\sigma = \frac{16PD}{\pi d^3} K_1 + \frac{4P}{\pi d^2}$$

حيث تقترح النسبة $K_1 = \frac{r_0}{r_1}$ (حيث يمثل r₀ و r₁ نصفي القطر الوسطي والداخلي على الترتيب) من قبل الهيئة ASM لإجراء حسابات الإجهاد الناتج عن الانحناء.



الشكل 5.3 : نابض شد مع نصف حلقة معدلة لتشكل نهاية الوشيعة

وسيعطي الإجهاد الأعظمي τ_1 الناتج عن عزم الفتل $P \cdot r$ بشكل تقريري بالعلاقة:

$$\tau_1 = \frac{8PD}{\pi d^3} \frac{4c_1 - 1}{4c_1 - 4}$$

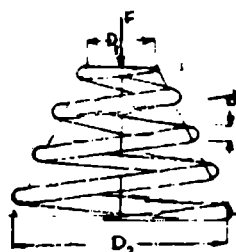
تعتمد قيمة الشد الابتدائي التي يمكن وضعها ضمن نابض شد بشكل رئيسي على دليل النابض $\frac{D}{d}$ ، وبشكل عام كلما كبر دليل النابض كلما صارت حمولات الشد الابتدائية. وتعطي قيم حمولة الشد الابتدائية P_1 والتي يمكن الحصول عليها عملياً بالعلاقة:

$$P_1 = \frac{\pi d^3}{8D}$$

حيث

- إجهاد الفتل غير المصحح الناتج عن الشد الابتدائي. وتؤخذ هذه الإجهادات والتي تحدد عملياً من المراجع الهندسية.

النوابض المخروطية



الشكل 5.4 : نابض مخروطي

يعطى الانحراف الحوري للنابض المخروطي المصور من سلك دائري المقطع بالعلاقة:

$$\gamma = \frac{2iF(D_2^3 + D_2^2D_1 + D_2D_1^2 + D_1^3)}{d^4G}$$

حيث

٢ - الانحراف أو مقدار الانضغاط، (mm).

١ - عدد اللفات الفعالة للنابض.

. - الحمل الحوري، N

. - قطر النابض عند قاعدته، mm. D_2

. - قطر النابض عند قمته، mm. D_1

. - قطر سلك النابض، mm.

. - عامل الجسامنة. G

كما يعطى الانحراف المحوري للنابض المخروطي المصنوع من سلك مستطيل المقطع بالعلاقة:

$$y = \frac{0.71iF(b^2 + h^2)(D_2^3 + D_2^2D_1 + D_2D_1^2 + D_1^3)}{b^3h^3G}$$

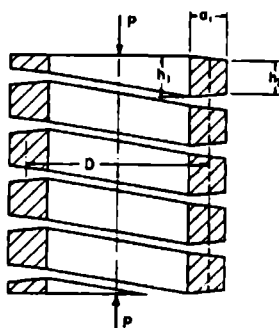
حيث:

b - السماكة وفق الاتجاه القطري، mm. تُعرف

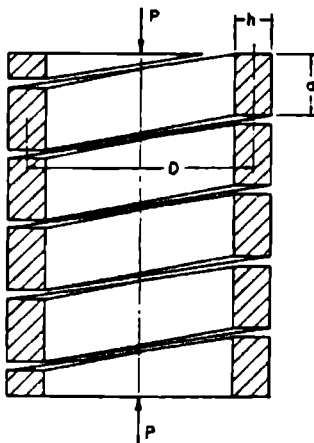
h - السماكة وفق الاتجاه المحوري، mm، وبقي التحولات كما في العلاقة السابقة.

النوابض الحلزونية ذات الأسلال المربعة والمستطيلة

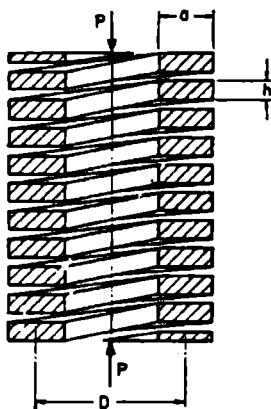
يظهر الشكلان 5.5 و 5.6 النوابض ذات الأسلال مربعة ومستطيلة المقطع. ويمكن تقدير مقدار الفلطحة الناتجة عن لف الأسلاك مربعة أو مستطيلة المقطع بالطرق على الساخن بالعلاقة:



الشكل 5.5 : نابض حلزوني ذو سلك مربع المقطع بتحميل محوري. (لاحظ بأن المقطع أصبح شبه منحرف خلال عملية اللف).



الشكل 5.6 : نابض حلزوني ذو سلك مستطيل المقطع والضلع الكبير مواز لمحور النابض



الشكل 5.7 : نابض حلزوني ذو سلك مستطيل المقطع ملفوف وفق الضرل الأكبر للمستطيل

$$h_1 = h \left[1 + \frac{k(D_o - D_i)}{D_o + D_i} \right]$$

حيث

D_o, D_i = قطرى النابض الخارجى والداخلى على الترتيب.

h = السماكة الأصلية.

h_1 = السماكة بعد الفلطحة (الشكل 5.5).

$K = 0.3$ للنوابض الملقوقة على البارد.

$K = 0.4$ للنوابض الملقوقة على الساخن والمواد المذكورة.

الاجهاد غير المصحح: نستطيع الحصول على الاجهاد غير المصحح في النوابض ذات الأسلاك مربعة المقطع عبر افتراض أن السلك يتصرف كقضيب مستقيم تحت عزم الفتل. وبالتالي نحصل على:

$$\tau = \frac{2.4PD}{a^3}$$

حيث:

P = الحمل.

D = قطر اللف الوسطى.

a = طول ضلع مقطع السلك المربع.

حيث سيصبح المقطع على شكل شبه منحرف (الشكل 5.5)، وبالتالي ستؤخذ قيمة a كقيمة وسطية كما يلي: $(2a_1 + h_1 + h_2)/4$

الإجهاد المصحح: يعطى الإجهاد المصحح (والذي يتضمن تأثيرات اللف والتجاه) القص وتلك المستخدمة لحساب مجال حمولات التعب) بالمعادلة التالية:

$$\tau' = K' \tau$$

$$K' = 1 + \frac{1.2}{c} + \frac{0.56}{c^2} + \frac{0.5}{c^3}$$

وعمثل c دليل النابض $\frac{D}{a}$ أو $c = \frac{D}{a}$. ويعطى عامل تصحيح الانحناء K' في المراجع الهندسية.

وهذا العامل أخفض بقليل من العامل K الخاص بالأسلاك دائيرية المقطع وبطريق عندما يكون العامل $\frac{D}{a} = c$ أكبر من 3.

الانحراف (التشوه): يعطى الانحراف δ في النابض الخلزوني ذو السلك مربع المقطع بالعلاقة:

$$\delta = \frac{5.59 P D^3 n}{G a^4}$$

حيث

n = عدد اللفات الفعالة.

G = عامل الجسامنة. وتعطي هذه المعادلة خطأ نظرياً حوالي (2 - 4) % للنوابض التي يقع دليلها بين 3 و4، ولكنها دقيقة لمعظم الحالات العملية.

ونستطيع الحصول على نتائج أدق عبر استخدام العلاقة:

$$\frac{P}{\delta} = \frac{G a^4}{5.59 D^3 n} \quad \text{نسبة النابض}$$

الإجهاد غير المصحح: يعطى الإجهاد غير المصحح للتواكب ذات الأسلال مستطيلة المقطع (الشكل 5.5 و 5.6) بالعلاقة التالية:

$$\tau = \frac{PD}{k_1 ah^2}$$

حيث

a - الصلع الأطول من مقطع السلك.

h - الصلع الأقصر من مقطع السلك.

k_1 - عامل يعتمد على النسبة $\frac{a}{h}$ وهو معطى في المراجع الهندسية.

ويعطى الإجهاد المصحح τ' بالعلاقة:

$$\tau' = \beta \frac{PD}{ab\sqrt{ab}}$$

حيث يوحد العامل β من المراجع الهندسية.

الانحراف (لتواكب ذات الدليل الكبير): من أجل التواكب ذات الأدلة الكبيرة $\frac{D}{a}$ أو $\frac{D}{h}$ ، يحسب الانحراف δ غير الافتراض بأن التواكب يتصرف مثل قضيب مستقيم، ببعدين a و h متعرض لعزم فتل $\frac{PD}{2}$ ، وبالتالي نحصل على العلاقة:

$$\delta = \frac{PD^3 n}{k_2 ah^3 G}$$

حيث

n - عدد اللفات الفعالة.

G - عامل الجسامنة.

k_2 - عامل يتعلق بالنسبة $\frac{a}{h}$ يوحد من المراجع الهندسية.

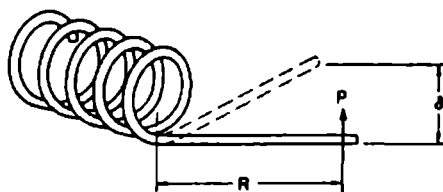
لاحظ بأن $a < h$.

يعطى ثابت صلابة النابض أو النسبة k بوحدات lb/in (Kg/cm) بالعلاقة:

$$k = \frac{P}{\delta} = \frac{a^2 b^2 G}{D^3 n \gamma}$$

نوابض الفتل العلزونية

النوابض ذات الأسلال دائيرية المقطوع. تضم هذه النوابض عملياً عبر الافتراض بأن النابض سيضغط عبر العزم M المتوضع فوق محور الحلزون. وتطبق العلاقات التالية على النوابض ذات الأسلال دائيرية المقطوع (الشكل 5.8):



الشكل 5.8 : الطريقة النموذجية لتحميل نابض الفتل

$$\sigma = \frac{10.2M}{d^3}$$

$$\sigma' = K_1 \sigma = K_1 \frac{10.2M}{d^3}$$

يؤخذ العامل K_1 هنا كتابع للنسبة $\frac{D}{d}$ ، ويعطى الانحراف الزاوي ϕ بالدورات والناتج عن العزم M بالعلاقة:

$$\varphi = \frac{10.2MnD}{Ed^4} \quad \text{دورة}$$

ويعطى الانحراف الزاوي φ بالدرجات والناتج عن العزم M بالعلاقة:

$$\varphi_1 = \frac{3670MnD}{Ed^4} \quad \text{درجة}$$

ويعطى ثابت صلابة النابض k بواحدة $\left(\frac{Cm.N}{deg} \right) \frac{in.lb}{deg}$ بالعلاقة:

$$k = \frac{M}{\varphi_1} = \frac{Ed^4}{3670nD}$$

ويعطى الطول الفعلي للسلك المطلوب / بالعلاقة:

$$l = \frac{Ed^4}{1170k}$$

حيث

σ و σ' - الإجهاد غير المصحح والمصحح على التوالى.

D و d - قطر اللف الوسطي وقطر السلك على التوالى.

E - معامل المرنة.

n - عدد اللفات الفعالة.

النوابض ذات الأسلال مربعة القطع

$$\sigma = \frac{6M}{h^3}$$

$$\sigma' = K_2 \sigma = K_2 \frac{6M}{h^3}$$

$$\varphi = \frac{6MnD}{Eh^4} \quad \text{دوره}$$

$$\varphi_1 = \frac{2160MnD}{Eh^4} \quad \text{درجة}$$

حيث

h - طول ضلع المقطع.

D - قطر اللف الوسطي.

K_2 - تابع النسبة $\frac{D}{h}$ ويؤخذ من المراجع الهندسية.

النوابض ذات الأسلام مستطيلة المقطع

$$\sigma = \frac{6M}{bh^2}$$

$$\sigma' = K_2 \sigma = K_2 \frac{6M}{bh^2}$$

$$\varphi = \frac{6MnD}{Ebh^3} \quad \text{دوره}$$

$$\varphi_1 = \frac{2160MnD}{Ebh^3} \quad \text{درجة}$$

حيث

h - العمق القاري للمقطع المستطيل.

D - قطر اللف الوسطي.

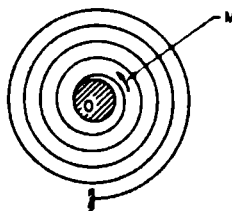
b - عرض المقطع المستطيل (بالاتجاه المحوري).

K_2 - تابع للنسبة $\frac{D}{h}$ ويؤخذ من المراجع الهندسية.

إذا تم تطبيق الحمل P على ذراع يبعد بمسافة R عن المحور، فإنه يمكن أخذ العزم M في المعادلة السابقة مساوياً للمقدار PR . ويعطي الانحراف في هذه الحالة بالاتجاه المحيطي عند نصف القطر R كما يلي $\phi = R/57.3$.

نوابض الاستطاعة اللولبية والنوابض ثابتة القوة (NEG'ATOR)

تلوك النوابض الشعريّة عادةً عدداً كبيراً من اللفات غير المتّسّمة، وتكون إحدى نهايتيه موثّقة. ويَتّسّع عدد اللفات n عن العزم المطبق M (الشكل 5.9).



الشكل 5.9 : نابض لولي بعدد لفات كبير (موثق النهاية الخارجية)

$$n = \frac{6Ml}{\pi Ebh^3}$$

حيث

h - سمك الشريط.

b - العرض.

l - طول الشريط الفعال.

E - عامل المرونة.

يعطى الانحراف الزاوي بالدرجات لكل n . $360n$

كما ويعطى الإجهاد الناتج عن عزم الانحناء σ بالعلاقة:

$$\sigma = \frac{6M}{bh^2}$$

أو

$$\sigma = \frac{\pi nhE}{l}$$

قد توضع نوابض الحرك أو القدرة (الشكل 5.10) - مثل تلك المستخدمة في الساعات - ضمن حاوية مفرغة.

إذا كان l يمثل الطول الفعال للشريط و h هو سمكه، عندها تكون مساحة المقطع الكلية لنابض اللفائف مساوية للمقدار lh . وبالتالي:

$$d_2 = \sqrt{\frac{4}{\pi} lh + d_1^2}$$

حيث

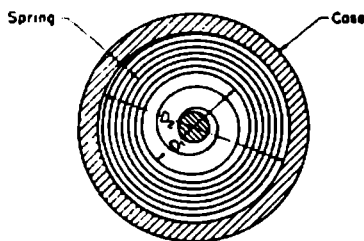
d_2 - القطر الخارجي لنابض ذو اللفائف.

d_1 - قطر المحور.

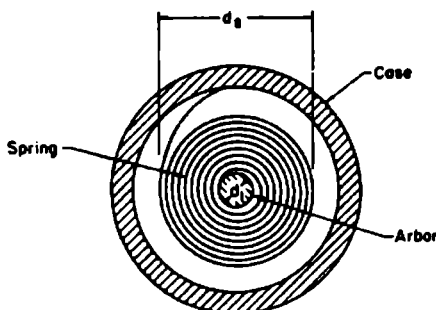
وبافتراض أن اللفائف قرية من بعضها، فيمكن عندها حساب عدد اللفات لنابض ذو اللفائف بالعلاقة:

$$n = \frac{d_2 - d_1}{2h}$$

ويكون عدد اللفات الكلي ΔN الحررة من النابض في حالة عدم اللف (كما في الشكل 5.10) من النابض الملفوف (كما في الشكل 5.11) متساوياً لفرق بين n و n' ، وبالتالي:



الشكل 5.10 : نابض قدرة غير ملحوظ موضع ضمن حاوية



الشكل 5.11 : نابض قدرة ملحوظ حول محور

$$\Delta N = n - n'$$

$$= \frac{\sqrt{(4/\pi)lh + d_1^2} + \sqrt{D_2^2 - (4/\pi)lh - (D_2 + d_1)}}{2h}$$

$$l = \frac{D_2^2 - d_1^2}{2.55h}$$

,

$$\Delta N = \frac{D_2^2 - d_1^2}{2hU} = \frac{4l}{\pi U}$$

حيث

$$U = \frac{D_2^2 - d_1^2}{\sqrt{2(D_2^2 + d_1^2) - (D_2 + d_1)}}$$

يتم الحصول على معادلات الإجهاد σ والعزم M وعدد اللفات الكلي ΔN عبر الافتراض بأن الشريط سيعرض لعزم ثابت على كامل طوله:

$$\begin{aligned} M &= \frac{\sigma b h^2}{6} \\ \sigma &= \frac{6M}{bh^2} = \frac{\pi E h \Delta N}{l} \\ \Delta N &= \frac{6Ml}{\pi E b h^3} = \frac{\sigma l}{\pi E h} \end{aligned}$$

أيضاً

$$h = \sqrt[3]{\frac{1.5 M U}{E b}}$$

حيث

b = عرض الشريط.

h = السماكة.

E = عامل المرونة

النوابض ثابتة القوة (*Neg'ator*)

يعطى الحمل P مثل هذا النابض بالعلاقة:

$$P = \frac{E b h^3}{26.4} \left[\frac{1}{R_n^2} - \left(\frac{1}{R_n} - \frac{1}{R_l} \right)^2 \right]$$

حيث:

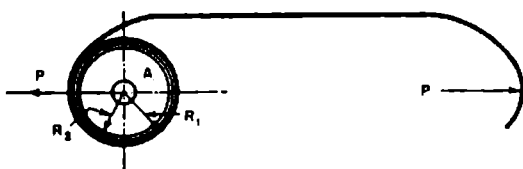
b و h - عرض و سماكة الشريط على التوالي.

E - عامل المرونة.

R_n - نصف قطر الانحناء الأصغرى للفة.

R_1 - نصف قطر الوشيعة الخارجى.

معادلات التصميم للنوابض المسوطة ثابتة القوة (Neg'ator Extension) (*Neg'ator Extension*) : يمكن استخدام المعادلات التصميمية التالية المقدمة من Votta لمثل هذه الأنواع كما في الشكل 5.12.



الشكل 5.12 : نابض ثابت القوة (نابض مبسوط ثابت القوة)

للنوابض التي لها عشر لفات أو أقل:

$$h \geq \frac{26.4P}{EbS_f^2}$$

$$R_n = \sqrt{\frac{Eb h^3}{26.4P}}$$

$$b = \frac{26.4P}{EhS_f^2}$$

$$\begin{aligned} R_2 &= 1.15R_n \\ L &= \delta + 10R_2 \end{aligned}$$

حيث

P = الحمل.

R_n = نصف القطر الأصغرى لانحناء اللغة.

L = الطول الكلى للنابض.

R_2 = نصف قطر الحلبة الملمووف عليها النابض.

δ = الانحراف المطلوب (أو الامتداد المطلوب).

S_b = عامل يعتمد على عدد مرات التشغيل.

للنوابض التي لها أكثر من عشر لفات:

$$h \geq \frac{26.4P}{EhS_f^2}$$

$$R_m = \sqrt{\frac{Ebh^3}{26.4P}}$$

$$R_n = \frac{R_m}{1.15}$$

$$R_2 = 1.15R_m$$

$$L = \delta + 10R_2$$

حيث

R_m = نصف القطر الأعظمي لأنحاء اللغة.

نوابض الأقراص المخروطية أو نوابض Belleville

يُفضل استخدام نوابض الأقراص المخروطية (والتي تعرف أيضاً بنوابض Belleville) في العديد من التصميمات لما لها من ميزات. هذه النوابض تتألف بشكل رئيسي من أقراص دائرية مقرفة بشكل مخروطي، كما هو واضح في المقطع المبين في الشكل

.5.13

عندما يتم تطبيق الحمولة على هذا النابض كما هو موضع فسيتسطع النابض خروج الخارج، وتحتاج لمروره سبعة دور نابض. نفترض بأن الحمولة ستتطبق على حواقه وتعطى كما يلي:

$$P = \frac{C_1 C E I^4}{R^2}$$

حيث

P = الحمل عند الانحراف δ عن الوضع غير المحمل.

C = عامل يعتمد على النسبة R/r .

R و r = نصف قطر الخارجي والداخلي على الترتيب.

C_1 = عامل يعتمد على النسبتين δ/t و h/t يوحذ من المراجع الهندسية.

h = ارتفاع المخروط الابتدائي المشكّل للنابض.

t = السماكة.

وبعطي الإجهاد المرن عند الانحراف δ (إذا كان بإشارة سالبة فهذا يعني أنه إجهاد ضغط) كما يلي:

$$\sigma_c = -K_c \frac{Et^2}{R^2}$$

$$\sigma_{t1} = K_{t1} \frac{Et^2}{R^2}$$

$$\sigma_{t2} = K_{t2} \frac{Et^2}{R^2}$$

حيث

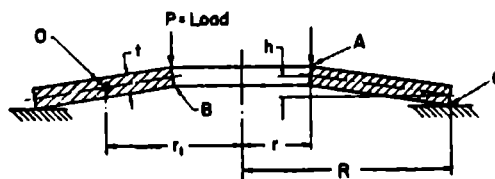
E = عامل المرنة.

K_c = الإجهاد عند الحافة الداخلية العلوية A.

K_{t1} = الإجهاد عند الحافة الداخلية السفلى B.

K_{t2} = الإجهاد عند الحافة الخارجية السفلى C.

تعتمد العوامل K_c و K_{t1} و K_{t2} على النسب $\frac{\delta}{t}$ و $\frac{h}{t}$ و $\frac{R}{t}$ على الترتيب.
ويمكن أن تؤخذ قيمة العامل K_c من أجل أي قيمة للنسبة $\frac{h}{t}$ و $\frac{\delta}{t}$ من مخططات موجودة في المراجع الهندسية.



الشكل 5.13 : نابض قرص مخروطي (نابض Belleville)

الإجهاد الاسمي σ_0 : ويدعى هذا الإجهاد أيضاً بإجهاد الانحناء البسيط، ويستخدم من أجل الحمولات المستاتيكية.

$$\sigma_n = \frac{0.96P}{r^2}$$

المعادلات الخاصة بانحراف وارتفاع المخروط الصغيرين

تعتمد هذه المعادلات على نظرية الصفيحة المستوية المرنة (elastic flat-plate theory) وتفترض بأن قيمة النسبتين δ/r و h/r هي أقل من 0.5، كما تفترض أيضاً بأن الحمل يؤثر عند الحواف:

$$P = K_1 \frac{\delta E t^3}{R^2}$$

$$P = \frac{\sigma r^2}{K_3}$$

$$\sigma = K_2 \frac{\delta E t}{R^2}$$

$$\sigma = K_3 \frac{P}{r^2}$$

$$\delta = \frac{PR^2}{K_1 Et^3}$$

حيث

σ - الإجهاد عند الحافة الداخلية، وفي هذه الحالة تعتمد العوامل K_1 و K_2 و K_3 على نسبة R/r .

الحمل P' المطبق داخل الحواف

$$P' = P \frac{R - r}{a}$$

$$\delta' = \delta \frac{a}{R - r}$$

حيث

a - المسافة القطرية بين الحافتين.

P' - الحمل على الحافتين.

δ' - الانحراف بين الحافتين.

بحسب الحمل P من أجل انحراف δ معطى بين الحافتين الداخلية والخارجية.

ونحسب الإجهادات σ_1 و σ_2 من النسبتين δ/h و h/t .

ويعطى الإجهاد الاسمي σ بالعلاقة:

$$\sigma_n = 0.96 \frac{P'}{r^2} \frac{a}{R - r}$$

النوابض المستوية والورقية

نابض الدعامة البارزة البسيط. عرض ثابت

الانحرافات الصغيرة: إن أبسط نوع من أنواع النوابض المستوية هو نابض الدعامة

البارزة البسيط، والمحمي بحمل عند طرفه الحر (كما في الشكل 5.14). وتعطى قيمة

الانحراف في هذه الحالة بالمعادلة المعروفة التالية:

$$\delta = \frac{Pl^3}{3EI}$$

حيث

١ - طول النابض.

E = عامل المرونة.

٢ - عزم عطالة مقطع النابض العرضي $I = \frac{b_0 h^3}{12}$ ، حيث b_0 العرض و h السماكة).

وإذا أردنا تسيحة أدق في الحالات التي يكون فيها عرض الشريط أكبر بكثير بالمقارنة مع السماكة، أي b_0/h كبيرة حيث أن b_0 مقاربة للطول l، يجب أن نأخذ عزم العطالة كما في المعادلة

$$\frac{b_0 h^3}{12} (1 - v^2)$$

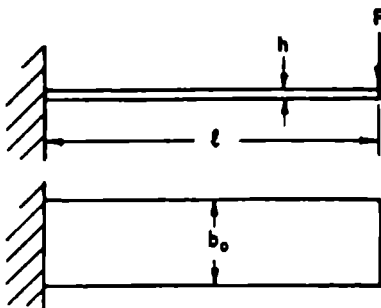
حيث : v نسبة بواسون.

$$\delta = \frac{Pl^3}{3EI} (1 - v^2)$$

وتكون قيمة v من أجل معظم المعادن مساروية 0.3، مما يعني بأن النابض في مثل هذه الحالات سيكون أصلب بمقدار 10 % من القيمة المحسوبة، ومع ذلك تقع قيمة الانحراف في معظم الحالات العملية ضمن النتائج المحسوبة.

يعطى إجهاد الانحناء الاسمي σ عند حافة النابض المبين في الشكل 5.14 بالعلاقة:

$$\sigma = \frac{6Pl}{b_0 h^2}$$



الشكل 5.14 : نابض الدعامة البارزة البسيط

نابض الدعامة البارزة البسيط ذو شكل شبه المنحرف

القوسات (الانحرافات) الصغيرة: تستخدم في حالات عديدة التوابض الورقية التي تأخذ صفاتها أشكال شباه منحرفة (الشكل 5.15). يعطي التدلي وفق نظرية الجوانز كما في العلاقة:

$$\delta = K_1 \frac{P l^3}{3 E I_o}$$

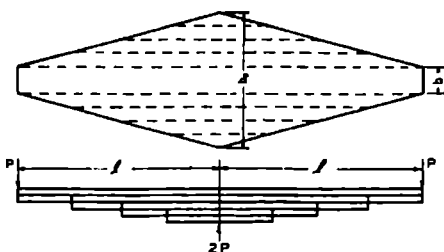
حيث

$$K_1 = \frac{3}{(1 - b/b_o)^3} \left[\frac{1}{2} - 2 \frac{b}{b_o} + \left(\frac{b}{b_o} \right)^2 \left(\frac{3}{2} - \ln \frac{b}{b_o} \right) \right]$$

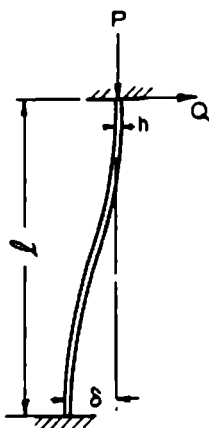
١- عزم العطالة عند النهاية الداخلية، بينما يعتمد العامل K_1 على النسبة $\frac{b}{b_o}$ ويمكن أخذه أيضاً من المراجع الهندسية.

النوابض المستوية المعرضة لحمولة مركبة محورية وجانبية

غالباً ما تتحمل النوابض المستوية في الحياة العملية كما في الشكل 5.16، حيث تعتبر إحدى النهايتين مؤثرة، بينما يسمح للأخرى بالحركة وفق الاتجاه الجانبي ولكنها تُسْعَ من الدوران. إذا كان الحمل المحوري P صغيراً بالمقارنة مع قوة الربط فإن الإزاحة والإجهاد يعطيان كما يلي:



الشكل 5.15 : نابض ورقي مكافئ لنابض دعامة بارزة ذو شكل شبه منحرف



الشكل 5.16 : نابض مستوي خاضع لحمل مركب محوري وجانبي

$$\delta = \frac{Ql^3}{12EI}$$

$$\sigma = \frac{38Eh}{l^2}$$

حيث

l - طول المجاز.

Q - الحمل الجانبي.

$I = bh^3/12$ - عزم عطالة المقطع.

b - العرض.

h - السماكة.

δ - الانحراف الكلي.

σ - الإجهاد الاسمي عند النهاية المؤوثقة (مع إهمال تأثير حالة تركيز الإجهاد).

إذا كان الحمل المحوري P (كما في الشكل 5.16) ليس صغيراً بالمقارنة مع حمولات الانحناء فعندها لن تعطي المعادلتان السابقتان دقة مقبولة. وإن من الأدق في مثل هذه الحالات أن يضرب الإجهاد والانحراف المحسوبان بالعلاقتين السابقتين بعاملين C_1 و C_2 ، وللذين يعتمدان على النسبة $P/P_{cr} = P/l^2/EI\pi^2$ حيث يمثل P_{cr} حمل الانحناء للنهايات المتfuncسلة، ويعطى هذان العاملان بالعلاقتين:

$$C_1 = \frac{1}{1 - P/P_{cr}}$$

$$C_2 = 1 - 0.178 \frac{P}{P_{cr}}$$

ويصبح وبالتالي الإجهاد والانحراف كما يلي:

$$\sigma = K_2 \frac{3\sigma Eh}{l^2}$$

$$\delta = C_1 \frac{Ql^3}{12EI}$$

يعبر الإجهاد σ عن الحال الناتج عن الانحراف الجانبي δ .

ويمكن إعطاء علاقة أكثر دقة للانحراف δ للنابض المبين في الشكل 5.16 كما يلي:

$$\delta = \frac{Ql}{P} \frac{(2 \tan kl) / 2 - kl}{kl}$$

$$k = \sqrt{\frac{P}{EI}}$$

حيث :

النوابض الورقية

تستخدم النوابض الورقية - والتي تكون أقل فاعلية من النوابض الحلقونية من حيث الطاقة المخزنة لكل باوند من المادة - بشكل واسع في مجال صناعة السيارات وذلك لأنها تلعب دوراً كعنصر إنشائية أيضاً.

يعتمد التصميم العملي للنوابض الورقية على افتراض أنها جوازات ذات متانة منتظمة، ويكافئ هذا الفرض الفرض بأنها نوابض دعامة بارزة ذات مقطع مثلثي. ويعطى الإجهاد الأعظمي σ والنسبة R تحت هذا الفرض للنابض الورقي شبه الأهليلجي المتاظر كما يلي:

$$R = \frac{P}{\delta} = \frac{8Enbh^2}{3l^3}$$

$$\sigma = \frac{3Pl}{2nbh^2}$$

حيث

n = عدد الورقات.

b = العرض.

h = سمكية الورقة.

l = الطول.

P = الحمل.

وتصبح بالنسبة للنوابض الورقية شبه الاهليجية غير المتناظرة (الشكل 5.17b) (Fig 5.17b) كما يلي:

$$R = \frac{P}{\delta} = \frac{Ebnh^3 l}{6l_1^2 l_2^2} \quad \text{النسبة}$$

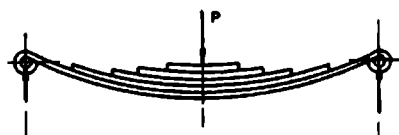
$$\sigma = \frac{6Pl_1 l_2}{nbh^2 l} \quad \text{الاجهاد}$$

أما إذا كان النابض الورقي على شكل دعامات بارزة (الشكل 5.17c) بحوي ورقة، و l يمثل طول أطول ورقة عندها تصبح المعادلتان كما يلي:

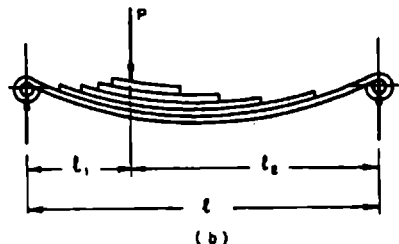
$$R = \frac{P}{\delta} = \frac{Ebnh^3}{6l^3} \quad \text{النسبة}$$

$$\sigma = \frac{6Pl}{nbh^2} \quad \text{الاجهاد}$$

SECTION FIVE

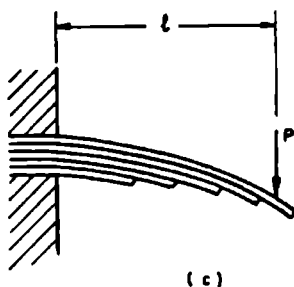


(a)



(b)

الشكل 5.17 : نوابض ورقية : a) على شكل شبه اهليجي متناظر
b) على شكل شبه اهليجي غير متناظر



(c)

الشكل 5.17 : نوابض ورقية c) على شكل دعامة بارزة /تابع

الجدول 5.1

الحجوم القياسية للنوابض المستوية (النوابض الصفائحية المستخدمة في صناعة السيارات)												
العرض	(mm)	السماكـة	(mm)	120 and 150.	100,	90.	75,	70,	65,	60,	55,	50,
				14 and 16.	12,	10,	8,	7,	6,	5,	4,	(mm)

نوابض قضبان الفتل

عموميات

تألف نوابض قضبان الفتل بشكل رئيسي من قضبان مستقيمة من معدن نابضي (الشكل 5.18) ت تعرض بشكل رئيسي لعزم فتل، فتحزن عندها فيه الطاقة بسبب قتل القضيب؛ كما في النوابض المستخدمة في تعليق المركبات السيارة وفي تطبيقات أخرى.

سنورد فيما يلي المعادلات التصميمية لنوابض قضبان الفتل متغيرة المقطع والمعروضة لعزم فتل صرفة. (وإذا تعرضت هذه النوابض لعزم الخناء فعلينا أحد الإجهادات الناتجة عن هذه العزوم بعين الاعتبار).

تضييف مصمت دائري المقطع

$$\phi = \frac{584M_t l}{d^4 G}$$

$$\tau = \frac{16M_t}{\pi d^3}$$

حيث

ϕ - الزاوية النهائية، deg.

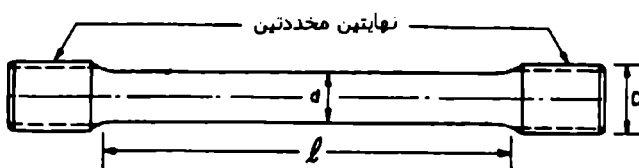
τ - إجهاد القص.

M_t = عزم الفتل المطبق.

d = قطر القضيب.

l = الطول الفعال للنابض.

G = عامل الجسامنة.



الشكل 5.18 : نابض قضيب فتل بنهائيتين محددين

قضيب مفرغ دائري المقطع

إذا كان القضيب مفرغاً ذات قطر خارجي d وقطر داخلي d_1 فتصبح عندها المعادلتان:

$$\phi = \frac{584M_t l}{G(d^4 - d_1^4)}$$

$$\tau = \frac{16M_t d}{G(d^4 - d_1^4)}$$

قضيب مربع المقطع

$$\phi = \frac{407M_t l}{a^4 G}$$

$$\tau = \frac{4.81M_t}{a^3}$$

حيث

a - طول ضلع المقطع المربع.

تخصيب مستطيل المقطع

$$\phi = \frac{57.3 M_I l}{K'_1 a h^3 G}$$

$$\tau = \frac{M_I}{K'_2 a h^2}$$

حيث

a - الطول.

$\frac{a}{h}$ - سماكة المقطع المستطيل الشكل، ويعتمد العاملان K' و K'' على النسبة $\frac{a}{h}$.

نوابض الفتل المحملة بواسطة ذراع

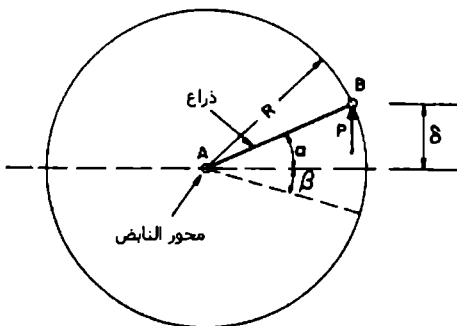
غالباً ما تتحمل نوابض الفتل عبر ذراع AB (الشكل 5.19) موصول إلى إحدى نهايتيه، والتي تستند إلى مدرج بينما تكون النهاية الأخرى موثقة أو مثبتة. إذا ما تم قياس الأنحراف δ بالنسبة للخط الأفقي بينما كانت الحمولة P شاقولية وكان القصيبي دائري المقطع فيكون لدينا:

$$P = \frac{\pi d^4 G(\alpha + \beta)}{32 / R \cos \alpha}$$

تقاس α و β هنا بالراديان، حيث تتمثل:

α الزاوية بين الذراع AB والخط الأفقي المرجعي.

β الزاوية بين الذراع AB والخط الأفقي المرجعي عندما تكون الحمولة معدومة.



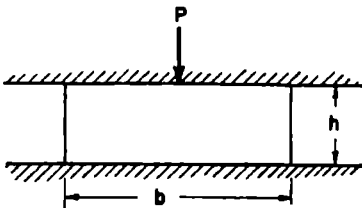
الشكل 5.19 : نابض قضيب فل محمل بواسطة ذراع

تُعرَّف النسبة الشاقولية عند النهاية B للذراع (الشكل 5.19) بالعلاقة $k = \frac{dP/d\delta}{R}$

$$k = \frac{\pi d^4 G}{32 I R^2} \frac{1 + (\alpha + \beta) \tan \alpha}{\cos^2 \alpha}$$

النوابض المطاطية ونوابض التثبيت

يمكن تقدير الانحراف δ لكتلة مضغوطه غير مستدبة (الشكل 5.20) بشكل تقريري من المعادلة التالية، مع الافتراض بأن السطح المضغوط مزيت جيداً وبالتالي سنسمح له بالتمدد الجانبي بحرية مع افتراض وجود افعالات صغيرة.



الشكل 5.20 : كتلة مطاطية محملة بمحولة ضغط

$$\delta = \frac{Ph/AE}{1 + P/AE}$$

حيث

P - الحمل.

A - مساحة مقطع الشطيرة الأصلي.

h - السماكة الأصلية.

تعتمد هذه المعادلة على مبدأ ثبات حجم الكتلة المطاطية المضغوطة.

نوابض القص أو التي على شكل شطائر

تستخدم نوابض القص أو التي على شكل شطائر والمولفة من وساداتين مطاطيتين مثبتتين على صفيحتين فولاذيتين بشكل واسع في مجال عزل الاهتزازات أو تثبيت الآلات.

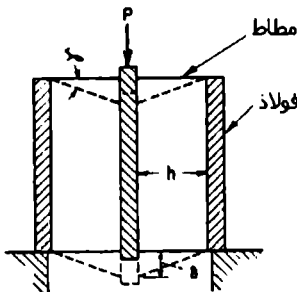
يعطى إجهاد القص $\frac{P}{2A} = \gamma$ حيث A - مساحة مقطع كل وسادة، كما وتساوي زاوية القص γ إلى G حيث G معامل الجسام.

ومن أجل الانحرافات الصغيرة $[\text{rad}] = \delta/h$ حيث δ - الانحراف، h - سماكة الوسادة.

وبالتالي لدينا:

$$\delta = \frac{Ph}{2AG}$$

يعطى قيم المعامل G ومن أجل الانحرافات الصغيرة كتابع لقياس التحمل في المراجع الهندسية.



الشكل 5.21 : نابض قص بسيط أو على شكل شطيرة

نوابض القص الاسطوانية

ارتفاع محوري ثابت

يتتألف هذا النوع من نوابض القص بشكل رئيسي من وسادة اسطوانية مثبتة إلى حلقة فولاذية من الخارج وإلى محور أو حلقة من الداخل (الشكل 5.22). ويتم تطبيق حمولة P على طول المحور.

ويعطى إجهاد القص τ عند أي نصف قطر r كما يلي:

$$\tau = \frac{P}{2\pi rh}$$

إذا كانت y تعبر عن الانحراف عند نصف قطر r ، فيشكل تقريري يمكن أن نكتب:

$$\frac{dy}{dr} = -\tau/G$$

وباستخدام الانحراف الكلي δ تصبح قيمة δ بشكل تقريري مساوية إلى:

$$\delta \approx \frac{P}{2\pi h G} \ln \frac{r_o}{r_i}$$

إجهاد ثابت

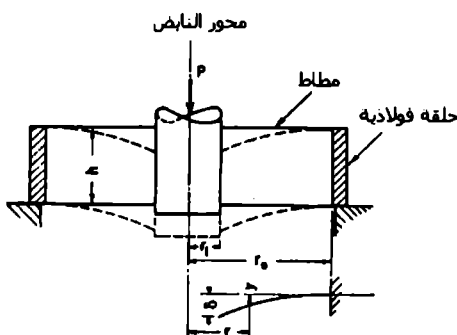
إذا كانت سماكة النابض المطاطي الاسطواني h متناسبة عكساً مع نصف القطر r ،
عندما سيكون إجهاد القص ثابتاً وسنحصل على استثمار أفضل للمادة.

$$r = \frac{r_o h_0}{h}$$

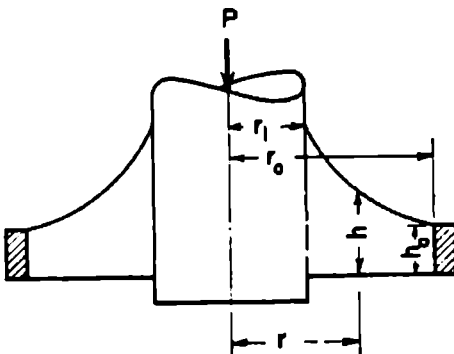
حيث

h_0 = السماكة عند نصف القطر الخارجي.

فإننا نحصل على المعادلة التالية:



الشكل 5.22: نابض قص اسطواني بارتفاع محوري ثابت وبمحولة محورية



الشكل 5.23: نابض قص اسطواني بسماكه متغيرة واجهد قص ثابت

$$\tau = \frac{P}{2\pi r_0 h_0} = const$$

وسيكون الانحراف δ تقريرياً مساوياً إلى $\frac{\tau}{G}$ مضروباً بالحد $(r_o - r_i)$ أي:

$$\delta \approx \frac{P(r_o - r_i)}{2\pi r_0 h_0 G}$$

نوابض الفتل الاسطوانية

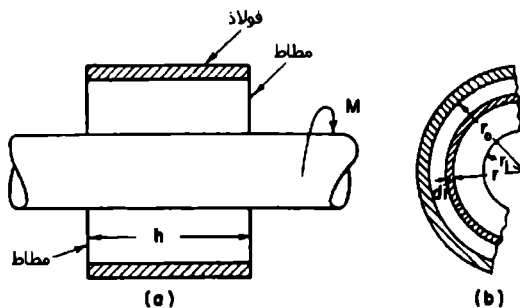
ثابتة السماكه

تُؤخذ سماكة النابض h في هذه الحالة قيمة ثابتة (الشكل 5.24)، بينما يؤثر عزم الفتل M على محور النابض. يعطي إجهاد القص τ عند نصف القطر r والناتج عن العزم M كما يلي:

$$\tau = \frac{M}{2\pi r_i^2 h}$$

نحصل على إجهاد القص الأعظمي τ_m في هذه الحالة عندما $r = r_i$ والذي يساوي إلى:

$$\tau_m = \frac{M}{2\pi r_i^2 h}$$



الشكل 5.24 : نابض فتل اسطواني مطاطي ثابت السماكة

ويعطي الانحراف الزاوي بالعلاقة:

$$\theta = \frac{M}{4\pi h G} \left(\frac{1}{r_i^2} - \frac{1}{r_o^2} \right)$$

حيث تعطى الزاوية θ بالراديان.

وسنورد فيما يلي جدولًا بأصناف وقياسات الأسلك المستخدمة في صناعة النابض اللولية:

الجدول 5.2 أصناف وحجوم الأسلاك

الصنف	وصف السلك	قطر السلك (mm)	مجال الاستخدام
1	سلك مسحوب قاسي (بدون تلدين)	2.8 وما فوق	يستخدم للتوابع المعرضة لأحمال ستابيكية أو بطيئة التغير، ويستخدم للإجهادات المنخفضة.
2	سلك مسحوب قاسي (مع تلدين)	0.25 حتى 10.0	يستخدم للتوابع المعرضة لأحمال دورية متوسطة، والإجهادات متقطعة.
3	سلك عالي التشغيل (غير معلّخ)	0.25 حتى 10.0	يستخدم للتوابع تحت الإجهادات الديناميكية المتوسطة حتى العالية، ويستخدم للأقطار الأصغر حتى لو تعرض النابض لحملات صدم.
4	سلك عالي التشغيل (معلّخ)	0.25 حتى 10.0	مناسب للتوابع المعرضة لإجهادات ستابيكية عالية جداً، والتوابع المعرضة لإجهادات ديناميكية متوسطة.

وستورد الآن جدولًا يحوي الأقطار القياسية للأسلاك.

الجدول 5.3 الأقطار القياسية للأسلاك (mm)

أسلاك فولاذيه مسحوبه على البارد غير خلاطيه	أسلاك فولاذية لنوابض مقاومة ومراجعة وأسلاك لنوابض الصمامات	سلك فولاذي غير قابل للسدا يستخدم لمقاومة التآكل العاديه
0.07 to 0.12 - 0.01	1.00 to 1.10 - 0.05	0.10, 0.11, 0.125
0.14 to 0.22 - 0.02	1.2, 1.25	0.14 to 0.22 - 0.02
0.25	1.30 to 2.10 - 0.10	0.25
0.28 to 0.40 - 0.02	2.25	0.28 to 0.40 - 0.02
0.43, 0.45, 0.48	2.40 to 2.60 - 0.10	0.43, 0.45, 0.48, 0.50
0.50, 0.53, 0.56	2.80 to 4.00 - 0.20	0.53, 0.56, 0.60, 0.63
0.60, 0.63	4.25 to 5.00 - 0.25	0.65 to 1.30 - 0.05
0.65 to 1.30 - 0.05	5.30, 5.60, 6.00, 6.30	1.40 to 2.10 - 0.10
1.40 to 2.10 - 0.10	6.50 to 11.00 - 0.50	2.25; 2.40, 2.50, 2.60
2.25, 2.40, 2.50	12.0, 12.5, 13.0,	2.80, 3.00, 3.15
2.60, 2.80, 3.00	14.0	3.20 to 4.00 - 0.20
3.20 to 4.00 - 0.20		4.25 to 5.00 - 0.25
4.25 to 5.00 - 0.25		5.30, 5.60, 6.00, 6.30
5.30, 5.60, 6.00, 6.30		6.50 to 10.00 - 0.50
6.50 to 11.0 - 0.50		
12.0, 12.50		
13.00 to 17.00 - 1.00		

ويبيّن الجدول التالي المقاطع القياسية لنوابض المستوية (لنوابض الصفائحية ذات
الصفائح المدرفلة)

الجدول 5.4 كل الأقطار معطاة بالمليمتر

العرض	السماكة	العرض	السماكة	العرض	السماكة
50	10	90	6	115	10
50	13	90	8	115	11
63	6	90	10	115	13
63	8	90	11	115	16
63	10	90	13	115	19
63	11	90	16	120	16
63	13	90	19	120	19
75	6	100	8	125	10
75	8	100	10	125	13
75	10	100	11	125	16
75	11	100	13	140	11
75	13	100	16	140	13
75	16	100	19	150	11
				150	13
				150	16

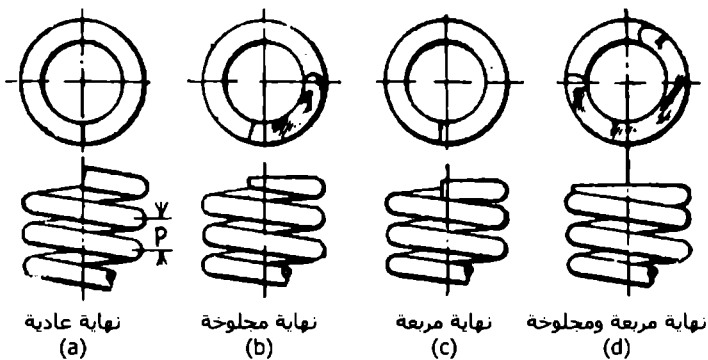
أما الجدول التالي فيعطي إجهادات تصميم الترباض.

الجدول 5.5 (MN/m²) (kgf/mm²) إجهادات التصميم للنوابض

قطر السلك (mm)	حولات تشغيل قليلة	حولات تشغيل متوسطة	حولات تشغيل عالية
Upto 2.10	414 (42.2)	517 (52.7)	640 (65.4)
2.10 - 4.50	380 (38.7)	476 (48.5)	586 (59.8)
4.50 - 8.00	330 (33.8)	414 (42.2)	510 (52.0)
8.00 - 13.00	290 (29.5)	360 (36.6)	448 (45.7)
13.00 - 25.00	248 (25.3)	310 (31.6)	386 (39.4)
25.00 - 38.00	220 (22.5)	276 (28.1)	345 (35.2)

وستورد الآن كيفية حساب عدد اللفات الفعالة كنهاية لنوع نهاية النابض.

الأنواع المختلفة لنهايات وشيعة النابض



الشكل	العدد الحقيقي للفات	الطول المفروض	الطول الحر
(a)	i	$(i + 1)d$	$ip + d$
(b)	i	(id)	ip
(c)	$i + 2$	$(i + 3)d$	$ip + 3d$
(d)	$i + 2$	$(i + 2)d$	$ip + 2d$

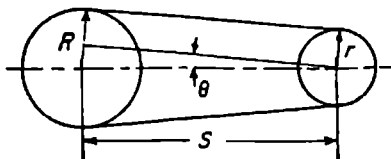
حيث i تمثل العدد الفعال للفات.

السيور المسطحة (الأقشطة)

طول السير

يعطى الطول الكلي للسير (الشكل 5.25) بالعلاقة:

$$L = 2S \cos \theta + \pi [R + r + (R - r) \theta / 90] \text{ in}$$



الشكل 5.25 : شكل نموذجي للقيادة عبر السر

حيث

S - المسافة بين مركزي البكرتين.

R - نصف قطر البكرة الكبيرة (السيور المسطحة) أو القطر الخظري للبكرة الكبيرة (السيور على شكل V).

r - نصف قطر البكرة الصغيرة (السيور المسطحة) أو القطر الخظري للبكرة الصغيرة (السيور على شكل V).

$$\theta = \sin^{-1} [(R - r)/S], \text{ deg}$$

تعبر نسبة السرعة عن النسبة بين السرعة الزاوية للمحور القائد إلى السرعة الزاوية للمحور المقاد، وبالتالي:

$$\frac{N_1}{N_2} = \frac{D_2}{D_1}$$

$$N_1 D_1 = N_2 D_2$$

حيث

N_1 = سرعة دوران المحور القائد، rpm.

N_2 = سرعة دوران المحور المقاد، rpm.

D_1 = قطر البكرة القائدة.

D_2 = قطر البكرة المقادة.

تُحمل سماكة السير المسطح في حالة السير المسطحة، كما ويعتبر القطر الخارجي للبكرة هو قطر البكرة.

عندما نستخدم القيادة عبر سلسلة علينا تطبيق العلاقة:

$$\frac{N_1}{N_2} = \frac{n_2}{n_1}$$

حيث

n_1 = عدد أسنان الدوّلاب المسنن القائد.

n_2 = عدد أسنان الدوّلاب المسنن المقاد.

سرعة السير

يمكن إيجاد السرعة التي يتحرك بها السير عبر تطبيق العلاقة:

$$V = \frac{\pi D N}{12} = 0.262 D N$$

حيث

V = السرعة، ft/min (m/min)

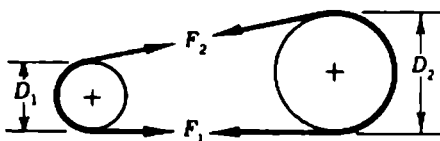
D = قطر البكرة، in (cm)

N - سرعة الدوران، rpm.

قوة الشد المؤثرة على السير

يمكن إيجاد العزم المؤثر على البكرة الصغرى اعتماداً على الشكل 5.26 - حيث تمثل F_1 قوة الشد على الجانب المشدود و F_2 قوة الشد على الجانب المرتخى (غير المشدود) من البكرة - بالعلاقة:

$$T_1 = (F_1 - F_2) \frac{D_1}{2}$$



الشكل 5.26 القوى المؤثرة على السير

كما ويعطى العزم عند البكرة الكبيرة كما يلي:

$$T_2 = (F_1 - F_2) \frac{D_2}{2}$$

يعرف الحد $F_1 - F_2$ بالشد الصافي.

الاستطاعة المنقوله

تعطى معادلة الاستطاعة المنقوله بواسطة السير بالحصان وفق العلاقة التالية:

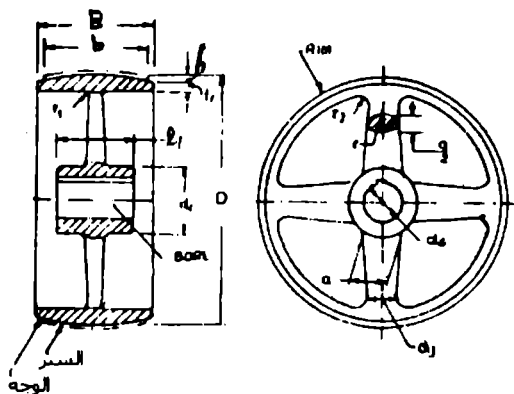
$$hp = F_e \frac{0.262 DNW}{33,000} = \frac{F_e DNW}{126,000}$$

حيث

F_c = الشد الصافي على عرض السير، lb/in (Kg/cm).

W = عرض السير، in (cm).

تصميم البكرات المصنوعة من حديد الصلب



الشكل 5.27 بكرة حديد صب

يحسب قطر البكرة الصغرى وفق علاقة Saverin التجريبية كما يلي:

$$d = D_{\min} = (525 - 630) \sqrt[3]{\frac{P(KW)}{2\pi n_{\max}}}$$

حيث

n_{\max} = سرعة الدوران الأعظمية، rev/sec.

تعتبر هذه العلاقة صحيحة في حالة النقل مع تخفيف سرعة الدوران (أي البكرة القائمة هي الصغيرة). أما إذا كان النقل مع زيادة سرعة الدوران فيجب عندها معرفة سرعة السير v ومن ثم يتم تحديد القطر D .

ويعطى قطر البكرة المقادمة بالعلاقة:

$$D = (1 - \epsilon) di$$

حيث

ϵ معامل الرحف وقيمه من 0.01 و حتى 0.03
نسبة السرع.

ويعطى عرض وجه البكرة (معادلة Barth) كما يلي:

$$B = \frac{3}{16}b + 10.0 \text{ mm}$$

$$B = \frac{3}{32}b + 5.0 \text{ mm}$$

b : عرض السير أو القشاط.

ويعطى عدد أذرع البكرة تبعاً لقطرها كما يلي:

❖ من أجل $D < 200 \text{ mm}$ نستخدم الأوتار

❖ من أجل $D = 200 \text{ mm}$ و حتى $D = 450 \text{ mm}$ نأخذ عدد الأذرع 4 .i

❖ $D > 450 \text{ mm}$ نأخذ عدد الأذرع 6 .i

وتكون مساحة مقطع النزاع الأهليلجي بالقرب من المحور:

$$a = 2.94\sqrt[3]{BD/4i}$$

$$a = 2.94\sqrt[3]{BD/2i}$$

يُسْنَمَا تَكُون مَسَاحَة مَقْطَعِ النَّدْرَاع بِالْقَرْب مِنِ الْإِطَار (a1) مُتَاقِصَة mm 4 لِكُل $.100 mm$

وَيَكُون نَصْف قَطْرِ التَّقوس بَيْن النَّدْرَاع وَالْإِطَار بِالْقِيمَة:

$$r = \frac{3}{4}a$$

وَيَعْطِي تَقْرِيْبًا مَقْدَارَ تَقوس سَطْحِ الْبَكْرَة بِالْعَلَاقَة:

$$h = 0.003 D$$

وَيَعْطِي الْعَلَاقَة بَيْن قَطْرِ الْمُخُورِ الْمُدِيرِ لِلْبَكْرَة وَبَيْن قَطْرِ الْبَطِيخَة (hub) كَمَا يَلِي:

$$\frac{d_1 - d_s}{2} = \begin{cases} 0.412\sqrt[3]{B \cdot D} + 6 mm & \text{لِلسِّيرِ الْمُفَرِّد} \\ - 0.529\sqrt[3]{B \cdot D} + 6 mm & \text{لِلسِّيرِ الْمُضَاعِف} \end{cases}$$

جِيثُ

B = عَرْضِ السِّير، mm .

D = قَطْرِ الْبَكْرَة، mm .

d_1 = قَطْرِ الْبَطِيخَة، mm .

d_s = قَطْرِ الْمُخُورِ، mm .

وَيَكُون طُولِ الْبَطِيخَة

$$\begin{aligned} l_1 &\geq \frac{2}{3}B \\ &\leq B \\ &\geq 1.5d_s \end{aligned}$$

ون تكون سماكة الإطار الخارجي للبكرة محددة بالعلاقة:

$$e_r = \frac{D}{200} + 3 \text{ mm}$$

$$e_r = \frac{D}{200} + 6 \text{ mm}$$

وستورد فيما يلي الأقطار النظامية للبكرات المصنوعة من الحديد الصب والبكرات المصنوعة من الفولاذ المتوسط الكربون معطاة بالمليمتر:

الجدول 5.6

40,	45,	50,	56,	63,	71,	80,	90,	100,	112,	125,	140,	160,	180,	200.
224,	250,	280,	315,	355,	400,	450,	500,	560,	630,	710,	800,	900,	1000,	1120,
1250,	1400,	1600,	1800,	2000.										

كما ويعطى عرض سطح البكرات النظامية المصنوعة من الحديد الصب والفولاذ المتوسط الكربون بالجدول التالي معطى بالمليمتر:

الجدول 5.7

20,	25,	32,	40,	50,	53,	71,	80,	90,	100,	112,	125,	140,	160,	180,
200,	224,	250,	280,	315,	355,	400,	450,	500,	560,	630,				

السيور على شكل حرف V

تصنف هذه السيور وفق خمسة أصناف مبينة في الجدول التالي:

الجدول 5.8

E	D	C	B	A	رمز السير V
38	32	22	17	13	العرض الاسمي للوجه العلوي (mm)
23	19	14	11	8	السماكة الاسمية (mm)
30	30	25	25	25	السرعة العظمى المفضلة (m/s)
70 - 260 (100 - 350)	35 - 150 (50 - 200)	10 - 70 (15 - 100)	1.5 - 15 (2 - 20)	0.4 - 4.0 (0.5 - 50)	الحال المفضل للاستطاعة المنقرضة (KW)(Mhp)
20	14	12	9	6	عدد الأساند الأعظمى

وتعطي العلاقة بين قوى الشد المطبقة على السير V وعند سرعات عالية بالعلاقة:

$$\frac{T_1 - T_c}{T_2 - T_c} = e^{\mu_1 \theta}$$

حيث

T_1 - قوة الشد عند الجانب المشدود، .N (Kgf)

T_2 - قوة الشد عند الجانب غير المشدود، .N (Kgf)

Tc = القوة المركزية المؤثرة على السير.

θ = قوس التماس بين السير والبكرة، rad.

$\mu/\sin(\alpha/2) = \mu/\mu$ معامل الاحتكاك الظاهري.

α = زاوية التجويف داخل البكرة الذي على شكل ٧.

μ = معامل الاحتكاك بين السير ومعدن البكرة ويعطى وفق معادلة Barth

كما يلي:

$$\mu = 0.54 - \frac{0.712}{2.542 + v}$$

v: سرعة السير m/sec، هذا إذا كان السير جلدي والبكرة فولاذية أما إذا كان غير

ذلك فيعطي معامل الاحتكاك وفق الجدول التالي:

الجدول 5.9 معامل الاحتكاك بين السير ومواد البكرات

مادة البكرة

حادي مزيت	حادي مشحوم	حادي رطب	ورق	خشب	حادي فولاد	مادة السير
0.12	0.15	0.20	0.35	0.30	0.25	جلد مدبوغ بالستديان
0.20	0.25	0.35	0.50	0.45	0.40	جلد مدبوغ معدنياً
0.10	0.12	0.15	0.25	0.23	0.20	كتان أو قب مفرز
-	-	0.20	0.40	0.35	0.32	Balata
0.10	0.12	0.15	0.28	0.25	0.22	قطن منسوج
0.15	0.20	0.25	0.45	0.40	0.35	شعر جمل
-	-	0.18	0.35	0.32	0.30	مطاط مخشن

حديد مزبب	حديد مشتم	حديد رطب	ورق	خشب	حديد فولاذا	مادة السير
-	-	0.15	0.38	0.35	0.32	بطاط منقطى
-	-	0.20	0.40	0.38	0.35	بطاط مع نسيج

وتعطى معادلات الاستطاعة المنقوله لكل صنف من أصناف السيرور ٧ بالجدول التالي:

الجدول 5.10

رمز مقطع السير	المعادلة	القيمة العظمى لل قطر de في المعادلة mm
A	$kW = (0.61v^{-0.08} - \frac{26.68}{d_s} - 1.04 \times 10^{-4}v^2) \times 0.7355v$	125
B	$kW = (1.08v^{-0.08} - \frac{69.68}{d_s} - 1.78 \times 10^{-4}v^2) \times 0.7355v$	175
C	$kW = (2.01v^{-0.08} - \frac{194.8}{d_s} - 3.18 \times 10^{-4}v^2) \times 0.7355v$	300
D	$kW = (4.29v^{-0.08} - \frac{690}{d_s} - 6.48 \times 10^{-4}v^2) \times 0.7355v$	425
E	$kW = (6.22v^{-0.08} - \frac{1294}{d_s} - 9.59 \times 10^{-4}v^2) \times 0.7355v$	700

حيث KW - الاستطاعة المنقوله العظمى بالكيلو واط وعند قوس ثماس بمقدار 180° لسير بطول وسطي.

v = سرعة السير، m/s

$de = d \cdot k_d$ = القطر الخطوي المكافئ، mm

d = القطر الخطوي للبكرة الصغرى، mm

K_d = عامل صغر القطر يوحد من الجدول التالي:

الجدول 5.11 عامل صغر القطر K_d

K_d	مجال نسبة السرع	K_d	مجال نسبة السرع	K_d	مجال نسبة السرع
1.10	1.341 to 1.429	1.05	1.110 to 1.142	1.00	1.000 to 1.019
1.11	1.430 to 1.562	1.06	1.143 to 1.178	1.01	1.020 to 1.032
1.12	1.563 to 1.814	1.07	1.179 to 1.222	1.02	1.033 to 1.055
1.13	1.815 to 2.948	1.08	1.223 to 1.274	1.03	1.056 to 1.081
1.14	2.949 and over	1.09	1.275 to 1.340	1.04	1.082 to 1.109

عدد السيور المطلوبة:

$$n' = \frac{PK_s}{(KW)K_L K_a}$$

حيث

P = الاستطاعة المنقولة.

K_s = عامل تصحيح يعتمد على ظروف التشغيل يوحد من المراجع الهندسية.

K_L = عامل تصحيح يعتمد على طول السير يوحد من المراجع الهندسية.

K_a = عامل تصحيح يتعلق بزاوية التماส بين السير والبكرة ويوحد من المراجع الهندسية.

K_w - الاستطاعة التي يستطيع السير نقلها ويؤخذ من المراجع الهندسية كتابع لصنف السير والقطر الخطي المكافئ.

تعطى المسافة بين مركزي البكرتين بالعلاقة:

$$C = A + \sqrt{(A^2 - B)}$$

حيث

$$A = \frac{L}{4} - \frac{\pi(D+d)}{8}$$

$$B = \left[\frac{D-d}{8} \right]^2$$

d - القطر الخطي للبكرة الصغرى.

D - القطر الخطي للبكرة الكبرى.

كما ويعطى طول السير الخطي بالعلاقة:

$$L = 2C + 1.57(D+d) + \frac{(D-d)^2}{4C}$$

السلالس الاسطوانية الدوارة

تعطى السرعة الوسطى للسلسلة بالعلاقة:

$$V = \frac{pNn}{12}$$

حيث

V - السرعة المتوسطة ft/min

p - خطوة السلسلة in (cm).

N = عدد دورات البكرة المستنة بالدقيقة، rpm.

n = عدد أسنان البكرة المستنة.

كما يمكن إيجاد الطول التقريري للسلسلة عبر تطبيق العلاقة:

$$L = \frac{n_1 + n_2}{2} + \frac{2C}{p} + \frac{p(n_1 + n_2)^2}{39.5C}$$

حيث

L = طول السلسلة مقدرة بالوصلات.

n_1, n_2 = عدد أسنان الدولابين المستنين.

C = المسافة المركزية، in (cm).

P = خطورة السلسلة، in (cm).

وتعطى الاستطاعة المغولة بالسلسلة مقدرة بالحصان وفق العلاقة:

$$hp = \frac{F_a V}{33,000}$$

حيث

F_a = قوة الشد المسموح بها في السلسلة lb.

V = سرعة السلسلة، ft/min (m/min).

بإهمال القوة الطاردة المركزية والتي يمكن إهمالها عند العمل بالسرعات المعقولة، نرى بأن المعادلة الأشهر التي تحدد قوة الشد المسموح بها في السلسل تعطى بالعلاقة:

$$F_a = \frac{2,600,000 A}{V + 600}$$

حيث

A - مساحة مقطع وتد الوصل، $\text{in}^2 (\text{cm}^2)$.

تعطى جميع أبعاد السلسلة القياسية كتوابع لخطورها، كما تعطى مساحة وتد الوصل بالعلاقة:

$$A = 0.273 p^2$$

ونعطي القيم القياسية لخطوات السلالس كما يلي:

$$\frac{1}{4}, \frac{3}{8}, \frac{1}{2}, \frac{5}{8}, \frac{3}{4}, 1.1, \frac{1}{4}, 1\frac{1}{2}, 1\frac{3}{4}, 2.2, \frac{1}{2} \text{ in}$$

السلالس الصامدة (سلالس ذات حلقات مفلطحة متناوبة مع مسامير الرابط)

تعطى الاستطاعة المنقولة بالحصان البخاري وفق العلاقة:

$$hp = \frac{T_p V W}{33,000}$$

حيث

T_p - الشد المسموح به، lb/in .

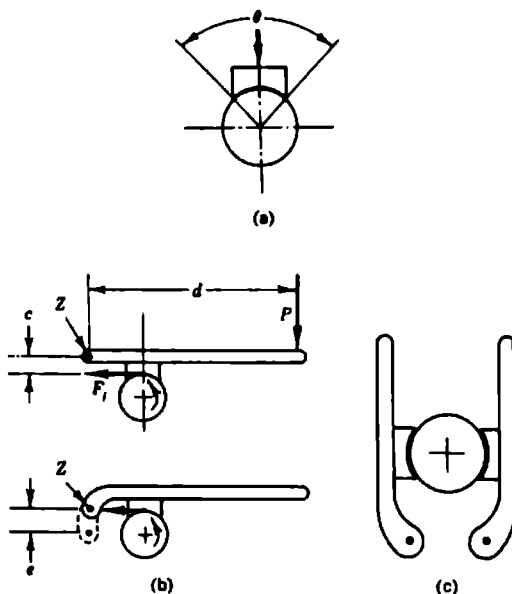
v - السرعة، $(\text{m}/\text{mi}) (\text{m}/\text{s})$.

W - عرض السلسلة، $\text{in} (\text{cm})$.

يجب أن تكون قدرة السلسلة الكلية أكبر من القدرة الاسمية الواجب نقلها، وتختلف الكمية الإضافية بحسب التطبيق. فإذا كان هناك صدم بسيط فيجب أن تكون قدرة السلسلة أكبر بمرتين من القدرة الاسمية.

المكابح ذات اللقم

تألف المكابح ذات اللقم ببساطة أشكالها من كتلة ثقيلة (لقم) تضغط على المخور كما هو مبين في الشكل 5.28 وتعرف القوة المتقللة إلى اللقمة بالاحتكاك بقوة الاحتكاك وتعطى كما يلي:



الشكل 5.28
(a) كابح لقم بسيط
(b) مخطط القوى لـ كابح لقم
(c) كابح بلقمتين

$$F_f = f F_n$$

حيث

F_f - قوة الاحتكاك، (N).lb

f - عامل الاحتكاك.

F_n - الحمل المطبق من اللقمة على الاسطوانة أو المحور الدوار، (N).lb
ويمكن اعتبار هذه القوة كمقاومة تبديها اللقمة لتأثير دوران الاسطوانة، ويعطي العزم المقاوم بالعلاقة:

$$T = F_f r$$

أو

$$T = f F_n r$$

حيث

T - العزم المقاوم، (N.m).lb.in

r - نصف قطر الاسطوانة أو المحور، (mm).in

يمكن استخدام المعادلة السابقة للقلم الطويل ذات زاوية التماس (θ) في الشكل (5.28a) أقل من 60° . أما إذا كانت زاوية التماس أكبر من ذلك فإن الضغط سيتم توزيع غير منتظم. وننصحك باستخدام العلاقة:

$$T = \frac{4 f F_n r \sin(\theta/2)}{\theta + \sin \theta}$$

حيث

θ - زاوية التماس، rad.

و سنورد فيما يلي ثلات حالات لتوسيع الكابح ذو اللقم حيث:

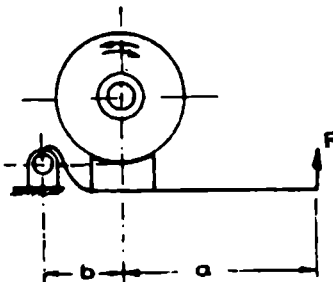
F - القوة في نهاية ذراع الكابح، (N) (Kgf).

F_t - القوة المماسية عند إطار حلقة دوّلاب الكابح، (N) (Kgf).

f - عامل الاحتكاك بين اللقمة و دولاب الكابح.

للدوران في كلا الاتجاهين:

$$F = F_t \left[\frac{b}{a+b} \right] \frac{1}{f}$$



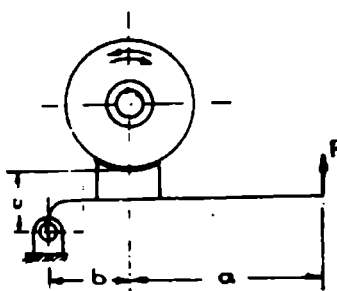
الشكل 5.29

دوران مع عقارب الساعة الشكل 5.30:

$$F = \frac{F_t b}{a+b} \left(\frac{1}{f} - \frac{c}{b} \right)$$

دوران بعكس عقارب الساعة:

$$F = \frac{F_t b}{a+b} \left(\frac{1}{f} + \frac{c}{b} \right)$$



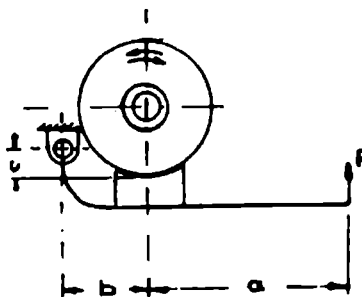
الشكل 5.30

دوران مع عقارب الساعة وفق الشكل 5.31:

$$F = \frac{F_t b}{a+b} \left(\frac{1}{f} + \frac{c}{b} \right)$$

دوران بعكس عقارب الساعة:

$$F = \frac{F_t b}{a+b} \left(\frac{1}{f} - \frac{c}{b} \right)$$



الشكل 5.31

الكوابح ذات السيور

يتكون الكابح ذو السيور من سير فولاذي مبطن بمادة احتكاكية كما في الشكل 5.32 . وتعتبر القوة المطبقة قادرة على تثبيت السير حول الاسطوانة الدوارة، ويمثل الفرق بين القوتين F_1 و F_2 قوة الاحتكاك، وبنفس الأسلوب يمثل ذلك الفرق القوة المطبقة من السيور. يعطى عزم الكبح بالعلاقة التالية:

$$T = r(F_1 - F_2)$$

حيث

٢ - نصف قطر الاسطوانة المكبحة، (mm). كما يمكن إيجاد قوى الشد من العلاقة:

$$\frac{F_1}{F_2} = e^{\theta f}$$

و

$$F_1 = rbP_a$$

حيث

e - ثابت رياضي بقيمة 2.718 .

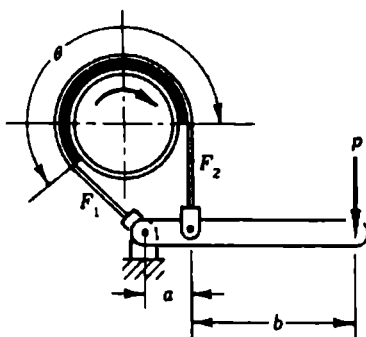
θ - زاوية التماس، rad.

b - عرض السيور، in (mm).

P_a - الضغط الأعظمي المسموح به، psi (MPa).

ونحسب القوة المطلوبة لتحقيق الكبح بالعلاقة:

$$P = F_2 \frac{a}{a+b}$$



الشكل 5.32 : كابح ذو سير

وسنورد الآن العلاقات والأشكال المعرفة عن الكوابح ذات السيور البسيطة والتفاضلية:

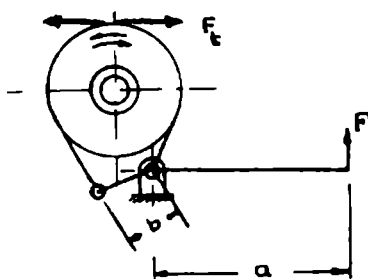
(a) كابح بسيط ذو سير:

دوران مع عقارب الساعة وفق الشكل 5.33:

$$F = \frac{bF_1}{a} = \frac{F_1 b}{a} \left(\frac{e^{\theta}}{e^{\theta} - 1} \right)$$

دوران بعكس عقارب الساعة:

$$F = \frac{bF_2}{a} = \frac{F_1 b}{a} \left(\frac{1}{e^{\theta} - 1} \right)$$



الشكل 5.33

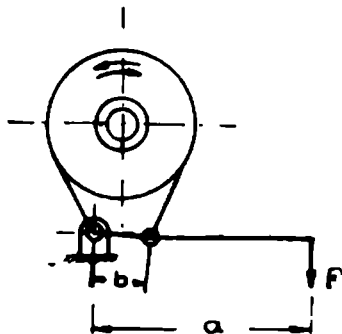
(b) كابح بسيط ذو سير انظر الشكل 5.34:

دوران مع عقارب الساعة:

$$F = \frac{bF_2}{a} = \frac{F_t b}{a} \left(\frac{1}{e^{f\theta} - 1} \right)$$

دوران بعكس عقارب الساعة:

$$F = \frac{bF_1}{a} = \frac{F_t b}{a} \left(\frac{e^{f\theta}}{e^{f\theta} - 1} \right)$$



الشكل 5.34

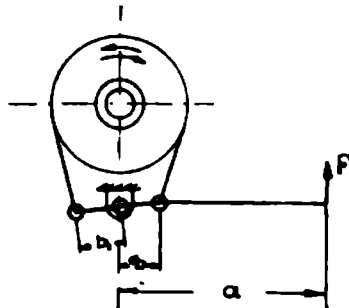
(c) كابح تفاضلي:

دوران مع عقارب الساعة:

$$F = \frac{b_2 F_1 - b_1 F_2}{a} = \frac{F_1}{a} \left(\frac{b_2 e^{f\theta} - b_1}{e^{f\theta} - 1} \right)$$

دوران بعكس عقارب الساعة:

$$F = \frac{b_2 F_2 - b_1 F_1}{a} = \frac{F_1}{a} \left(\frac{b_2 - b_1 e^{f\theta}}{e^{f\theta} - 1} \right)$$



الشكل 5.35 كابح تفاضلي

وسنورد في نهاية هذه الفقرة جدولًا يبين قيم الحد $e^{f\theta}$ لأنواع مختلفة من السيور والبكرات.

الفاصل الواصل

الفاصل الواصل القرص

بين الشكل 5.36 فاصلًاً واصلاً قرصياً. يثبت الجزء A مع محور، بينما يربط الجزء B مع محوره عبر خابور، ويثبت الوجه C على الجزء B. وعندما يُدفع الجزء B لسوالجة الجزء A يتحقق الوصل، وإذا أبعد عن الجزء A فسيحدث عندها الفصل، وبفرض D و d قطرى الوجهين، وبسبب عدم فاعلية تطابق وجه مع محور دوار فنادرًاً ما يكون d أقل من $\frac{1}{2}D$.

يعتمد تصميم الفاصل الواصل على فرضية أن الضغط سيكون موزعاً بشكل منتظم وسيكون التأكيل منتظمًا ولكنها ليست الحالة الحقيقة. وتعطى العلاقة الأنفع في هذه الحالة بالشكل:

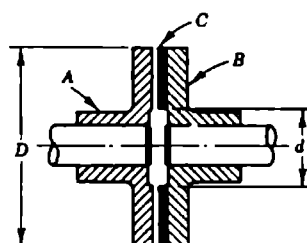
$$T = \frac{fP(D + d)}{4}$$

حيث

T = العزم المنشول، lb.in (N.m).

P = الحمل المحوري، lb (N).

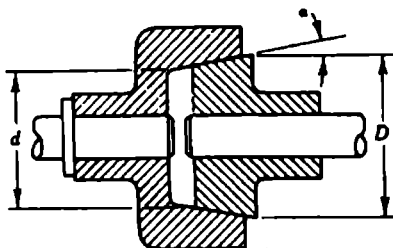
f = عامل الاحتكاك.



الشكل 5.36 : فاصل واصل قرصي

الفاصل الواصل المخروطي

يعتبر الفاصل الواصل المخروطي والمبين في الشكل 5.36 فاصلاً واصلاً احتكاكياً بسيطاً يملك ميزة هامة وهي أن أي قوة محورية بسيطة ستنتج قوة ضغط كبيرة على سطح الاحتكاك. يجب أن لا تقل الزاوية α عن 80° كما أنها عادةً لا تتجاوز 150° ، ويمكن إيجاد العزم المنقول من المعادلة السابقة مع إدخال تأثير الزاوية كما يلي:



الشكل 5.37 : فاصل واصل مخروطي

$$T = \frac{fP(D + d)}{4 \sin \alpha}$$

حيث

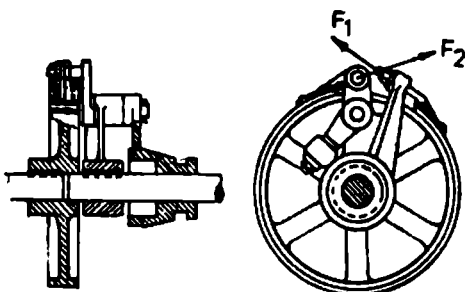
f - معامل الاحتكاك، بينما بقية الرموز موضحة على الشكل 5.37.

الفاصل الواصل ذو السير

تعطى النسبة بين قوتي الشد على طرفين السير (القشاط):

$$\frac{F_1}{F_2} = e^{\theta}$$

وتتخاذ قيمة الحد e^{θ} من الجدول الوارد في نهاية هذه الفقرة.



الشكل 5.38 الفاصل الواسل ذو السير

ويعطى العزم المنقول بالعلاقة:

$$T = (F_1 - F_2) r$$

حيث

F_1 - قوة الشد العظمى في السير، N (Kgf).

F_2 - قوة الشد على الطرف الثاني من السير، N (Kgf).

r - نصف قطر اسطوانة الاحتكاك، (mm).

θ - قوس التماس، rad.

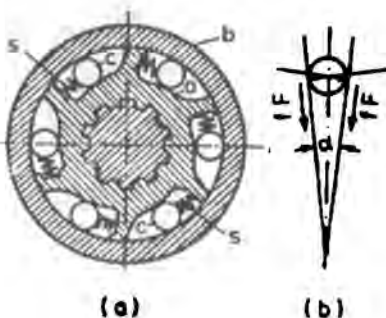
كما ويعطى الضغط الاسمي الأعظمى بالعلاقة:

$$P_{\max} = \frac{F_1}{br}$$

حيث

b - عرض السير، mm.

الفاصل الواصل ذو المدرجات الاسطوانية



الشكل 5.39 الفاصل الواصل ذو المدرجات الاسطوانية

قوة حشر المدحرة

$$F = F_t / \tan \alpha$$

العزم المنقول

$$T = \frac{1}{2} F_t D$$

حيث

F_t - القوة المسامية الضرورية لنقل العزم عند القطر الخطوي D .

α - الزاوية بين مماسى منحني الكامة والغطاء عند نقاط التماس مع المدحرة.

$$\alpha < 2\phi$$

حيث

$$\tan \phi = f = 0.03 \rightarrow 0.05$$

تتراوح القيمتان السابقتان بين السطوح الفولاذية الخشنّة والمصقولّة.

ويعطى الحمل المسموح به من أجل σ_b مدخلجة بالعلاقة:

$$F \leq i' \sigma_b k d$$

حيث

١ - طول المدخلجة الاسطوانية، mm.

σ_b = إجهاد الحشر المسموح به، MN/m^2 (Kgf/mm^2) (105) (1030) من أجل الفولاذ الكرومي عالي القساوة فيه C 0.85 %.

$$k = \frac{4.64}{E} \sigma_b$$

d = قطر المدخلجة mm وتُنخذ عادةً D → 0.15 D

الجدول 5.12 قيم الحد^{٢٠}

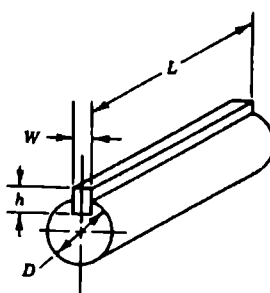
سير جلدي على حديد صب				سير فولاذي على حديد الصب $f = 0.18$	نسبة زاوية النحاس إلى زاوية المحيط $\frac{\theta}{2\pi}$
خشب		مشحم كثيف	قليل التشحيم		
بلل، رطوبة	قليل التشحيم	$f = 0.12$	$f = 0.47$		
١.٢٧	١.١٩	١.٠٨	١.٣٤	١.١٢	٠.١
١.٦١	١.٤٢	١.١٦	١.٨١	١.٢٥	٠.٢
٢.٠٥	١.٦٩	١.٢٥	٢.٤٣	١.٤٠	٠.٣
٢.٦٠	٢.٠٢	١.٣٥	٣.٢٦	١.٥٧	٠.٤
٢.٧٦	٢.١١	١.٣٨	٣.٥١	١.٦٢	٠.٤٢٥
٢.٩٣	٢.٢١	١.٤٠	٣.٧٨	١.٦٦	٠.٤٥
٣.١١	٢.٣١	١.٤٣	٤.٠٧	١.٧١	٠.٤٧٥

سير جلدي على				سير فولاذي على حديد الصب $f = 0.18$	نسبة زاوية العباس إلى زاوية المحيط $\frac{\theta}{2\pi}$		
حديد صب		خشب					
بلل، رطوبة $f = 0.38$	قليل التشحيم $f = 0.28$	مشحوم كثيراً $f = 0.12$	قليل التشحيم $f = 0.47$				
3.30	2.41	1.46	4.38	1.76	0.500		
3.50	2.52	1.49	4.71	1.81	0.525		
4.19	2.81	1.57	5.88	1.97	0.6		
5.32	3.43	1.66	7.90	2.21	0.7		
6.75	4.09	1.83	10.60	2.47	0.8		
8.57	4.87	1.97	14.30	2.77	0.9		
10.90	5.81	2.12	19.20	3.10	1.0		

الخوابير

يعطي العزم المطبق على الخابور وفق الشكل بالعلاقة:

$$T = WLs_s \times \frac{D}{2}$$



الشكل 5.40 أبعاد الخابور

حيث

T = العزم .lb.in (N.m)

L = طول الخابور .in (cm)

W = عرض الخابور .in (cm)

h = ارتفاع الخابور .in (cm)

D = قطر المhour .in (cm)

S_s = إجهاد القص .psi (MPa)

S_c = إجهاد الضغط .psi (MPa)

وأيضاً يمكن إيجاد العزم بالعلاقة:

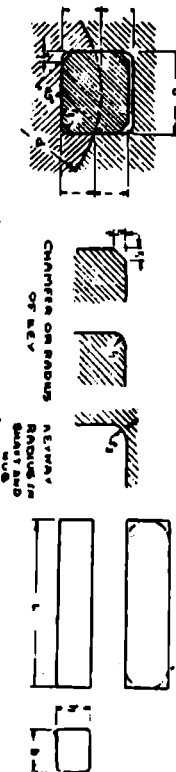
$$T = \frac{h}{2} \times L S_c \times \frac{D}{2}$$

حيث

$$S_c = \frac{4T}{hLD}$$

تصمم الخوابير عادةً بحيث تنهار أو تحطم قبل انهيار المhour أو البطيخة (حاوية المhour) وذلك بسبب سهولة وقلة كلفة تبديل الخابور. يجب أن يكون ارتفاع الخابور حوالي ربع قطر المhour .D.

وسنورد فيما يلي جدولًا بين أبعاد الخوابير تابعةً لقطر المhour.

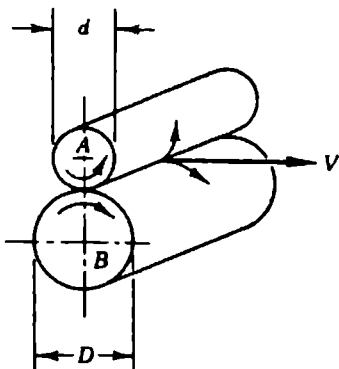


بعد التوبيخ المتأزية والأخذ
كل الأعادات المليعنة

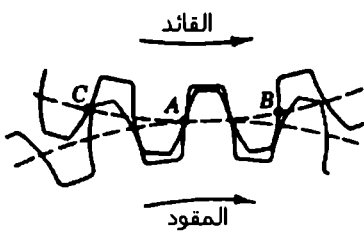
وهنالك أنواع أخرى للخوايير مثل الخوايير ذات الرؤوس والخوايير التي على شكل نصف اسطوانة (خابر وودروف).

المستنات

تملك النقاطان الموجودتان على كل من الاسطوانتين المبيتين في الشكل 5.41 نفس السرعة الخطية إذا افترضنا عدم وجود انتلاق. وهذا وبالتالي يعني أن:



الشكل 5.41 اسطوانات احتكاك



الشكل 5.42 أنسنة المستنات في حالة التشابك

عدد دورات المسنن $A \times d =$ عدد دورات المسنن $B \times D$.

ولنمنع أي ازلاق بين الاسطوانتين فمن الأفضل وضع أسنان على الاسطوانتين دون تغيير القطررين الفعالين كما هو مبين في الشكل 5.42، حيث يدل الخطان المسقطان على سطحي الاسطوانتين المبيتين في الشكل 5.41. وبالتالي فإن إضافة المستනات لن تغير المعادلة السابقة.

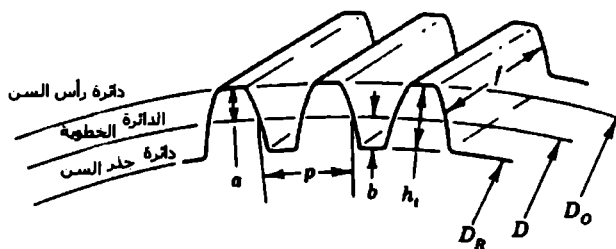
معادلات المسنن المستقيم

تطبق المعادلات التالية على كل نوعي المستنات المستقيمة ذات زاوية الضغط 20° أو 14.5° ، وتكون الأبعاد مقدرة بـإنش أو بالستيمتر.

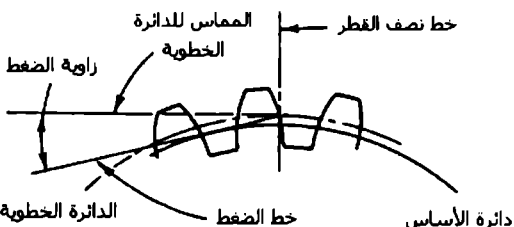
الدائرة الخطوية: وهي دائرة وهية ممثلة بخط متقطع في الشكل 5.44. القطر الخطوي D : وهو قطر الدائرة الخطوية، وعند ذكر قطر المسنن فإننا نعني قطر الدائرة الخطوية هذا.

عدد الأسنان: عدد أسنان المسنن.

الخطوة القطرية P : عدد الأسنان في المسنن لكلإنش من القطر الخطوي، $P = n/D$. وإذا ذكرنا خطوة المسنن فإننا نعني الخطوة القطرية.



الشكل 5.43 تسميات المسنن المستقيم



الشكل 5.44 زاوية الضغط

ارتفاع رأس السن a : ويمثل المسافة القطرية بين الدائرة الخطوطية ودائرة رأس السن،
 $a = 1/P$.

عمق قعر السن b : وهو المسافة القطرية بين الدائرة الخطوطية وقعر فراغ السن،
 $b = 1.157/P$.

القطر الخارجي D_0 : وهو قطر دائرة رأس السن:

$$D_0 = D + 2a$$

وأيضاً

$$D_0 = (n + 2)/P$$

قطر الجذر D_R : وهو قطر دائرة جذر السن، $D_R = D - 2b = D - 2a$

العمق الكامل h_i : ويدعى بالارتفاع الكلي، $h_i = a + b$

عرض الوجه f : وهو عرض سن السن.

الخطورة الدائرية p : وهي المسافة على محيط الدائرة الخطوطية بين نقطة من سن
 والنقطة المماثلة لها من السن اللاحق.

$$p = \pi D/n$$

ويعا أن $n/D = P$ فإن:

$$\pi = pP$$

العمق الفعال (العامل) h_k : المسافة التي يتدخل فيها رأس السن لأحد المستعين مع رأس السن المقابل من أسنان المسنن الآخر، $h_k = 2a$.
السماكة الدائرية t : سماكة المسنن مقاسة على محيط الدائرة الخطوية، $t = p/2$.

حمل القلادة. السرعة

تولد القدرة المنقوله عبر المسنن الأول قوة على المسنن الثاني تعطى بالعلاقة:

$$F = \frac{33,000hp}{V}$$

حيث

F - القوة على سن المسنن، (lb) (Kg).

h_p - الاستطاعة المنقوله بالحصان البخاري.

V - السرعة عند الدائرة الخطوية، (ft/min) (m/min).

ونعطي السرعة عند الدائرة الخطوية بالعلاقة:

$$V = 0.262DN$$

حيث

N - سرعة الدوران، rpm.

متانة السن

تعتمد قدرة السن على نقل الاستطاعة على متانة السن باعتباره دعامة موثوقة من طرفها، ويعطى الحمل المسموح به بالعلاقة:

$$F_s = \frac{sfY}{P}$$

حيث

F_s = الحمل المسموح به، lb (Kg).

s = الإجهاد المسموح به، psi (MPa).

2 - عامل شكل السن.

يمكن إيجاد الإجهاد المسموح به وعامل شكل السن من المخططات والجدارواں الموجودة في المرجع الهندسي.

ولأخذ حولات الصدم وأخطاء التصنيع بعين الاعتبار يجب ضرب المعادلة السابقة بعامل K . ويعطى العامل K للمستنات ذات الجودة التجارية وعند السرعة على الأقل من 2000 ft/min (610 m/min) بالعلاقة:

$$K = \frac{600}{600 + V}$$

أما من أجل المستنات المنسوبة بدقة، وإذا كانت السرعة أقل من 4000 ft/min (1219 m/min) فيحسب العامل K وفق العلاقة:

$$K = \frac{1200}{1200 + V}$$

ومن أجل المستنات ذات الدقة العالية والمخلحة العاملة تحت سرعات أكبر من 4000 ft/min (1219 m/min) فيعطي عندها العامل K بالعلاقة:

$$K = \frac{78}{78 + \sqrt{V}}$$

الفوت (Backlash)

يُقدر خلوص الفوت لمعظم المستنات بحوالي $0.04/P$ ، وتعطى القوة القادرة على فصل مستنتين معشقين ومحملين بالعلاقة:

$$S = F \tan \alpha$$

حيث

S - قوة الفوت، lb (N)

α - زاوية ضغط السن.

وسنورد فيما يلي جدولًا يعطي المودولات الموصى بها للمستنات المستقيمة والمائلة:

الجدول 5.13 المجموعات المقترحة للمودولات (mm)

الميار 3 (3)	الميار 2 (2)	المفضلة (1)	الميار 3 (3)	الميار 2 (2)	المفضلة (1)
(6.5)	7	8			1
	9	10		1.25	1.25
	11	12		1.375	1.5
	14	16		1.75	2
	18	20		2.25	2.5
	22	25	(3.25)	2.75	3
	28	32		3.5	4
	36	40	(3.75)	4.5	5
	45	50		5.5	6

وسنورد الآن جدولًا بالقيم المقترحة والموصى بها لقيم الخطوة القطرية للمسننات المستقيمة والمائلة، ويجب أن نأخذ قيم العمود الأول (المفضل) قدر ما نستطيع:

الجدول 5.14 المجموعات المقترحة للخطوة القطرية

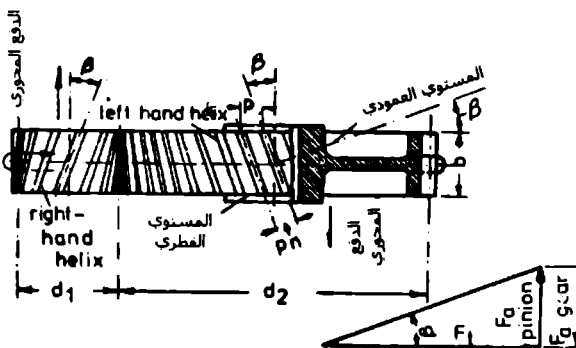
الخيار 2	المفضله
	20
18	16
14	12
11	10
9	8
7	6
5.50	5
4.50	4
3.50	3
2.75	2.50
2.25	2
1.75	1.50
	1.25
	1
0.875	0.75
	0.625
	0.50

أما الآن فستورد جدولًا يعطي نسبة النقل القياسية للمسننات :

$$\text{الجدول 5.15} \quad \text{نسبة المسننات القياسية} \quad \left(i = \frac{Z_2}{Z_1} \right)$$

مرحلة التخفيض					
ثلاثية	ثنائية	أولي	ثلاثية	ثنائية	أولي
125	22.4	4.0	40	8	1.25
140	25	4.5	45	9	1.40
160	28	5.0	50	10	1.60
180	31.5	5.6	56	11	1.80
200	35.5	6.3	63	12	2.00
250	40	7.1	71	12.5	2.24
280	45	8.0	80	14	2.50
315	50	9.0	90	16	2.80
355	-	-	100	18	3.15
400	-	10	112	20	3.55

المسننات المائلة (Helical Gear)



الشكل 5.45 المستنات المائلة

الخطوة الدائرية العمودية

$$P_n = P \cos \beta = \frac{\pi d}{z} \cos \beta = \pi m \cos \beta$$

المخطوطة القطرية العمودية

$$P_n = \frac{P}{\cos \beta} = \frac{z}{d \cos \beta}$$

المودول العمودي

$$m_n = m \cdot \cos \beta = \frac{d}{z} \cos \beta$$

عدد الأسنان

$$z = \frac{d \cos \beta}{m_n} = d.P_n \cos \beta$$

قطر الدائرة الخطوية

$$d = \frac{z}{P} = z m = \frac{z}{P_n \cos \beta} = \frac{z m_n}{\cos \beta}$$

قطر دائرة القعر

$$d_r = d - 2(t_{fn} + t_{cn} - K'_n) m_n$$

حيث

$$t_{fn} = t_f / \cos \beta$$

$$t_{cn} = t_c / \cos \beta$$

$$K'_n = K' / \cos \beta$$

دائرة الرأس أو القطر الخارجي

$$d_o = d_r + 2h$$

ارتفاع المسنن h

ويعطى الدفع المحوري بالعلاقة

$$F_s = F_i \cdot \tan \beta$$

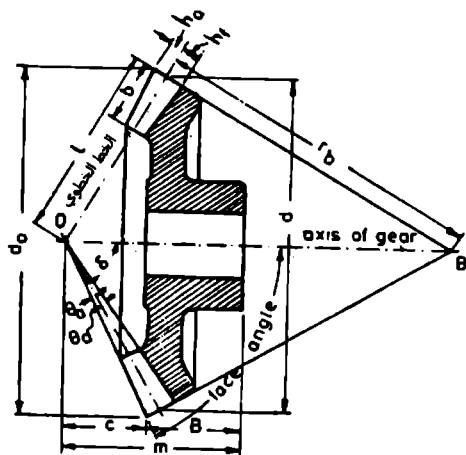
ويعطى عرض المسنن ذو الأسنان المائلة وفق علاقة Fellow التجريبية:

$$b = \frac{(1.1)\pi m}{\tan \beta} = \frac{1.1\pi m_n}{\sin \beta}$$

ويمكن إيجاد عرض المسنن أيضاً بحيث

$$b = 12.5 m_n \quad \text{to} \quad 20 m_n$$

المسننات المخروطية



الشكل 5.46 تعاريف وأبعاد المسنن المخروطي

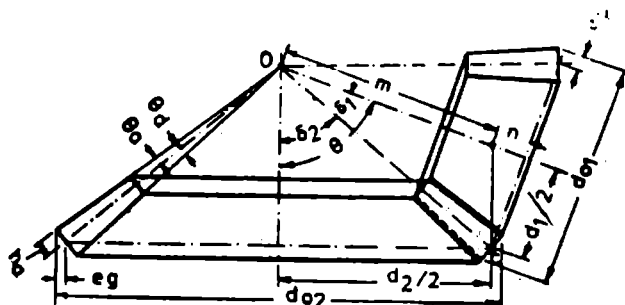
المجدول 5.17 خصائص السن المخروطي

العنصر	الرمز	المسنن الصغير	المسنن
العمق الاسمي للرأس	h_a	m^*	m
العمق الاسمي للقعر	h_r	$1.157 m^*$	$1.157 m$
عمق السن الكلي	h	$2.157 m$	$2.157 m$
زاوية الرأس	θ_a	m/L	m/L
زاوية العمق	θ_d	$\frac{1.157 m}{L}$	$1.157 m$

* عمق القعر للمسنن الكبير يساوي عمق الرأس للمسنن الصغير وكذلك عمق رأس المسنن الصغير يساوي عمق المسنن الكبير لخط الحطورة المشتركة. سيكون عمق رأس السن للمسنن الصغير أكبر من عمق قعره

علاقة الزوايا:

(a) المستناد المخروطيان ذرا الزاوية الحادة:



الشكل 5.47 مستناد مخروطيان بزاوية حادة

الزاوية الخطوية للمسن الصغير:

$$\begin{aligned}\tan \delta_1 &= \frac{d_1 \cdot \sin \theta}{d_2 + d_1 \cos \theta} \\&= \frac{\sin \theta}{\frac{z_2}{z_1} + \cos \theta} \\&= \frac{\sin \theta}{i + \cos \theta}\end{aligned}$$

الزاوية الخطوية للمسن الكبير:

$$\tan \delta_2 = \frac{d_2 \cdot \sin \theta}{d_1 + d_2 \cos \theta}$$

$$= \frac{\sin \theta}{\frac{z_1}{z_2} + \cos \theta}$$

$$= \frac{\sin \theta}{\frac{1}{i} + \cos \theta}$$

الزاوية المحددة للرأس:

$$\tan \delta_a = \frac{2 h_{a1} \sin \delta_1}{d_1}$$

$$= \frac{2 h_{a2} \sin \delta_2}{d_2}$$

الزاوية المحددة للقعر:

$$\tan \theta_d = \frac{2 h_{f1} \sin \delta_1}{d_1}$$

$$= \frac{2 h_{f2} \sin \delta_2}{d_2}$$

حيث

h_{a1}, h_{a2} = عمق الرأس للمسنن الصغير والكبير على التوالي، mm.

h_{f1}, h_{f2} = عمق القعر للمسنن الصغير والكبير على التوالي، mm.

القطر الخارجي للمسنن الصغير -

$$d_{o1} = d_1 + 2 h_{a1} \cdot \cos \delta_1$$

القطر الخارجي للمسنن الكبير -

$$d_{o2} = d_2 + 2 h_{a2} \cdot \cos \delta_2$$

(b) المستنان المخروطيان المتعامدان:

الزاوية الخطوطية للمسنن الصغير

$$\tan \delta_1 = \frac{d_1}{d_2} = \frac{z_1}{z_2} = \frac{1}{i}$$

الزاوية الخطوطية للمسنن الكبير

$$\tan \delta_2 = \frac{d_2}{d_1} = \frac{z_2}{z_1} = i$$

خصائص المستنات المخروطية بحدود مكافحة للمسنن المستقيم.

قطر الدائرة الخطوطية المكافحة

$$d_e = d/\cos \delta$$

قطر الدائرة الخارجية المكافحة

$$d_{ee} = d_o/\cos \delta$$

نسبة المسنن المكافحة

$$i_e = i^2$$

الأسنان المكافحة أو عدد الأسنان لمستنات مخروطية مستقيمة

$$z_e = z/\cos \delta$$

عرض وجه المسنن

$$b \geq 6 \text{ m}$$

$$b \leq 10 \text{ m}$$

$$b \leq L/3$$

حيث

L هي المسافة المخروطية

$$L = \frac{1}{2} \sqrt{d_1^2 + d_2^2} = \frac{d_2}{2 \sin \delta_2}$$

$$= \frac{d_1}{2 \sin \delta_1}$$

حيث

d_1 و d_2 القطران الخطريين على القطر الكبير للمسنن الكبير والصغير على التوالي.
وسنورد الآن جدولًا بين المجموعة المقترحة لمودلات المستنات المخروطية وكذلك
الخطوة القطرية:

الجدول 5.17 المودلات المقترحة للمستنات المخروطية

المعلم 2	المعلم 1
1.125	1.25
1.375	1.5
1.75	2
2.25	2.5
2.75	3
3.5	4
4.5	5
5.5	6
7	8
9	10
11	12
14	16

المتغير 2	المفضلة
18	20
22	25
28	32
36	40
45	50

الجدول 5.18 القيم المقترنة للخطوة القطرية للمستنadas المخروطية

المتغير 2	المفضلة
	20
	16
18	12
14	10
11	8
9	6
7	5
5.50	4
4.50	3
3.50	2.50
2.75	2
2.25	1.50
1.75	1.25
	1
	0.75
0.875	0.625
	0.50

ACME براجي

يعطى العزم اللازم لتطبيق قرة معينة براغي Acme بالعلاقة:

$$T = \frac{Qd}{2} \left(\frac{\cos \alpha \tan \lambda + \mu}{\cos \alpha - \mu \tan \lambda} \right)$$

حيث

.lb.in (N.m) = T العزم،

.lb = الحمل أو القوة، Q

d = القطر الخطي، in (mm).

λ = زاوية التحميل.

μ = معامل الاحتكاك.

ويعطى العزم المطلوب تطبيقه للتغلب على الاحتكاك عند الخلبة الدافعة بالعلاقة:

$$T_c = \frac{\mu Q d_c}{2}$$

حيث

.lb.in (N.m) = T_c العزم،

.in (mm) = d_c القطر الوسطي للخلبة الدافعة،

ويعطى عامل الاحتكاك الخلبة فولاذية على مدرجة برونزية دافعة حوالي 0.1 عند البداية و 0.08 أثناء التشغيل. إذا تم استخدام مدرجة ذات كرات لعملية الدفع فسيصبح الاحتكاك صغيراً جداً بالنسبة للاحتكاك مع البراغي وبالتالي سيهمل.

ويكون العزم الكلي المطلوب لتحقيق القرة Q عبارة عن مجموع العزمين الموجودين في المعادلين السابقتين.

الأعمدة في أجزاء الآلات

غالباً ما توضع الأعمدة في أجزاء الآلات لنقل الحمولات المحورية. وإذا كان الحمل المحوري عبارة عن حمل شد عندها تطبيق العلاقة $S = P/A$, أما إذا كان الحمل المحوري حملاً مركباً فيجب عندها استخدام المعادلة المناسبة لتلك الحالة.

وتعطى معادلة Euler المحددة للحملة الحرجة للأعمدة الاسطوانات ذات المقطع المنتظم كما يلي:

$$F_{cr} = \frac{C\pi^2 EA}{(L/k)^2}$$

حيث

- F_{cr} - الحمل الحرج الذي يسبب الانهاء أو الالتواء.
- C - معامل يعتمد على شروط التحميل (انظر المراجع الهندسية لتحديد قيمته).
- E - عامل المرونة، psi.
- A - مساحة مقطع العرضي، in².
- L - طول العمود، in.

$k = \sqrt{I/A}$ نصف قطر الدوران الأصغرى، حيث I - عزم العطالة الأصغرى حول محور الانهاء، ويأخذ k في حالة المقطع الدائري القيمة، $k = D/4$ ، وفي حالة كون المقطع مستطيل الشكل يصبح $k = h\sqrt{3}/6$ ، حيث h هو البعد الصغير للمستطيل.

ويعطى الحمل الحرج للأعمدة متوسطة الطول ذات المقاطع المنتظمة عبر عدة معادلات، إحداها معادلة J.B.Johnson التالية:

$$F_{cr} = s_y A \left[1 - \frac{s_y (L/k)^2}{4C\pi^2 E} \right]$$

حيث s_y حد الخصوع، psi. وتملك باقي الرموز نفس المفاهيم عند استخدامها في معادلة Euler السابقة، وتعتمد قيمة المعامل C على الشروط المطبقة عند النهايات، كما في الشكل 5.48.

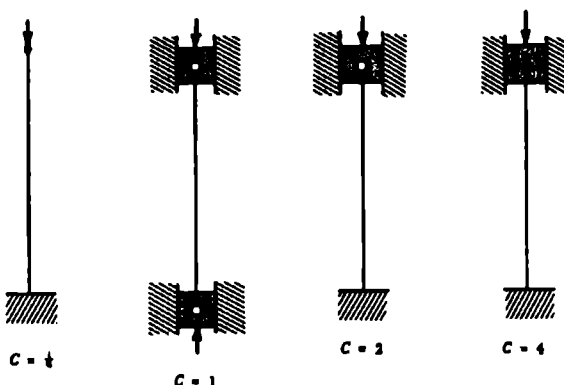
نحصل على الحمل الآمن عبر تقسيم الحمل الخارج على عامل الأمان N وتصبح المعادلتان كما يلي:

الحمل الآمن F وفق معادلة Euler:

$$F = \frac{F_{cr}}{N} = \frac{C\pi^2 EA}{N(L/k)^2}$$

الحمل الآمن F ، وفق معادلة Johnson:

$$F = \frac{s_y A}{N} \left[1 - \frac{s_y (L/k)^2}{4C\pi^2 E} \right]$$



الشكل 5.48

الجدول 5.19

C	E, psi	S _y , psi	(L/k) ²	L/k
1/4	3×10^6	80.000	1.849	43
		70.000	2.113	46
		60.000	2.465	50
		50.000	2.958	54
		40.000	3.697	61
1	30×10^6	80.000	7.394	86
		70.000	8.451	92
		60.000	9.860	99
		50.000	11.832	109
		40.000	14.789	121
2	30×10^6	80.000	14.789	121
		70.000	16.902	130
		60.000	19.719	140
		50.000	23.663	154
		40.000	29.579	172

إذا كانت قيمة L/k أقل من القيمة $\sqrt{2C\pi^2 E / S_y}$. فعليك استخدام معادلة Johnson التي تقبل انخفاض النسبة حتى 0.

يمكن استنتاج النسبة k/L التي نحدد وفقها استخدام معادلة Euler أو استخدام معادلة Johnson عبر نسب الحمل الخارج من معادلة Euler على الحمل الخارج من معادلة Johnson

$$\frac{C\pi^2 EA}{(L/k)^2} = s_y A \left[1 - \frac{s_y(L/k)^2}{4C\pi^2 E} \right]$$

بالتالي

$$L/k = \sqrt{\frac{2C\pi^2 E}{s_y}}$$

عندما تكون قيمة L/k أكبر من القيمة الناتجة من هذه العلاقة فعليها استخدام معادلة Euler، أما إذا كانت أصغر فعليها استخدام معادلة Johnson. ويعطي الجدول 5.1 قيم L/k وفق عدة قيم لحد الخضوع وحالة ثبيت طرف العمود.

وثقية عناصر الآلات والأنظمة

تعد الوثوقية خاصة من خواص العنصر، أو الأنظمة المكونة من عدة عناصر، والمعبر عنها بقدرة ذلك العنصر على أداء مهمته ضمن بيئه محددة ولزمن محدد. لقد أصبحت تنبؤات الوثوقية فرعاً مستقلاً ومضبوطاً من فروع التقنيات الصناعية. ويؤدي مهندسو الوثوقية دوراً هاماً في تقليل الأخطال المكلفة وتصحيح خطط وجدائل الصيانة والإصلاح.

ملخص للمعادلات ذات الصلة بموضوع الوثوقية

من أجل نسبة عطل تناسبية ثابتة:

$$R = e^{-\lambda t}$$

$$R + Q = 1$$

$$Q = 1 - e^{-\lambda t}$$

$$N_s = N_0 e^{-\lambda t}$$

$$N_f = N_0 (1 - e^{-\lambda t})$$

$$m = \frac{1}{\lambda}$$

$$R = e^{-t/m}$$

$$Q = 1 - e^{-t/m}$$

$$N_s = N_0 e^{-t/m}$$

$$N_f = N_0 (1 - e^{-t/m})$$

حيث

R - الوثوقية.

Q - عدم الوثوقية.

λ - نسبة العطل التناصي (أي تناسب نسبة العطل مع N).

N₀ - عدد العناصر الحية (النجيبة أو الباقية).

N_r - عدد العناصر الميتة (المعطلة).

N₀ - العدد الابتدائي للعناصر الحية.

m - متوسط الزمن بين الأعطال (MTBF).

t - الزمن.

ونحدد قيمة m أو (MTBF) بعد إجراء عملية اختبار بالعلاقة:

$$m = \frac{\text{عدد ساعات العمل الكلية}}{\text{عدد الأعطال}}$$

ويعطى الانحراف المعياري σ لمتغير x بتوزيع طبيعي بالعلاقة:

$$\sigma = \sqrt{\frac{\sum (x - x_m)^2}{n}}$$

حيث

x_m هي القيمة المترسمة لعدد عينات n من المتغير x .
تحدد القيمة المترسمة لزمن الاهلاك ضمن تجربة معينة بالعلاقة:

$$M = \frac{\text{مجموع العناصر الحية (غير المعطلة)}}{\text{عدد العناصر}}$$

ومن أجل متغير بتوزيع أسي نجد:

$$\frac{2nm}{\chi^2_{1-\alpha/2,n}} = \text{حد الثقة العلوي}$$

$$\frac{2nm}{\chi^2_{\alpha/2,n}} = \text{حد الثقة السفلي}$$

وإذا أخذنا مستوى ثقة معطى بالنسبة المئوية ($\alpha = 100$ ، حيث n تشير إلى عدد الأخطال، كما وتشير m إلى تقديرات لقيمة المترسمة للمتغير، و χ^2 يشير إلى قيمة تربيعية (تعطي وفق جداول) تتعلق بالمتغيرين n و m أو $\alpha/2$ - 1).
وإذا كان العنصر أو الوحدة يشكل جزءاً من نظام فيمكننا كتابة:

$$\begin{aligned} \frac{m_c}{m_s} &= \frac{t_c}{t_s} \\ m_s &= \frac{m_c}{d} \end{aligned}$$

حيث

- m_c = متوسط الزمن بين الأعطال (MTBF) للعنصر خلال ساعات عمل العنصر.
- m_s = متوسط الزمن بين الأعطال (MTBF) للعنصر خلال ساعات عمل النظام.
- t_c = ساعات عمل العنصر.
- t_s = ساعات عمل النظام.
- d_c = دورة الخدمة = $\frac{t_c}{m_c}$.

ويعطى احتمال حصول كلا الحدين x و y معاً عنها بالرمز P_{xy} بالعلاقة:

$$P_{xy} = P_x P_y$$

ونعبر عن احتمال حدوث أحد الحدين x و y بالرمز P_{x+y} بالعلاقة:

$$P_{x+y} = P_x + P_y - P_x P_y$$

حيث

- P_x = احتمال حدوث الحدث x.
- P_y = احتمال حدوث الحدث y.

وتشير المعادلات التالية إلى الأنظمة التسلسلية والتفرعية، وتدل الرموز على نفس مفاهيمها في المعادلات السابقة مثل الوثوقية، الاحتمال، نسبة العطل، الخ. مع وجود دلائل إضافية إذ تشير اللامقة d إلى التسليلي، وتشير اللامقة p إلى التفرعي، وتشير الأرقام 1, 2, 3, إلى العناصر أو الوحدات الجزئية.

يظهر الشكل 5.49 منحنيات الوثوقية، لأنظمة التسلسلية والتفرعية.

$$R_s = R_1 R_2 \dots$$

$$Q_s = Q_1 + Q_2 - Q_1 Q_2$$

$$Q_s = 1 - R_s$$

$$R_p = R_1 + R_2 - R_1 R_2$$

$$Q_p = Q_1 Q_2$$

$$Q_p = 1 - R_p$$

$$R_s = e^{-(\lambda_1 + \lambda_2 + \lambda_3 + \dots)t}$$

$$\lambda_s = \lambda_1 + \lambda_2 + \lambda_3 + \dots$$

$$m_s = \frac{1}{\lambda_s}$$

$$R_s = e^{-n\lambda_s t}$$

$$\lambda_s = n\lambda$$

$$m_s = \frac{1}{n\lambda}$$

$$R_p = R_1 + R_2 - R_1 R_2$$

$$R_p = R_1 + R_2 + R_3 - R_1 R_2 - R_2 R_3 + R_1 R_2 R_3$$

$$R_p = e^{-\lambda_1 t} + e^{-\lambda_2 t} + e^{-\lambda_3 t} + e^{-(\lambda_1 + \lambda_2)t} + e^{-(\lambda_2 + \lambda_3)t} \\ + e^{-(\lambda_1 + \lambda_3)t} + e^{-(\lambda_1 + \lambda_2 + \lambda_3)t}$$

$$m_p = \frac{1}{\lambda_1} + \frac{1}{\lambda_2} - \frac{1}{\lambda_1 + \lambda_2}$$

$$m_p = \frac{1}{\lambda_1} + \frac{1}{\lambda_2} + \frac{1}{\lambda_3} - \frac{1}{\lambda_1 + \lambda_2} - \frac{1}{\lambda_2 + \lambda_3}$$

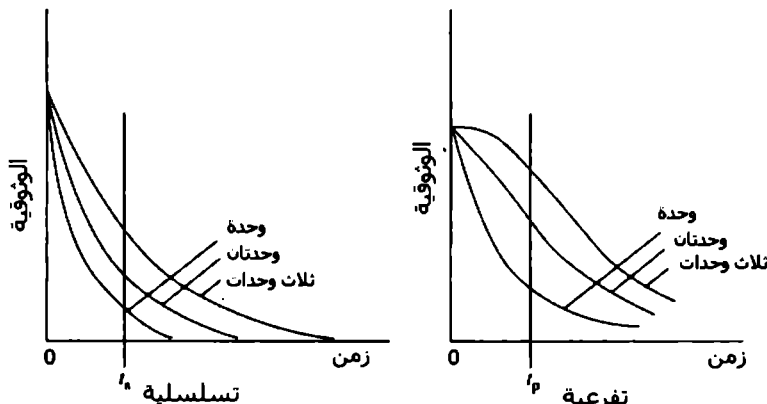
$$- \frac{1}{\lambda_1 + \lambda_3} + \frac{1}{\lambda_1 + \lambda_2 + \lambda_3}$$

$$m_p = \frac{1}{\lambda} + \frac{1}{2\lambda} + \frac{1}{3\lambda} + \dots + \frac{1}{n\lambda}$$

حيث تشير n الموجودة في المعادلات السابقة إلى عدد العناصر أو الوحدات الجزئية التي تملك نسب أعطال متساوية.

ويعطى عامل الاستخدام (الانتفاع) U بالنسبة لنظام وفق العلاقة:

$$U = \frac{\text{زمن التشغيل (العمل)}}{\text{زمن التشغيل} + \text{زمن الصيانة} + \text{زمن التعطيل}}$$



الشكل 5.49 منحنيات الوثوقية للأنظمة التسلسلية والتفرعية

يعطى عامل التوفر (وهو عامل الاستخدام الأعظمي) A بالعلاقة:

$$A = U_{\max} = \frac{\text{زمن التشغيل (العمل)}}{\text{زمن التشغيل} + \text{زمن الصيانة الأعظمي}}$$

ومن أجل أي مجموعتين من حالات العمل x و m نستطيع كتابة العلاقة بين الجهدين V_x و V_m والحرارة t_x و t_m ونسبة العطل λ_x و λ_m على التوالي على الشكل التالي:

$$\lambda_x = \lambda_m \left(\frac{V_x}{V_m} \right)^n K^{t_x - t_m}$$

حيث يمثل n و K هنا ثابتين وفق مجال محمد من الشروط يمكن تحديدهما كما يلي:

$$K = \frac{\lambda_x}{\lambda_m} \frac{1}{t_x - t_m}$$

وذلك من أجل اختبار بجهد ثابت، أما إذا كان الاختبار بدرجة حرارة ثابتة (مع ثبات درجة الحرارة) فإن:

$$n = \frac{\ln(\lambda_x / \lambda_m)}{\ln(V_m / V_x)}$$

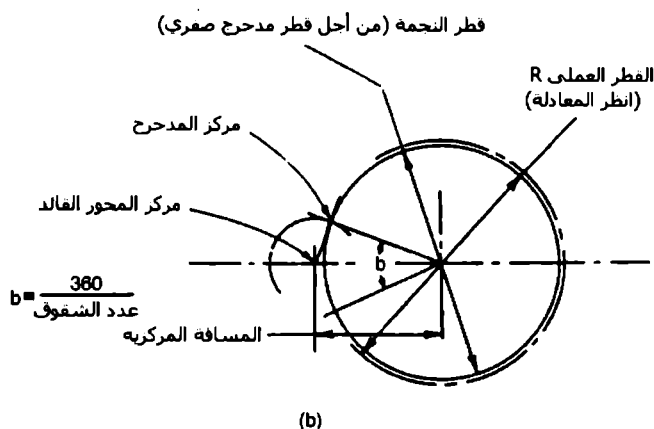
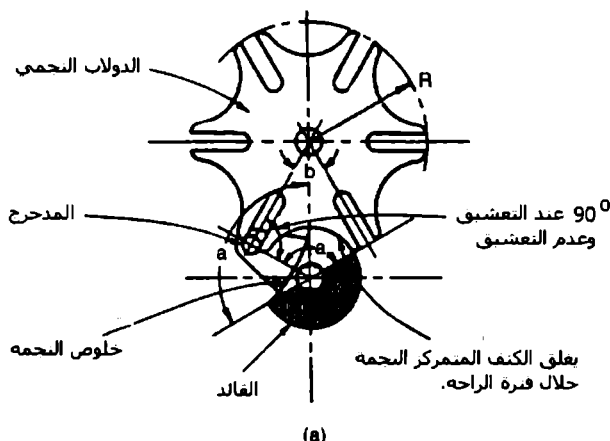
تصميم دولاب GENEVA

لقد استخدم دولاب جنيفا بالأصل لإيقاف أو منع التدوير الزائد لنوابض الساعات، وذلك عبر عدم شق أحد الشفوق وبالتالي سيكون عدد مرات تدوير المhour محدودة. أما الآن فيعتبر دولاب جنيفا واحداً من أكثر نواقل الحركة استخداماً في الحركات الدورانية المتقطعة ذات السرعات العالية.

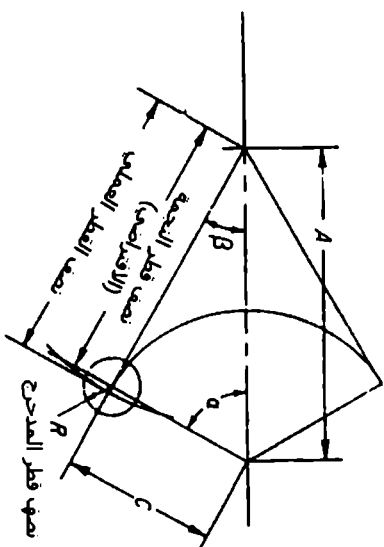
معادلات التصميم

نستطيع حساب التردد الراوي عند أي لحظة والسرعة والتسارع والقطر العملي للدولاب النجمي من المعادلات التالية.

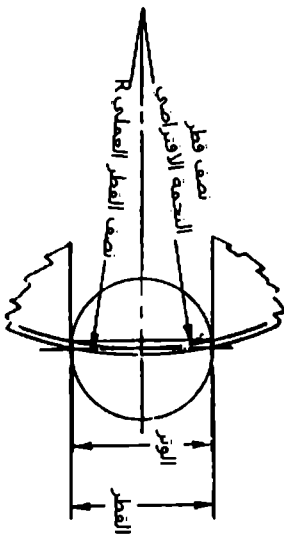
ولكن سنعرض أولاً الشكل 5.51 الذي يوضح معنى الرموز التي ستستخدم في المعادلات.



الشكل 5.50 مكونات دولاب GENEVA. a) آلة GENEVA الكاملة، b) مخطط يوضح الخطة الأولية في التصميم.



الشكل 5.51 الرور المستخدمة في معادلات درلاب Geneva.



المسافة المركبة:

$$A = C M$$

حيث

$$M = \frac{1}{\sin(180 / \text{no. of slots})}$$

الإزاحة الزاوية:

$$\tan \beta = \frac{\sin \alpha}{M - \cos \alpha}$$

السرعة الزاوية:

$$\begin{aligned} &= \frac{d\beta}{dt} \\ &= \omega \frac{M \cos \alpha - 1}{1 + M^2 - 2M \cos \alpha} \end{aligned}$$

التسارع الزاوي: rad/s²

$$\begin{aligned} &= \frac{d^2\beta}{dt^2} \\ &= \omega^2 \frac{M \sin \alpha (1 - M^2)}{(1 + M^2 - 2M \cos \alpha)^2} \end{aligned}$$

وسيكون التسارع أعظمياً عند تحقيق:

$$\cos \alpha = \pm \sqrt{\left(\frac{1 + M^2}{4M}\right)^2 + 2} - \frac{1 + M^2}{4M}$$

وسيحدث التسارع الأعظمي وبالتالي التأكيل الأعظمي عند حوالي ثلث أو ربع المسافة من طول الشق من جهة حرف الدواب.

وبطبيعة القطر العملي للدوااب النجمي بالعلاقة:

$$2R = \sqrt{A^2 - C^2 + \mu^2}$$

معادلات الإجهاد للاسطوانات الرقيقة

عندما تكون نسبة نصف القطر الخارجي إلى نصف القطر الداخلي من 1.14 إلى 1، فعندها تصنف هذه الاسطوانة ضمن الاسطوانة الرقيقة. ستكون الإجهادات غير منتظمة التوزيع على كامل نصف القطر وستكون أعظمية عند نصف القطر الداخلي، وتُحدّد تغيرات الإجهاد بالتحليل الرياضي وتعطي قيمة قريبة جداً من الاختبارات الحقيقية. وهناك عدة معادلات تحسب قيم الإجهاد عند الجدار الداخلي عند شروط نهايات مختلفة ولمواد مختلفة، وتعرف كل معادلة باسم واضعيها. وستقدم في الجدول التالي أربع معادلات لأربعة مؤلفين.

الإذن	المعادلة	الإمراضات
Lame	$S_t = a + \frac{b}{r^2} = \rho \left(\frac{1+R^2}{R^2-1} \right) = \rho \left(\frac{r_0^2+r_t^2}{r_0^2-r_t^2} \right)$	للمواد القصبة ولسيارات متفقين
Barlow	$S_t = \frac{\rho D}{2t} = \rho \left(\frac{L_t}{t} \right) = \rho \left(\frac{R}{R-1} \right)$	لمباني مفترضين
Clavarino	$S_t = (1-2m)\rho + \frac{1+m}{r_t^2} b$	للمراد المطلية ولسيارات متفقين
Birnie	$= \frac{0.4}{R^2-1} + \frac{1.3R^2}{R^2-1} = \rho \left(\frac{0.4+1.3R^2}{R^2-1} \right)$ $S_t = (1-m)\rho + (1+m) \frac{b}{r_t^2}$ $= \rho \left(\frac{0.7}{R^2-1} + \frac{1.3R^2}{R^2-1} \right) = \rho \left(\frac{0.7+1.3R^2}{R^2-1} \right)$	للمراد المطلية ولسيارات مفترضين

المعطيات

 t_t - نصف قطر المداري، in.

D - افتراض المداري، in.

ρ - المنسوب العامل، نعم.

S_t - الإجهاد العامل، عدد نصف قطر المداري، نعم.

I - سعادي الجدول، in.

m - نسبة بوسون (0.03 للرذاذ).

اجدول 5.20 : مقارنة بين المعادلات

$$R = \frac{r_o}{r_t}$$

$$\alpha = \rho \left(\frac{r_t^2}{r_o^2 - r_t^2} \right)$$

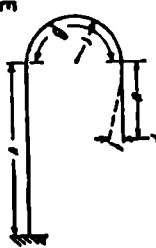
$$b = \rho \left(\frac{r_t^2 r_o^2}{r_o^2 - r_t^2} \right)$$

المعادلات التصميمية للترايبر المنحنية

تصمم الترايبر المنحنية عادةً بمعادلات تعتمد على الطول المفتوح للترايبر مهملين تأثير الانحناء، وتعتبر هذه المعادلات غير دقيقة. تعتمد الطريقة الجديدة على نفس المفهوم ولكنها تصبح أدق عبر إضافة عامل تصحيح متعلق بالانحناء كما في الجدول التالي:

نوع الناشر	الحراف السادس	مقدمة المتصفحات والوحدات الالكترونية
	$F_1 = \frac{K_1 P_1}{3EI} (m + \beta)^3$ $P = \frac{S\sigma}{R}$ $\sigma = \frac{P(m + \sin \beta)}{S}$	$m = 0 \rightarrow 90^\circ \rightarrow 180^\circ$ $\beta = 0 \rightarrow 90^\circ \rightarrow 180^\circ$ $R = \frac{S\sigma}{m + \sin \beta}$ $\sigma = \frac{P(m + 1)}{S}$
	$F_1 = \frac{2K_1 P_1}{3EI} \left(m + \frac{\beta}{2} \right)^3$ $R = 0.12$ $K = \text{محدد}$	$m = 0 \rightarrow 90^\circ \rightarrow 180^\circ$ $\beta = 0 \rightarrow 90^\circ \rightarrow 180^\circ$ $R = \frac{S\sigma}{m + \frac{\beta}{2}}$ $\sigma = \frac{P(m + 1)}{S}$
	$F_1 = 2F_2 = \frac{4K_1 P_1}{3EI} \left(m + \frac{\beta}{2} \right)^3$ $R = 0.12$ $K = \text{محدد}$	$m = 0 \rightarrow 90^\circ \rightarrow 180^\circ$ $\beta = 0 \rightarrow 90^\circ \rightarrow 180^\circ$ $R = \frac{S\sigma}{m + \frac{\beta}{2}}$ $\sigma = \frac{P(m + 1)}{S}$

المحلول 21 : معادلات الترددات المذكورة : 5.21-2

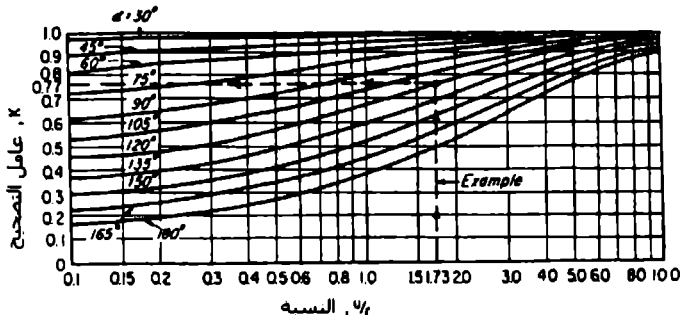
 $F_1 = F_2 = \frac{P}{3EI} \left[2K^2 \left(m + \frac{\beta}{2} \right)^3 + (w - m)^3 \right]$	 $\mu = \frac{\omega}{\lambda} = \frac{P\lambda}{S}$						
<table border="1" style="width: 100%; border-collapse: collapse;"> <thead> <tr> <th style="text-align: center;">الشرط الأول</th> <th style="text-align: center;">الشرط الثاني</th> <th style="text-align: center;">λ</th> </tr> </thead> <tbody> <tr> <td style="text-align: center;"> $\begin{matrix} u < 0 \\ u > 0 \\ u = 0 \\ u > r \end{matrix}$ </td> <td style="text-align: center;"> $\begin{matrix} u < 0 \\ u > 0 \\ u = 0 \\ u > r \end{matrix}$ </td> <td style="text-align: center;"> $\begin{matrix} u + r \\ u + r \\ u - r \\ u + r \end{matrix}$ </td> </tr> </tbody> </table>	الشرط الأول	الشرط الثاني	λ	$\begin{matrix} u < 0 \\ u > 0 \\ u = 0 \\ u > r \end{matrix}$	$\begin{matrix} u < 0 \\ u > 0 \\ u = 0 \\ u > r \end{matrix}$	$\begin{matrix} u + r \\ u + r \\ u - r \\ u + r \end{matrix}$	
الشرط الأول	الشرط الثاني	λ					
$\begin{matrix} u < 0 \\ u > 0 \\ u = 0 \\ u > r \end{matrix}$	$\begin{matrix} u < 0 \\ u > 0 \\ u = 0 \\ u > r \end{matrix}$	$\begin{matrix} u + r \\ u + r \\ u - r \\ u + r \end{matrix}$					

المدول 5.21 : [تابع]

المقطوعات

a = عرض النابض، D = قطر النابض، E = عامل يوينغ، $E \cdot \text{mm}$ = عامل يوينغ، $K \cdot \text{mm}^2$ = عامل المطاطة، $I \cdot \text{mm}^4$ = عزز المطاطة، $L = \text{متر}$ العزم، $P = \text{نافورة النابض، Kg}$ دراع العزم، $S = \text{متر المقطع}$ عند الأقصاء، $m = \text{ميئار المقطع}$ المستقيم $= u \cdot \text{mm}$ ، $r = \text{طول المقطع المستقيم}$ عند نهاية النابض (التابعة)، $\alpha = \text{زاوية انحناء النابض، rad}$ دراع العزم، $\beta = \text{إسبيط رسم}$ ، $\omega = \text{زاوية انحناء النابض، rad}$ دراع العزم، $\lambda = \text{إجماء الانحناء الأعظمي، Kg/mm}^2$

وللحصول على نتائج دقيقة يجب أن لا تتجاوز النسبة h/r للتواكب المستوية D/r للتواكب ذات المقطع الدائري القيمة 0.6.



الشكل 5.52 : عامل تصحيح اخناء النابض

تسوافق النتائج التجريبية مع الانحرافات المحسوبة وفق هذه المعادلات. فمثلاً تم حساب انحراف النابض D وكان ضمن 8 % من الانحراف الحقيقي، بينما سيعطي حساب الإجهاد نسبه خطأ 100 % في حال إهمال الانحناء. وكما رأينا فقد تم تصنیف التوابض المنحنية وفق خمسة أنواع رئيسية، ويمكن حساب أنواع أعقد غير تقسیم النابض وفق هذه الأنواع الرئيسية.

لقد قام بوضع هذه المعادلات وعوامل التصحیح كل من Joachim Palm و Klaus Thomas في مدينة ميونخ في ألمانيا.

المعادلات الهيدروديناميكية المفيدة أثناء تصميم المدحرجات (البليات)

تطلب عملية تصميم المدحرجات عدداً من المعادلات الهيدروديناميكية ترتبط بعلم الموائع وتذبذب السوائل والقدرة والضغط والوزن ولزوجة السائل وكثافة السائل. ويقدم الجدول التالي بيانات مفيدة عن هذه المفاهيم وفق الجملتين SI و USCS.

النظام	الوحدة	المرجع	المعادلة أو القاعدة	نظام المعايير
النطارة	M	$\frac{lb \times s^2}{ft}$	وحدة الكتلة السرطانية	USCS
الكتلة	M	$\frac{kg \times s^2}{m}$	وحدة الكتلة المترية	SI
الكتلة بالكميات	M	$\frac{dyn \times s^2}{cm}$	وحدة الكتلة المترية	SI
الكتلة بالعزم	M	$\frac{dyn \times s^2}{cm}$	وحدة الكتلة المترية	SI
ناتج الحائبية الإلزامية	$\frac{N}{s^2}$	g	(عب لسند) 32.174 (غم مارس) 9.807	USCS
العزم	$\frac{dyn}{s}$	P	$\frac{1}{981}$ g	SI
Poundal	P	$\frac{1}{32.174}$		USCS
الضغط	N	H	62.33516 g/cm ² أو 0.433 lb/in ² للملم. 61 بسلوبي	USCS
العمل العدلي	hp	N	550 ft · lb/s or 33,000 ft · lb/min	USCS

المدول 5.22 : المعادلات الميدروديناميكية المقيدة في عملية تصميم المدرجات

الاسم	الوحدة	العر	المعادلة او الفيده	نظام الوحدات
العمل المبذول	hp	N	$\frac{ft \cdot s}{s} \times \frac{head \times 32.2G}{8.8}$ or $\frac{gal \cdot s}{min} \times \frac{head \times 3960}{3960}$	USCS
hp	N	$\frac{ft^3}{min} \times \frac{lb}{ft^3} \times \frac{1}{33.000}$ or $\frac{gal}{min} \times \frac{lb}{ft^3} \times \frac{1}{1714}$		USCS
العزم	lb · ft	T	$\frac{hp \times 33.000}{rpm \times 2\pi} = \frac{3250 \text{ hp}}{rpm}$	USCS
الكتافة		P	$\frac{lb}{ft^3} \times \frac{ft^3}{ft} = \frac{slug}{ft^3}$	SI
وحدة الجاذبية		P	$\frac{g}{cm^3} \times \frac{cm^3}{cm}$	USCS
الكتلة		P	$\frac{slug}{ft^3} \times \frac{ft^3}{s}$	SI
وحدة الحجم		P	$\frac{kg}{m^3} \times \frac{m^3}{s}$	USCS
الكتله		P	$\frac{kg}{s}$	SI
الزجاجة المائية بولمان	الكتله	P	$\frac{slug}{ft \cdot s} = \frac{lb \cdot s}{ft \cdot s}$	USCS
USCS بالملون	الكتله × المطر	P	$1 \text{ unit of } \frac{slug}{ft \cdot s} = 178.69 \text{ P}$	
		P	$\frac{lb \cdot min}{ft^2} = 4.136.000 \text{ P}$	
		P	$\frac{pound \cdot s}{ft^2} = 14.88 \text{ P}$	

بيان / اثبات) المعادلات المقدمة في الفيديو (تصميم المنشآت في وظيفة الميدرو ديناميكيه (بمذكرة الميدول 22 : المعايير)

الاسم	الوحدة	العر	المعادلة أو النسبة	نظام الوحدات
الدرجية المطاطية بواحدة الحملة الدوبلية SI	P $\text{N} \cdot \text{cm}^2$	$\frac{1}{5} \cdot P$		SI
	cP $\text{kg} \cdot \text{s} \cdot \text{cm}^{-2}$	$Z = \frac{1}{100} P$		
		$981 P$		
الدرجية الحرارية	مساحة روزن	A		
	$SI = \frac{\text{cm}^2}{\text{s}}$	$\frac{P}{\rho} = \frac{A}{\text{density}}$	$P = \frac{\rho A}{\text{density}}$	USCS and SI
		$\frac{1}{100} SI$		
		$Z = 100 cP$		
نوعي سبوبolt العاليمية	V	$When SUS \leq 100 cS = 0.226 SUS - 195 / SUS.$	$SUS = \frac{100}{100 + V}$	SI
		$When SUS = 100 cS = 0.220 SUS - 135 / SUS.$	$SUS = \frac{100}{100 + V}$	
الدرجية حرارية	لا تصل			
	cP			
درجية العدد الدرجة 20°C	Z	$Z = 1 cP$		SI
فيزيائية مطاطية				

الجدول 5.22 : المعادلات الميدروديناميكية المقيدة في عملية تصميم المدبرات (تابع)

الاسم	الوحدة	المرجع	المعادلة لـ النسخة	نظام الوحدات
السرعة	متر × طلب كله	ف	وبحسب الموجة المطلقة	SI و USCS
رقم سبيكتر	لا يجري	N _d	$N_d = \frac{f}{v}$	
لعام روتين	لا يجري	N _d	$N_d = \frac{f}{v}$	فترة مطلقة
السرعة المطلقة			$v = \frac{f}{\lambda}$	
الكتلة			$m = \rho v$	
مطر الرياح			$d = \rho v^2$	
الزوجة المطلقة			$F = m v^2$	
الزوجة الحرارية			$F = m v^2$	
رقم سبيكتر الدافع الذي = 2320	N _r	يتحقق بين العينات الممتعان والمقطوب	فترة مطلقة	
رقم سبيكتر الدافع الذي = 1920	N _r	يتحقق غير ممتعان	فترة مطلقة	
دخل الرياح				
معدلة عداد المطبات	SI or m	For N _d > 2320: دخل الرياح ممتعان		
بالاحتراق للرياح	H _r	For N _d < 2320: دخل الرياح مقطوب		
دخل الرياح	H _r	From N _r = 1920 to 4000:		
	$H_r = f \times \frac{v^3}{d^2} \times 2g$			
	$v = \text{السرعة}$			
	$d = \text{مطر الرياح}$			
	$f = \text{نطاق الرياح}$			
	$g = \text{ثوابت الجاذبية الأرضية}$			
	$H_r = f / g^2 \text{ or } m/s^2$			
معدل العددي للرياح الممتع	f	معدل العددي للرياح الممتع	فترة مطلقة	
معدل العددي للأنسوس	$f = \frac{64}{N_r}$	معدل العددي للأنسوس	فترة مطلقة	

الجدول 5.22 : المعادلات الميدروديناميكية المقيدة في عملية تصميم المدرجات (تابع) /

الاسم	الوحدة	العر	المعادلة أو القائمة	نظم الأوحد
البعد	لامعي	f	$f = \frac{0.214}{\sqrt{N_e}}$	فرعه مطلقة
معلم النسق لألومنيوم	لامعي	f	$f = \frac{0.214}{\sqrt{N_e}}$	فرعه مطلقة
مسقط وقطع دري	لامعي	f	$f = \frac{64}{N_e}$	حربى متعابر
معلم النسق للألومنيوم	لامعي	f	$f = \frac{0.316}{\sqrt{N_e}}$	فرعه مطلقة
معلم سطح	لامعي	f	$f = \frac{64}{N_e}$	حربى متعابر
معلم النسق للألومنيوم	لامعي	f	$f = \frac{0.316}{\sqrt{N_e}}$	فرعه مطلقة
معلم النسق للألومنيوم	لامعي	f	$f = \frac{0.316}{\sqrt{N_e}} = 0.054$	فرعه مطلقة
معلم سطح	لامعي	f	$f = \frac{64}{N_e}$	حربى متعابر
معلم سطح	لامعي	f	$f = \frac{0.316}{\sqrt{N_e}} = 0.054$	فرعه مطلقة
معلم سطح	لامعي	N_e	$N_e = 10000$	فرعه مطلقة
درجة حرارة 20°C	لامعي	v	$v = 1000 \text{ cm/s}$	فرعه مطلقة
رقم ينطوي للنحاس	لامعي	d	$d = 0.001 \text{ cm}$	فرعه مطلقة
(Sommerfeld)	لامعي	S	$S = \left(\frac{D}{c} \right)^{\frac{1}{2}}$	فرعه مطلقة
مطرد المدحث	لامعي	D	$D = v^2 / S$	فرعه مطلقة
مطرد المدحث	لامعي	c	$c = v / S$	فرعه مطلقة
مطرد المدحث	لامعي	v	$v = cS$	فرعه مطلقة
الموجه المطلطة	لامعي	D	$D = v^2 / S$	فرعه مطلقة
وأوجه المطع	لامعي	v	$v = S$	فرعه مطلقة
عدد حوال وحدة الزمن	لامعي	S	$S = v / D$	فرعه مطلقة

الجزء 5.22 : المعادلات الميدروديناميكية المقيدة في عملية تصميم المدرجات (ابراج) /

الجدول 5.22 : المعادلات الفيدرو-باتاميكية المقدرة في عملية تصميم المدحّنات (تابع |

المدحرجات (الببلييات)

تعطى علاقة العمر النسيي مقدراً بـ علایین الدورات بالعلاقة:

$$L_n = \frac{60NL_h}{1000000}$$

حيث

N = سرعة الدوران دورة/ دقيقة.

L_h = عدد ساعات العمل.

كما وتعطى العمر النسيي أيضاً بالعلاقة:

$$L_n = \left(\frac{C}{P} \right)^3$$

$$L_n = \left(\frac{C}{P} \right)^{\frac{10}{3}}$$

الآن وبعد أن نحصل على الحمل المكافئ P نستطيع من هذه العلاقة إيجاد السعة C وهي التي سنستخدمها في عملية اختيار المددرج المناسب، وتسمى النسبة $\frac{C}{P}$ نسبة التحميل.

ويعطى الحمل статيكی المكافئ بالعلاقة:

$$P_o = X_o F_r + Y_o F_b$$

حيث

F_b = الحمل المحوري (القوة باتجاه المحور).

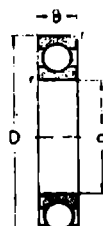
F_r = الحمل القطري (القوة باتجاه نصف القطر).

X_o , Y_o = عوامل تتعلق بنوع المددرج وعدد صفوف الكرات في المددرج (يؤخذ من المراجع الهندسية) وقيمتها من أجل المدحرجات الكروية ذات الأخدود العميق

$$Y_o = 0.5 \quad X_o = 0.6 \quad (\text{Deep Groove Ball Bearings})$$

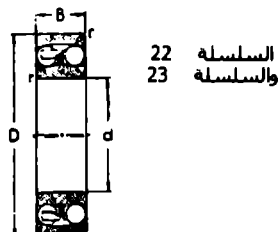
وهنالك عوامل أخرى تدخل في حساب السعة مثل عوامل العمر وعوامل تتعلق بنوع المدحراج وعامل يأخذ سرعة الدوران الكبيرة بعين الاعتبار، ولن ن تعرض هنا لكيفية اختيار هذه العوامل إذ أنها موجودة في المراجع الهندسية إنما سننتقل إلى سرد أنواع المدحرجات:

سلسلة 62



المدحرجات ذات الكرات والأخذود العميق
Deep Groove Ball Bearings

الرقم التصنيفي وفق شركة (SKF)	d	D	B	r	السعة الأساسية		السرعة العظمى المسماوح بها	
	mm	mm	mm	mm	C _n	N ديناميكيه سبائكه		
(1)	(2)	(3)	(4)	(5)	(6)	(7)	(8) rev/min	
10BC02	6200	10	30	9	1	2160	3925	20000
12BC02	01	12	32	10	1	2940	5250	20000
15BC02	02	15	35	11	1	3430	5980	16000
17BC02	6203	17	40	12	1	4315	7355	16000
20BC02	04	20	47	14	1.5	6375	9805	16000
25BC02	05	25	52	15	1.5	6965	10690	13000
30BC02	6206	30	62	16	1.5	9805	14710	13000
35BC02	07	35	72	17	2	13535	19615	10000
40BC02	08	40	80	18	2	15495	22165	10000
45BC02	6209	45	85	19	2	17750	24910	8000
50BC02	10	50	90	20	2	20595	27070	8000
55BC02	11	55	100	21	2.5	25300	33340	8000
60BC02	6212	60	110	22	2.5	31580	40210	6000
65BC02	13	65	120	23	2.5	35715	42905	6000
70BC02	14	70	125	24	2.5	38440	47070	5000
75BC02	6215	75	130	25	2.5	41385	50600	5000
60BC02	16	80	140	26	3	44130	55505	5000
85BC02	17	85	150	28	3	53450	63745	4000



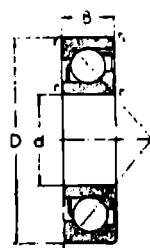
المحرجات الكروية ذات التوضع الذاتي

Self-Aligned Ball Bearings

الرقم المصمم وهي شركة (SKF)	d	D	B	r	السعة الأساسية N ستانكية		السرعة العظمى المسموح بها rev/min	
	mm	mm	mm	mm	C _a	C		
(1)	(2)	(3)	(4)	(5)	(6)	(7)	(8)	
2200		10	30	14	1	1670	5540	20000
01		12	32	14	1	1960	5640	20000
02		15	35	14	1	2110	5740	16000
2203		17	40	16	1	2745	7500	16000
04	2204 K	20	47	18	1.5	3825	9610	16000
05	05 K	25	52	18	1.5	4120	9610	13000
2206	2206 K	30	62	20	1.5	5390	11770	13000
07	07 K	35	72	23	2	7845	16180	10000
08	08 K	40	80	23	2	8825	16920	10000
2209	2209 K	45	85	23	2	9810	17410	8000
10	10 K	50	90	23	2	10490	17410	8000
11	11 K	55	100	25	2.5	12455	20200	8000
2212	2212 K	60	110	28	2.5	15300	25810	6000
13	13 K	65	120	31	2.5	19610	33340	6000
14	—	70	125	31	2.5	21080	34080	5000
2215	2215 K	75	130	31	2.5	21575	34080	5000
16	16 K	80	140	33	3	24520	37850	5000
17	17 K	85	150	36	3	29030	44620	4000

المدحرجات ذات الكرات بتماس رأوي وصف واحد

Single Row Angular Contact Ball Bearings

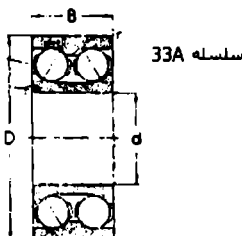


سلسلة 72B

الرقم التصميمي وهي شركة (SKF)	d mm	D mm	B mm	r mm	السعة الأساسية		السرعة العظمى المسموح بها rev/min
					N ساميكه	C _o ساميكه	
(1)	(2)	(3)	(4)	(5)	(6)	(7)	(8)
15BA02	7202 B	15	35	11	1	0.5 16	3680 6080 13000
17BA02	03 B	17	40	12	1	0.8 18	4460 7700 13000
20BA02	04 B	20	47	14	1.5	0.8 21	6370 10150 10000
25BA02	7205 B	25	52	15	1.5	0.8 24	7700 11280 10000
30BA02	06 B	30	62	16	1.5	0.8 27	10790 15400 10000
35BA02	07 B	35	72	17	2	1 31	14710 20590 8000
40BA02	7208 B	40	80	18	2	1 34	18490 24520 8000
45BA02	09 B	45	85	19	2	1 37	21180 27655 6000
50BA02	10 B	50	90	20	2	1 39	23140 28440 6000
55BA02	7211 B	55	100	21	2.5	1.2 43	29175 36285 6000
60BA02	12 B	60	110	22	2.5	1.2 47	36285 42900 5000
65BA02	13 B	65	120	23	2.5	1.2 50	42410 49030 5000
70BA02	7214 B	70	125	24	2.5	1.2 53	44620 52470 5000
75BA02	15 B	75	130	25	2.5	1.2 56	49030 54430 4000
80BA02	16 B	80	140	26	3	1.5 59	55650 60800 4000
85BA02	7217 B	85	150	28	3	1.5 64	69740 69630 4000
90BA02	18 B	90	160	30	3	1.5 67	75760 81400 4000
95BA02	19 B	95	170	32	3.5	2 71	85810 92670 3000
100BA02	7220 B	100	180	34	3.5	2 76	90710 98070 3000
105BA02	21 B	105	190	36	3.5	2 80	101500 106890 2500
110BA02	22 B	110	220	38	3.5	2 84	112780 117680 2500

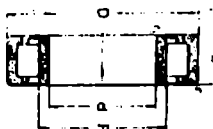
المدحرجات ذات الكرات ببنماش راوي وصفين

Bouble Row Angular Contact Ball Bearings



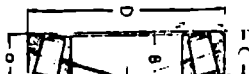
الرقم التصنيفي وافي شركة (SKF)	d	D	B	r	السعة الأساسية N		السرعة العظمى المسموح بها rev/min
	mm	mm	mm	mm	C _n	C	
(1)	(2)	(3)	(4)	(5)	(6)	(7)	(8)
3302 A	15	42	19.0	1.5	9070	13730	10000
03 A	17	47	22.2	1.5	12650	18930	8000
04 A	20	52	22.2	2	13730	18930	8000
3305 A	25	62	25.4	2	19615	26085	6000
06 A	30	72	30.2	2	27165	35300	6000
07 A	35	80	34.9	2.5	35600	43640	5000
3308 A	40	90	36.5	2.5	44620	53450	5000
09 A	45	110	39.7	2.5	54430	62270	4000
10 A	50	110	44.4	3	72570	80170	4000
3311 A	55	120	49.2	3	78450	85910	4000
12 A	60	130	54.0	3.5	94630	98070	3000
13 A	65	140	58.7	3.5	108950	115720	3000
3314 A	70	150	63.5	3.5	126510	135820	3000
15 A	75	160	68.3	3.5	138080	140235	2500
16 A	80	170	86.3	3.5	153965	157890	2500
3317 A	85	180	73.0	4	173580	173580	2500
18 A	90	190	73.0	4	205940	200150	2500

المدحرات ذات الأسطوانات Cylindrical Roller Bearings											
النوع المصنوع من فلز	d mm	D mm	B mm	\bar{T} mm	C mm	r mm	r_1 mm	a mm	C_o	القدرة الاسمية N Nlbf	السرعة المطلوبة rev/min
NU 22	NU 2205	25	52	18	1.5	1	32	11030	15790	13000	
	2206	30	62	20	1.5	1	38.5	16970	23140	13000	
	2207	35	72	23	2	1	43.8	27655	35600	10000	
NU 2208	40	80	23	2	2	50	32750	40700	10000		
	2209	45	85	23	2	55	35600	43640	8000		
	2210	50	90	23	2	60.4	38540	45500	8000		
NU 2211	55	100	25	2.5	2	66.5	45500	52560	8000		
	2212	60	110	28	2.5	73.5	59820	69630	6000		
	2213	65	120	31	2.5	79.6	74040	81640	6000		
NU 2214	70	125	31	2.5	2.5	84.5	78450	85910	5000		
	2215	75	130	31	2.5	88.5	84730	96350	5000		
	2216	80	140	33	3	95.3	98070	109340	5000		
NU 2217	85	150	36	3	3	101.8	117680	127000	4000		
	2218	90	160	40	3	107	135820	140235	4000		
	2219	95	170	43	3.5	113.5	160340	173580	4000		
NU 2220	100	180	46	3.5	3.5	120	184835	196130	3000		
	2222	110	200	53	3.5	132.5	226435	254170	3000		
	2224	120	215	58	3.5	143.5	271645	280470	3000		
NU 2226	130	230	64	4	4	156	306700	396650	2500		
	2228	140	250	68	4	169	378340	362830	2500		
	2230	150	270	73	4	182	436400	423650	2500		



المدحّرات ذات الأسطوّل ذات المتناظرية

الرقم المصنوع والموديل (SKF)	المسافة mm	d	D	B	T	C	r	r_i	a	N	الجهة الأساسية مملوءة	الجهة الأساسية مملوءة	الجهة الفارغة مملوءة	
		(1)	(2)	(3)	(4)	(5)	(6)	(7)	(8)	(9)	(10)	(11)	(12)	
322	32206	30	62	20	21.25	17	1.5	0.5	15	27165	31675	6000	6000	
	07	35	72	23	24.25	19	2	0.8	18	36285	41430	6000	6000	
	08	40	80	23	24.75	19	2	0.8	19	40210	45500	6000	6000	
32209	45	85	23	24.75	19	2	0.8	20	45500	49915	5000	5000	5000	
	10	90	23	24.75	19	2	0.8	21	47270	51580	5000	5000	5000	
	11	55	100	25	26.75	21	2.5	0.8	22	61050	65115	4000	4000	4000
32212	60	110	28	29.75	24	2.5	0.8	24	75710	78450	4000	4000	4000	
	13	65	120	31	32.75	27	2.5	0.8	26	90810	96105	4000	4000	4000
	14	70	125	31	33.25	27	2.5	0.8	28	90810	96105	3000	3000	3000
32215	75	130	31	33.25	27	2.5	0.8	29	99930	101450	3000	3000	3000	
	16	80	140	33	35.25	28	3	1	30	113760	117680	3000	3000	3000
	17	85	150	36	38.5	30	3	1	33	134840	135820	2500	2500	2500
32218	90	160	40	42.5	34	3	1	36	160750	158080	2500	2500	2500	
	19	95	170	43	45.5	37	3.5	1.2	38	180440	180440	2500	2500	2500
	20	100	180	46	49	39	3.5	1.2	41	207765	202510	2500	2500	2500
32226	130	230	64	67.75	54	4	1.5	56	407960	369710	1600	1600	1600	
	28	140	250	68	71.75	58	4	1.5	60	481510	422670	1600	1600	1600
	30	150	270	73	77	60	4	1.5	64	534460	480525	1600	1600	1600



الدولاب المعدّل

تعطى الطاقة الحركية ضمن حلقة الدولاب المعدّل:

$$E_k = \frac{W v^2}{2g}$$

حيث

W : وزن الحلقة (Kg)

$g = 9.81 \text{ m/s}^2$

$v = \pi D n$ - السرعة الخطية عند النقطة الموافقة لنصف القطر الوسطي للحلقة.

n - عدد الدورات الوسطي .rev/s

ويعطى التغير في الطاقة بالعلاقة:

$$E = C_E \frac{1000 P}{n}$$

E - التغير في الطاقة، J.

P - الاستطاعة، KW

n - عدد الدورات الوسطي ، rev/s

C_E - معدّل التقلب في الطاقة، ويعطى وفق الجدول التالي:

معدل التقلب في الطاقة لحركات الاحتراق الداخلي C_E^*

نوع المحرك	الاسطوانات	عدد	الزاوية بين أجزاء العمود المرفقي	التقلب بالطاقة بـ %	ثنائي الشوط	رابعى الشوط
Single	1	-	-	2.35 - 2.40	0.95 - 1.00	
Acting	2	180°	180°	1.50 - 1.60	0.20 - 0.25	
شاقولي	3	120°	120°	0.60 - 0.75	0.15 - 0.18	
شاقولي	4	180° and 90°	180° and 90°	0.15 - 0.20	0.075 - 0.10	
شاقولي	6	180° and 60°	180° and 60°	0.10 - 0.12	0.016 - 0.02	

* توحد الحدود الدنيا في حالة الحركات العاملة تحت ضغط منخفض، بينما توحد الحدود العليا للحركات العاملية تحت ضغط عالي

وكمما نعلم تتركز كتلة الدولاب المعدل في الحلقة الخارجية، ويعطي وزنها كما يلي:

$$W = \frac{9}{10} W = \left(\frac{2\pi}{10^6} \right) k \cdot A \cdot \omega$$

ω = الوزن النوعي للمعدن وتساوي

69600 N/m^3 (7100 Kg/m^3) لحديد الصب

76500 N/m^3 (7800 Kg/m^3) للفولاذ

k = نصف القطر القطبي للحلقة، m

A = مساحة مقطع الحلقة، mm^2 .

حيث يعطى عرض الحلقة mm $B = b + (25 \text{ to } 50)$ لدولاب معدّل عند استخدامه كبكرة لسير.

حيث

b - عرض السير.

وتعطى سمك الحلقة كقيمة مقرحة كما يلي:

$$- t/B = 0.5 - 1.25$$

ويعطى قطر البطيخة بالعلاقة:

$$d_h = 2 d_s$$

وطول البطيخة يقدر بالعلاقة:

$$L = 2 d_s \quad \text{to} \quad 2.5 d_s$$

ويمكن إيجاد قوة الطرد المركزية على نصف الحلقة، (Kgf) N :

$$F_c = \frac{2}{10^6} \frac{B t \omega \cdot v^2}{g}$$

ويعطى إجهاد الشد عند مقطع الحلقة المكون لقوة الطرد المركزية مع عدمأخذ وجود عوارض بعين الاعتبار.

$$\sigma_t = \frac{\omega v^2}{10^6 g} [MN/m^2]$$

ويعطى إجهاد الانحناء عند أخذ العوارض بين البطيخة والحلقة بعين الاعتبار:

$$\sigma_b = \frac{\omega v^2}{10^6 g} \times \frac{2000 \pi^2 R}{t_i^2}$$

i - عدد الأذرع.

R = نصف القطر الوسطي .m

ويعطى إجهاد الشد المحصل بالعلاقة:

$$\sigma_R = 0.75 \sigma_i + 0.25 \sigma_b$$

وتعطى القوة اللازمة لإنقاف الدوّلاب المعدل بالعلاقة:

$$F_r = \frac{W_r \cdot a}{g}$$

E_r - القوة اللازمة للإنقاف، [N]

W_r - وزن الحلقة، (Kg f)

a - التباطؤ، m/s^2

٦

معادلات تشغيل المعادن

سرعة القطع

تعتبر سرعة القطع أهم حسابات أدوات القطع، وتعطى سرعة القطع عندما تعطى سرعة الدوران بالدورة في الدقيقة (rpm) وبعد معرفة القطر بالعلاقة:

$$CS = \frac{(D\pi)(rpm)}{12}$$

حيث

. ft/min (m/min) - CS = سرعة القطع،

. in (mm) - D = القطر،

3.1416 - π

. rpm - سرعة الدوران،

ونستطيع استخدام علاقة أبسط وتطبيقها في الحالات العملية وتعطى أحوجية معقولة وهي:

$$CS = \frac{(D)(rpm)}{4}$$

ولإيجاد سرعة الدوران مع معرفة سرعة القطع والقطر نستخدم العلاقة:

$$rpm = \frac{4CS}{D}$$

سرعة تغذية أداة القطع

تعطى سرعة تقدم أداة الخراطة، الثقب، أداة حفر، موسّع ثقوب، ... الخ. وبعد معرفة طول القطع والزمن المستغرق لعملية القطع وسرعة الدوران بالعلاقة:

$$F = \frac{L}{(rpm)(T)}$$

حيث

.in/rev (mm/rev) = F

.in (mm) = L طول القطع،

.min = T الزمن،

المحاور المخروطية

تستخدم العلاقة التالية لحساب طول المحور المخروطي أو مقدار الانخفاض في القطر لواحدة الطول من المحور:

$$L = \frac{12(D_1 - D_2)}{T}$$

حيث

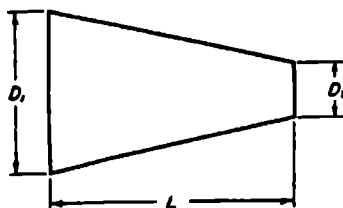
L = طول المخروط.

D_1 = القطر الكبير.

D_2 = القطر الصغير.

T = مقدار الانخفاض في القطر لواحدة الطول (m). foot (m)

ويظهر الشكل التالي أبعاد المحور المخروطي:



الشكل 6.1

الات التفريز

يجب أن يتوافق مقدار تغذية أو تقدم الطاولة في آلات التفريز مع سرعة دوران أداة القطع (rpm) ومقدار التقدم لكل سن لكل دورة من دورات أداة القطع.

تغذية الطاولة = (التقدم لكل سن) (عدد الأسنان) (سرعة الدوران rpm).

ولمعرفة مقدار الانتقال الكلي لطاولة التفريز لإجراء عمليات التفريز من الضروري معرفة طول الاقتراب أو الاقتحام.

ويعطى طول الاقتراب من سطح القطع بالعلاقة:

$$\text{approach} = \frac{D - \sqrt{D^2 - F^2}}{2}$$

حيث

.in = مقدار الاقتراب أو الاقتحام، (mm)

D = قطر أداة القطع.

F = وجه القطع.

ويعطى مقدار التغذية لكل سن من أسنان سكينة التفريز بالعلاقة:

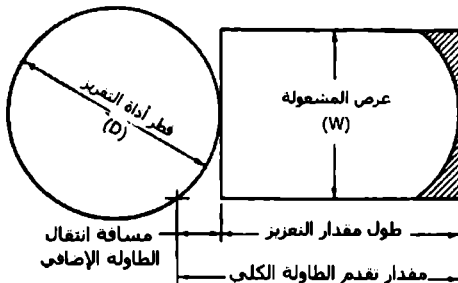
$$\frac{\text{التغذية لكل سن}}{\text{المقدار تغذية الطاولة}} = \frac{\text{المقدار تغذية الطاولة}}{(\text{عدد الأسنان}) (\text{rpm})}$$

يجب أن نعطي زماناً للآلة إضافياً لتفريز الوجه. وعند انتقال سكينة التفريز على طول الوجه فإنه سيقى جزء من الوجه المراد تفريزه غير مفرز، وهذا ما عبرنا عنه بالمساحة المهمشة من الشكل 6.2، ولإكمال تفريز كامل الوجه يجب أن نزيد مسافة الانتقال لطاولة التفريز. ويجب حساب هذه المسافة المضافة وإعطاء زمن مناسب لإنجاز هذه المسافة الزائدة، وتحسب هذه المسافة بالمعادلة:

$$1/2(D - \sqrt{D^2 - W^2}) = \text{مسافة انتقال الطاولة الإضافية}$$

هناك ثلاث معادلات تستخدم في حسابات آلات التفريز وهناك أولاًها:

$$CS = \frac{(D)(rpm)}{4}$$



الشكل 6.2: مقدار اقتراب أداة القطع

حيث

CS = سرعة القطع، ft/min (m/min)

rpm = سرعة الدوران، min^{-1}

D = قطر أداة القطع، in (mm)

والمعادلة الثانية هي:

$$rpm = \frac{4CS}{D}$$

بينما المعادلة الثالثة تعطي بالعلاقة:

$$\frac{\text{طول القطع}}{(\text{عدد الأسنان})(\text{التغذية لكل سن})} = \text{الزمن}$$

مقدار تقدم سكينة التفريز

تجاوز حركة طاولة التفريز في معظم عمليات التفريز طول المنطقة المراد تفريزها الموضحة على الرسمة الجزئية للقطع، وبين الشكل 6.3 مقدار تقدم سكينة التفريز ويعطى وفق المعادلة:

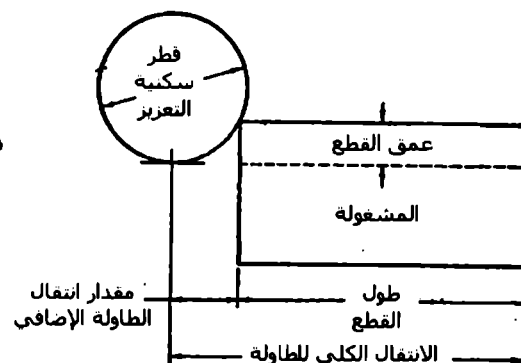
$$\text{التقدم} = \sqrt{Dd - d^2}$$

حيث

D = قطر سكينة التفريز، in (mm).

d = عمق القطع، in (mm).

تعتبر هذه المعادلة صحيحة فقط إذا كان عمق القطع أقل من نصف قطر سكينة التفريز، وعندما يكون عمق القطع مساوياً أو أكبر من نصف قطر سكينة التفريز فإن التقدم سيكون دوماً مساوياً لنصف قطر سكينة التفريز.



الشكل 6.3: تقدم سكينة التفريز

عمق التفريز المطلوب لمكان توضع الخابور

يعطى عمق التفريز المطلوب لتهيئة مكان الخابور بالعلاقة:

$$D = \frac{T}{2} + A$$

$$A = R - \sqrt{R^2 - \left(\frac{W}{2}\right)^2}$$

حيث

D - عمق القطع، in (mm).

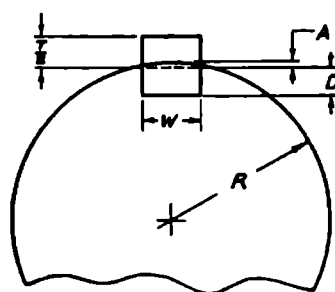
T - سمكية الخابور.

W - عرض الخابور.

A - ارتفاع القوس المحدد بعرض الخابور.

R - نصف قطر المدور.

وفيمما يلي شكل يبين هذه الأبعاد:



الشكل 6.4: أبعاد الخابور ومكان توضع الخابور

زمن الإنتاج (التشغيل)

نعطي معادلة حساب الزمن الحقيقي لإنتاج قطعة واحدة من أجل مجموعة ثموري بمحروم قطعاً مختلفاً بالعلاقة:

$$T = \frac{SU}{N} + U$$

حيث

T - الزمن الحقيقي لإنتاج الواحدة، min.

SU - زمن التحضير، min.

N - عدد القطع في المجموعة.

U - الزمن القياسي للوحدة، min.

طريقة الإنتاج المثلث

عندما تتوفر أكثر من طريقة لإنتاج جزء مكون من قطعة أو عدة قطع، فإنه يمكن إيجاد عدد القطع من ذلك الجزء والنتائج عن تغيير طريقة الإنتاج بالعلاقة:

$$N = \frac{SU_2 - SU_1}{T_1 - T_2}$$

حيث

N - عدد القطع التي نستطيع ربحها باعتماد طريقة معينة.

SU₁ - زمن تحضير الطريقة الأولى.

SU₂ - زمن تحضير الطريقة الثانية.

T_1 = زمن إنتاج الوحدة بالطريقة الأولى.

T_2 = زمن إنتاج الوحدة بالطريقة الثانية.

حجم المجموعة الأصغرى

تعتمد معادلة تحديد حجم المجموعة الأصغرى على زمن التحضير وعلى الزمن القياسي لإنتاج وحدة كما يلى:

$$N = \frac{SU}{TK}$$

حيث

N = حجم المجموعة الأصغرى.

SU = زمن التحضير.

T = الزمن القياسي لإنتاج وحدة.

K = نسبة عظمى تختار بشكل كفى.

زمن الخراطة

يتأثر زمن الخراطة من قطر لآخر بعده عوامل، حيث يتأثر الزمن بكلٌّ من قطر المشغولة ونوع المادة وسرعة محور الدوران وسرعة التغذية وعمق القطع. وإذا كانت سرعة محور الدوران (أو سرعة القطع) ينصف ما هو مفروض فإن زمن تشغيل القطعة سيتضاعف مرتين، وكذلك الأمر بالنسبة لمقدار التغذية، فإذا كان كلٌّ من التغذية والسرعة كلاهما ينصف ما هو مفروض فإن الزمن اللازم سيستغرق أربعة أضعاف:

$$\frac{\text{طول القطع}}{\text{الزمن}} = \frac{\text{(النفخة)}}{\text{(سرعة الدوران rpm)}}$$

الزمن المطلوب لتبديل أدوات القطع

تعطى معادلة الزمن اللازم لتبديل أدوات القطع بالعلاقة:

$$UT = \frac{(TT)(CT)}{L}$$

حيث

UT - الزمن القياسي لتبديل الأداة المثلمة بالأداة الحادة.

TT - الزمن الكلي لتبديل الأدوات.

CT - زمن القطع الذي تؤديه الأداة أثناء عملية التشغيل.

L - عمر الأداة.

زمن إجراء الشدف (الشنفرة)

تعطى المعادلة التي تمحسب الزمن المستغرق في عملية الشنفرة بالشكل:

$$\frac{\text{طول القطع}}{\text{زمن الشنفرة}} = \frac{\text{(النفخة)}}{\text{(سرعة الدوران rpm)}}$$

زمن خراطة الوجه

يعطى الزمن اللازم لخراطة وجه المشغولة على المخرطة بالعلاقة:

$$\frac{\text{طول القطع}}{\text{زمن خراطة الوجه}} = \frac{\text{(التجذية)}}{\text{(سرعة الدوران rpm)}}$$

أبعاد اللولب المطلوبة عند تشغيل اللولب

يعتبر عمق السن عنصراً هاماً ومؤثراً على عملية تقدير الزمن اللازم لتشغيل القلاووظ، وعلى الاستطاعة المنقوله (KW)، وعلى نسبة الإنتاج وعلى متغيرات هامة أخرى. ويحسب عمق السن لأنواع البراغي المختلفة بالعلاقات التالية:

1. سن 7 وفق أمريكي نظامي:

$$d = \frac{0.6495}{N}$$

حيث d = عمق السن، (m) .in

N = عدد الأسنان لكلإنش (عدد الأسنان لكل مليمتر).

2. سن أكم برغى Acme :

$$d = \frac{0.500}{N} + 0.010 \text{ in}$$

3. السن المربع (انظر الشكل 6.5):

$$d = \frac{0.500}{N}$$

٤. سن دودي 20° (الشكل 6.5):

$$d = \frac{0.6866}{N}$$

٥. سن **Buttress**:

$$d = \frac{0.750}{N}$$

ويحسب العمق الكلي للمسن (ويعبر عادة عن العمق الكلي للسن) بالعلاقات التالية:

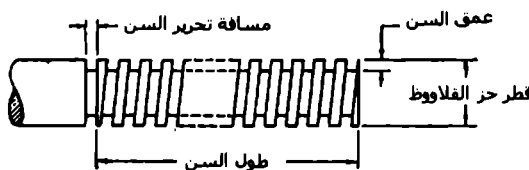
١. المسن المستقيم القياسي:

$$D = \frac{2.157}{P}$$

حيث

D = العمق الكلي للسن.

P = الخطرة القطرية.



الشكل 6.5 : عناصر القلاووظ المربع أو acme أو الدودي.

٢. المسن المائل:

$$D = \frac{2.157}{P}$$

3. للمسنن المائل المخروطي:

$$D = \frac{1.888}{P}$$

4. للمسنن الدوادي:

$$D = 0.6866P$$

حيث P - الخطورة الخطية.

5. للمسنن المخروطي:

$$D = \frac{2.157}{P}$$

حيث P - الخطورة القطرية العمودية.

عمليات تشغيل القلاووظ

تعطى معادلة زمن تشغيل القلاووظ بالعلاقة:

$$\frac{\text{(طول القطع)} (\text{سن لكل إنش})}{\text{سرعة الدوران rpm}} - \text{الزمن}$$

(وبنظام اللوالب العالمية يوحد عدد الأسنان في كل ميليمتر).

كما ويعطى زمن تشغيل وإنتاج أسنان لوالب دودية أو مربعة أو acme بالعلاقة:

$$T = \frac{LDdn}{4(fpm)(f)}$$

حيث

T - الزمن اللازم لتشغيل القلاووظ، min.

L - طول القلاووظ، in (mm).

D - القطر الرئيسي للقلاووظ.

d - عمق السن.

n - عدد الأسنان في كل إنش (مليمتر).

fpm = سرعة القطع، ft/min

f - عمق القطع لكل شوط.

الزمن اللازم لقلوطة بذكور القلاووظ

يعطى الزمن اللازم لقلوطة الأسنان ضمن القطعة بالعلاقة:

$$T = \frac{ND\pi}{8(fpm)}$$

حيث

T - الزمن بالدقات لقلوطة 1.0 إنش (25.4 mm) ضمن الصاملة أو إخراجها بنفس المسافة.

N - عدد الأسنان لكل إنش (مليمتر).

D - قطر ذكر القلاووظ (mm). in.

.3.1416 = π

fpm = سرعة القطع، ft/min (m/min)

الزمن اللازم لإجراء التفريز الجانبي

يعطى الزمن اللازم لإجراء التفريز الجانبي للقطعة بالعلاقة:

الزمن - طول القطع

(التغذية لكل سن) (عدد الأسنان) (سرعة الدوران rpm)

يمكن أن يحدد طول القطع إما بالإنش أو بالمليمتر.

الزمن اللازم لتبديل أداة القطع للمقشطة

تعطى وحدة الزمن اللازم لتبديل أداة القطع للمقشطة بالعلاقة:

وحدة الزمن - (الزمن اللازم لتبديل أداة القطع) (زمن التفريز لكل قطعة)

عمر الأداة

سرعة القطع المقشطة

توجد هناك معادلتان تفيدان في حساب سرعة القطع عندما نعلم عدد الأشواط بالدقيقة وطول كل شوط، أو نستطيع حساب عدد الأشواط بالدقيقة إذا علمنا سرعة القطع وطول الشوط.

$$CS = \frac{NL}{6}$$

$$N = \frac{6(CS)}{L}$$

حيث

N - عدد الأشواط بالدقيقة للذراع الحامل للأداة.

L - طول الشوط.

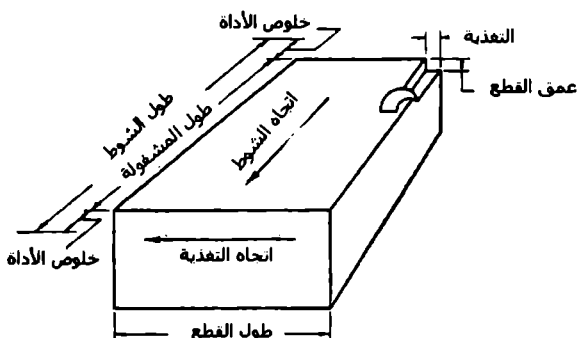
CS - سرعة القطع . ft/min (m/min)

زمن القطع على المقصطة

يعطى الزمن اللازم لقطع القطعة على المكثنة بالعلاقة:

$$\frac{\text{طول القطع}}{\text{الزمن}} = \frac{\text{(عدد الأشرطة بالدقيقة)}}{\text{(عدم الأشرطة بالدقيقة)}}$$

نستطيع استخدام هذه المعادلة أيضاً لحساب زمن التسوية:



الشكل 6.6 : عناصر عمل المقصطة

معدل التغذية للمجلخة المركزية

يعطى معدل التغذية للمشغولة:

$$F = \pi d N \sin \alpha$$

F - تغذية المشغولة، .in/min (mm/min)

d - قطر الدوّلاب المعدّل (المنظم)، .in (mm)

N = سرعة دوران الدوّلاب المنظم، rpm.

α = زاوية ميل الدوّلاب المنظم.

زمن التخليط

تعطي المعادلات التالية قيمةً تقريريةً لزمن التخليط لمتوسط عمل منجز في ورشة.

من أجل التخليط الخشن:

$$T = \frac{LT_s D}{(w/2)F(4CS)}$$

أو

$$T = \frac{LT_s D}{2wF(CS)}$$

من أجل تخليخ هنائي (تخليخ إفاء):

$$T = \frac{LT_s D}{wF(CS)}$$

حيث

T = الزمن، min.

L = طول المشغولة.

T_s = الكمية الكلية للمادة المزالة.

D = قطر المشغولة.

w = عرض وجه دوّلاب الجلخ.

F = التغذية أو عمق القطع.

$CS = \text{سرعة القطع, ft/min (m/min)}$

وجود الثابت $1/2$ في معادلة التحليل المخشن تعني أن التغذية الطولية ستكون بنصف وجه الدوّلاب لكل دورة للعمل. وتعطى النسبة T/F عدد مرات القطع اللازمة لإزالة الكمية المزالة بكاملها، وتعتبر $D/4CS$ هي مقلوب $4CS/D$ في معادلة الدوران.

زمن تفريز القلاووظ

يعطى زمن التفريز بالعلاقة:

$$\frac{\text{طول القطع}}{\text{الزمن}} = \frac{(النفاذية لكل سن)}{(\text{عدد الأسنان}) (\text{سرعة الدوران rpm})}$$

الزمن اللازم للبشر

يعطى بشكل عام المعادلة التي تحسب الزمن اللازم للبشر:

$$\frac{\text{طول الشوط}}{\text{الزمن}} = \frac{\text{طول الشوط}}{\text{سرعة العودة}} + \frac{\text{طول الشوط}}{\text{سرعة القطع}}$$

سرعة المشغولة وسرعة أداة قطع المستنات (التسنين)

يعطى معادلتي سرعة المشغولة وسرعة أداة قطع المستنات (مقطوع):

$$HR = (WR) (N)$$

أو

$$WR = \frac{HR}{N}$$

حيث

WR = عدد دورات المحور الحامل للمشغلة، rpm.

HR = سرعة دوران حامل أداة القطع، rpm.

N = عدد أسنان المسنن أو عدد الأحاديد.

الزمن اللازم لتشغيل مسنن مستقيم

تعطى المعادلة التي تقدر زمن التشغيل (تفريز) مسنن مستقيم بالعلاقة:

$$T = \frac{N(L + A)}{F(rpm)}$$

حيث

T = زمن القطع، min.

N = عدد أسنان المسنن التي ستتشكل.

L = وجه المسنن أو طول السن.

A = اقتراب حامل أداة القطع (المسافة التي سيتقدمها حامل أداة القطع حتى يصل إلى كامل عمق القطع).

F = تغذية حامل أداة القطع (دورة حامل الأداة/mm) دورة حامل الأداة/in.

rpm = سرعة دوران حامل أداة القطع, rpm.

يمكن تحديد عدد الأسنان التي ستتشكل وطول وجه المسنن من المخططات والرسوم التصميمية، كما ويتم حساب تقدم أداة القطع، بينما يتم إيجاد اقتراب حامل الأداة وسرعة دوران الحامل من جداول التوصيات أو الجداول الموصى بها.

ويحسب مقدار اقتراب حامل الأداة من المشغولة وفق المعادلة:

$$A = \sqrt{d(D - d)}$$

حيث

A - مقدار الاقتراب، .in (mm)

D - قطر حامل الأداة، .in (mm)

d - العمق الكلي لسن المسنن، .in (mm)

زمن تأشر (تخييد المحاور)

يُحسب زمن إجراء (تخييد) محور عبر طريقة حامل الأداة بالعلاقة:

$$T = \frac{N(L + A)}{KF(rpm)}$$

حيث

T - الزمن، .min

N - عدد الأحاديد.

L - طول الأحاديد.

A - الاقتراب، .in (mm)

K - التغذية لكل أخدود، .in (mm)

F - عدد الأحاديد على أداة التخييد.

rpm - سرعة دوران الحامل لأداة التخييد، .rpm

الزمن اللازم للنشر بمنشار المعادن

$$\frac{\text{طول القطع}}{\text{زمن النشر}} = \frac{\text{عدد الأشواط بدقة}}{\text{(التغذية لكل شوط)}}$$

الزمن اللازم للنشر بمنشار شريطي (شلة)

$$\frac{\text{طول القطع، in(mm)}}{\text{زمن النشر}} = \frac{[\text{سرعة القطع، ft/min(m/min)}]}{\text{(خطوة المنشار) (التغذية لكل سن)}}$$

خطوة المنشار - عدد الأسنان لكل إنش (مليمتر).

استطاعة المحرك المطلوبة لإنجاز عمليات القطع بالخراءطة

لقد أعطت شركة Carboloy المعادلة التالية:

A	الآلية	B	(تشغيل) قطع	hp	استطاعة المحرك
تقدير الاستطاعة الازمة للتغلب على حساب الاستطاعة المطلوبة لكل أداة، باستخدام الاختناك داخل الآلة بحوالي 30 % من	B				
أدوات تقوم بالقطع بآن واحد		hp			
- الأداة الأولى (DFSC)					
- الأداة الثانية (DFSC)					
- .. الخ					
الاستطاعة الكلية المطلوبة لأدوات القطع	B				

الجدول 6.1 ثوابت الاستطاعة لمعادن مختلفة

المادة	ثابت الاستطاعة	المادة	ثابت الاستطاعة
Magnesium alloy	3	Cast iron, medium	4
Aluminum castings	3	Cast iron, soft	3
Aluminum bar stock	4	Copper	4
Brass, hard	10	SAE X1112	3
Brass, soft	4	SAE X4130	4
Bronze, soft	10	Stainless steel	4
Bronze, soft	4	Monel metal	5
Cast iron, hard	5		

لقد استخدمت المعادلة التالية لإنجاز الحسابات السابقة:

$$hp = DFSC$$

حيث

D = عمق القطع، in (mm)

F = التغذية، in (mm)

S = سرعة السطح، ft/min (m/min)

C = ثابت الاستطاعة يوحد من الجدول السابق.

لاحظ أن: $hp \times 0.746 = KW$

7

معادلات التدفئة والتهوية والتكييف

معادلات التكيف

قوانين المروحة

يُقاس تدفق الهواء لمروحة مركبة بالقدم المكعب بالدقيقة (cubic feet per minute)، ويتغير تبعاً لسرعة دوران دولاب المروحة (RPM) (m³/min)) كما يلي:

$$\frac{CFM_2}{CFM_1} = \frac{RPM_2}{RPM_1}$$

ويتعلق الضغط статический SP والمقياس بعمود (mm) in من الماء بتدفق الهواء مقاساً بـ RPM (CFM) أو (CFM) وبالتالي:

$$\frac{SP_2}{SP_1} = \left(\frac{CFM_2}{CFM_1} \right)^2 = \left(\frac{RPM_2}{RPM_1} \right)^2$$

كما وتنتقل استطاعة الدخل للمروحة (معبراً عنها باستطاعة الكبح brake horsepower bhp (KW)) بتدفق الهواء و RPM والضغط статический وذلك لكي توفر التدفق المطلوب، وبالتالي:

$$\frac{BHP_2}{BHP_1} = \left(\frac{CFM_2}{CFM_1} \right)^3 = \left(\frac{RPM_2}{RPM_1} \right)^3 = \left(\frac{SP_2}{SP_1} \right)^{1.5}$$

ونحتاج استطاعة الكبح الداخلية للمروحة إلى إدخال مردود المروحة بعين الاعتبار لكي تستمكن من تأمين التدفق المطلوب، ويقدر مردود المروحة FAN_{eff} بحوالي 85% (65 - 85%)، وتصبح علاقنة استطاعة الكبح كما يلي:

$$BHP = \frac{CFM \times SP \times SP.GR.}{6356 \times FAN_{eff}}$$

كما وتقاد المروحة محرك كهربائي M/D الذي يملك بدوره مردوداً يتراوح بين $M/D_{eff} = (80 - 95) \%$ وبالتالي نستطيع كتابة استطاعة المحرك وفق العلاقة:

$$MHP = \frac{BHP}{M / D_{eff}}$$

يعتبر حجم المروحة (أي قطر دولاها) ثابتاً في هذه المعادلة، طالما أنها تعتبر أن كثافة الهواء ثابتة خلال عمل المروحة، كما يعتبر الوزن النوعي للهواء المقول (specific gravity) له القيمة = 1.0.

معادلات تغيير الهواء

تعطى نسبة تغيير الهواء بالساعة (AC/HR) لتدفق هواء (CFM ft³/min (m³/min) ولغرفة بحجم VOLUME ft³ (m³) بالعلاقة:

$$\frac{AC}{HR} = \frac{CFM \times 60}{VOLUME}$$

أو إذا علمنا معدل تغيير الهواء بالساعة لغير عبارة عن حجم ثابت عندها يعطى تدفق الهواء المطلوب بالعلاقة:

$$CFM = \frac{AC / HR \times VOLUME}{60}$$

معادلات تدفق الهواء

يرتبط الضغط الكلي TP ضمن قناة التهوية مقدراً بالإنش (mm) عمود ماء مع الضغط الستابتيكي SP أيضاً مقدراً بالإنش (mm) عمود ماء، والضغط الناتج عن السرعة VP مقدراً بالإنش (mm) عمود ماء بالعلاقة:

$$TP = SP + VP$$

إذ يعطى الضغط الناتج عن السرعة أو ضغط السرعة VP Velocity pressure VP عبارة عن عزم ماء مع سرعة الهواء V ft/min بالانش (mm) :

$$VP = \left(\frac{V}{4005} \right)^2 = \frac{V^2}{4005^2}$$

لاحظ بأن:إنش ماء $\times 25.4$ = مليمتر عزم ماء.

كما وتعطى سرعة الهواء V ft/min ضمن قناة التهوية بمعدل تدفق $Q \text{ ft}^3/\text{min}$ خلال قناة مساحة مقطعيها A ft^2 بالعلاقة:

$$V = \frac{Q}{A} = \frac{Q \times 144}{W \times H}$$

لاحظ أيضاً:

$$\text{ft/min} \times 0.3408 = \text{m/min}$$

الآن لمعرفة القطر المكافئ D_{EQ} لقناة قوية دائيرية المقطع مكافئة لقناة مقطع مستطيل عرضه A وارتفاعه B تستطيع تطبيق العلاقة:

$$D_{EQ} = \frac{1.3(AB)^{0.625}}{(A + B)^{0.25}}$$

معادلات التسخين والتبريد بالهواء

تعطى كمية الحرارة المحسوسة H_s لجريان هواء بتدفق CFM وفرق درجات حرارة $^{\circ}\text{F}$ ، ΔT بالعلاقة:

$$H_s = 1.08 \times \text{CFM} \times \Delta T$$

كما تعطى كمية الحرارة الكامنة لنفس الجريان H_i بوجود فرق بنسبة الرطوبة ΔW_{GR} ، (ماء lb/هواء جاف gr) بالعلاقة:

$$H_L = 0.68 \times CFM \times \Delta W_{GR}$$

وعندما تعطى نسبة الرطوبة بالباوند من الماء لكل باوند من الهواء الجاف، عندها تعطى الحرارة الكامنة بالعلاقة:

$$H_L = 4840 \times CFM \times \Delta W_{LB}$$

وتعطى كمية الحرارة الكلية H_T لفرق في الانثالي Δh ، هواء جاف (Btu/lb) بالعلاقة:

$$H_T = 4.5 \times CFM \times \Delta h$$

كما نستطيع إيجاد الحرارة الكلية أيضاً عبر جمع الحرارة المحسوسة والحرارة الكامنة كما يلي:

$$H_T = H_S + H_L$$

وبالتالي تصبح نسبة الحرارة المحسوسة SHR كما يلي:

$$SHR = \frac{H_S}{H_T} = \frac{H_S}{H_S + H_L}$$

عندما يمرزج تدفق هواء خارجي CFM_{OA} مع الهواء العائد من الغرفة CFM_{RA} ويكونان هواء التزويد CFM_{SA}، عندها تعطى درجة حرارة الهواء الممزوج T_{MA} بالعلاقة:

$$T_{MA} = \left(T_{ROOM} \times \frac{CFM_{RA}}{CFM_{SA}} \right) + \left(T_{OA} \times \frac{CFM_{OA}}{CFM_{SA}} \right)$$

حيث

T_{ROOM} = درجة الحرارة التصميمية للغرفة.

T_{OA} = درجة حرارة الهواء الخارجي، وتعطى أيضاً درجة حرارة الهواء الممزوج بالعلاقة:

$$T_{MA} = \left(T_{RA} \times \frac{CFM_{RA}}{CFM_{SA}} \right) + \left(T_{OA} \times \frac{CFM_{OA}}{CFM_{SA}} \right)$$

نواتج التكييف المتشكّلة في مكيفات الهواء

تعطى نسبة تشكّل نواتج التكييف في مكيفات الهواء، ويرمز لها GPM_{ACCOND} ، لتدفق هواء (ft³/min) لحجم معين من الهواء (هواء جاف lb/min)، SV، وتغيير محدد ΔW_{LB} ، (هواء الجاف lb/ماء lb) بالعلاقة التالية:

$$GPM_{ACCOND} = \frac{CFM \times \Delta W_{lb}}{SV \times 8.33}$$

ولرطوبة محددة ΔW_{GR} ، (هواء جاف lb/ماء gr) تصبح كما يلي:

$$GPM_{ACCOND} = \frac{CFM \times \Delta W_{GR}}{SV \times 8.33 \times 7000}$$

ويعطى تدفق البخار المطلوب، lb/h، وكمية الحرارة الكامنة H_{FG} للتبخر، Btu/lb عند الضغط التصميمي للمنشأة بالعلاقة:

$$\frac{LBSTM}{HR} = \frac{BTU/HR}{H_{FG}}$$

أخيراً، تعطى كمية الحرارة المنقوله الإجمالية H، Btu/h، حلال مساحة A، ft² ولفرق درجة حرارة ΔT ، °F، بالعلاقة:

$$H = U \times A \times \Delta T$$

معادلات توازن الهواء المطلوب

يعطى تدفق هواء التزويد SA مقدراً بالقدم المكعب بالدقيقة بدلالة الهواء المعاد RA والهواء الخارجي OA والهواء المطروح EA والهواء المبدّل RFA بالعلاقة:

$$SA = RA + OA = RA + EA + RFA$$

عندما يتتفوق تدفق الهواء الخارجي المتص OA على الهواء المطروح EA، عندها يعطى تدفق الهواء الخارجي بالعلاقة:

$$OA = EA + RFA$$

أما عندما يتتفوق تدفق الهواء المطروح EA على الهواء الخارجي الأصغرى المتص OA، عندها يعطى تدفق الهواء الخارجي بالعلاقة:

$$OA = EA \quad RFA = 0$$

أما إذا أخذت الدورة الاقتصادية بالحساب أثناء التصميم فعندها:

$$OA = SA = EA + RFA \quad RA = 0$$

معادلات ترطيب الغرفة

تعرف الحبيبات أو قطرات الرطوبة المطلوبة لتحقيق ترطيب الغرفة بالفرق بين قطرات الماء لكل قدم مكعب من هواء الغرفة (رطوبة محددة لـ W قطرات لكل باوند من الهواء الجاف ولحجم نوعي من الهواء SV، هواء جاف lb/ft^3) ولشلاها هواء التزويد، أو:

$$GRAINS_{REQ'D} = \left(\frac{W_{GR}}{SV} \right)_{ROOM\ AIR} - \left(\frac{W_{GR}}{SV} \right)_{SUPPLY\ AIR}$$

وتعطى كمية الرطوبة بالباوند المطلوبة لتحقيق الترطيب، وذلك عندما يعبر عن الرطوبة النوعية بالباوند من الماء لكل باوند هواء جاف، بالعلاقة:

$$POUNDS_{REQ'D} = \left(\frac{W_{LB}}{SV} \right)_{ROOM\ AIR} - \left(\frac{W_{LB}}{SV} \right)_{SUPPLY\ AIR}$$

كما ويعطى تدفق البخار المطلوب بالباوند في الساعة لإنتاج الرطوبة المطلوبة بالعلاقة:

$$\begin{aligned} \text{LB STM/HR} &= \frac{\text{CFM} \times \text{GRAINS}_{\text{REQ'D}} \times 60}{7000} \\ &= \text{CFM} \times \text{POUNDS}_{\text{REQ'D}} \times 60 \end{aligned}$$

ولتحديد ربع المطلب من كمية الحرارة المحسنة H_s , Btu/h، لتدفق بخار Q, lb/h، وفرق درجات الحرارة T بين حرارة البخار وحرارة هواء التزود، ولمطلب ذر طول قناة الدخول L, ft، استخدم العلاقة:

$$H_s = 0.244 \times Q \times \Delta T + L \times 380$$

تحديد درجة حرارة تكاثف قطرات البخار على زجاج النوافذ

ستكتاثف الرطوبة الموجودة في الهواء على زجاج النوافذ عندما تكون درجة حرارة الزجاج T_{GLASS} أقل من درجة حرارة نقطة الندى DP_{ROOM} لهواء الغرفة أو:

$$T_{\text{GLASS}} = T_{\text{ROOM}} - \left[\frac{R_{IA}}{R_{\text{GLASS}}} \times (T_{\text{ROOM}} - T_{OA}) \right]$$

حيث

T = درجة الحرارة، °F.

R = قيمة R, h.ft².°F/Btu

U = قيمة U, Btu/(h.ft².°F)

IA = فيلم (طبقة) الهواء الداخلي.

OA = درجة حرارة الهواء الخارجي التصميمية.

DP = نقطة الندى.

وعندما تستخدم U الإجمالية للزجاج:

$$T_{GLASS} = T_{ROOM} - \left[\frac{U_{GLASS}}{U_{IA}} \times (T_{ROOM} - T_{OA}) \right]$$

. $T_{GLASS} < DP_{ROOM}$ إذا كان وسيحدث التكاثف

معادلات خصائص الهواء في مكيفات الهواء

تعطى الرطوبة النوعية W للهواء المستخدم في مكيفات الهواء، هواء جاف /ماء (lb gr) ، بالعلاقات:

$$W = 0.622 \times \frac{P_W}{P - P_W}$$

$$W = \frac{(2501 - 2.381T_{WB})(W_{SATWB}) - (T_{DS} - T_{WB})}{2501 + 1.805T_{DB} - 4.186T_{WB}}$$

$$W = \frac{(1093 - 0.556T_{WB})(W_{SATWB}) - 0.240(T_{DB} - T_{WB})}{1093 + 0.444T_{DB} - T_{WB}}$$

حيث:

W - الرطوبة النوعية: gr H₂O/lb DA أو lb H₂O/lb DA

. W_{ACTUAL} - الرطوبة الفعلية، gr H₂O/lb DA أو lb H₂O/lb DA

W_{SAT} - رطوبة الإشباع النوعية عند استخدام مقياس الحرارة الجاف (ذو بصلة حافة).

W_{SATWB} - رطوبة الإشباع النوعية عند استخدام مقياس الحرارة الربط (ذو بصلة رطبة).

P_W - الضغط الجزيئي لبخار الماء، lb/ft²

P - الضغط المطلق الكلي لمزيج الهواء وبخار الماء، lb/ft²

P_{SAT} = ضغط الإشباع الجزئي لبخار الماء عند استخدام مقياس الحرارة الجاف، lb/ft.

RH = الرطوبة النسبية، %.

H_s = كمية الحرارة المحسوسة، Btu/h.

H_L = كمية الحرارة الكامنة، Btu/h.

H_T = الحرارة الكلية، Btu/h.

m = التدفق الكتلي، للهواء الجاف أو الماء lb/h.

c_p = الحرارة النوعية (للهواء $0.24 \text{ Btu/lb H}_2\text{O DA}$ ، وللماء $1.0 \text{ Btu/lb H}_2\text{O DA}$).

T_{DB} = درجة الحرارة باستخدام مقياس الحرارة الجاف، °F.

T_{WB} = درجة الحرارة باستخدام مقياس الحرارة الرطب، °F.

ΔT = فرق درجات الحرارة، °F.

ΔW = فرق الرطوبة النوعية، gr $\text{H}_2\text{O/lb DA}$ أو lb $\text{H}_2\text{O/lb DA}$.

Δh = فرق الانثالبي، Btu/lbDA.

L_b = الحرارة الكامنة للتبخير، Btu/LB H_2O .

تعطى الرطوبة النسبية RH للهواء بالعلاقة:

$$RH = \frac{W_{ACTUAL}}{W_{SAT}} \times 100\%$$

$$RH = \frac{P_w}{P_{SAT}} \times 100\%$$

وتحسب كمية الحرارة المحسوسة والكامنة والكلية وفق المعادلات:

$$H_s = mc_p \times \Delta T$$

$$H_L = L_v m \times \Delta W$$

$$H_T = m \times \Delta h$$

معادلات نظام مبرد الماء

تعطى كمية الحرارة الكلية H المزالة بنظام مبرد الماء في نظام التكييف بالهواء بالعلاقة:

$$H = 500 \times GPM \times \Delta T$$

كما ويعطى معدل التدفق في مبخر الماء GPM_{EVAP} بالعلاقة:

$$GPM_{EBAP} = \frac{TONS \times 24}{\Delta T}$$

بينما يعطى معدل التدفق في المكثف GPM_{COND} بالعلاقة:

$$GPM_{COND} = \frac{TONS \times 30}{\Delta T}$$

حيث

H - كمية الحرارة الكلية، Btu/h.

GPM - معدل تدفق الماء، gal/min.

ΔT - فرق درجات الحرارة، °F.

TONS - حمل التكييف، tons.

GPM_{EVAP} - معدل تدفق الماء في المبخر، gal/min.

GPM_{COND} - معدل تدفق الماء في المكثف، gal/min.

معادلات برج التبريد

تعتبر درجتا حرارة الاقتراب لبرج التبريد APPROACH_{CTS} وللمبادل الحراري APPROACH_{HES} قيمتان هامتان لحساب أداء برج التبريد والمبادل الحراري، وتعطى درجات الحرارة هذه بالعلاقات:

$$\text{APPROACH}_{\text{CTS}} = \text{LWT} - \text{AWB}$$

$$\text{APPROACH}_{\text{HES}} = \text{EWT}_{\text{HS}} - \text{LWT}_{\text{CS}}$$

$$\text{RANGE} = \text{EWT} - \text{LWT}$$

حيث

EWT = درجة حرارة الماء الداخل (°F).

LWT = درجة حرارة الماء الخارج (°F).

AWB = درجة حرارة المحيط بمقاييس الحرارة الرطب (تصميم WB، °F).

HS = الطرف الساخن.

CS = الطرف البارد.

ومن أجل برج التبريد نفسه يمكننا كتابة:

$$C = \frac{E + D + B}{D + B}$$

$$B = \frac{E - (C - 1)D}{C - 1}$$

$$E = \text{GPM}_{\text{COND}} \times R \times 0.0008$$

$$D = \text{GPM}_{\text{COND}} \times 0.0002$$

$$R = \text{EWT} - \text{LWT}$$

B - تدفق ماء الدسخ gal/min .

C - دارات التجميع.

D - الانحراف gal/min .

E - التبخر gal/min .

EWT - درجة حرارة الماء الداخل $^{\circ}\text{F}$.

LWT - درجة حرارة الماء الخارج $^{\circ}\text{F}$.

R - مجال درجات الحرارة $^{\circ}\text{F}$.

معادلات نظام التسخين ضياعات الضغط في أنابيب البحار

لنعتبر أن التدفق ثابت في الأنابيب (الشكل 7.1)، ولنفرض P_1 الضغط статический للمائع عند النقطة الأولى، و P_2 الضغط статический في نقطة أخرى تبعد L عن النقطة الأولى.

يعطي انخفاض الضغط الناتج عن احتكاك المائع بالأنبوب نتيجة احتيازه للمسافة L بالعلاقة:

$$\Delta P = p_1 - p_2$$

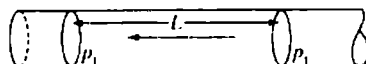
وبالتعبير عن قوانين الاحتكاك الواردة سابقاً بصيغة جبرية نستطيع أن نكتب:

$$\Delta P_a = FSDv^2$$

حيث

P_a - الانخفاض في الضغط lb/ft^2 .

- a - مساحة مقطع الأنابيب، ft^2 .
- F - عامل يتعلّق بطبيعة المائع وبطبيعة سطح الأنابيب.
- S - مساحة التماس بين المائع والأنابيب، ft^2 .
- D - كثافة المائع، lb/ft^3 .
- v - سرعة الجريان، ft/s .



الشكل 7.1

وبالتالي:

$$P = \frac{1}{a} F S D v^2$$

وإذا عرضنا قيمة F بالقيمة الاختيارية $= f/2g$ ، عندها ستصبح المعادلة السابقة كما يلي:

$$P = \frac{1}{a} f S D \frac{v^2}{2g}$$

ومن أجل الأنابيب الدائرية التي لها القطر d والطول L، وبالتالي $S = \pi d L$ ، $a = \pi d^2/4$ ، وبالتالي $P = \frac{4 f L D v^2}{d^2 g}$

$$P = \frac{4 f L D v^2}{d^2 g}$$

وإذا فرضنا أن W يمثل وزن المتدفق بالباوند لكل دقيقة، عندها

$$w = \frac{\pi d^2}{4} \times vD \times 60 = 47.12d^2vD$$

$$v = \frac{w}{47.12d^2D}$$

ولنفرض أن P يمثل مقدار انخفاض الضغط بالباوند لكلإنش مربع = $P/144$ ، إذا فرضنا d القطر بالإنش = $12d$ وبالتعويض نجد:

$$P = 0.04839 \frac{fw^2L}{Dd_1^5}$$

يعطي العامل f وفق ما حدده Unwin كما يلي:

$$f = K \left(1 + \frac{3}{10d} \right) = K \left(1 + \frac{3.6}{d_1} \right)$$

وستستخدم القيمة الأشهر للعامل K للبخار التي حددتها العالم Babcock 0.0027 وبالتعويض نجد:

$$P = 0.0001306 w^2 L \frac{1 + 3.6/d_1}{Dd_1^5}$$

حيث

P = انخفاض الضغط، lb/in^2

w = وزن البخار المتدفق، lb/min .

L = طول الأنابيب، ft .

d_1 - قطر الأنبوب، in.

D - الكثافة الوسطية للبخار، lb/ft^3 .

معادلات مسخنات الماء الساخن ذات الحجم المنزلي

$$H_{\text{OUTPUT}} = \text{GPH} \times 8.34 \text{LBS/GAL} \times \Delta T \times 1.0$$

$$H_{\text{INPUT}} = \frac{\text{GPH} \times 8.34 \text{LBS/GAL} \times \Delta T}{\% \text{EFFICIENCY}}$$

$$\text{GPH} = \frac{H_{\text{INPUT}} \times \% \text{EFFICIENCY}}{\Delta T \times 8.34 \text{LBS/GAL}}$$

$$= \frac{\text{KW} \times 3413 \text{BTU/KW}}{\Delta T \times 8.34 \text{LBS/GAL}}$$

$$\Delta T = \frac{H_{\text{INPUT}} \times \% \text{EFFICIENCY}}{\text{GPH} \times 8.34 \text{LBS/GAL}}$$

$$= \frac{\text{KW} \times 3413 \text{BTU/KW}}{\text{GPH} \times 8.34 \text{LBS/GAL}}$$

$$\text{KW} = \frac{\text{GPH} \times 8.34 \text{LBS/GAL} \times \Delta T \times 1.0}{3413 \text{BTU/KW}}$$

$$\% \text{COLD WATER} = \frac{T_{\text{HOT}} - T_{\text{MIX}}}{T_{\text{HOT}} - T_{\text{COLD}}}$$

$$\% \text{HOT WATER} = \frac{T_{\text{MIX}} - T_{\text{COLD}}}{T_{\text{HOT}} - T_{\text{COLD}}}$$

حيث

H_{OUTPUT} - استطاعة التسخين، خرج.

H_{INPUT} - استطاعة التسخين، دخل.

GPH - التدفق المستخلص، gal/h.

ΔT - ارتفاع درجة الحرارة، $^{\circ}\text{F}$.

KW = كيلو واط.

T_{COLD} = درجة حرارة الماء البارد، °F.

T_{HOT} = درجة حرارة الماء الساخن، °F

T_{MIX} = درجة حرارة الماء الممزوج، °F

استطاعة التسخين للمشعات والمبادلات

تعطى استطاعة التسخين للمشع بالعلاقة:

Btu المنبعثة في الساعة لغرفة درجة حرارتها 70° ودرجة حرارة البخار 215° -

(Kilocalorie مكافئة) × 970 × عامل تصحيح. (.....)

حيث يعطى عامل التصحيح كما يلي:

$$C_s = \text{عامل التصحيح} = \left[\frac{(215 - 70)}{\text{درجة حرارة الغرفة} - \text{متوسط درجة حرارة البخار}} \right]^{1.3}$$

تعطى كمية الحرارة المنبعثة من مبادل التسخين بالبخار بنفس المعادلة (*) السابقة ولكن بعامل تصحيح يعطى كما يلي:

$$C_s = \left(\frac{215 - 65}{t_s - t_i} \right)^{1.5}$$

حيث

C_s = عامل التصحيح الذي سيطبق في المعادلة (*) السابقة.

t_i = درجة حرارة البخار المعاكسة بالتجربة.

i_i = متوسط درجة حرارة الهواء الداخل المقاسة بالتجربة.
 لقد تم وضع الفوة 1.5 تجريبياً وذلك لتعطى الشكل المناسب للمبادلات.
 وبطبي معامل التصحيح المستخدم في مبادلات التسخين بالماء الساخن بالعلاقة
 التالية:

$$C_w = \left[\frac{\theta_5 - 65}{(\theta_1 + \theta_2)/2 - i_i} \right]^{1.5}$$

- C_{i^*} = معامل التصحيح المستخدم في مبادلات التسخين بالماء الساخن.
 θ_1 = إحدى درجات حرارة الماء الوسطية القياسية 170، 190، 210، 230°.
 θ_2 = درجة حرارة الدخول للماء، deg.
 θ_3 = درجة حرارة الخروج للماء، deg.

تقدير هواء التزويد للغرفة اعتماداً على محتوى CO_2

يُحسب هواء التزويد لكل قاطن (ساكن بالغرفة) وفق قياس نسبة غاز ثاني أكسيد الكربون CO_2 كما يلي، مفترضين بأن معدل إنتاج الفرد الواحد من غاز ثاني أكسيد الكربون مقدراً بـ $0.6 \text{ ft}^3/\text{h}$ هو CFH.

$$\frac{\text{CFH}(\text{CO}_2 - X)}{10,000} = 0.6$$

حيث

- CFH = الهواء الواجب تزويد للغرفة لكل قاطن، ft^3/h .
 CO_2 = نسبة غاز ثاني أكسيد الكربون في هواء الغرفة مقدراً بجزء لكل 10,000 جزء.

X - نسبة غاز ثاني أكسيد الكربون في الهواء الخارجي مقدراً بجزء لكل 10,000 جزء (يؤخذ عادة 4)

ومنه

$$CFH = \frac{6000}{CO_2 - X}$$

الردود واستطاعة الدخل لروحة الهواء

نستطيع تحديد الاستطاعة اللازمة لتحريك الهواء ضمن مجاري الهواء عبر تطبيق المعادلات التالية، ولكن دعنا أولاً نفرض ما يلي:

p - الضغط الكلي مقدراً بعمود ماء، in.

a - مساحة مقطع مجرى الهواء، ft².

v - سرعة الهواء، ft/min.

وبعد تطبيق عوامل التحويل المناسبة لتغيير واحدة الضغط الكلي إلى الباوند لكل قدم مربع، نحصل على ما يلي:

$$Ahp = \frac{pav \times 144}{12 \times 2.31 \times 33,000}$$

أو

$$Ahp = 0.000157 pav$$

حيث يمثل الرمز Ahp الاستطاعة اللازمة لتحريك الهواء بالحصان البخاري، وإذا كان q يمثل حجم الهواء المار خلال دقيقة بالقدم المكعب فعندما:

$$q = av$$

وبالتالي:

$$Ahp = 0.000157pq = \frac{pq}{6356}$$

حيث يقدر الضغط p هنا بالإنش من الماء.

وإذا كان الضغط معيناً عنه بارتفاع عمود مكافئ من الهواء، h ، فتُصبح العلاقة:

$$Ahp = \frac{hDQ}{33,000}$$

حيث

D = كثافة الهواء، lb/ft^3 .

Q = تدفق الهواء، ft^3/min .

يعتبر فرق الضغط الفعلي للمرورحة هو جزء من فرق الضغط الناتج عنها بشكل نظري v^2/g ، ويُوحَّد عادةً بشكل تقريري على الشكل $k v^2/g$ ، ولذلك تعطي الاستطاعة المطلوبة بالחסان البخاري Hp لقيادة المرورحة بالعلاقة:

$$Hp = \frac{ckv^2}{g} \times \frac{DQ}{33,000}$$

حيث يمثل الرمز c عامل يأخذ بالحسبان مقدار الضياعات الميكانيكية في المرورحة، ويتجمِّع كل العوامل الثابتة بعامل واحد نحصل على العلاقة:

$$Hp = Kv^2 QD$$

حيث يصبح الرمز v هنا دالاً على السرعة المحيطة والتي تتغير مباشرةً بغير سرعة دوران المرورحة، وبما أن Q تتغير أيضاً بتغير السرعة، فعندها تُصبح الاستطاعة المطلوبة تابعة لمكعب السرعة.

يُعرَف مردود المروحة الستاتيكى على أنه حاصل ضرب المردود الميكانيكى بالنسبة بين الضغط الستاتيكى إلى الضغط الكلى، ويحدد المردود الميكانيكى ME وفق العلاقة التالية:

$$ME = \frac{Ahp}{\text{input Hp}}$$

$$ME = \frac{pq}{6356 \text{ Hp}}$$

حيث يعبر الرمز H_p عن استطاعة الدخل مقدرة بالحصان البخاري.

$$\frac{\text{الضغط الستاتيكى}}{\text{الضغط الكلى}} \times \frac{pq}{6356 \text{ Hp}} - SE$$

$$\frac{pq}{6356 \text{ Hp}} - SE$$

حيث

p = الضغط الستاتيكى.

قطر مجراه الهواء الدائري المقطع المكافئ للمجرى المستطيل

يعطى قطر مجراه الهواء الدائري المقطع المكافئ في المقاومة والتدفق للمجرى ذي المقطع المستطيل ببعدين A و B بالعلاقة التالية:

$$D = 1.265 \sqrt{\frac{(AB)^3}{A + B}}$$

حيث يمثل A و B ضلعي المجرى المستطيل و D يمثل قطر المجرى الدائري المقطع.

ضياعات الضغط في مجاري الهواء

يعرف التعبير العام المحدد لاحتكاك المائع ضمن الأنابيب بالمعادلة المروحة (Fanning formula) ويمكن تطبيقها بشكل تقريري على الهواء كما يلي:

$$p = f \frac{S}{a} D \frac{v^2}{2g}$$

حيث

P - الضغط المطلوب للتغلب على الاحتكاك، $.lb/ft^2$

a - مساحة مقطع المجرى، ft^2

D - كثافة الهواء، $.lb/ft^3$

v - السرعة، ft/s

f - عامل الاحتكاك.

S - مساحة التماس (المحيط \times الطول).

ومن أجل هواء نظامي (عند درجة حرارة 70° وبضغط زئبقي بمقاييس الضغط الجوي 29.92 in) تصبح العلاقة:

$$P = \frac{0.03FL}{d^{1.24}} \left(\frac{v}{1000} \right)^{1.84}$$

حيث

F - عامل الخشونة.

L - طول المجرى، ft .

d - قطر المجرى، in .

P , v كما في المعادلة السابقة.

الكبح الناتج عن وجود مصفاة هواء مغبرة

يعبر عن الكبح الناتج عن وجود الغبار في الفلتر عادةً بنسبة مئوية كما يلي:

$$E = 1 - \frac{G_1}{G_0}$$

حيث

E - الكبح.

G_1 - تركيز الغبار خلف المصفاة.

G_2 - تركيز الغبار أمام المصفاة.

تمثل قدرة التقطط الغبار لمصفاة غير آلية بكمية أو وزن الغبار القياسي الذي ستلتقطه المصفاة بدون أن تتجاوز المقاومات التالية:

in 0.18 من أجل الأنواع ذات المقاومة المنخفضة.

in 0.5 من أجل الأنواع ذات المقاومة المتوسطة.

in 1.00 من أجل الأنواع ذات المقاومة العالية.

نفيدنا هذه المقاومات في تصنيف المصافي، حيث تستخدم المصافي ذات المقاومة المنخفضة عادةً في العمل في أفران الهواء الساخن وفي وحدات تكييف الهواء، وتستخدم المصافي ذات المقاومة المتوسطة في أنظمة المراوح المركزية، بينما تعتبر المصافي ذات المقاومة العالية مناسبة أكثر لتنقية الهواء الداخل إلى الضواغط أكثر منها في تنقية هواء أنظمة تكييف الهواء.

كمية الحرارة المنتقلة عبر الجدار

يعبر عن الربع في كمية الحرارة عبر الجدار بالعلاقة التالية:

$$H = H_i + H_R$$

حيث

H_i - كمية الحرارة التي يتم ربحها والناتجة عن اختلاف درجات حرارة الهواء.

$$H_i = AU (t_0 - t)$$

حيث

A - مساحة الجدار، ft^2

U - عامل انتقال الحرارة، $\text{Btu}/(\text{ft}^2 \cdot \text{h} \cdot {}^\circ\text{F})$

t_0 - درجة حرارة الهواءخارجي، ${}^\circ\text{F}$

t - درجة حرارة الهواء داخل الغرفة، ${}^\circ\text{F}$

و

$$H_R = AFal$$

حيث

H_R - الربع الحراري الناتج عن الإشعاع الشمسي.

A - مساحة الجدار أو السطح، ft^2

F - القسم المتصد من الإشعاع الشمسي وال منتقل إلى الداخل، يعبر عنه بكسر عشرى.

a - قسم من الإشعاع الشمسي المرتبط بالجدار والمتصد من قبل سطح الجدار، يعبر عنه بكسر عشرى.

I - الكثافة الحقيقة للإشعاع الشمسي المصطدم بالسطح، $\text{Btu}/(\text{h} \cdot \text{ft}^2)$

تبعد قيمة F عامل انتقال الحرارة للجدار، وذلك وفق العلاقة التقريرية التالية:

$$F = 0.23U$$

بالتعويض تصبح المعادلة السابقة كما يلي:

$$H_R = 0.23AUal$$

تعطى المراجع الهندسية قيمتي العاملين a و l .

فرق درجات الحرارة الوسطي لوشائع تبريد نظام الماء المبرد

تعتمد كمية الحرارة المنقولة عبر وشائع تبريد نظام الماء المبرد على فرق درجات الحرارة الوسطي MTD بين الهواء والماء في الأنابيب، والتي يمكن حسابها من العلاقة:

$$MTD = \frac{(t_a - t_w) - (t'_a - t'_{w'})}{\ln[(t_a - t'_{w'}) / (t'_a - t'_{w'})]}$$

حيث

MTD = فرق درجات الحرارة الوسطي، $^{\circ}\text{F}$.

t_a = درجة حرارة الهواء الداخلي، $^{\circ}\text{F}$.

$t'_{w'}$ = درجة حرارة الهواء الخارج، $^{\circ}\text{F}$.

t'_a = درجة حرارة الماء الداخلي، $^{\circ}\text{F}$.

t_w = درجة حرارة الماء الخارج، $^{\circ}\text{F}$.

ويحدد مقدار سطح التبادل بالعلاقة:

$$S = \frac{H}{K \times MTD}$$

حيث

S = سطح الوشيعة، ft^2 .

H - كمية الحرارة المحسوسة المنقولة، Btu/h.

MTD - فرق درجات الحرارة الوسطي، °F.

K - عامل نقل (Btu/(h·ft²·°F)).

يعتمد عامل النقل K على تصميم الوشيعة وسرعة الماء.

تعتمد كمية الماء المدار على كمية الحرارة الكلية المنقولة من الهواء (كمية الحرارة المحسوسة وكمية الحرارة الكامنة) وعلى ارتفاع درجة حرارة الماء المسماح به.

مردود برج التبريد

تحدد درجة حرارة الهواء الرطبة من الفاعلية العظمى النظرية لبرج التبريد، ويعطى مردود التبريد بالعلاقة:

$$E = \frac{t_1 - t_2}{t_1 - t}$$

حيث

t - درجة حرارة الهواء الرطبة.

t_1 - درجة حرارة الماء الداخل للبرج.

t_2 - درجة حرارة الماء المغادر للبرج.

تتراوح قيمة المردود عادةً بين 70 و 75 بالمئة، كما ويرد الماء عادةً ضمن مجال من 10° إلى 15°، وتتعلق درجة حرارة الماء المغادر للبرج بشكل كبير بدرجة الحرارة الرطبة الخارجية.

تصمم في بعض الأحيان غرف رش (مثل غاسل هواء مناسب) في حال كون حجم البرج محدوداً وتستخدم لتبريد ماء التكاثف.

تفقد كمية من الماء من برج التبريد نتيجة التبخر وتيارات الحمل، وعلى سبيل المثال تفقد في أنظمة التبريد التي تستخدم وسيط تبريد مثل F-12 ما مقداره 0.06 غالون بالدقيقة لكل طن تبريد، وتقدر كمية الماء المستحوذة من شبكة المدينة والضائعة (بدون وجود برج تبريد) من 1.5 إلى 2 غالون بالدقيقة لكل طن تبريد، وذلك تبعاً لدرجة حرارة الماء. لذلك من المفترض أن توفر أبراج التبريد حوالي 90 إلى 95 بالمئة من الماء المستحوذ من الشبكة.

معادلات التسخين وتكييف الهواء بنظام USCS و SI

ستعطي المعادلات التالية وفق نظام USCS ثم بوحدات نظام SI، وهكذا سنتحقق مقارنة سهلة للمعادلات وفق واحدات الجملتين، وسنورد الاختصارات والرموز المستخدمة في المعادلات بعد استعراض المعادلات.

يستطيع المهندس الميكانيكي أن يحسب النتائج وفق نظامي الواحdas والمقارنة بينهما ليختار الأنسب.

$$H_S = 1.08 \frac{\text{Btu} \cdot \text{min}}{\text{h} \cdot \text{ft}^3 \cdot {}^\circ\text{F}} \times \text{CFM} \times \Delta T$$

$$H_{SM} = 72.42 \frac{\text{kJ} \cdot \text{min}}{\text{h} \cdot \text{m}^3 \cdot {}^\circ\text{C}} \times \text{CMM} \times \Delta T_M$$

$$H_L = 0.68 \frac{\text{Btu} \cdot \text{min} \cdot \text{lb DA}}{\text{h} \cdot \text{ft}^3 \cdot \text{gr H}_2\text{O}} \times \text{CFM} \times \Delta W$$

$$H_{LM} = 177,734.8 \frac{\text{kJ} \cdot \text{min} \cdot \text{kg DA}}{\text{h} \cdot \text{m}^3 \cdot \text{kg H}_2\text{O}} \times \text{CMM} \times \Delta W_M$$

$$H_T = 4.5 \frac{\text{lb} \cdot \text{min}}{\text{h} \cdot \text{ft}^3} \times \text{CFM} \times \Delta h$$

$$H_{TM} = 72.09 \frac{\text{kg} \cdot \text{min}}{\text{h} \cdot \text{m}^3} \times \text{CMM} \times \Delta h_M$$

$$H_T = H_S + H_L$$

$$H_{TM} = H_{SM} + H_{LM}$$

$$H = 500 \frac{\text{Btu} \cdot \text{min}}{\text{h} \cdot \text{gal} \cdot {}^\circ\text{F}} \times \text{GPM} \times \Delta T$$

$$H_M = 250.8 \frac{\text{kJ} \cdot \text{min}}{\text{h} \cdot \text{L} \cdot {}^\circ\text{C}} \times \text{LPM} \times \Delta T_M$$

$$\frac{AC}{HR} = \frac{CMM \times 60 \text{ min/h}}{\text{VOLUME}}$$

$$\frac{AC}{HR_M} = \frac{CMM \times 60 \text{ min/h}}{\text{VOLUME}_M}$$

$${}^\circ\text{C} = \frac{{}^\circ\text{F} - 32}{1.8}$$

$${}^\circ\text{F} = 1.8 {}^\circ\text{C} + 32$$

حيث

H_S = كمية الحرارة المحسوسة، .Btu/h

H_{SM} = كمية الحرارة المحسوسة، .KJ/h

H_L = كمية الحرارة الكامنة، .Btu/h

H_{LM} = كمية الحرارة الكامنة، .KJ/h

H_T, H = كمية الحرارة الكلية، .Btu/h

H_{TM}, H_M = كمية الحرارة الكلية، .KJ/h

ΔT = فرق درجات الحرارة، . ${}^\circ\text{F}$

ΔT_M = فرق درجات الحرارة، $^{\circ}\text{C}$.

ΔW = فرق نسبة الرطوبة، $\text{gr H}_2\text{O/lb DA}$

ΔW_M = فرق نسبة الرطوبة، $\text{Kg H}_2\text{O/Kg DA}$

Δh = فرق الانثالبي، Btu/lb DA

Δh_M = فرق الانثالبي، KJ/Kg DA

CFM = معدل تدفق الهواء، ft^3/min

CMM = معدل تدفق الهواء، m^3/min

GPM = معدل تدفق الماء، gal/min

LPM = معدل تدفق الماء، L/min

AC/HR = نسبة تغير الهواء بالساعة، وفق النظام الانكليزي.

AC/HR_M = نسبة تغير الهواء بالساعة، وفق النظام SI.

$$\text{AC/HR} = \text{AC/HR}_M$$

VOLUME = حجم الفراغ، ft^3 .

VOLUME_M = حجم الفراغ، m^3 .

$$\text{KJ/h} = \text{Btu/h} \times 1.055$$

$$\text{CMM} = \text{CFM} \times 0.02832$$

$$\text{LPM} = \text{GPM} \times 3.785$$

$$\text{KJ/Kg} = \text{Btu/lb} \times 2.326$$

$$\text{m} = \text{ft} \times 0.3048$$

$$\text{m}^2 = \text{ft}^2 \times 0.0929$$

$$\text{m}^3 = \text{ft}^3 \times 0.02832$$

$$\text{Kg} = \text{lb} \times 0.4536$$

$$1.0 \text{ GPM} = 500 \text{ lb}/\text{بخار}/\text{h}$$

$$1.0 \text{ lb}/\text{بخار}/\text{h} = 0.002 \text{ GPM}$$

$$1.0 \text{ lb H}_2\text{O}/\text{h} = 1.0 \text{ lb}/\text{بخار}/\text{h}$$

$$(الكتافة) \text{ Kg/m}^3 = \text{lb}/\text{ft}^3 \times 16.017$$

$$(\الحجم النوعي) \text{ m}^3/\text{Kg} = \text{ft}^3/\text{lb} \times 0.0624$$

$$\text{Kg H}_2\text{O/Kg DA} = \text{gr H}_2\text{O/lb DA} / 7000 = \text{lb H}_2\text{O/lb DA}$$

المعادلات التبادلية بين التدفق وانخفاض ضغط أنابيب البحار

$$\Delta P = \frac{0.01306 W^2 (1 + 3.6 / ID)}{3600 \times D \times ID^5}$$

$$W = 60 \sqrt{\frac{\Delta P \times D \times ID^5}{0.01306 \times (1 + 3.6 / ID)}}$$

$$W = 0.41667 V A_{\text{INCHES}} D = 60 V A_{\text{FEET}} D$$

$$V = \frac{2.4 W}{A_{\text{INCHES}} D} = \frac{W}{60 A_{\text{FEET}} D}$$

حيث

ΔP - هبوط الضغط لكل 100 قدم من الأنوب (psig/100 ft).

W - معدل تدفق البحار، .lb/h.

ID - القطر الداخلي الفعلي للأنبوب, in.

D - الكثافة الوسطية للبخار عند الضغط العامل ضمن النظام, .lb/ft³.

V = سرعة البخار ضمن الأنابيب، ft/min.

A_{INCHES} = مساحة مقطع الأنابيب الفعلية، in².

A_{FEET} = مساحة مقطع الأنابيب الفعلية، ft².

معادلات نواتج التكثيف على الأنابيب

$$FS = \frac{H_{SSS} - H_{SCR}}{H_{LCR}} \times 100$$

$$W_{CR} = \frac{FS}{100} \times W$$

حيث

FS = البخار المتجمع، %.

H_{SSS} = كمية الحرارة المحسوسة عند ضغط تزويد البخار، Btu/lb

H_{SCR} = كمية الحرارة المحسوسة عند ضغط التكاثف العائد، Btu/lb

H_{LCR} = كمية الحرارة الكامنة عند ضغط التكاثف العائد، Btu/lb

W = معدل تدفق البخار، lb/h.

W_{CR} = التدفق المستكائف كنسبة مئوية من البخار المتجمع الناتج عن عملية التكاثف، lb/h. استخدم هذه النسبة من تدفق البخار في معادلة البخار السابقة لتحديد حجم أنبوب التكاثف العائد.

معادلات مردود HVAC

$$COP = \frac{\text{BTU OUTPUT}}{\text{BTU INPUT}} = \frac{\text{EER}}{3.413}$$

$$\text{EER} = \frac{\text{BTU OUTPUT}}{\text{WATTS INPUT}}$$

معدل الاشعال الأصغرى: معدل الاشعال الأعظمى - نسبة الانزال
(والتي هي بحوالي 5:1, 10:1, 25:1)

$$\text{OVER ALL THERMAL EFF} = \frac{\text{GROSS BTU OUTPUT}}{\text{GROSS BTU INPUT}} \times 100\%$$

$$\text{COMBUSTION EFF} = \frac{\text{BTU INPUT} - \text{BTU STACK LOSS}}{\text{BTU INPUT}} \times 100\%$$

مجال المردود الحراري الكلى 75 % - 90 %.

مجال مردود الاحتراق 85 % - 95 %.

معادلات غرفة الامتصاص المكافحة لنظام HVAC
إذا كانت الغرف المكافحة مغلقة تماماً:

$$\text{CFM} = 100 \times G^{0.5}$$

حيث

CFM - تدفق الهواء المطلوب إطراحه، ft³/min.

G - كتلة وسيط التبريد للنظام الأكبر، lb.

أما إذا كانت الغرف المكافحة مغلقة جزئياً.

$$FA = G^{0.5}$$

حيث

FA - المساحة المفتوحة للامتصاص الحر، ft².

G - كتلة وسيط التبريد للنظام الأكبر، lb.

المعادلات البسايكومترية

لقد أحذنا المعادلات التالية من منشورات شركة Carrier (من كتاب New York Handbook of Air-Conditioning System Design McGraw-Hill)، وتعطي هذه المعادلات مجالات مزج الهواء وأحمال التبريد وعامل كمية الحرارة المحسوسة وعامل التميري الجانبي ودرجات الحرارة عند الأجهزة ودرجة حرارة هواء التزود وكمية الهواء وأمثال ثوابت الهواء. وسنعرف قبل سرد المعادلات بالرموز والاختصارات التي سنستخدمها.

الاختصارات

adp - نقطة الندى للجهاز.

BF - عامل التميري الجانبي.

(BF) (OALH) - كمية الحرارة الكامنة للهواء الخارجي الممر جانبياً.

(BF) (OASH) - كمية الحرارة المحسوسة للهواء الخارجي الممر جانبياً.

(BF) (OATH) - كمية الحرارة الكلية للهواء الخارجي الممر جانبياً.

Btu/h - وحدة حرارية بريطانية في الساعة.

cfm - قدم مكعب في الدقيقة ft^3/min .

db - مقياس حرارة جانبي (بموجلة حافة).

dp - نقطة الندى.

ERLH - كمية الحرارة الكاملة الفعالة للغرفة.

ERSH - كمية الحرارة المحسوسة الفعالة للغرفة.

ERTH - كمية الحرارة الكلية الفعالة للغرفة.

ESHF - عامل كمية الحرارة المحسوسة الفعالة.
°F - درجة فهرنهايت.

fpm - قدم بالدقيقة، ft/min

gpm - غالون بالدقيقة، gal/min

gr/lb - جبات أو قطرات بالباوند.

GSHF - عامل كمية الحرارة المحسوسة الإجمالي.
FTH - كمية الحرارة الكلية الإجمالية.

GTHS - كمية الحرارة الكلية الإجمالية المضافة.

OALH - كمية الحرارة الكامنة للهواء الخارجي.

OASH - كمية الحرارة المحسوسة للهواء الخارجي.
OATH - كمية الحرارة الكلية للهواء الخارجي.

rh - الرطوبة النسبية.

RLH - كمية الحرارة الكامنة لغرفة.

RLHS - كمية الحرارة الكامنة الإضافية لغرفة.

RSH - كمية الحرارة المحسوسة لغرفة.

RSHF - عامل كمية الحرارة المحسوسة لغرفة.

RTH - كمية الحرارة الكلية لغرفة.

Sat Eff - قدرة الإشعاع للرشاشات.

SHF - عامل كمية الحرارة المحسوسة.

TLH - كمية الحرارة الكامنة الكلية.

TSH = كمية الحرارة المحسوسة الكلية.

Wb = مقياس حرارة رطب (بموجلة رطبة).

الرموز

Cfm_{ba} = كمية الهواء المار جانبياً حول الجهاز.

Cfm_{da} = كمية الهواء المزالة رطوبته.

Cfm_{ea} = كمية الهواء الخارجي.

Cfm_{ma} = كمية الهواء المعاد.

Cfm_{sa} = كمية هواء الترويد.

h = الانثالي النوعي.

h_{adp} = انثالي نقطة الندى للجهاز.

h_{ci} = انثالي درجة حرارة السطح الفعال.

h_{ca} = انثالي الهواء الداخل.

h_{ex} = انثالي الهواء الخارج.

h_m = انثالي الهواء المزروج من الهواء الخارجي والهواء المعاد.

h_{os} = انثالي الهواء الخارجي.

h_{rm} = انثالي هواء الغرفة.

h_{ro} = انثالي هواء الترويد.

t = درجة الحرارة.

- t_{adp} = درجة حرارة نقطة الندى للجهاز.
- t_{db} = درجة الحرارة الرطبة للهواء الداخل.
- t_e = درجة حرارة السطح الفعال.
- t_{ew} = درجة حرارة الماء الداخل.
- t_{ewb} = درجة الحرارة الرطبة للماء الداخل.
- t_{ib} = درجة الحرارة الجافة للهواء الخارج.
- t_{iwb} = درجة الحرارة الرطبة للهواء الخارج.
- t_m = درجة الحرارة الجافة للهواء الممزوج من الهواء الخارجي والهواء المعاد.
- t_{re} = درجة الحرارة الجافة للهواء الخارجي.
- t_{rm} = درجة الحرارة الجافة للغرفة.
- t_{rw} = درجة الحرارة الجافة هواء التزويد.
- W = الرطوبة النوعية أو محتوى الرطوبة.
- W_{adp} = محتوى رطوبة نقطة الندى للجهاز.
- W_{ew} = محتوى الرطوبة للهواء الداخل.
- W_{es} = محتوى رطوبة درجة حرارة السطح الفعال.
- W_{iw} = محتوى رطوبة الهواء الخارج.
- W_m = محتوى رطوبة الهواء الممزوج من الهواء الخارجي والهواء المعاد.
- W_{re} = محتوى رطوبة الهواء الخارجي.

W_{rm} = محتوى رطوبة الغرفة.

W_{sa} = محتوى رطوبة هواء التزويد.

معادلات مزج الهواء (الهواء الخارجي والهواء المعاد)

$$t_m = \frac{(cfm_{oa} \times t_{oa}) + (cfm_{ra} \times t_{rm})}{cfm_{sa}}$$

$$h_m = \frac{(cfm_{oa} \times h_{oa}) + (cfm_{ra} \times h_{rm})}{cfm_{sa}}$$

$$W_m = \frac{(cfm_{oa} \times W_{oa}) + (cfm_{ra} \times W_{rm})}{cfm_{sa}}$$

معادلات حمل التبريد

$$ERSH = RSH + (BF) (OASH) + RSHS^\dagger$$

$$ERLH = RLH + (BF) (OALH) + RLHS^\dagger$$

$$ERTH = ERLH + ERSR$$

$$TSH = RSH + OASH + RSHS^\dagger$$

$$TLH = RLH + OALH + RLHS^\dagger$$

$$GTH = TSH + TLH + GTHS^\dagger$$

$$RSH = 1.08^\dagger \times cfm_{sa} \times (t_{rm} - t_{sa})$$

$$RLH = 0.68^\dagger \times cfm_{sa} \times (W_{rm} - W_{sa})$$

[†] تعتبر الأحمال GTHS و RLHS و RSHS هي أحمال تكميلية وتعتبر كمية حرارة يكتسبها جمبي الماء، وضياعات التسرب من المجرى والربح الحراري الناتج عن استطاعة المروحة والمضخة.

[‡] انظر قيم أمثل ثوابت الماء التي ستفرم بحاسها لاحقاً.

$$RTH = 4.45^t \times cfm_{ea} \times (h_{rm} - h_{ea})$$

$$RTH = RSH + RLH$$

$$OASH = 1.08 \times cfm_{ea} (t_{ea} - t_{rm})$$

$$OALH = 0.68 \times cfm_{ea} (W_{ea} - W_{rm})$$

$$OATH = 4.45 \times cfm_{ea} (h_{ea} - h_{rm})$$

$$OATH = OASH + OALH$$

$$(BF) (OATH) = (BF) (OASH) + (BF) (OALH)$$

$$ERSH = 1.08 \times cfm_{da}^{\frac{5}{3}} \times (t_{rm} - t_{adp}) (1 - BF)$$

$$ERLH = 0.68 \times cfm_{da}^{\frac{5}{3}} \times (W_{rm} - W_{adp}) (1 - BF)$$

$$ERTH = 4.45 \times cfm_{da}^{\frac{5}{3}} \times (h_{rm} - h_{adp}) (1 - BF)$$

$$TSH = 1.08 \times cfm_{da}^{\frac{5}{3}} \times (t_{edb} - t_{l_db})^{\dagger}$$

$$TLH = 0.68 \times cfm_{da}^{\frac{5}{3}} \times (W_{ea} - W_{la})^{\dagger}$$

$$GTH = 4.45 \times cfm_{da}^{\frac{5}{3}} \times (h_{ea} - h_{la})^{\dagger}$$

معادلات عوامل كمية الحرارة المحسوسة

$$RSHF = \frac{RSH}{RSH + RLH} = \frac{RSH}{RTH}$$

$$ESHF = \frac{ERSH}{ERSH + ERLH} = \frac{ERSH}{ERTH}$$

$$GSHF = \frac{TSH}{TSH + TLH} = \frac{TSH}{GTH}$$

* عندما يكون هناك هواء محرك جانبياً حول أجهزة التكييف، $cfm_{da} = cfm_{ea}$

معادلات عامل التمرير الجانبي

$$BF = \frac{t_{edb} - t_{adp}}{t_{edb} - t_{adp}}$$

$$1 - BF = \frac{t_{edb} - t_{l dp}}{t_{edb} - t_{adp}}$$

$$BF = \frac{W_{la} - W_{adp}}{W_{ea} - W_{adp}}$$

$$1 - BF = \frac{W_{ea} - W_{la}}{W_{ea} - W_{adp}}$$

$$BF = \frac{h_{la} - h_{adp}}{h_{ea} - h_{adp}}$$

$$1 - BF = \frac{h_{ea} - h_{la}}{h_{ea} - h_{adp}}$$

معادلات درجة الحرارة عند الأجهزة

$$t_{edb} = \frac{(cfm_{oa} \times t_{oa}) + (cfm_{ra} \times t_{rm})}{cfm_{sa}}$$

$$t_{l db} = t_{adp} + BF(t_{edb} - t_{adp})$$

تعتمد كلتا درجتي الحرارة t_{edb} و $t_{l db}$ على القيم المحسوبة للثاني h_{ea} و h_{la} على المخطط البسيكرومترى.

$$h_{ea} = \frac{(cfm_{oa} \times h_{oa}) + (cfm_{ra} \times h_{rm})}{cfm_{sa}}$$

$$h_{la} = h_{adp} + BF(h_{ea} - h_{adp})$$

معادلة درجة حرارة هواء التزويد

$$t_{sa} = t_{rm} - \frac{RSH}{1.08cfm_{sa}}$$

معادلات كميات الهواء

$$cfm_{da} = \frac{ERSH}{1.08(1-BF)(t_{rm} - t_{adp})}$$

$$cfm_{da} = \frac{ERLH}{0.68(1-BF)(W_{rm} - W_{adp})}$$

$$cfm_{da} = \frac{ERTH}{4.45(1-BF)(h_{rm} - h_{adp})}$$

$$cfm_{da} = \frac{TSH}{1.08(t_{edb} - t_{lrb})}$$

$$cfm_{da} = \frac{TLH}{0.68(W_{ea} - W_{la})}$$

$$cfm_{da} = \frac{GTH}{4.45(h_{ea} - h_{la})}$$

$$cfm_{sa} = \frac{RSR}{1.08(t_{rm} - t_{sa})}$$

$$cfm_{sa} = \frac{RLH}{0.68(W_{rm} - W_{sa})}$$

$$cfm_{sa} = \frac{RTH}{4.45(h_{rm} - h_{sa})}$$

$$cfm_{ba} = cfm_{sa} - cfm_{da}$$

ملاحظة: ستكون قيمة Cfm_{da} أقل من Cfm_{sa} فقط عندما يمر الهواء جانبياً حول تجهيزات التكييف.

$$cfm_{sa} = cfm_{ea} + cfm_{ra}$$

† عندما تساوي قيمة t_a و W_m و h_m لقيم الدخول لأجهزة التبريد، فإنه يمكن استبدالهم بالقيم h_{ea} و W_{ea} و h_{ra} على التوالي.

امثال ثوابت الهواء

$$1.08 = 0.244 \times \frac{60}{13.5}$$

حيث

0.244 = الحرارة النوعية للهواء الرطب عند الدرجة 70 °Fdb و rh 50 %.
(Btu/F°.lb DA)

60 = دقة بالساعة.

13.5 = الحجم النوعي للهواء الرطب عند 70 °Fdb و rh 50 %.

$$0.68 = \frac{60}{13.5} \times \frac{1076}{7000}$$

حيث

60 = دقة بالساعة.

13.5 = الحجم النوعي للهواء الرطب عند 70 °Fdb و rh 50 %.

1076 = متوسط كمية الحرارة الواجب طرحها لتكثيف ليترة واحدة من بخار الماء الموجود في هواء الغرفة.

.gr/lb = 7000

$$4.45 = \frac{60}{13.5}$$

تدل الأرقام على نفس دلالتها في العلاقة السابقة.

المعادلات في حال وجود مصائد بخار

يعتمد اختيار تركيب مصائد البخار على ماسورات البخار الصاعدة على حمل تسخين الأنابيب وعلى حمل الإشعاع الحراري الصادر عن الأنابيب. ويقصد بحمل تسخين الأنابيب نواتج التكثيف التي تتشكل عند تسخين سطح الأنابيب عندما يمر البخار لأول مرة. وللحصول على نتائج عملية يجب أن تكون درجة حرارة الأنابيب النهاية مساوية لدرجة حرارة البخار. ويمكن تحديد حمل تسخين الأنابيب وفق العلاقة:

$$C_1 = \frac{W(t_f - t_i)(0.114)}{h_i T}$$

حيث

- C₁ - التكاليف الناتج عن التسخين، lb/h.
- W - الوزن الكلي للأنابيب، lb (يؤخذ من جداول المراجع الهندسية).
- t_f - درجة حرارة الأنابيب النهاية، °F (درجة حرارة البخار).
- t_i - درجة حرارة الأنابيب الابتدائية، °F (تؤخذ عادة مساوية لحرارة الغرفة).
- 0.114 - ثابت الحرارة النوعية للأنباب الفولاذية أو أنابيب الحديد المطاوع 0.092 لالأنباب النحاسية.
- h_i - الحرارة الكامنة للبخار، Btu/lb (يؤخذ من جداول البخار).
- T - الزمن اللازم للتسخين، h.

أما حمل الإشعاع فهو نواتج التكاليف المتشكلة من ضياعات الإشعاع للأنباب غير المعزولة والتي لا يمكن تجنبها.

ويحسب هذا الحمل من المعادلة التالية والذي يعتمد على الهواء الساكن المحيط بأنابيب البخار:

$$C_2 = \frac{LK(t_f - t_i)}{h_l}$$

حيث

C_2 - التكاليف الناتج عن الإشعاع، lb/h.

L - الطول الخطي للأنبوب، ft.

K - معامل النقل الحراري، Btu/(h.lin ft. $^{\circ}$ F).

يشكل حمل الإشعاع كما حمل التسخين قطرات تحت ظروف العمل الطبيعية، ونحدث ذروة هذا التشكيل عند منتصف دورة التسخين، لذلك يضاف نصف حمل الإشعاع إلى حمل التسخين عندما يراد تحديد كمية نواتج التكاليف التي على مصائد البحار اصطدامها.

عامل الأمان

توصي الدراسات العملية الجيدة باستخدام عوامل أمان عندما يُراد اختيار مصائد البحار، وربما تحتاج لعوامل أمان قد تصل من 2 إلى 1 أو بأعلى قيم من 8 إلى 1 وذلك للأسباب التالية:

1. قد يتغير ضغط البحار عند مدخل المصيدة أو الضغط الخلفي عند تفريغ المصيدة. وهذا يغير سعة المصيدة البحار.
2. إذا تم اختيار حجم المصيدة ليتناسب مع حمل العمل الطبيعي، فقد تعود نواتج التكاليف إلى أنابيب البحار أو الأجهزة أثناء عملية الإقلاع أو أثناء عملية التسخين.
3. إذا تم اختيار المصيدة بحيث تفرغ كاملاً تدفق الماء وبشكل مستمر، فقد يصعب علينا إخراج الماء من النظام.

وستورد فيما يلي معلومات ترشدك إلى تقدير عامل الأمان:

الجدول 7.1 عوامل الأمان المأخوذة عند اختيار مصائد البحار

عامل الأمان	الجزء المراد تصميمه
3 إلى 1	خط تصريف البحار الرئيسي
1 إلى 2	صواعد تصريف البحار
1 إلى 2	بين الرجل وغاية الخط الرئيسي
1 إلى 3	قبل صمام التخفيض
1 إلى 3	قبل صمام الإغلاق (في أوقات الإغلاق)
1 إلى 3	وشانع التصريف
1 إلى 3	أجهزة التصريف

عندما تريد استخدام مصيدة البحار في نظام ذي ضغط عمل عال، عليك تحديد فيما إذا كان النظام سيعمل تحت شروط ضغط منخفضة عند أوقات محددة مثل منتصف الليل أو العطلة الأسبوعية، وإذا كان من المحتمل حدوث ذلك يجب إضافة عامل أمان إضافي لتتمكن المصيدة من التقاط القطرات المشكلة أثناء فترات العمل بضغط منخفض (خلال العمل الليلي).

8

معادلات الترموديناميك

مصطلحات وتعريف

- a - مساحة المكبس (مع الخفاضات المكبس وقضبان الذيل إن وجدت)، $\text{in}^2 (\text{mm}^2)$.
- C - ثابت وهو يساوي 12 للمحركات رباعية الشوط و 20 للمحركات ثنائية الشوط.
- C_p - الحرارة النوعية تحت ضغط ثابت، $\text{Btu}/(\text{lb.}^{\circ}\text{F}) [\text{KJ}/(\text{Kg.}^{\circ}\text{C})]$.
- C_v - الحرارة النوعية تحت حجم ثابت، $\text{Btu}/(\text{lb.}^{\circ}\text{F}) [\text{KJ}/(\text{Kg.}^{\circ}\text{C})]$.
- c - الخلوص، ويعبر عنه بكسر عشري من الإزاحة.
- D - إزاحة المكبس (دورة/ m^3)، دورة/ ft^3 .
- D' - إزاحة المكبس (دورة/ m^3)، دورة/ ft^3 .
- d - التجويف، قطر الاسطوانة الداخلية، $\text{in} (\text{mm})$.
- F - القوة الصرفة عند نقطة دوران الذراع، $\text{lb} (\text{N})$.
- g - عامل التحويل ويمثل الجاذبية الأرضية (9.81 m/s^2) $(32.2 \text{ lbm.ft/lbf.s}^2)$.
- h - الانثالي (ويساوي $(\rho v/J + u)$).
- h_1 - فرق ضغط التوقف، سائل (m).
- h_2 - فرق الضغط الكلي، سائل (m).
- h_v - فرق ضغط السرعة، سائل (m).
- h_w - فرق الضغط، $\text{in H}_2\text{O}$ ($\text{mm H}_2\text{O}$).
- h_i - الانثالي عند مدخل الضاغط، $\text{Btu/lb} (\text{KJ/Kg})$.
- h_{i2} - الانثالي عند خرج (مصرف) الضاغط، $\text{Btu/lb} (\text{KJ/Kg})$.

- ج - المكافئ الميكانيكي للحرارة، $.778 \text{ ft.lb/Btu}$.
- k - نسبة الحرارة النوعية = C_p/C_v .
- L - طول الشوط، ft (m) .
- طول ذراع الكبح (المسافة من مركز المحور حتى نقطة دوران الذراع)، ft (m) .
- l - طول الشوط، in .
- m - الوزن المولى، lb (Kg) .
- m - عدد المولات، Kg (مول) .
- mep - الضغط الفعال الوسطي، psi (KPa) .
- N - سرعة دوران المحور، rpm .
- عدد المراحل.
- n - عدد الدورات المنجزة في الدقيقة.
- الأُس البولوتوري، حيث p_v^n - ثابت العملية البوليترورية.
- P - الضغط، $\text{lbf/ft}^2 (\text{KPa})$.
- p_1 - ضغط الدخول (التزويد)، $\text{lbf/in}^2 (\text{KPa})$.
- p_2 - ضغط الخروج (التصريف)، $\text{lbf/in}^2 (\text{KPa})$.
- Δp - $p_c - p_b$ ارتفاع الضغط الناتج عن المضخة، $\text{lbf/in}^2 (\text{KPa})$.
- Q - معدل التدفق الحجمي، $\text{ft}^3/\text{min} (\text{m}^3/\text{min})$.
- كمية الحرارة المستخلصة (التي يمكن استخلاصها)، Btu/hb (KJ/hg) .
- Q_1 - كمية الحرارة المضافة، Btu/lb (KJ/Kg) .

Q_2 - كمية الحرارة المطروحة، $\text{Btu/lb} (\text{KJ/Kg})$.

ΔQ - كمية الحرارة المضافة أو المستخلصة، $\text{Btu/lb} (\text{KJ/Kg})$.

R - ثابت الغاز، من خواص الغاز أو المزيج.

R' - ثابت الغاز العام ويساوي $1544 \text{ ft.lb/(lb.}^{\circ}\text{R)}$.

$$\frac{P_2}{P_1} = \text{نسبة الضغوط} - R_p$$

R_{p1}, R_{p2}, R_{p3} - نسبة الضغوط للمراحل 1 و 2 و 3 على الترتيب.

$$\frac{T_2}{T_1} = \text{نسبة درجات الحرارة} - R_i$$

$$\frac{v_1}{v_2} = \text{نسبة الحجم} - R_v$$

S - الانتروبي، $[\text{KJ/(Kg.}^{\circ}\text{C)}]$ $\text{Btu/(lb.}^{\circ}\text{F)}$.

shp - استطاعة محور المحرك بالحصان البخاري، hp (KW) .

T - درجة الحرارة المطلقة.

T_1 - درجة حرارة كمية الحرارة المضافة، $^{\circ}\text{R}$.

T_2 - درجة حرارة كمية الحرارة المطروحة، $^{\circ}\text{R}$.

ΔT - انخفاض درجة الحرارة لغازات العادم خلال المبادل الحراري، $(^{\circ}\text{C})$ $(^{\circ}\text{F})$.

u - الطاقة الداخلية أو الذاتية، $\text{Btu/lb} (\text{KJ/Kg})$.

du - التغير في الطاقة الداخلية، $\text{Btu/lb} (\text{KJ/Kg})$.

$$\bar{V} = \text{السرعة، } \text{ft/s (m/s)}$$

v - الحجم، $\text{ft}^3 (\text{m}^3)$.

\bar{v} - الحجم النوعي، $\text{ft}^3/\text{lb} (\text{m}^3/\text{Kg})$.

w = الوزن، lb (Kg).

\bar{w}_f = كثافة السائل، lb/ft³ (Kg/m³).

\bar{w}_w = كثافة الماء، 62.4 lb/ft³ (998.4 Kg/m³).

d_w = العمل، ft.lbf (N.m).

ΔW = العمل المنجز على أو من السائل، ft.lbf (N.m/Kg).

Z = الطاقة الناتجة عن الارتفاع، ft.lbf/lbm (N.m/Kg mass).

1 - شروط الدخول أو الشروط الابتدائية.

2 - شروط المغادرة أو الشروط النهائية.

معادلة الطاقة العامة

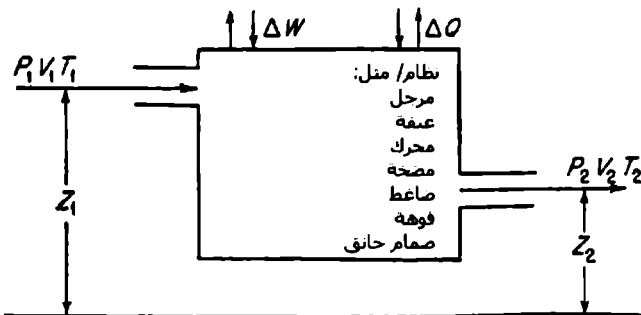
تعطى معادلة الطاقة العامة لحركة سائل ضمن نظام بالعلاقة:

$$Z_1 + \frac{\bar{V}_1^2}{2g_c} + p_1 \bar{v}_1 + u_1 J = Z_2 + \frac{\bar{V}_2^2}{2g_c} + p_2 \bar{v}_2 + u_2 J \pm W \pm \Delta QJ$$

أو

$$Z_1 + \frac{\bar{V}_1^2}{2g_c} + h_1 J = Z_2 + \frac{\bar{V}_2^2}{2g_c} + h_2 J \pm \Delta W \pm \Delta QJ$$

يجب أن تكون جميع الحدود متوافقة في نظام الوحدات (أي أن تكون وحدات جميع الحدود متحانسة ومن نفس النظام).



الشكل 8.1

قوانين الغازات

يعطى قانون Boyle للغازات المثالية وعند درجة حرارة ثابتة بالعلاقة:

$$P_1 V_1 = P_2 V_2 = \text{const}$$

ويعطى قانون Charles عند ضغط ثابت بالعلاقة:

$$\frac{V_1}{T_1} = \frac{V_2}{T_2}$$

ويعطى قانون Gay-Lussac عند حجم ثابت بالعلاقة:

$$\frac{P_1}{T_1} = \frac{P_2}{T_2}$$

دمج قوانين Boyle و Charles و Gay-Lussac: إذا كانت درجة الحرارة والضغط يتغيران معاً عندها يعطى الحجم بالعلاقة:

$$V_2 = V_1 \frac{P_1}{P_2} \frac{T_2}{T_1}$$

معادلة خواص الغاز: يعطي دمج قانوني Boyle Charles معادلة خواص الغاز المثالي:

$$pv = wRT$$

تؤخذ قيمة R للغازات المختلفة من المراجع الهندسية.

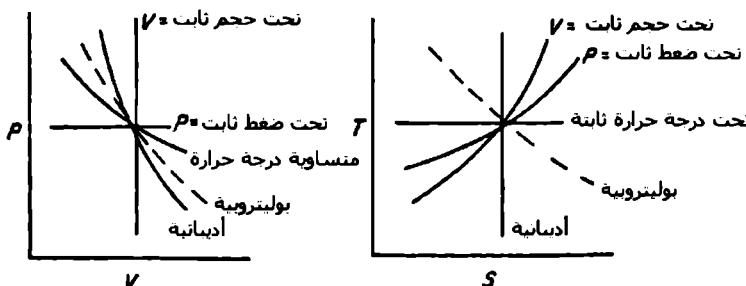
واعتماداً على فرضية Avogadro، تحتوي الحجوم المتساوية من الغازات عند نفس الضغط وتنفس درجة الحرارة على عدد متساوي من الجزيئات - أو يمثل الوزن الجزيئي بالباوند لكل غاز نفس الحجم (358.7 ft^3 عند الضغط 29.92 in Hg ودرجة الحرارة 32°F). يمكن استخدام هذه الحقيقة وجعل المعادلة السابقة تعطي الشكل المولى لمعادلة خواص الغاز:

$$pv = \bar{m}R' T$$

لا تطبق هذه المعادلة أيضاً بشكل دقيق على الغازات الحقيقية، ولكن يمكننا استخدامها بدقة كافية للعديد من الحالات. ويمكننا إضافة عامل تصحيح على الطرف الأيمن من المعادلة السابقة لأنحد تأثير السلوك غير المثالي للغاز، حيث يضرب هذا العامل بالطرف الأيمن لالمعادلة السابقة.

الأطوار أو العمليات المطبقة على الغازات المثلالية (التابمة)

إذا تم وضع كمية من الغاز التابم ضمن حوجلة (جسم) أو نظام، وهناك خمس طرق مختلفة تحدد كيفية إضافة الطاقة أو الحصول عليها من ذلك النظام: عملية متساوية درجة الحرارة، عملية متساوية الانتروري (أدبياتية)، عملية تحت حجم ثابت، عملية تحت ضغط ثابت، عملية بوليتروبية. ويوضح الشكل 8.2 هذه العمليات الخمس.



الشكل 8.2

سنورد في الجدول التالي المعادلات التي تحسب التغيرات في خصائص وأداء الغاز المثالي:

وتحسب قيمة الطاقة المضافة عبر تطبيق علاقة الطاقة التالية:

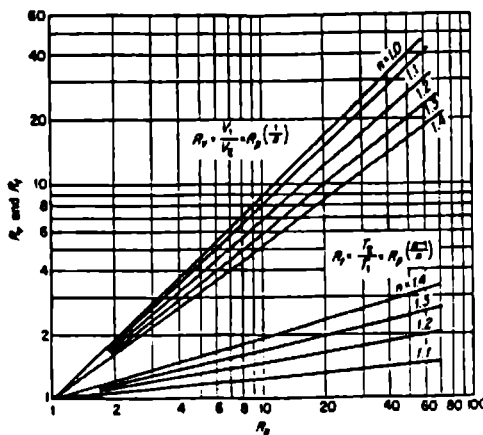
$$dQ = du + dw$$

وعند حساب تغيرات الضغط والحجم ودرجة الحرارة لقيم متغيرة للأسين n و k ، فإن من المفيد أن نذكر بأن النسب وارتفاع النسب للقوى الأساسية يمكن استخدامها وحساها كعمليات قسمة وضرب وذلك لإيجاد الأجرمية العددية، وسيفيدك الشكل 8.3 في هذه الحالة.

العملية	المادة في P_{UV}, T	المعدل غير المكون $\int_{T_1}^{T_2} P \, dU$	Q	ΔU	ΔH	ΔS
($T = \text{const}$) نحو حرارة ثابته	$P_1 V_1 = P_2 V_2$	$P_1 V_1 \ln R_e$	$\frac{P_1 V_1}{J} \ln R_e$	0	0	$\frac{wC_p}{J} \ln R_e$
$P = \text{const}$ نحو مطبات	$\frac{T_2}{T_1} = \frac{V_2}{V_1}$	$P(V_2 - V_1)$	$wC_p(T_2 - T_1)$	$wC_p(T_2 - T_1)$	$wC_p(T_2 - T_1)$	$wC_p \ln R_e$
($V = \text{const}$) نحو حجم ثابت	$\frac{T_2}{T_1} = \frac{P_2}{P_1}$	0	$wC_v(T_2 - T_1)$	$wC_v(T_2 - T_1)$	$wC_v(T_2 - T_1)$	$wC_v \ln R_e$
(الحراري) $(S = \text{const})$	$\frac{T_2}{T_1} = R_e^{1/n}$ $= \left(\frac{1}{R_p}\right)^{(n-1)/n}$	$\frac{P_2 V_2 - P_1 V_1}{1 - k}$	0	$wC_s(T_2 - T_1)$	$wC_s(T_2 - T_1)$	0
($P_{UV} = \text{const}$) بالتوصيف	$\frac{T_2}{T_1} = R_e^{n-1}$	$\frac{P_2 V_2 - P_1 V_1}{1 - n}$	$wC_v \frac{k - n}{1 - n} (T_2 - T_1)$	$wC_v(T_2 - T_1)$	$wC_v \frac{k - n}{1 - n} \ln R_e$	
	$= \left(\frac{1}{R_p}\right)^{(n-1)/n}$					

جدول 8.1 : علاقات الغازات المثالية

$$\text{ملاحظة : } R_e = \frac{V_2}{P_2} \quad R_p = \frac{T_2}{V_2} \quad R_v = \frac{P_2}{T_2}$$



الشكل 8.3

أداء الضواغط

المواصفات القياسية للضواغط الأدبياتية/ايزونتروبية

يبين الشكل 8.4 الدارة النظرية للضواغط حيث هناك ثلاث مراحل:

- (1) الامتصاص من a إلى 1.
- (2) الانضغاط من 1 إلى 2.
- (3) الإفلات من 2 إلى b.

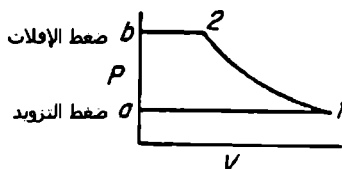
ويعطى العمل من أجل غاز مثالي ولضغط أدبياتي عكوس (أو ايزونتروبي) بالعلاقة: $PV^k = \text{const}$

$$\Delta W_{\text{adiabatic cycle}} = 144 P_1 V_1 \left(\frac{k}{k-1} \right) \left(R_p^{(k-1)/k} - 1 \right)$$

وإذا كان الانضغاط ايزونتروبياً ولغاز حقيقي معروف الخواص الترموديناميكية (مثل وسائط التبريد) عندها يعطى العمل لدورة واحدة لانضغاط تام وفق العلاقة:

$$\Delta W_{\text{adiabatic cycle}} = 778 (h_2 - h_1)$$

تعطي المعادلتان السابقتان أجيوبة مثالية إذا كان الغاز تاماً.



الشكل 8.4

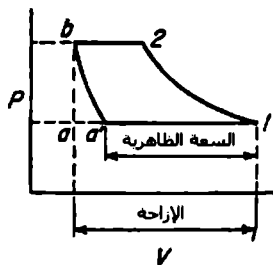
مواصفات الضاغط المتساوي درجة الحرارة

إذا تم تبريد الضاغط بشكل كبير لدرجة أن تبقى درجة الحرارة ثابتة خلال الانضغاط عندها سنحصل على عملية انضغاط متساوية درجة الحرارة، كما هو واضح على الشكل 8.5 ($pV = \text{const}$). وسيكون هناك أيضاً تخفيف للعمل أكثر من العملية الأديبانية، ويعطي العمل وفق هذه الحالة بالعلاقة:

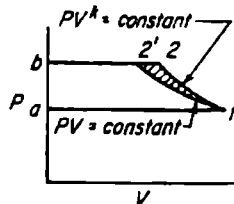
$$\Delta W_{\text{isothermal}} = 144 p_1 V_1 \ln R_p$$

مواصفات الضواغط متعددة المراحل

يسنخفض عمل الضاغط عند استخدام الضغط متعدد المراحل مع تبريد الهواء بين المراحل، وإذا كان التبريد كاملاً ودخل الهواء إلى المرحلة الأخيرة بنفس درجة حرارة دخوله للضاغط، فعندها نقول بأن التبريد كان كاملاً وتاماً. عندها سيكون العمل المطلوب أصغرياً بقيمة ضغط فريدة بين المراحل تدعى أفضل قيمة ضغط مستقبل، ويحدد العمل وفق العلاقة:



الشكل 8.6



الشكل 8.5

$$R_{p1} = R_{p2} = R_{p3} = \dots = R_p^{1/N}$$

وإذا كان الانضغاط ايزوتروبياً لكل مرحلة، أي أفضل ضغط مستقبل، مع وجود تبريد تام، عندها يعطى العمل اللازم لدوره نظرية وفق العلاقة:

$$\Delta W_{\text{multistage}} = 144 N p_1 v_1 \left(\frac{k}{k-1} \right) \left(R_p^{(k-1)/Nk} - 1 \right)$$

ومن الجدير بالذكر أنه يمكن تطبيق العلاقة $\Delta W_{\text{isothermal}} = 144 p_2 v_2 \ln R_p$ للعملية متساوية درجة الحرارة على عملية الانضغاط المفردة أو ذات المراحل.

السعة

يعبر عن السعة بحجم الهواء المعطى على أساس هواء حر "free air"، وتقاس هذه السعة عند الظروف المحيطة من ضغط ودرجة حرارة ورطوبة.

ومن أجل الآلات ذات الإزاحة الموجبة بدون خلوص، عندها يعطى الحجم كما في الشكل 8.6 بالفرق $v_2 - v_1$ ، والذي تحصل عليه من أبعاد الأسطوانات.

$$\text{إزاحة المكبس} = D = \left(\frac{\pi d^2}{4} \right) \left(\frac{l}{1728} \right)$$

$$D' = \frac{\pi d^2}{4} nl \left(\frac{l}{1728} \right)$$

$$= \frac{d^2 \ln}{2200}$$

وعما أن الآلة تملك خلوصاً يتراوح بين 2 و 20 بالمائة من الإزاحة، أي هناك ضياع في إعادة التمدد الخلوصي، لذلك ستزاح النقطة a إلى الموضع $'a'$ ، ويصبح الطول $v_1 = v_2$ أقل من الإزاحة $v_1 - v_2$ في الشكل 8.6. ونستطيع حساب هذه السعة الظاهرية بالعلاقة:

$$D(1 + c - cR_p^{1/k}) = \text{السعة الظاهرية}$$

ستكون السعة الحقيقة إذا ما قيست لضغط حقيقي أقل من هذه القيمة الظاهرية بسبب حرارة الامتصاص والانخفاض ضغط الامتصاص وضياعات التسرب. وتدعى نسبة السعة إلى الإزاحة بالمردود الحجمي، وإذا تمأخذ القياسات السابقة الحقيقة عندها:

$$\text{المردود الحجمي الفعلي \%} = \frac{\text{السعة الحقيقة المقاسة}}{\text{إزاحة المكبس}} \times 100$$

أما إذا استخدمنا السعة الظاهرية عندها نجد:

$$\text{المردود الحجمي \%} = (1 + c - cR_p^{1/k}) \times 100$$

وتدعى النسبة بين هذين المردودين بمردود الانزلاق ويعطى بالعلاقة:

$$\text{مردود الانزلاق \%} = \frac{\text{المردود الحجمي الفعلي}}{\text{المردود الحجمي الظاهري}} \times 100$$

الاستطاعة النظرية للضواغط (KW)

يمكن تطبيق معادلات العمل النظري الأربعة السابقة على الضواغط متضمنة الخلوص، وذلك لأن العمل مستقل عن الخلوص.

وإذا كان معدل التدفق الحجمي مساوياً للقيمة ft^3/min (m^3/min) 100 عندما يمكن كتابة ما يلي:

$$\frac{\text{الاستطاعة لضغط أديباني أو إيزونتروبي (hp)}}{100 \text{ ft}^3/\text{min}} =$$

$$= \frac{k}{k-1} \frac{p_1}{2.292} (R_p^{(k-1)/k} - 1) \\ = \frac{(h_2 - h_1) lb/min}{0.4242 \bar{v}_1}$$

حيث

\bar{v}_1 - الحجم النوعي، ft^3/lb عند ضغط الدخول (أو التزويد):

$$\frac{\text{الاستطاعة لضغط متساوي درجة الحرارة (hp)}}{100 \text{ ft}^3/\text{min}} = \frac{p_1}{2.292} \ln R_p$$

وفي حالة كون الضواغط متعدد المراحل مع وجود تبريد تام وأفضل ضغط مستقبل يمكن كتابة:

$$\frac{\text{الاستطاعة لضغط أديباني أو إيزوentروبي}}{100 \text{ ft}^3/\text{min}} = \frac{Np_1}{2.292} \frac{k}{k-1} (R_p^{(k-1)/Nk} - 1)$$

مردود الضغط

تعطى النسبة بين الاستطاعة الفعلية المطلوبة للضاغط إلى الاستطاعة النظرية (نفس السعة) بالعلاقة:

$$\text{مردود الضغط \%} = \frac{100 \times \frac{\text{الاستطاعة النظرية hp}}{\text{الاستطاعة الفعلية hp}}}{}$$

يمكن إيجاد الاستطاعة النظرية من المعادلات الموجودة في الفقرة السابقة والتي تعطي قيم مردودي الضغط الأديباني أو المتساوي درجة الحرارة.

وعكّس حساب الاستطاعة الفعلية بالحصان أو (KW) من البطاقة الاسمية الخاصة بالضاغط الموجود على اسطوانة الضاغط أو على محور الضاغط، أو يمكن أن تكون استطاعة الدخل الفعليّ لمحرك وحدة القيادة الكهربائية، ويجب الانتباه إلى تحديد الأساس الذي حددنا وفقه الاستطاعة الفعلية.

أداء المروحة

تعتبر المروحة ضاغطاً ولكن مع إهمال التغير في كافة الغاز قبل وبعد المروحة.

تعريف

الهواء النظامي: الهواء عند الدرجة 68 °F وضغط HG 29.92 in ورطوبة نسبية، 5 % عندها ستكون كثافتها lb/ft^3 0.07488 وبحجم نوعي ft^3/lb 13.3 وتعتبر هذه الشروط هي المرجع التي يتم وفقها قياس أداء المروحة.

السعة: هي الحجم Q المسحوب من المروحة ويقدر بالقدم المكعب بالدقيقة (أو m^3/min).

فرق الضغط (*head*): وهو الفرق بين الضغط على جانبي المروحة (طرف دخول الهواء للمروحة وطرف خروج الهواء من المروحة)، ويعبر عنه بارتفاع عمود الماء بالقدم (متر) أو إنش (مليمتر) ماء، أو بالباوند لكل إنش مربع "h" (الكيلو باسكال)، الخ.

ويمكن إعطاء معدلات التحويل بين واحات الضغط المعرفة عن فرق الضغط كما يلي:

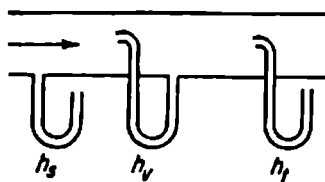
$$h_t = \frac{h''_w}{12} \frac{\bar{w}_w}{\bar{w}_f} \quad \text{ft (m) fluid}$$

$$h_t = 69.5 h''_w \quad \text{ft (m) std air}$$

$$\frac{h''_w}{27.7} = \text{الضغط} \quad \text{psi (kPa)}$$

فرق الضغط الستاتيكي والضغط الناتج عن السرعة وفرق الضغط الكلي

كما هو مبين بالشكل 8.7 فإنه يمكن قراءة ثلاثة أنواع من الضغوط داخل مجاري الهواء بعد المروحة، ويمكن الحصول على قراءة الضغط مباشرة من الضغط الستاتيكي h_s ، كما ويمكن الحصول على الضغط الناتج عن السرعة h_v من تدفق الغاز داخل المجاري والذي يجب تحديده كقيمة متوسطة مأخوذة من الأنابيب المواجه لحركة الهواء.



الشكل 8.7

وبالتالي يمكن إيجاد فرق الضغط الكلي وفق العلاقة:

$$h_t = h_s + h_v$$

ونستطيع إيجاد التحويل عبر تطبيق العلاقة:

$$Velocity = \sqrt{2g_c h_v} \text{ ft/s (m/s)}$$

وبإضافة التحويل نجد أن:

$$h_t = \frac{h'' w}{12} \frac{\bar{W} w}{\bar{W}_f} \text{ ft(m) fluid}$$

$$Velocity = 1096.2 \sqrt{\frac{h''_w}{w_f}} \text{ ft/min (m/min)}$$

وإذا تم استخدام شروط الهواء النظامي فإننا سنحصل على العلاقة التالية للسرعة:

$$Velocity = 4005 \sqrt{h''_w} \text{ ft/min (m/min)}$$

يعتمد أداء المروحة بشكل رئيسي على فرق الضغط статический وفرق الضغط الكلي، وستكون هذه الصيغة أكثر واقعية لأنها الصيغة الوحيدة لفرق الضغط التي يمكن استخدامها للتعبير عن مقاومة النظام.

استطاعة المروحة

تعطى الاستطاعة النظرية بالعلاقة التالية:

$$Air \text{ hp (kW)} = \frac{\rho h''_w}{6355}$$

يمكن استخدام فرق الضغط الستابتيكي أو الكلي في هذه العلاقة، ويعطيان قيمتين للاستطاعة، وت تكون القيمة الأخيرة هي الأكبر.

استطاعة المحور (Shp)

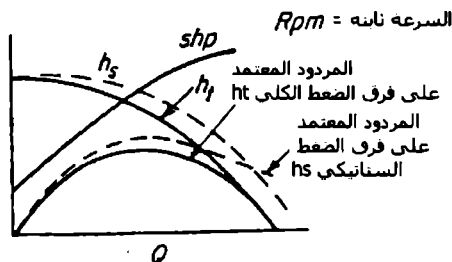
تقاس استطاعة محور دخل أو قيادة المروحة بواسطة مقياس دينامومتر مناسب، ويجدد مردود المروحة بالعلاقة:

$$\text{Fan eff, \%} = \frac{\text{air hp}}{\text{shp}} \times 100$$

وتباع هذه القيمة فرق الضغط المستخدم هل هو ستابتيكي أم كلبي.

الصفات المميزة للمروحة

تعمل المروحة - مثل باقي الآلات المسرعة للموائع - وفق منحنيات مميزة، وبين الشكل التالي (8.8) مجموعة من المنحنيات المميزة لمروحة نموذجية. وتكون هذه المنحنيات محددة بدقة لكل مروحة ويجب أن تعمل المروحة وفق إحدى نقاط هذه المنحنيات المميزة.



الشكل 8.8

قوانين المروحة

انظر الفصل السابع المحتوى لهذه القوانين.

مميزات الأداء للآلات المكبسة

الضغط الفعال الوسطي

إن من المناسب عند قياس أداء الآلات المحتوية على اسطوانات ومكابس استخدام الضغط الفعال الوسطي، ويعرف الضغط الفعال الوسطي - كما هو مبين بالشكل 8.9 - على أنه الفرق في الضغط على جانب المكبس، حيث يؤدي هذا الفرق إلى تحريك المكبس في الحركات، أو يقاوم حركة المكبس في المضخات، والذي يمكن تحديده كما يلي:

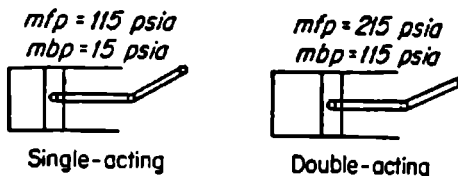
الضغط الفعال الوسطي (mep) - الضغط الوسطي أمام المكبس (mfp) — الضغط الوسطي خلف المكبس (mbp).

لذلك فإنه ومن أجل المكبس أحادي الفعل أو ثانوي الفعل المبين في الشكل 8.9 فإن الضغط الفعال الوسطي هو نفسه في الحالتين (psi 100) وذلك لأنه يمكننا حسابه في المكبس الأول كما يلي:

$$mep = 115 - 15 = 100 \text{ psi}$$

ومن أجل المكبس الثاني:

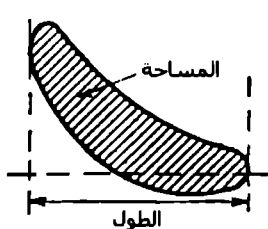
$$mep = 215 - 115 = 100 \text{ psi (kPa)}$$



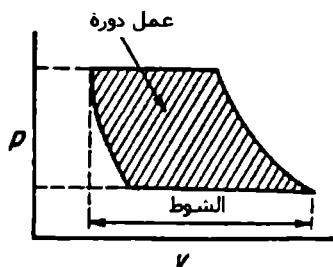
الشكل 8.9

تعتبر قيم هذه الضغوط وسطية وأنها ثابتة على كامل الشوط، ويمكن حسابها تحت شروط دورية نظرية غير استخدام طرق الترموديناميكي وميكانيكي المواتع. وهكذا فإن مساحة المخطط P-V المبينة في الشكل 8.10 تمثل العمل اللازم لدوره واحدة، ويعبر عنه بالقدم - باوند. إذا تم تقسيم تلك المساحة على كامل طول المخطط، والتي تعني وفق الشوط أو الإزاحة فإننا سنحصل على ارتفاع شاقولي للمستويات الممثلة لتلك المساحات، يمثل هذا الارتفاع الضغط الفعال الوسطي (mep) كما يلي:

$$mep = \frac{\text{عمل دورة, ft.lb}}{\text{الإزاحة, } \text{ft}^3 \times 144 \text{in}^2/\text{ft}^2} = \frac{\text{lb}}{\text{in}^2}$$



الشكل 8.11



الشكل 8.10

ويحدّد الضغط الفعال الوسطي الحقيقى من المساحات البلاستيكية لبطاقة المؤشر مقسومة على الطول ومصرورة بمقاييس النابض، ولذلك يمكننا كتابة المعادلة التالية ووفق الشكل 8.11:

$$mep = \frac{\text{area,in}^2}{\text{length in}} \times \text{spring scale, lb/(in}^2.\text{in})$$

الاستطاعة الظاهرية

يستخدم الضغط الفعال الوسطي لحساب الاستطاعة الظاهرية كما يلى:

$$\text{Indicated hp} = mep \frac{\text{Lan}}{33,000}$$

ونحصل على التغيرين θ و L مباشرة من قطر الاسطوانة وطول الشوط. وتعتمد عدد الدورات الكاملة في الدقيقة على تركيب أو تصميم آلية الحركة. ونعني بذلك، أحادي أو ثانوي الفعل، عدد الاسطوانات، وعدد الأشواط أو الدورات اللازمة لإنجاز دورة ترموديناميكية كاملة.

استطاعة المحور أو الكبح

تعطى استطاعة المحور أو الكبح والملاحة بالدينامومتر أو عكبح Prony بالعلاقة التالية:

$$\begin{aligned} hp &= \frac{2\pi LFN}{33,000} \\ &= \frac{LFN}{5250} \end{aligned}$$

ضغط الكبح الفعال الوسطي أو ضغط الكبح الوسطي

إن من غير الممكنأخذ معلومات من البطاقات الاسمية للمحركات أو الضواغط ذات السرعة العالية، ولكن تؤخذ قراءة استطاعة الكبح (brake horsepower) (bhp) والتي يعبر عنها بضغط الكبح الوسطي المكافئ، بالموافقة والمساواة بين المعاذلين السابقين أو:

$$\text{Brake mean pressure, psi (kPa)} = \frac{bhp}{Lan} \times 33,000$$

ضغوط الاحتكاك الوسطية

يقيس ضغط الاحتكاك الوسطي الضياعات بين الاسطوانات والمحاور:

فهي المحركات: ضغط الاحتكاك الوسطي، (psi) (kPa) - الضغط الفعال الوسطي المؤشر - ضغط الكبح الوسطي.

وفي الضواغط أو المضخات:

ضغط الاحتكاك الوسطي، (psi) (kPa) - ضغط الكبح الوسطي - الضغط الوسطي المؤشر.

المردود الميكانيكي

يعتبر المردود الميكانيكي طريقة أخرى للتعبير عن الضياعات بين الاسطوانة والمحور:

فهي المحركات:

$$\text{Mechanical eff} = \frac{\text{bhp}}{\text{indicated hp}} \times 100$$

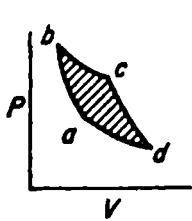
وفي الضواغط أو المضخات:

$$\text{Mechanical eff} = \frac{\text{indicated hp}}{\text{bhp}} \times 100$$

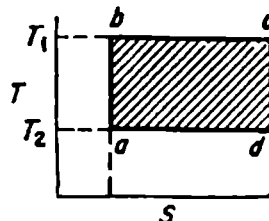
الدارات الحرارية للمحرك. النظرية

دارة كارنو (Carnot)

يعطى المردود الحراري الأعظمي لتحويل الحرارة إلى عمل من قبل دارة كارنو (الشكل 8.12)، ويكون هذا المردود مستقلاً عن خواص الوسيط العامل ويعادل كثافة:



الشكل 8.13



الشكل 8.12

$$\frac{\text{العمل المنجز}}{\text{الحرارة المضافة}} - \text{ المردود الحراري}$$

$$= \frac{Q_1 - Q_2}{Q_1} = \frac{T_1 - T_2}{T_1}$$

يعتمد الضغط الفعال الوسطي لدارة كارنو على خواص الوسيط العامل، ومن أجل غاز معين (الشكل 8.13) لدينا:

$$\text{Thermal eff} = 1 - \left(\frac{1}{R_v} \right)^{k-1}$$

وبطء الشكل 8.14 نتائج تطبيق هذه المعادلة على دارة كارنو، باستخدام الهواء كوسقط عمل ($k=1.4$). ويعطي عمل الدارة بالعلاقة التالية حيث تملك الرموز نفس مدلوها في الشكل 8.13:

$$\Delta W_{\text{cycle}} = (T_2 - T_1) \frac{WR}{J} \ln \frac{v_c}{v_b}$$

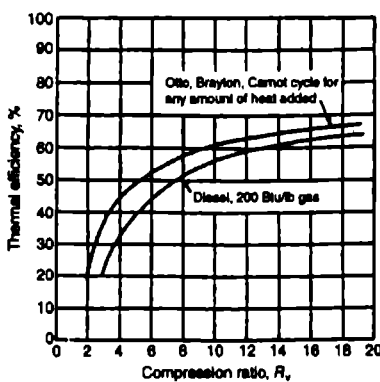
و

$$mep = \frac{(T_2 - T_1)WR \ln(v_c / v_b)}{v_d - v_b}$$

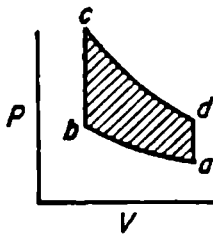
ومن أجل البخار الرطب مثل بخار الماء (الشكل 8.15):

$$mep = \frac{W_{\text{cycle}}}{v_d - v_b}$$

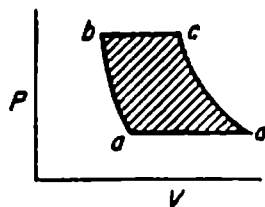
$$W_{\text{cycle}} = \text{area abcd}$$



الشكل 8.14



الشكل 8.16



الشكل 8.15

دارة اوتو (Otto)

تعتبر هذه الدارة هي الدارة الأساسية المستخدمة في المحركات البترولية أو محركات المزج الأخرى (الشكل 8.16) ويعطى المردود الحراري بالعلاقة:

$$\text{Thermal eff} = 1 - \left(\frac{1}{R_v} \right)^{k-1}$$

ولقد تم إظهار القيم بيانياً من أجل الهواء في الشكل 8.15.

$$\text{Work, ft.lb} = JQ_{\text{added}} \times \text{thermal eff}$$

$$\text{mep, psi} = \frac{\text{work}}{144(v_a - v_b)}$$

حيث وضعت الأدلة بما يتواافق مع الشكل 8.16.

دارة ديزل Diesel

تعتبر هذه الدارة هي الدارة الأساسية لمحركات الاحتراق الداخلي ذات الحقن (الشكل 8.17)، ويعطى المردود الحراري لها كما يلي:

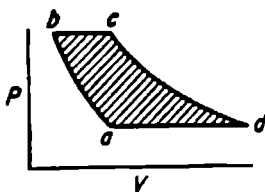
$$\text{Thermal eff} = 1 - \frac{1}{(v_a/v_b)^{k-1}} \frac{(v_c/v_d)^k - 1}{K(v_c/v_d - 1)}$$

ويبين الشكل 8.15 هذه القيم من أجل هواء نظامي.

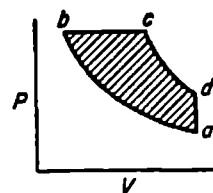
$$\text{Work} = J[W C_p (T_c - T_b) - W C_v (T_d - T_a)]$$

$$mep = \frac{\text{work}}{v_a - v_b}$$

كما يمكن تقدير الحرارة التي يمكن استردادها من غازات العادم بالعلاقة التالية:



الشكل 8.18



الشكل 8.17

$$Q = \text{shp } C \frac{\Delta T}{4}$$

دارة برايتون (Brayton)

تستخدم هذه الدارة للتعبير عن منشآت طاقة العنفات الغازية (الشكل 8.18)، ويعطى المردود الحراري لها بالعلاقة:

$$\text{Thermal eff} = 1 - \left(\frac{1}{R_v} \right)^{k-1}$$

وستؤخذ المعطيات بيانياً من الشكل 8.15 ومن أجل الهواء النظامي. حيث يعطى العمل والضغط الفعال المتوسط بالعلاقة:

$$\text{Work} = W C_p J (T_c - T_b - T_d + T_s)$$

$$mep = \frac{\text{work}}{v_d - v_b}$$

دارة رانكين (Rankine)

يتم إيجاد قيم الدارة النظرية الحرارية على البخار مثل بخار الماء، فقط من أجل خواص فيزيائية حقيقة للماء، كذلك المعطاة في جداول بخار الماء وخطوطات مولlier (Mollier)، ويحسب العمل المحرك الأساسي ΔW_{pm} لمعادلة القدرة العامة كما هو مبين بالشكلين 8.19 و 8.20 الذي يساوي:

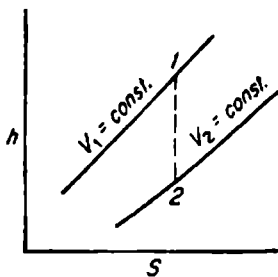
$$\Delta W_{pm} = h_1 - h_2 \quad \text{Btu/lb (kJ/kg)}$$

حيث

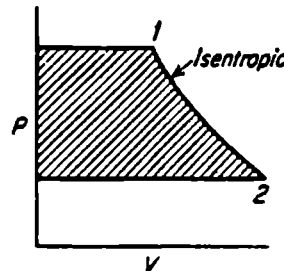
h_1 = انتالبي الصمام الخائق، Btu/lb

h_2 = انتالبي غازات العادم (عند نفس الانتروبي للقيمة h_1)، Btu/lb

ويعطى معدل الماء أو معدل بخار الماء بالعلاقة:



الشكل 8.20



الشكل 8.19

$$\text{Water rate} = \frac{3412.75}{\Delta W_{pm}} \quad \text{lb/kWh}$$

$$= \frac{344.1}{\Delta W_{pm}}$$

حيث يمثل ΔW_{pm} عمل مضخة التزويد المطلوب لإيصال الماء إلى المرجل (الشكل 8.21) وبطبيعة الحال:

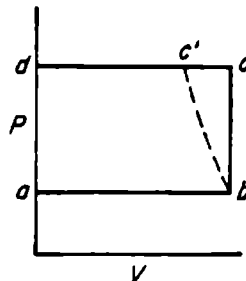
$$\Delta W_{pm} = h_c - h_b \quad \text{Btu/lb (kJ/kg)}$$

حيث

h_b = انتالبي السائل الداخل إلى المضخة، Btu/lb (kJ/kg)

h_c = انتالبي السائل الخارج من المضخة (وله نفس الاتساع للقيمة h_b)، Btu/lb (kJ/kg)

إذا كان الماء غير قابل للانضغاط عندما ستنطبق النقطة c' على النقطة c في الشكل 8.21 ويكون لدينا:



الشكل 8.21

$$\text{Btu/lb} = \frac{\Delta p \times 144 \times \bar{v}}{778} = \frac{\text{head on pump}}{778}$$

عمل الدارة الصافي $\Delta W_{net} = \Delta W_{pm} - \Delta W_{fp}$ Btu/lb (kJ/kg)

كمية الحرارة المضافة لإنتاج بخار الماء $= \Delta Q_{added}$

$$= h_1 - h_{2_{liq}} - \Delta W_{fp} \quad (\text{Btu/lb}) \text{ (kJ/kg)}$$

حيث

$h_{2_{liq}}$ - انتالبي السائل المشبع عند مخرج الناقل الأساسي.

$$\begin{aligned} \frac{\Delta W_{net}}{\Delta Q_{added}} &= \text{المردود الحراري لدائرة رانكين} \\ &= \frac{h_1 - h_2 - \Delta W_{fp}}{h_1 - h_{2_{liq}} - \Delta W_{fp}} \end{aligned}$$

ستصبح ΔW_{fp} دارات الضغط المنخفض صغيرة ويمكن إ忽اها وبالتالي سنحصل على ما يلي:

$$\frac{h_1 - h_2}{h_1 - h_{2_{liq}}} \approx \text{المردود الحراري لدائرة رانكين}$$

$$\text{معدل كمية الحرارة المزودة لدائرة رانكين} = \frac{3412.75}{\text{thermal eff}} \text{ Btu/kWh supplied}$$

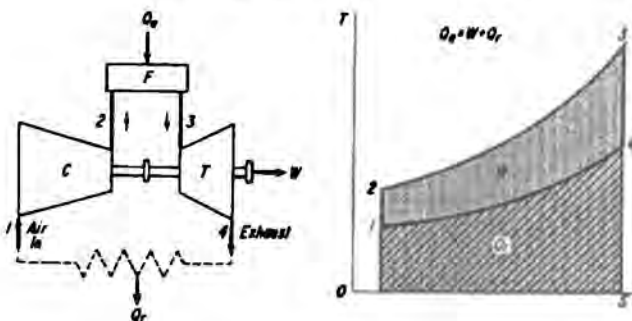
المسعر الخانق (THROTTLING CALORIMETER)

يعمل المسعر الخانق المستخدم لقياس انتالبي البخار الرطب وفق أساس توسيع متساوي الانثالبي من شروط خط الضغط العالي إلى الضغط ضمن غرفة المسعر. ولإيجاد الحلول البيانية عليك استخدام مخطط مولlier (Mollier) الموجود في معظم مراجع الهندسة الميكانيكية، حيث يكون فيها:

$$h_{\text{calorimeter chamber}} = h_{\text{high-pressure line}}$$

العنفات الغازية

يبين الشكل 8.22 و 8.23 مخططًا لعنفة غازية بسيطة ذات دارة مفتوحة والمخطط لها، كما يعطي الشكل معادلات العمل للضغط، غرفة الاحتراق، والعنفة، كما يبين الشكل أيضًا المخططات $V - P$ لكل عنصر من الدارة.



الشكل 8.22

وكل الاختصارات والرموز المستخدمة في الشكل 8.23 معطاة في الجدول 8.2. وسنورد الآن مختلف المعادلات الممثلة لعنفة غازية بسيطة ذات دارة مفتوحة:

$$T_2 = T_1 P_r^{(k-1)/k}$$

$$W_c = c_p (T_2 - T_1)$$

$$Q_a = c_p (T_3 - T_2)$$

$$T_4 = \frac{T_3}{P_r^{(k-1)/k}}$$

$$W_t = c_p (T_3 - T_4)$$

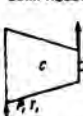
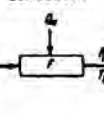
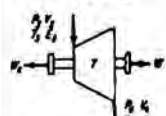
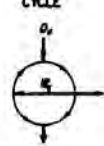
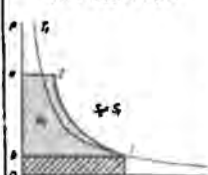
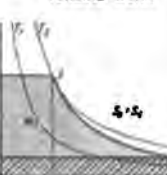
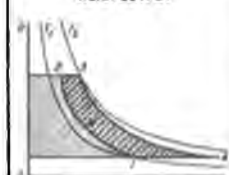
$$\text{Thermal eff} = \frac{W}{Q_a} = \frac{W_t - W_c}{Q_a}$$

$$\text{Thermal eff} = 1 - \frac{1}{P_r^{(k-1)/k}}$$

$$\text{TEnergy in exhaust} = c_p(T_4 - T_1) \quad \text{Btu/lb air}$$

$$Q_r = Q_a - W$$

$$P_3 = P_1 P_r$$

COMPRESSOR	COMBUSTOR	TURBINE
		
(1) $\frac{P_1 V_1}{J} + E_1 = H_2 + \frac{P_2 V_2}{J} + E_2$	(2) $H_2 + H_3 = H_4$	(3) $\frac{P_2 V_2}{J} + E_2 = \frac{P_3 V_3}{J} + E_3$
(4) $H_2 = H_3 - H_1$	(5) $H_3 + Q_a = H_4$	(6) $H_2 + H_3 + W = H_6 + H_7 + W$
(7) $H_2 = H_3 - H_1$	(8) $Q_a = c_p(T_3 - T_4)$	(9) $H_2 = H_3 - H_1 + W$
(10) $W = H_3 - H_1 - H_2 + c_p(T_2 - T_1)$		(11) $W = H_3 - H_1 - H_2 + c_p(T_2 - T_1 + T_3 - T_4)$
HEAT REJECTED	CYCLE	ENERGY FLOW
		
(12) $\frac{P_1 V_1}{J} + E_1 = \frac{P_2 V_2}{J} + E_2 + Q_r$	(13) $Q_r = W + Q_a$	(14) Thermal efficiency $= \frac{W}{Q_a}$
(14) $H_2 = H_1 + Q_r$	(15) $W = Q_a - Q_r + H_2 - H_3 / (H_4 - H_3)$	(15) $= \frac{c_p(T_3 - T_4) - c_p(T_1 - T_2)}{c_p(T_3 - T_2)}$
(15) $Q_r = H_2 - H_1$	(16) $W = c_p(T_2 - T_3 - T_4 + T_1)$	(16) $= 1 - \frac{T_3 - T_1}{T_3 - T_2}$
(16) $Q_r = c_p(T_2 - T_1)$		
COMPRESSOR WORK	TURBINE WORK	WORK OUTPUT
		
$W_c = \frac{P_2 V_2}{J} - \frac{P_1 V_1}{J} + E_2 - E_1$	$W_t = \frac{P_3 V_3}{J} - \frac{P_4 V_4}{J} + E_3 - E_4$	$W = H_2 - H_1$

الشكل 8.23

الجدول 8.2 الاختصارات والرموز المستخدمة في الشكل 8.23

a	- التسارع، ft/s^2 .
A	- المساحة، ft^2 .
bdc	- المركز الميت السفلي.
$bhphr$	- استطاعة الكبح - ساعة.
$bmep$	- ضغط الكبح الفعال الوسطي.
$bsfc$	- استهلاك الوقود النوعي الكابح.
Btu	- وحدة حرارية بريطانية.
c	- خلوص الصاعق المموجي.
C	- الحرارة النوعية، Btu/lb .
C_b	- الحرارة النوعية البوليترورية، Btu/lb .
C_b	- الحرارة النوعية تحت ضغط ثابت، Btu/lb .
C_v	- الحرارة النوعية تحت حجم ثابت، Btu/lb .
C	- ذرة الكربون.
C_d	- معامل فوهه التصريف.
C_v	- معامل سرعة الفوهه.
CO	- رمز أول أكسيد الكربون.
CO_2	- رمز ثاني أكسيد الكربون.
COP	- معامل الأداء.

d = بعد، ft.

D = كثافة الغاز، lb/ft^3 .

e = المردود الحراري للدارة.

e_b = مردود المرجل، (مولود البخار).

e_c = مردود الضاغط.

e_e = مردود المحرك.

e_n = مردود الفوهه.

e_r = فعالية المبادل.

e_s = مردود المرحلة.

e_t = المردود الحراري.

e_v = المردود الحجمي للضاغط.

e_D = مردود الرذاذات.

e_N = مردود الفوهه.

E = الطاقة الداخلية، Btu/lb

E_k = الطاقة الحركية، Btu أو $\text{ft.lb}/\text{lb}$

E_p = الطاقة الكامنة، $\text{ft.lb}/\text{lb}$

F = القوة، $(= ma) \text{ lb}$

F = درجة الحرارة، بالدرجات فهرنهايت.

g = تسارع الجاذبية الأرضية = 32.2 ft/s^2

h_f - انتالجي السائل، Btu/lb

h_{fg} - انتالجي التبخر، Btu/lb

h_v - انتالجي البحار، Btu/lb

$h-p$ - الضغط العالي.

H - الانثالجي، ft.lb/lb أو Btu

H - ذرة الهيدروجين.

H_i - انتالجي الركود، Btu/lb

$H_1 + E_{k1} =$

H_2O - الرمز الكيميائي للماء أو لبخار الماء.

HHV - قيمة الحرارة العليا، Btu/lb

HR - معدل كمية الحرارة، Btu/Kwhr

Ihp - الاستطاعة الظاهرية.

J - $\text{ft.lb/Btu} \times 778.26$

in. Hg abs -إنش زئبق مطلق.

k - نسبة الحرارة النوعية = $\frac{C_p}{C_v}$

KE - الطاقة الحركية، Btu/lb أو ft.lb

kwhr - كيلو واط ساعي = $\text{Btu} / 3412.75$

\log_e - اللوغاريتم ذو الأساس e .

$l-p$ - ضغط منخفض.

L - طول شوط المكبس، ft.

m - الكتلة - W/g

m - تدفق نزف الهواء، لبرة لكل لبرة تدفق بخار ماء من الفوهة.

M - المادة.

M - رقم ماخ.

M - الوزن المولى.

n - ثابت العملية البوليترورية.

N - عدد العناصر الكلية.

O - رمز الأوكسجين.

.lb/ft² - ضغط psf

.lb/ft² - مطلق psfa

.lb/ft² - مقاس psfg

.lb/in² - psi

.lb/in² - مطلق psia

.lb/in² - مقاس psig

psi, psf, psia, psig, psfa, psfg - الضغط P

P_c - ضغط الفوهة الخرج، psia, psfa

P_m - الضغط الفعال الوسطي، psi, psf

P_s - ضغط الركود، psia psfa

- P_r - نسبة الضغط.
- P_r - الضغط المخفي.
- Q - كمية الحرارة المنقولة، Btu/lb .
- Q_c - كمية الحرارة المضافة للدار، Btu/lb .
- Q_r - كمية الحرارة المطروحة من الدار، Btu/lb .
- R - ثابت الغاز.
- R - درجة الحرارة المطلقة، درجة رانكين .Rankine
- R_u - ثابت الغازات العام = 1545.
- RF - عامل إعادة التسخين.
- RH - الرطوبة النسبية، بالمئة.
- s - مسافة أو طول، ft .
- s_f - انتروبي السائل، $\text{Btu/lb} \cdot ^\circ\text{F}$.
- s_{fg} - زيادة الانتروبي عند التحول من سائل مشبع إلى بخار $\text{Btu/lb} \cdot ^\circ\text{F}$.
- s_v - انتروبي البخار، $\text{Btu/lb} \cdot ^\circ\text{F}$.
- S - الانتروبي، $\text{Btu/lb} \cdot ^\circ\text{F}$.
- S - ذرة الكبريت.
- SH - الرطوبة النوعية، ليرة بخار لكل ليرة غاز حاف.
- SR - تدفق بخار الماء lb/Kwhr .
- t - درجة الحرارة، $^\circ\text{F}$.

t_s - الزمن، s.

tdc - المركز الميت السفلي.

T - درجة الحرارة المطلقة، $^{\circ}R$.

T_c - درجة الحرارة الحرجة للفوهة، $^{\circ}R$.

T_r - درجة حرارة الركود، $^{\circ}R$.

T_f - درجة حرارة المستقبل، $^{\circ}F$.

T_r - درجة الحرارة المحفضة.

T_b - درجة حرارة المباع.

\overline{TH} - كمية الحرارة الكلية (Btu) لكل ليبرة من المزيج.

u - السرعة، fps (ft/s).

v - السرعة، fps (ft/s).

v_f - الحجم النوعي للسائل المشبع، ft^3/lb .

v_b - زيادة الحجم النوعي لانتقال السائل المشبع إلى بخار، lb .

v - الحجم النوعي للبخار، ft^3/lb .

V - الحجم النوعي، ft^3 .

V_c - حجم الخلوص، ft^3 .

V_d - الحجم المزاح، ft^3 .

V_m - حجم المول، ft^3 .

V_1, V_2 - نسبة الانضغاط، $\frac{V_1}{V_2}$.

v_r - الحجم المخفيض.

v_i - الحجم الكلي، ft^3 .

w - وزن الكتلة، lb .

W - العمل الميكانيكي Btu/lb أو ft.lb .

W_o - خرج العمل الحركي، Btu أو ft.lb/lb .

W_r - عمل التدفق، ft.lb أو Btu/lb .

W_H - العمل في اسطوانات الضغط العالي، Btu/lb أو ft.lb .

W_L - العمل في اسطوانات الضغط المنخفض، Btu/lb أو ft.lb .

W_o - ليرة أو كسجين لكل ليرة وقود.

W_e - العمل الداخلي للمضخة، Btu أو ft.lb/lb .

z - النسبة المئوية للحرودة.

y - النسبة المئوية للرطوبة.

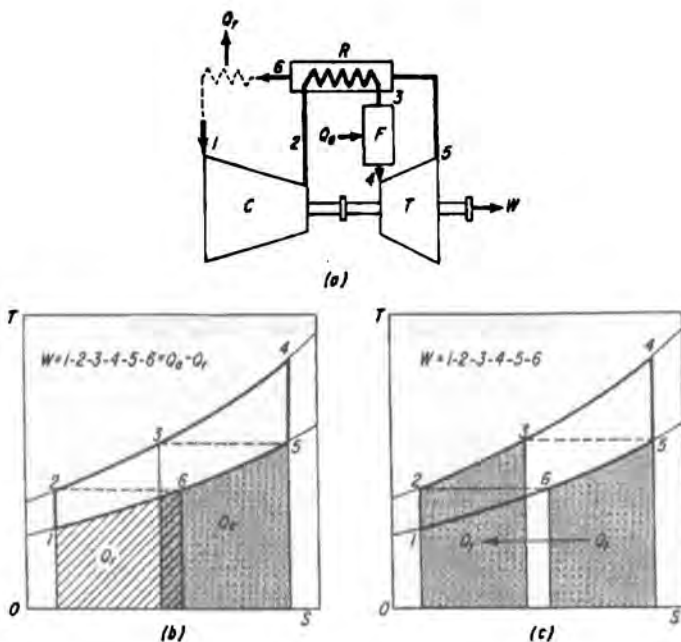
Z - عامل قابلية الانضغاط.

يظهر الشكل 8.25 دارة عنفة غازية مع استرجاع حراري، وتعطي معادلات الأداء لهذا النوع من العنفات كما يلي:

$$Q_t = c_p (T_5 - T_6) = c_p (T_3 - T_2) \text{ Btu/lb air}$$

$$Q_o = c_p (T_4 - T_3)$$

$$W_t = c_p (T_4 - T_5)$$



الشكل 8.25

$$e_t = \frac{W}{Q_a} = \frac{W_f - W_c}{Q_a}$$

$$e_t = 1 - \frac{T_1}{T_4} P_r^{(k-1)/k}$$

$$Q_r = Q_a - W$$

$$P_4 = P_l P_r$$

9

معادلات هندسة الطاقة

عوامل أداء منشآت الطاقة

يُعرف معدل كمية الحرارة للأداء الحراري الكلي كما يلي:

$$\frac{\text{كمية الحرارة المخزنة بالوقود خلال مدة, Btu}}{\text{kWh}} = \frac{\text{معدل كمية الحرارة Btu/kWh}}{\text{الطاقة المستخرجة خلال نفس الفترة, kWh}}$$

$$(Btu/kWh \times 2.33 = kJ/kWh)$$

$$\frac{3412.75}{\text{كمية الحرارة}} - \frac{100 \times \text{المروود الحراري, \%}}{\text{}} = \frac{\text{}}{\text{}} \quad \text{المروود الحراري, \%}$$

$$\frac{100 \times \frac{\text{متوسط الحمل خلال فترة, kW}}{\text{kW}}}{\text{ الاستطاعة المحددة, kW}} - \frac{\text{عامل الاستطاعة, \%}}{\text{}} = \frac{\text{}}{\text{}} \quad \text{عامل الاستطاعة, \%}$$

$$\frac{100 \times \frac{\text{متوسط الحمل خلال فترة, kW}}{\text{kW}}}{\text{ حمولة النروءة خلال نفس الفترة, kW}} - \frac{\text{عامل التحميل, \%}}{\text{}} = \frac{\text{}}{\text{}} \quad \text{عامل التحميل, \%}$$

أداء مولد البخار (المرجل)

رموز وأصطلاحات

. h_{steam} - اثالي الوحدة الخارجة من مولد البخار (خرج المخصّص)، (Btu/lb) (kJ/Kg)

. $h_{feedwater}$ - اثالي ماء التزويد الداينل لمولد البخار (دخل المؤفر)، (Btu/lb) (kJ/Kg)

. W_m - نسبة الرطوبة في الوقود، (.lb/lb) (Kg/Kg)

. t_{fuel} - درجة حرارة الوقود، (°F) (°C)

. t_{fg} - درجة حرارة غاز المدخنة، (°F) (°C)

H_2 - ليارة هيدروجين في كل ليارة وقود، يوخذ من التحاليل المحراة على الوقود .(Kg/Kg)

W_{d1} - وزن هواء التزويد الجاف، (Kg/Kg fuel)

W_w - وزن بخار الماء لكل ليارة هواء جاف (Kg/Kg).

t_a - درجة حرارة المحيط، أو درجة حرارة الهواء الداخل إلى مسخن الماء، (°C) (°F).

W_{dg} - وزن غازات الوقود الجافة، (Kg/Kg fuel)

C - ليارة كربون في كل ليارة وقود، ويأخذ من التحاليل المحراة على الغاز (Kg/Kg).

CO - نسبة غاز CO في غازات العادم، يوخذ كنسبة مئوية وعلى أساس الحجم الجاف.

CO_2 - نسبة غاز CO_2 في غازات العادم، يوخذ كنسبة مئوية وعلى أساس الحجم الجاف.

$refuse$ - ليارة نفايات (مخلفات) لكل ليارة وقود، وهي المحترقة في فرن مولد البخار (Kg/Kg).

ash - ليارة رماد لكل ليارة وقود، وتؤخذ من التحاليل المحراة على الوقود (Kg/Kg)

كمية الحرارة المضافة إلى بخار الماء

$$\Delta Q = h_{steam} - h_{feedwater} \quad \text{Btu/lb (kJ/kg)}$$

وإذا كان لدينا حمصاً للبخار فعندها يجب أن نضيف كمية الحرارة المضافة للتحبيص إلى كمية الحرارة المضافة وهي:

$$h_{reheat} = h_{leaving reheater} - h_{entering reheater}$$

قدرة مولد البخار وكمية البخار الناتج

يستخدم مصطلح استطاعة المولد المطورة (developed boiler horsepower) - في نماذج مولدات البخار الصغيرة - لقياس خرج مولد البخار، أو كمية الحرارة المضافة إلى بخار الماء، والتي تعرف على أنها كمية الحرارة اللازمة لتبيخير 34.5 ليرة (15.7 Kg) من الماء اعتباراً من الدرجة (100 °C) (212 °F) (100 °C) وذلك:

$$34.5 \times 970.4 = 33,479 \text{ Btu/h (9.8 KW)}$$

وتعرف استطاعة المولد المقدرة كما يلي:

$$\text{سطح تسخين (0.920 m}^2\text{)} = 10 \text{ ft}^2 = \text{استطاعة المولد المقدرة}$$

بالتالي

$$100 \times \frac{\text{استطاعة المولد المطورة}}{\text{النسبة المئوية المقدرة}} - \frac{\text{استطاعة المولد المقدرة}}{\text{استطاعة المولد المقدرة}}$$

عامل التبيخir (FE)

$$FE = \frac{\text{كمية الحرارة الفعلية الممتصة لتحويل الماء إلى بخار}}{\text{كمية الحرارة الكامنة للبخار اعتباراً من الدرجة (100°C) (212°F)}}$$

$$= (h_{\text{steam}} - h_{\text{feedwater}})/970.4 \text{ (2262 kJ/kg)}$$

التبيخir

التبيخir الفعلي AE، ليرة بخار ماء لكل ليرة وقود (Kg/Kg)

$$- \frac{\text{كمية البخار المولدة (kg)}}{\text{كمية الوقود المحروقة (kg)}} \text{ خلال نفس الفترة}$$

التبخير المكافئ EE، ليبرة بخار ماء لكل ليبرة وقود (Kg/Kg) اعتباراً من الدرجة .212 °F (100 °C)

- التبخير الفعلى AE × عامل التبخير الفعلى FE

$$FE \times AE =$$

مردود مولد البخار

$$\frac{\text{كمية الحرارة المضافة إلى بخار الماء حلال فترة، (kJ)}}{\text{كمية الحرارة الموجودة في الوقود حلال نفس الفترة،}} = \text{مردود مولد البخار}$$

$$\frac{\text{Btu(kJ)}}{\text{Btu(KJ)}}$$

تعرف كمية الحرارة الموجودة في الوقود على أنها أعلى قيمة لكمية الحرارة البدائية المخزنة في الوقود وفق أساسيات الاحتراق.

الضياعات وتوازن كمية الحرارة

إن من الممكن وغير تطبيق القانون الأول في термодинاميك إيجاد جميع كميات الحرارة الموجودة ضمن الوقود عبر إضافة جميع الضياعات إلى كمية الحرارة المضافة لبخار الماء.

الضياعات الناتجة عن وجود الرطوبة في الوقود

$$= W_m (1090.7 - t_{fuel} + 0.455 t_{fg}) \quad \text{Btu/fuel}$$

حيث

$$\text{Btu/lb} \times 2.33 = \text{kJ/Kg}$$

الضياعات الناتجة عن احتراق الهيدروجين إلى بخار ماء بدلاً من سائل.

$$= 9 \times H_2 (1090.7 - t_{fuel} + 0.455 t_{fg}) \quad \text{Btu/lb fuel}$$

حيث

H_2 = ليبرة هيدروجين لكل ليبرة وقود، وتؤخذ من التحاليل المخراة على الوقود.
 (Kg/Kg)

الضياعات الناتجة عن الرطوبة في الماء.

$$= W_{fg} \times W_w \times 0.47 (t_{fg} - t_w) \quad \text{Btu/lb fuel}$$

الضياعات الناتجة عن غازات العادم الحارقة = $0.24 W_{fg} (t_{fg} - t_w)$

مولّدات البخار

يتم حساب مردود مولّد البخار باستخدام المعادلات التالية (انظر الشكل 9.1):

$$\frac{\text{المردود، Btu/h}}{\text{الدخل، Btu/h}} = \frac{\text{النفاذ، Btu/h}}{\text{الدخل، Btu/h}}$$

$$Btu/h = S(h_g - h_{f1}) + S_r (h_{g3}/h_{g2}) + B (h_B - h_{f1})$$

حيث

S = تدفق بخار الماء، lb/h .

S_r = تدفق بخار الماء الحمّص، (في حال وجوده)، lb/h .

B = التصريف، lb/h .

$$\text{الدخل} \quad Btu/h = FH$$

حيث

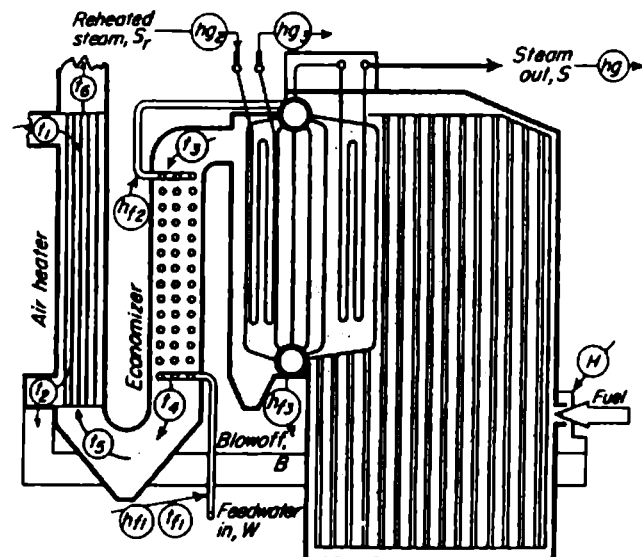
F = الوقود الداخلي، lb/h (المحترق).

H = قيمة كمية الحرارة العظمى للوقود Btu/lb المحترق.

h_f = انتالبي ماء التزويد، Btu/lb.

h_g = انتالبي بخار الماء المعادر لمولد البحار، Btu/lb.

$$\frac{\text{كمية الحرارة المتخصصة}}{\text{كمية الحرارة المقدمة}} = \frac{\text{مردود الموفر}}{\text{كمية الحرارة المقدمة}}$$



الشكل 9.1 نقاط قياس درجات الحرارة والانتالبي المستخدمة في قياس مردود مولد البحار

$$\text{كمية الحرارة الممتصة} = \text{Btu/h} = W (h_{\text{out}} - h_{\text{in}})$$

حيث

$$W = \text{تدفق ماء التزويد} = \text{lb/h}$$

$$\text{كمية الحرارة المقدمة} = \text{Btu/h} = H_g F$$

حيث

$$H_g = \text{كمية الحرارة المتوفرة في غاز الوقود، وقود lb}$$

$$= \text{كمية الحرارة المتوفرة في الغاز الجاف} + \text{كمية الحرارة المتوفرة في بخار غازات العادم، وقود lb}$$

$$\begin{aligned} &= (t_3 - t_{f1}) 0.24 G + (t_3 - t_{f1}) 0.46 M_f + 8.9 H_2 \\ &+ M_a \left[G - C_b - N_2 - 7.94 \left(H_2 - \frac{O_2}{8} \right) \right] \\ G &= \frac{11CO_2 + 8O_2 + 7(N_2 + CO)}{3(CO_2 + CO)} \times \left(C_b + \frac{S}{2.67} \right) + \frac{S}{1.60} \end{aligned}$$

حيث

$$M_f = \text{ليبرة رطوبة لكل ليبرة وقود محترقة.}$$

$$M_a = \text{ليبرة رطوبة لكل ليبرة هواء حواف داخل لفرن المولد.}$$

$$C_b = \text{ليبرة كربون لكل ليبرة وقود محترقة} = R_{cr}$$

$$C_r = \text{ليبرة قابلة للاحتراق لكل ليبرة مخلفات (نفايات).}$$

و سنعطي الآن عوامل التحويل للمعادلات السابقة:

$$\text{Btu/h} \times 0.293 = W$$

$$\text{lb/h} \times 0.454 = \text{Kg/h}$$

$$\text{Btu/lb} \times 2.33 = \text{kJ/Kg}$$

$$\text{lb/lb} = \text{Kg/Kg}$$

ويبين الشكل 9.1 السابق النقاط الواجبأخذ درجات حرارتها والالاتالي لها
واللازم لحساب مردود مولد البحار.

$$\frac{\text{كمية الحرارة المتخصصة}}{\text{Btu/lb fuel}} = \frac{\text{مردود مسخن الهواء}}{\text{Btu/lb fuel}}, \text{كمية الحرارة المتوفرة (المقدمة)}$$

$$\text{كمية الحرارة المتخصصة, Btu/lb fuel} = A_h (t_2 - t_1) (0.24 + 0.46 M_f)$$

حيث

$$A_h = \text{تدفق الهواء خلال المسخن, وقود lb/lb} . A - A_m$$

$$A = \text{التدفق الكلي للهواء الداخل لفرن المولد, وقود lb/lb} .$$

$$= G - C_b - N_2 - 7.94 \left(H_2 - \frac{Q_2}{8} \right)$$

G - وهو جهاز مشابه للموفر ولكنه يوضع على مخرج الغازات الخارجة من الفرن.

A_m - الهواء الخارجي الذي يتم تزويده عبر المروحة أو بمصادر أخرى، وقود lb/lb

$$\text{Btu/lb fuel} = (t_2 - t_1) 0.24G + (t_2 - t_1) 0.46 (M_f + 8.94 H_2 + M_g A), \text{كمية الحرارة المقدمة}$$

حيث G كما عرفناه في الموفر أعلاه، و A_m كما عرفناها سابقاً، ويعتمد كلاماً على
خصائص الغاز الداخل إلى مسخن الهواء.

أنواع الوقود والاحتراق

مقدار تسخين الوقود

يمكن إيجاد مقدار تسخين أنواع الوقود الصلبة مثل الفحم الحجري، فحم الكوك، الفحم (باب قصب السكر) بالعلاقة:

$$Q = 14,500C + 62,000 \left(h - \frac{O}{8} \right) + 4000S$$

حيث

Q - مقدار التسخين، Btu/lb (محترقة).

C - نسبة الكربون (طبار وثابت، ويدعى أيضاً بالكربون الكلي) في الوقود، ويغير عنه كمية.

H - نسبة الهيدروجين.

O - نسبة الأكسجين.

S - نسبة الكبريت في الوقود.

يعبر عن النسب الثلاث السابقة بنسب مئوية، وللتحويل إلى الكيلو جول اضرب قيمة Btu بالعدد 1.055.

وبعطي مقدار التسخين للوقود السائل - النفط - بالعلاقة:

$$Q = 13,500C + 60,890H \text{ Btu}$$

حيث تأخذ الرموز نفس دلالاتها السابقة.

عندما تُعرَّف قراءة Baume للوقود السائل. فعندها يُحسب مقدار التسخين وفق العلاقة:

$$Q = 18,650 + 40 (\text{Baumé reading} - 10)$$

كمية الهواء المطلوبة: تعطى كمية الهواء المطلوبة لمختلف أنواع الوقود – الصلب والسائل والغازى – بالعلاقة:

$$\text{كمية الهواء المطلوبة} = \frac{\text{مقدار التسخين الأعظمي للوقود Btu/lb}}{1300} \text{, lb/lb fuel} = \frac{(lb/lb \times 0.454 = kg/kg)}$$

نواتج الاحتراق

تجرى عمليات تحليل لغازات المدخنة لتحديد فعالية عمليات الاحتراق، والتي تكون معطاة سلفاً على أساس حجمي جاف.

إذا كان محتوى الوقود من التروجين قليلاً عندها يحسب الهواء الإضافي الواجب زيارته بالعلاقة:

$$\text{الهواء الزائد المضاف} = \frac{3.78(O_2 - CO/2)}{N_2 - 3.78(O_2 - CO/2) \times 100} \text{ percent}$$

حيث تدل الصيغ O_2 , N_2 , CO على النسب المئوية لحجم هذه الغازات، وتأخذ من تحليل غازات المدخنة، وهناك كميات هواء إضافية يجب أخذها بعين الاعتبار وهي معطاة وفق جداول موجودة في المراجع الهندسية.

العنفات البخارية

توجد هناك أربع قياسات هامة لأداء العنفة البخارية وهي معدل بخار ومعدل الحرارة والمزدوج الحراري ومزدوج المحرك. وبين الشكل 9.2 الدارات الأساسية التي يحسب وفقها أداء العنفة، وسنقدم الآن المعادلات المستخدمة لحساب هذه القياسات الأربع:

معدل الحرارة

ويعطى لجميع أنواع العنفات وفق العلاقة:

$$\text{معدل البحار} = \frac{\text{تدفق بخار الماء lb/h} (W_1)}{\text{kWh خرج الماء أو المولد} (P)}$$

ومن أجل عنفات الضغط المعاد:

$$\text{Btu/kWh} = \frac{W_1(h_1 - h')}{P}$$

حيث

h_1 = اثاليي البحار الداخلي للعنفة، Btu/lb (انظر المخطط)، وعندما يتم خروج بخار الماء (من العنفة) لتم معالجته فإن:

h' = اثاليي الماء الفعلي للبحار المطروح، Btu/lb.

أما عندما يتم خروج بخار الماء إلى الوسط الخارجي عندها:

h'' = اثاليي الماء المشبع عند الضغط الذي يخرج به البحار من العنفة، Btu/lb (انظر المخطط).

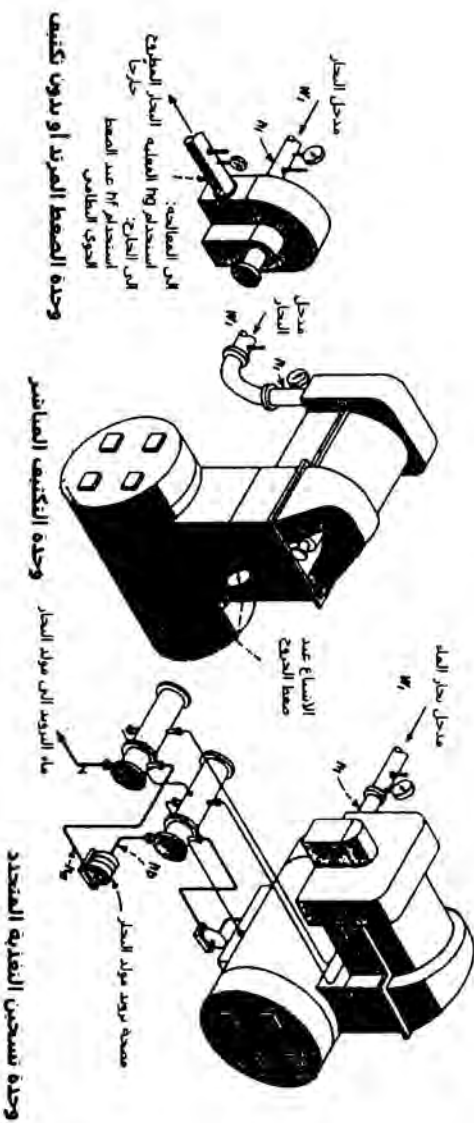
$$= \frac{3413P}{(W_1 - W_g)(h_1 - h_s) + W_g(h_1 - h_{sg})}$$

حيث

W_g = البحار الخارج من العنفة عبر السدادات (الجلب) والتسربات، lb/h.

h_s = اثاليي بخار الماء الخارج من العنفة عند نفس انتروبي بخار الماء الداخلي، Btu/lb.

h_{sg} = اثاليي بخار التصريف عند نفس انتروبي بخار الماء الداخلي للعنفة، Btu/lb.



الشكل ٩٢ الدارات الأساسية التي تعمل وتفقد العناصر البخارية

ومن أجل العنفات ذات التكثيف المباشر (straight - condensate turbines):

$$\text{Btu/kWh} = \frac{(W_1 - W_g)(h_1 - h_f) + W_g(h_1 - h_{fg})}{P}$$

حيث

h_r = انتالبي الماء المشبع عند ضغط الخروج، Btu/lb (انظر المخطط).

h_g = انتالبي التبخر لبخار الماء المتسرّب عند ضغط التفريغ، Btu/lb.

$$\text{Btu/kWh} = \frac{3413P}{(W_1 - W_g)(h_1 - h_g) + W_g(h_1 - h_{sg})}$$

ومن أجل العنفات ذات التسخين المتعدد:

$$\text{Btu/kWh} = \frac{W_1(h_1 - h_f) + P_1(h_a - h_b)}{P}$$

حيث

h_r = انتالبي ماء التزويد المغادر لآخر مسخن، Btu/lb

h_a = انتالبي ماء التزويد المغادر لمضخة تزويد المولد، Btu/lb.

h_b = انتالبي ماء التزويد الداخلي إلى مضخة تزويد المولد، Btu/lb (انظر المخطط).

$$\text{Btu/kWh} = \frac{3413P}{W_{b1}(h_1 - h_{sb1}) + W_{b2}(h_1 - h_{sb2}) + \dots + W_{bn}(h_1 - h_{sbn}) + W_g(h_1 - h_{sg})}$$

حيث

$W_{b1}, W_{b2}, \dots, W_{bn}$ = تدفقات بخار الماء الفائض، lb/h

$h_{sb1}, h_{sb2}, \dots, h_{sbn}$ = قيم الانتالبي لبخار الماء الفائض عند نفس انتروبي بخار الماء الداخلي، Btu/lb

w_e = تدفق بخار الماء المطروح، lb/h.

h_{in} = انتالبي بخار الماء المطروح عند نفس انتروبي بخار الماء الداخلي، Btu/lb.

ويعطى المردود الحراري من أجل جميع أنواع العنفات بالعلاقة:

$$\frac{3413}{\text{المردود الحراري, Btu per kWh}} = \frac{\text{معدل الحرارة}}{\text{lb/h}}$$

ويمكنك استخدام عوامل التحويل التالية لحساب المعادلات السابقة:

$$\text{lb/kWh} \times 0.126 = \text{Kg/MJ}$$

$$\text{lb/h} \times 0.454 = \text{Kg/h}$$

$$\text{Btu/kWh} \times 0.95 = \text{KJ/kWh}$$

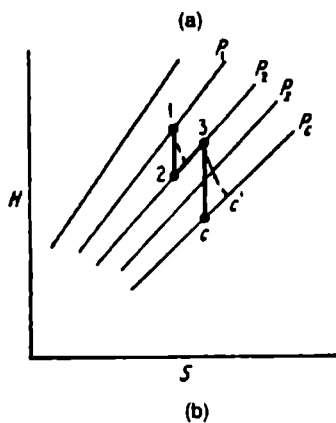
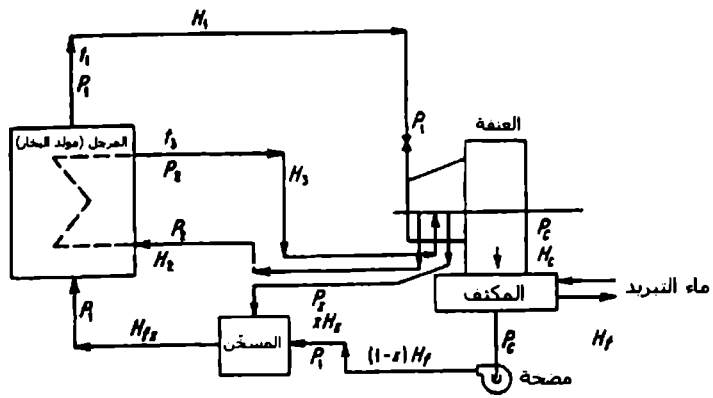
$$\text{Btu/lb} \times 2.33 = \text{KJ/Kg}$$

معدل البخار للدارة ذات إعادة التسخين المتعدد

1. قم بتحميم قيم الانثالبي والانتروبي والضغوط للدارة (الشكل 9.3).
2. احسب نسبة بخار الماء الذاهبة لمسخن ماء التزويد، حيث تعطى نسبة البخار اللازمة لمسخن ماء التزويد

$$x = (H_{fx} - H_f) / (H_x - H_f)$$

3. أوجد معدل تدفق البخار إلى العنفة، ومن أجل دارة Rankine فإن، $w_e = 3413/(H_1 - H_c)$



الشكل 9.3 (a) مخطط الدارة، (b) مخطط H-S للدارة المبينة في (a)

4. احسب المردود الحراري للعنفة، حيث يعطي المردود بالعلاقة:

$$E_t = [(H_1 - H_2) + x(H_3 - H_x) + (1 - x)(H_3 - H_c)] / (H_3 - H_2 + H_1 - H_{tx})$$

٥. حدد شروط وظروف الإطراح (إخراج غازات العادم)، كما أن مردود المحرك للعنفة يساوي إلى المردود المركب الفعلي للعنفة مقسوماً على المردود الفعلي للمولد.

مردود مولد البخار التوربيني ومعدل البخار

يعطي المردود الحراري المركب (Combined thermal efficiency) (CTE) بالعلاقة:

$$CTE = \frac{3413/w_r}{[1/(h_1 - h_2)]}$$

حيث

w_r - معدل تدفق بخار الماء المركب، lb/kWh (Kg/kWh)

h_1 - انتالبي بخار الماء عند ضغط ودرجة حرارة الفوهة، Btu/lb (KJ/Kg)

h_2 - انتالبي بخار الماء عند الضغط العائد من العنفة، Btu/lb (KJ/Kg)، ويتم ذلك باستخدام جداول بخار الماء ومحظط Mollier.

يعطي مردود المحرك المركب (CEE)

$$\frac{w_i}{w_e} =$$

وزن بخار الماء المستخدم من المحرك النظري، lb/kWh

وزن بخار الماء المستخدم من المحرك الفعلي، lb/kWh

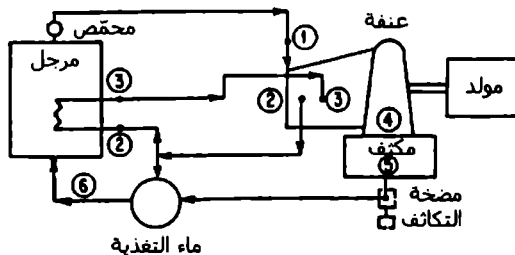
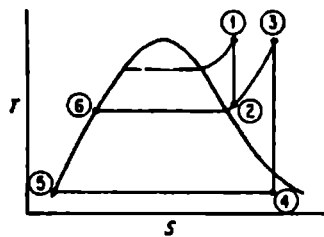
كما يمكن التعبير أيضاً عن أوزان بخار الماء بالوحدات (Kj/Kg) btu/lb، وبالتالي ستكون من أجل المحرك النظري متساوية للفيقيمة 3413 Btu/lb (7952.3 KJ/Kg)، أما من أجل العنفة الفعلية فيستخدم الفرق $h_1 - h_{2x}$ ، حيث يمثل h_{2x} انتالبي بخار الماء الراطب عند شروط الإفلات، أما h_1 فكما عرفناها سابقاً.

وللإيجاد قيمة CEE علينا أولاً الحصول على معدل تدفق البحار النظري $w_i = 3413/(h_1 - h_{2x})$ ونستطيع استخدام هذه المنهجية لتحليل مردود أي مولد توربيني مستخدم في منشآت المحطات المركبة والصناعية وفي السفن وفي منشآت أخرى.

دارة المولد التوربيني ذو الحرارة المستعادة: تحليل اختياري

- قم وباستخدام جداول بخار الماء ومحظط Mollier بإنشاء قائمة تحوي شروط البحار عند نقاط الدارة المبينة بالشكل 9.4. مع اعتبار الدليل 1 لشروط الختن، وستحوي القائمة القيم التالية:

$$P_1, t_1, h_1, S_1, H_2, H_3, H_4, H_5, H_6$$



الشكل 9.4 رسم توضيحي للنقاط الهامة في الدارة وموافقاتها على محظط T-S

2. حدد النسبة المئوية لبخار الماء الذاهب إلى مسخن ماء التغذية. وحدد نسبة مسخن ماء التغذية وهي

$$\frac{\text{كمية الحرارة المضافة في مسخن ماء التغذية}}{100 \times \text{كمية الحرارة المعطاة للمسخن}}$$

3. أوحد كمية الحرارة المحولة إلى عمل لكل باوند (كغ) من بخار الماء الخارج من الخانق. ويعتبر عن كمية الحرارة المحولة إلى عمل بفرق الانثالبي بين انثالبي بخار الماء الخارج من الخانق وانثالبي البخار المستترزف عند النقطة 2 مضافاً له فرق الانثالبي بين النقطتين 3 و 4 مضروباً بالنسبة المئوية لتدفق البخار من تدفق البخار الخارج من الخانق والمواافق لها بين النقطتين.

ويعتبر عنها بصيغة معادلة على الشكل التالي:

$$p = \text{كمية الحرارة المحولة إلى عمل} = H_1 - H_2 + (H_3 - H_4)$$

حيث

p - هي النسبة المئوية لبخار الماء المستترزف لتسخين ماء التغذية في مسخن ماء التغذية.

4. احسب كمية الحرارة المقدمة لكل باوند (كغ) من بخار الماء الخارج من الخانق. والتي تعطى بالعلاقة: $H_1 - H_2 + H_3 - H_4$ - كمية الحرارة المقدمة لكل باوند (كغ) من بخار الماء الخارج من الخانق

5. احسب المردود الحراري النظري عن طريق استخدام هذه العلاقة:

$$\frac{\text{كمية الحرارة المحولة إلى عمل}}{\text{كمية الحرارة المقدمة}} = \text{المردود الحراري النظري}$$

اداء منشآت الطاقة اعتماداً على بيانات اختبار

1. حدد خواص بخار الماء عند النقاط الحامة من الدارة، وباستخدام مخطط Mollier وجداول بخار الماء ارسم الدارة كما في الشكل 9.5، ونستطيع إيجاد النسبة المئوية لبخار الماء المستترف بالعلاقة:

$$100 \times (H_5 - H_4) / (H_2 - H_4)$$

2. أوجد كمية الحرارة المحوّلة إلى عمل، ويمكنك استخدام العلاقة:

$$h_w = H_1 - H_2 + (1 - m_2) (H_2 - H_7)$$

حيث

- m_2 - تمثل النسبة المئوية لبخار الماء المستترف بالنسبة لتدفق البخار الخارج من المخزن.

- H_7 - انتالبي بخار الماء الخارج من العنفة والداخل إلى المكثف.

3. احسب تدفق بخار الماء النظري من العلاقة:

$$r = (3413 \text{ Btu/kWh}) / h_w$$

وبالتالي مردود الدارة

$$\frac{\text{كمية الحرارة المحوّلة إلى عمل}}{\text{كمية الحرارة المقدمة}} = Ce$$

4. حدد تدفق بخار الماء المركّب، ويحدد تدفق بخار الماء المركّب ولوحدة فعلية بالعلاقة:

$$R_C = \frac{\text{بخار ماء مستهلك lb}}{\text{مولدة kWh}}$$

٥. أوجد المردود الحراري المركب لوحدة فعلية، والذي يعطى بالعلاقة:

$$TE_C = \frac{3413}{\text{كمية الحرارة المقدمة}}$$

٦. احسب المردود الحراري المركب، حيث أنه يساوي إلى -

المنشآت الهيدروليكية والعنفات الهيدروليكيّة

رموز و اختصارات

Q - التدفق، (m³/s) . ft³/s

H - ارتفاع (ذروة) الموقع، (m) . ft

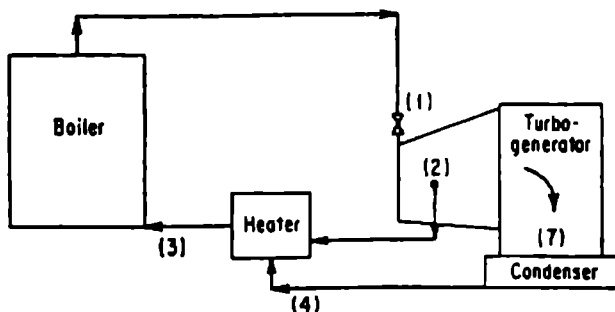
σ - معامل التكهف.

H_b - قراءة البارومتر، (m) . ft

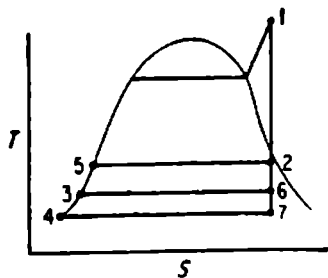
H_v - ضغط التبخر، (m) . ft

H_s - ارتفاع السحب الستاتيكي للموقع، ويقاس من سطح المجرى المائي إلى طرف ريشه الدوار . ft (m)

H_e - الارتفاع الفعال، (m) . ft



(a)



(b)

الشكل 9.5 رسم لدارة بخار ماء

استطلاعة الماء

يُعطي خرج القدرة النظري لتروض هيدروليكي بالعلاقة:

$$\text{Water } hp = \frac{QH}{8.8}$$

أو

$$\text{Water kW} = \frac{QH}{11.8}$$

السرعة النوعية

تُعرف السرعة النوعية لعنفة هيدروليكيه بشكل مختلف عملياً عن تعريفها في المضخات. فهنا يكون ارتفاع الموقع وخرج القدرة مرتبطان بشكل وثيق، مما يجبرنا على أن نعرف السرعة النوعية على أنها تلك السرعة لوحدة ذات قطر مناسب وخصائص متماثلة والتي تعمل على إعطاء حسان بخاري واحد (0.754 kW) عند ارتفاع سائل مقداره قدم واحد (0.3048 m) أو:

$$N_s = \text{specific speed} = \frac{\text{rpm} \times \text{shp}^{0.5}}{\text{head}^{1.25}}$$

التكهف

يجب أن يتوضع الدوّلاب المائي على ارتفاع يأخذ بعين الاعتبار مستوى سطح الماء بحيث تختبئ ظاهرة التكهف، ويجب أن لا تصمم الوحدة للعمل تحت قيم متدنية لمعامل التكهف والذي يعرف كما يلي:

$$\sigma = H_b - H_v - \frac{H_s}{H_e}$$

المكثفات ذات السطوح للعنفات البخارية

يعطى تدفق ماء التبريد لمكثف سطحي (الشكل 9.6) بالعلاقة:

$$G = \frac{950S}{500(t_2 - t_1)} = \frac{1.9S}{t_2 - t_1}$$

حيث

G = تدفق ماء التبريد، gal/min.

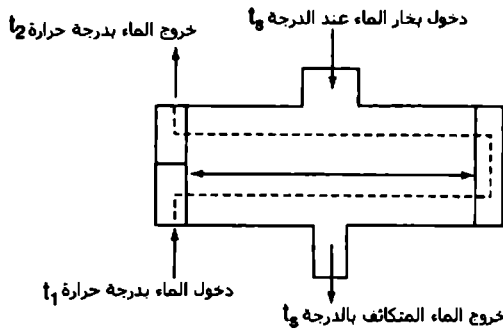
S = كمية البخار المتكافئة، lb/h.

t_2 = درجة حرارة الماء الخارج، °F.

t_1 = درجة حرارة الماء الداخل، °F.

(ملاحظة: افترضنا أنه ستم إزالة 950 Btu من كل ليرة واحدة من بخار الماء)،
وتعطى مساحة سطح أنبوب المكثف بالعلاقة:

$$A = \frac{kL}{V} G$$



الشكل 9.6 درجات حرارة المكثف ذو السطح المستخدمة في حسابات الأداء

حيث

A = مساحة سطح المكثف، ft².

k = ثابت معطى في المراجع الهندسية.

٦ - طول الأنابيب لكل ثمرة، ft.

٧ - سرعة الماء، ft/s.

وتعطى درجة حرارة الماء الخارج من المكثف بالعلاقة:

$$t_2 = t_N - \frac{t_N - t_1}{e^x}$$

حيث

$$x = (k/V) (U/500)$$

$e^x = 2.7183$ ويعطى في المراجع الهندسية.

t_N - درجة حرارة الإشباع لبخار الماء الموافقة للضغط المطلق داخل المكثف، °F.

U - معدل انتقال كمية الحرارة، LMTD Btu/(ft².h.°F).

التوازن الحراري لمولد البخار

عادةً ما نقوم بإيجاد التوازن الحراري لمولد البخار وذلك لإظهار وبيان توزع كمية الحرارة المولدة من احتراق ليرة واحدة من الوقود، وسنعدد فيما يلي الحدود اللازمة لحساب هذا التوازن:

1. كمية الحرارة التي يمتلكها مولد البخار (المعلم) [المعادلة a].
2. كمية الحرارة الضائعة مع غازات العادم الحادة [المعادلة b].
3. بخار الرطوبة المشكّل عبر احتراق الهيدروجين في الوقود [المعادلة c].
4. بخار الرطوبة السطحية للوقود [المعادلة d].
5. الضياعات الناتجة عن الاحتراق غير الكامل [المعادلة e].
6. الضياعات الناتجة عن ذرات الكربون غير المحترقة في الرماد [المعادلة f].

7. كمية الحرارة الضائعة الالزام لتسخين الرطوبة الموجودة في الهواء [المعادلة g].
 8. ضياعات الإشعاع والضياعات الأخرى غير المأخوذة بعين الاعتبار.

ويمكن حساب هذه الحدود كما يلي:

(المعادلة a)

$$h_1 = W(H - h_f)$$

حيث

- W - ليبرة ماء متاخر فعلياً لكل ليبرة وقود محترقة، lb/lb.
 H - كمية الحرارة الموجودة في ليبرة من بخار الماء عند شروط الخروج، أي عند عبور المحمض إذا كانت هناك عملية تحميص.
 h_f - كمية الحرارة التي تحملها ليبرة واحدة من ماء التغذية الداخل لمولد البحار.

(المعادلة b)

$$h_2 = W_g (T_g - t_f) C_p$$

حيث

- W_g - ليبرة من غازات المدخنة الجافة (من مخطط الاحتراق) لكل ليبرة وقود محترقة، lb/lb.
 C_p - الحرارة النوعية للغازات (تؤخذ عادة بقيمة 0.24).
 T_g - درجة حرارة غازات المدخنة.
 t_f - درجة حرارة الهواء الداخل إلى الفرن.

(المعادلة c)

$$h_s = 9h [212 - t_c + 970.3 + 0.46 (T_g - 212)]$$

حيث

h - كمية الماء وجين كجزء من ليرة وقود محترقة.

$9h$ - كمية الماء المتشكل.

Δt - درجة حرارة احتراق الوقود.

(المعادلة d)

$$h_4 = w [212 - t_c + 970.3 + 0.46 (T_g - 212)]$$

حيث

w - ليرة رطوبة سطح لكل ليرة وقود محترقة، lb/lb ، ويجب أخذ النتائج النهائية بعين الاعتبار.

$h_c = 14,150 - 3960 \text{ Btu/lb}$. أيضاً سيضيغ من جراء تحول C إلى CO.

(المعادلة e)

$$h_5 = \frac{CO}{CO + CO_2} (14,150 - 3960) C_b$$

حيث

CO - النسبة المئوية لغاز CO وتؤخذ من تحليل غازات المدخنة.

CO_2 - النسبة المئوية لغاز CO_2 وتؤخذ من تحليل غازات المدخنة.

C_b - وزن الكربون لكل ليرة من الوقود المحترق فعلياً.

والكربون الكلي $C = C_b + C_a$

(المعادلة f)

$$h_6 = 14,150 \times \frac{W_a}{W} \times C_a$$

حيث

W_0 - وزن الرماد المتجمع خلال فترة الوحدة (فترة محددة).

W - وزن الوقود المحترق خلال فترة الوحدة.

C_e - النسبة المئوية للمواد القابلة للاحتراق في الرماد (يفترض عادة بأن يكون الكربون).

(المعادلة g)

$$h_7 = M \cdot 0.46 (T_g - t_r)$$

حيث

M - الوزن الفعلي للرطوبة لكل باوند من الهواء الجاف مأخوذة وفق مقياس الرطوبة ذو الحوجلة الجافة والرطبة.

أما البند الثامن من الضياعات فيؤخذ على أنه الفرق بين مجموع المعادلات السبعة السابقة وبين قيمة كمية الحرارة الموجودة في لبيرة وقود محترقة.

انخفاض الضغط في مجاري الهواء المستقيمة لمجاري مولد البحار

لقد قدمت شركة Buffalo Forge Company هذه المعادلة والمقبولة ضمن مجال لرقم رينولدز يتراوح من 25,000 إلى 5,000,000 والذي يعطي عملياً كامل الحال المتعلق بعمل منشأة الطاقة.

$$\Delta p = \frac{1.64 F L_{\mu}^{0.16} \rho^{0.84}}{d^{1.24}} \left(\frac{V}{1000} \right)^{1.84}$$

$$= \frac{0.03 F L}{d^{1.24}} \left(\frac{V}{1000} \right)^{1.84}$$

وذلك من أجل هواء بدرجة حرارة (21.1 °C) (70 °F) وبضغط بارومטרי in 29.92 .(759.9 mm)

حيث

ΔP = انخفاض الضغط مقدراً بالانش عمود ماء.

$F = 0.80$ للأنباب الملسنة والزجاج.

$F = 1.00$ لمحاري الهواء المصنوعة من الحديد وتتضمن الأنابيب الفولاذية.

$F = 1.20$ للأنباب المصنوعة من الآجر والاسمنت الخشن والأنباب المرشمة بشكل كبير.

L = طول الأنابيب، (m) (ft).

μ = لزوجة الهواء أو الغاز، [Kg/(m.s)] [lb/(ft.s)].

d = قطر بحرى الهواء، (mm) (in).

$$- \frac{2 \times \text{الطول} \times \text{العرض}}{\text{الطول} + \text{العرض}}$$

للمحاري مستطيلة المقطع

v = السرعة، ft/min(m/min).

يمكن استخدام العلاقة السابقة لحل ضياعات الاحتكاك للأجزاء المستقيمة من المحاري العاملة ولإيجاد الاحتكاك في المداخن.

الأنباب على شكل U ومقاييس الضغط والسحب

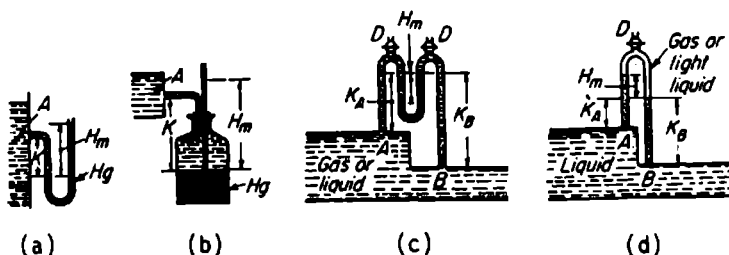
الأنباب على شكل U (الشكل 9.7 a و b)

إذا كان الاختلاف في المنسوب بين مستوى الزبق والمائع المراد قياس ضغطه عقدار K تحت نقطة الاتصال بينهما A وسيعطي قراءة H_m ft (m) بحيث يكون

$$P_A = H_m \bar{W}_m - K \bar{W}_A$$

عند A

$$H_A = \frac{H_m \bar{W}_m}{\bar{W}_A - K}$$



الشكل 9.7 أنواع مختلفة لمقاييس الضغط

حيث

\bar{W}_A - الكثافة الوزنية للمائع عند النقطة A، lb/ft³ (Kg/m³).

\bar{W}_m - كثافة مائع مقاييس الضغط، lb/ft³ (Kg/m³).

P_A - الضغط المقياس عند النقطة A، lb/ft² (kPa).

أنبوب U التفاضلي

يبين الشكل 9.7c الفرق بين ضغطى القمعتين A و B واللذان يعطيان كما يلى:

$$* \quad p_A - p_B = H_m(\bar{W}_m - \bar{W}_A) + K_A \bar{W}_A - K_B \bar{W}_B$$

حيث

K_A ، K_B = المسافتين الشاقوليتين بين سطح الزبق العلوي والنقطتين A و B، $\text{ft} (\text{m})$.
 \bar{W}_B ، \bar{W}_A = الكثافة الوزنية للمائع عند النقطتين A و B، $\text{lb}/\text{ft}^3 (\text{Kg}/\text{m}^3)$.

إذا كان الفرق (التفاضل) بين المستويين ناتجاً عن فتحة أو جهاز آخر لقياس تدفق السائل، فعندها يعطى الفرق في الارتفاع عند تلك الفتحة بالعلاقة:

$$\Delta H = p_2 v_1 - p_2 v_2 + Z_1 - Z_2 = H_m \left(\frac{\bar{W}_m}{\bar{W}_A} - 1 \right)$$

وتكون في معظم الغازات – عدا تلك الموجودة تحت ضغوط عالية جداً – قيمة \bar{W}_B و \bar{W}_A صغيرتين جداً بالمقارنة مع \bar{W}_m مما يخض حدود المعادلة قبل السابقة و يجعلها كما يلى:

$$p_A - p_B = H_m \bar{W}_m$$

أنبوب U التفاضلي المقلوب (الشكل 9.7d)

$$p_A - p_B = H_m(\bar{W}_A - \bar{W}_m) + K_A \bar{W}_A - K_B \bar{W}_B$$

وإذا كان القياس يدل على فرق الارتفاع التفاضلي للفتحة وقمة القياس، والوسيط العامل هو سائل فإن فرق الارتفاع يعطى بالعلاقة:

$$\Delta H = H_m \left(1 - \frac{\bar{W}_m}{\bar{W}_A} \right)$$

الأنباب المغلقة التي على شكل U

تقيس هذه الأنابيب الضغط المطلق للمائع بشكل مباشر P (الشكل 9.8a).

$$P = H_m \bar{W}_m$$

حيث

\bar{W}_m = الكثافة الوزنية للمائع مقياس الضغط.

H_m = ارتفاع مائع مقياس الضغط (m).

إذا أردنا قياس ضغط السوائل أو الغازات الموجودة تحت ضغوط عالية جداً فيجب طرح الكمية $K\bar{W}_0$ من المعادلة السابقة.

المقاييس المضاعفة

أنابيب U المائلة (الشكل 9.8c). إذا كانت قيمة القراءة (R ft (m)، فيجب عندها تبديل قيمة $H_m = (R - R_0) \sin\theta$ بالقيمة $H_m = R - R_0$ عند حساب العلاقة *، حيث R_0 مثل القراءة الصفرية.

مقياس السحب. تطبق المعادلات كما طبقناها في المقياس المائل السابق (الشكل 9.8b).

أنابيب U ذات المانعين (الشكل 9.8 d و e)

من أجل النوع I يمكننا كتابة المعادلة:

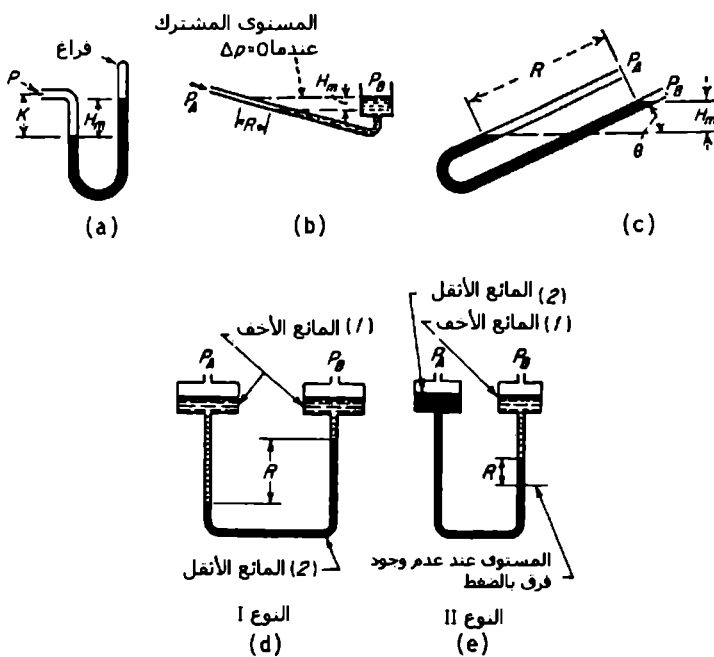
$$P_A - P_B = R - R_0 \left(\bar{W}_2 - \bar{W}_1 + \frac{a}{A} \bar{W}_1 \right)$$

ومن أجل النوع II يمكننا أيضاً كتابة المعادلة:

$$P_A - P_B = R \left[\bar{W}_2 - \bar{W}_1 + \frac{a}{A} (\bar{W}_2 + \bar{W}_1) \right]$$

حيث

- مساحة مقطع كل من الخزانين، $\text{ft}^2 (\text{m}^2)$
- مساحة مقطع الأنوب الذي يشكل الحرف U، $a \cdot \text{ft}^2 (\text{m}^2)$



١٠

معادلات خاصة بـهندسة المواقع

لتبسيط استخدام المعادلات في هذا الفصل سنقوم بإيراد الرموز والاختصارات والواحدات الموافقة لكل تعبير في الجملتين U.S Customary System (USCS) و والنظام الدولي (SI) System International في الجدول 10.1.

الخاصة الشعرية

تنتج ظاهرة الخاصة الشعرية عن قوى الترابط بين جزيئات السائل وقوى الالتصاق بجزيئات السائل، والتي تتحلى كاختلاف في ارتفاع سطح السائل بين خارج وداخل أنبوب رفيع مغموس أحد طرفيه في السائل (الشكل 10.1). وبعير عن الخاصة الشعرية بقدر ذلك الارتفاع الذي يعطى وفق المعادلة:

$$h = \frac{2\sigma \cos \theta}{(w_1 - w_2)r}$$

حيث

h - الارتفاع الناتج عن الخاصة الشعرية، (m). ft

σ - قوى الشد السطحي، lb/ft (N/m)

w_1 ، w_2 - الوزن النوعي للمائع تحت وفوق السطح السائل المقرر (أو المحدب) على الترتيب، lb/ft (N/m).

θ - زاوية التماس.

r - نصف قطر الأنابيب الشعري، (m). ft

تنقص الخاصة الشعرية - مثل قوى الشد السطحي - مع ازدياد درجة الحرارة، ولكن التغير في درجة حرارة المائع عادةً ما يكون صغيراً ومهملاً في معظم التطبيقات العملية.

الجدول 10.1 الرموز والمصطلحات والأبعاد والوحدات المستخدمة في الهندسة المائية

الرمز	المصطلح	الأبعاد	وحدات USCS	الوحدات الدولية SI
A	المساحة	L^2	ft^2	mm^2
C	معامل خشونة chezy	$L^{1/2}/T$	ft^3/s	$m^{0.5}/s$
C ₁	معامل خشونة Hazen-Williams	$L^{0.87}/T$	$ft^{0.37}/s$	$m^{0.37}/s$
d	العمق	L	ft	m
d _c	العمق المخرج	L	ft	m
D	القطر	L	ft	m
E	معامل المرونة	F/L^2	$lb/in^2 \text{ (psi)}$	MPa
F	القوة	F	lb	N
g	تسارع الجاذبية الأرضية	L/T^2	ft/s^2	m/s^2
H	الارتفاع الكلي، ارتفاع سد	L	ft	m
h	الارتفاع	L	ft	m
h _r	ضياع الارتفاع الناتج عن الاختناك	L	ft	m
L	الطول	L	ft	m
M	الكتلة	FT^2/L	$lb.s^2/ft$	$N.s^2/m$
n	معامل خشونة Manning	$T/L^{1/3}$	$s/ft^{1/3}$	$s/m^{1/3}$
P	المحيد، ارتفاع السد	L	ft	m
P	القوة الناتجة عن الضغط	F	lb	N
p	الضغط	F/L^2	lb/ft^2	MPa
Q	معدل التدفق	L^3/T	ft^3/s	m^3/s
q	معدل تدفق الوحدة	$L^3/T.L$	$ft^3/(s.ft)$	$m^3/(s.m)$
r	نصف القطر	L	ft	m
R	نصف القطر الميدولي	L	ft	m

الرمز	المصطلح	الأبعاد	وحدات USCS	الوحدات التولية	SI
T	الزمن	T		s	s
t	الزمن، المسافة	T, L		s, m	s, ft
V	السرعة	L/T		m/s	ft/s
W	الوزن	F		kg	lb
w	الوزن النوعي	F/L ³		kg/m ³	lb/ft ³
y	عمق قناة مفتوحة أو المسافة من دعامة صلبة	L		m	ft
Z	الارتفاع فوق القدر	L		m	ft
ε	حجم المخضنة	L		m	ft
μ	الزروحة	FT/L ²		kg.s/m	lb.s/ft
v	الزروحة الحركية	L ² /T		m ² /s	ft ² /s
ρ	الكتافة	FT ² /L ⁴		kg.s ² /m ⁴	lb.s ² /ft ⁴
σ	قوى الشد السطحي	F/L		kg/m	lb/ft
τ	إجهادات القص	F/L ²		MPa	lb/in ²

الزروحة

تعتبر لزروحة المائع μ - والتي تدعى أيضاً عامل الزروحة أو الزروحة المطلقة أو الزروحة الحركية - مقاييس لمقاومة المائع للتدفق، والتي يعبر عنها بالنسبة بين إجهادات القص الماسية بين الطبقات المتداقة وبين معدل تغير السرعة مع العمق:

$$\mu = \frac{\tau}{dV/dy}$$

حيث

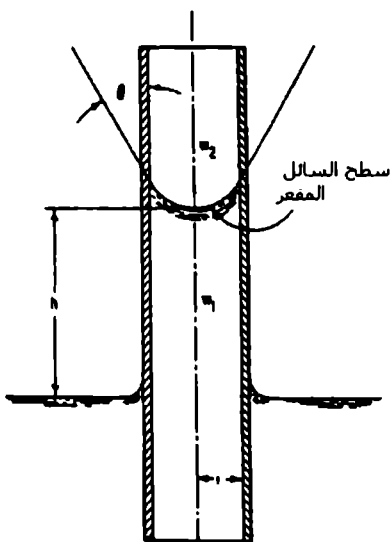
τ = إجهاد القص، lb/ft^2 (N/m^2)

V = السرعة، ft/s (m/s)

y = العمق، ft (m)

الجدول 10.1 الرموز والمصطلحات والأبعاد والوحدات المستخدمة في الهندسة المائية
/تنمية/

الرمز	المطلع	الأبعاد	وحدات SI	وحدات USCS
الرمز	المقدار	رموز المقاييس الأبعادية		
C	معامل السد، معامل الاملاء			
C_c	معامل التقلص			
C_v	معامل السرعة			
F	عدد Froude			
f	معامل احتكاك Darcy-Weisbach			
L	معامل ضياع الارتفاع			
R	رقم Reynolds			
S	انحدار احتكاك، انحدار خط تدرج الطاقة			
S_e	انحدار المرج			
π	المردود			
sp gr	الجاذبية النوعية			



الشكل 10.1 الخصائص الشعورية لارتفاع ماء في أنبوب شعري، سطح السائل مقعر للأعلى

تنقص الزووجة بارتفاع درجة الحرارة ولكن يمكن افتراضها مستقلة عن التغيرات في الضغط في معظم المسائل الهندسية، وتكون زووجة الماء عند الدرجة 70°F (21.1°C) متساوية للقيمة $0.00002050 \text{ lb.s}/\text{ft}^2$ ($0.000098 \text{ N.s}/\text{m}^2$).

وتعرف الزووجة الحركية μ على أنها الزووجة μ مقسمة على الكثافة ρ ، وسميت باللزووجة الحركية فقط لأجل واحداتها - (m^2/s) - التي هي تركيب من واحدات الحركة (الطول والزمن). وبذلك الماء عند الدرجة 70°F (21.1°C) زووجة حركية متساوية للمقدار $0.00001059 \text{ ft}^2/\text{s}$ ($0.000001 \text{ m}^2/\text{s}$).

وعالباً ما نصادف الزووجة في علم المواقع عند حساب رقم رينولذ الذي يحدد نوعية الجريان هل هو صفحى أو انتقالى أو مضطرب تماماً.

مدخل إلى جريان المواقع

تعبر معادلة برنولي عن قانون تحويل القدرة في المواقع والتي لها الشكل التالي:

$$Z_1 + \frac{P_1}{w} + \frac{V_1^2}{2g} = Z_2 + \frac{P_2}{w} + \frac{V_2^2}{2g}$$

حيث

Z_1 - الارتفاع - ft - عند أي نقطة 1 من المائع الجاري والواقعة فوق مستوى مرجعي مساعد.

Z_2 - الارتفاع - m - لنقطة 2 من المائع أخفض من النقطة الأولى ولكنها واقعة فوق المستوى المرجعي.

P_1 - الضغط عند النقطة 1، lb/ft² (kPa)

P_2 - الضغط عند النقطة 2، lb/ft² (kPa)

w - الوزن النوعي للمائع، lb/ft³ (kg/m³)

V_1 - سرعة المائع عند النقطة 1، ft/s (m/s)

V_2 - سرعة المائع عند النقطة 2، ft/s (m/s)

g - تسارع الجاذبية الأرضية = (32.2 ft/s² (9.81 m/s²))

يعبر الطرف الأيسر من المعادلة عن مجموع القدرة (الطاقة) الكلية لكل وحدة وزن من المائع عند النقطة 1، وكذلك يعبر الطرف الأيمن عن الطاقة الكلية لكل وحدة وزن من المائع عند النقطة 2. من الجدير بالذكر أن معادلة برنولي السابقة تطبق فقط على المائع المثالي، واستخدامها في التطبيقات العملية يجب إضافة حد آخر يتعلق بالاحتكاك والذي يقوم بانخفاض الارتفاع الكلي (m)، ولنرمز له بالرمز h ، والذي يضاف إلى الحد العщий عن النقطة الأخفض بالنسبة للجريان، ويصبح عندها معادلة برنولي كما يلي:

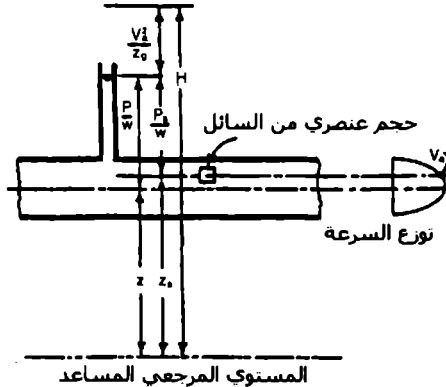
$$Z_1 + \frac{P_1}{w} + \frac{V_1^2}{2g} = Z_2 + \frac{P_2}{w} + \frac{V_2^2}{2g} + h_f$$

تعلق القدرة المختواة في حجم عنصري من المائع بارتفاعه وسرعته وضغطه (الشكل .10.2)

تسمى الطاقة المتعلقة بالارتفاع بالطاقة الكامنة وتساوي إلى WZ - حيث يدل W على وزن (Kg) lb المائع الموجود في الحجم العنصري Z يدل على ارتفاعه (m) ft - وذلك بالنسبة لمستوي مرجعي مختار.

- تسمى الطاقة الناتجة عن السرعة بالطاقة الحركية، والتي تساوي إلى $WV_a^2 / 2g$ حيث يدل V_a على السرعة (m/s) ft/s، بينما تساوي طاقة الضغط إلى $W P_a / W$ حيث P_a يدل على الضغط (lb/ft²) (kPa)، و w الوزن النوعي للمائع (Kg/m³) (lb/ft³)

الطاقة الكلية لكل لبرة من السائل



الشكل 10.2 تعتمد طاقة السائل على الارتفاع والسرعة والضغط

تعطى الطاقة أو القدرة الكلية الموجودة في حجم عنصري من المائع بالعلاقة التالية:

$$E = WZ_a + \frac{Wp_a}{w} + \frac{WV_a^2}{2g}$$

وبتقسيم طرف المعادلة السابقة على الحد W نحصل على الطاقة لكل وحدة وزن من الماء الحراري أو الارتفاع الكلي (ft) (m):

$$H = Z_a + \frac{p_a}{w} + \frac{V_a^2}{2g}$$

حيث يسمى الحد p/w بارتفاع الضغط، و $V_a^2/2g$ بارتفاع السرعة.

وكمما هو مبين في الشكل 10.2 يعتبر الحد $p/w + z$ ثابتاً لأي نقطة من المقطع وعمودي على اتجاه الجريان داخل الأنابيب أو القناة، وتغير الطاقة الحركية في نقاط المقطع تبعاً للسرعة. عادةً ما نأخذ الحد $p/w + z$ عند النقطة الواقعية على محور الأنابيب أو القناة، كما وتوخذ السرعة المتوسطة للكامل المقطع وذلك عندما نريد تطبيق معادلة برنولي على الجريان داخل المقطع أو عندما يراد تحديد الارتفاع الكلي.

تحسب السرعة المتوسطة $- Q/A$ ft/s (m/s) بالعلاقة

حيث

Q - يمثل التدفق الحجمي (m^3/s) .

A - مساحة مقطع الجريان (m^2) .

معادلة النماذج الفيزيائية

يعتبر النماذج الفيزيائي نظاماً يمكن استخدامه لإعطاء خصائص أو ميزات نظام مشابه أو منتج ابتدائي عادةً ما يكون أكثر تعقيداً أو مبني على مقياس أكبر بكثير.

وتشكل نسبة قوى الجاذبية والزروجة والشد السطحي إلى قوة العطالة رقم Froude ورقم Reynolds ورقم Weber على التوالي. وتدل مساواة رقم Froude للنموذج مع رقم Froude للنموذج الأصلي على تناسب قوى الجاذبية على قوى العطالة لكل منهما، وبشكل مشابه يدل تساوي رقم Reynolds للنموذج وللنماذج الأصلي على تناسب قوى الزروجة على قوى العطالة لكل منها، أما إذا تساوت قيمة رقم Weber لهما فهذا يعني أن قوى الشد السطحي قوى العطالة متناسبة أيضاً.

يعطى رقم Froude بالعلاقة:

$$F = \frac{V}{\sqrt{Lg}}$$

حيث

F - رقم Froude (رقم لا بعدي).

V - سرعة المائع، (m/s).

L - بعد طوبل (طول مماثل لعمق أو القطر)، (ft) (m).

g - تسارع الجاذبية الأرضية = 32.2 ft/s^2 (9.81 m/s^2)

إذا كانت لدينا منشأة هيدروليكيّة - مثل قناة تصريف الفائض والسد - ويتغير فيها شكل سطح الماء بسرعة فإن القوتين المهيمنتين (المسيطرتين) هما قوى الجاذبية وقوى العطالة، ولذلك فيجب أن يكون رقم Froude للنموذج وللنماذج الأصلي متساوين كما يلي:

$$F_m = F_p \quad \frac{V_m}{\sqrt{L_m G}} = \frac{V_p}{\sqrt{L_p g}}$$

حيث يدل الدليل m على النموذج، والدليل p على النموذج الأصلي.

وبعطي رقم Reynolds بالعلاقة:

$$R = \frac{VL}{\nu}$$

ويعتبر رقم رينولذز R رقمًا لا بعدياً، ويدل الرمز v على اللزوجة الحرارية للمائع، ft^2/s (m^2/s). ويكون رقم رينولذز للنموذج والنماذج الأصلي متساوين إذا كانت قوى اللزوجة وال抵抗力 متناسبتين لكل منها.

وتصبح قوى اللزوجة هي المهيمنة عندما يتدفق المائع ضمن نظام مغلق، مثل التدفق ضمن أنبوب لا يحوي أي سطح حر. ونحصل على المعادلات التالية عبر مساواة رقمي رينولذز للنموذج والنماذج الأصلي:

$$\frac{V_m L_m}{\nu_m} = \frac{V_p L_p}{\nu_p} \quad V_r = \frac{\nu_r}{L_r}$$

يعتبر العاملان المتغيران وللذان يقيدان تصميم النماذج عند اعتبار رقم رينولذز هما نسبة الطول ونسبة اللزوجة.

يعطي رقم Weber بالعلاقة التالية:

$$W = \frac{V^2 L \rho}{\sigma}$$

حيث

ρ - كثافة المائع، $\text{lb.s}^2/\text{ft}^4$ ($\text{Kg.s}^2/\text{m}^4$) (الوزن النوعي مقسماً على g).

σ - قوة الشد السطحي للمائع، lb/ft^2 (kPa).

يساوي رقمي Weber للنموذج والنموذج الأولي لأنواع معينة من دراسات الموجات. في حالة تدفق الماء ضمن الأقنية المفتوحة والأهار حيث يعتبر اندفاع الاحتكاك ثابتاً نسبياً، تعتمد غالباً تصميمات النماذج على معادلة Manning. وتحدد النسب بين النماذج والنماذج الأصلي كما يلي:

$$\frac{V_m}{V_p} = \frac{(1.486/n_m)R_m^{2/3}S_m^{1/2}}{(1.486/n_p)R_p^{2/3}S_p^{1/2}}$$

حيث

n - معامل خشونة Manning ($\frac{T}{L^{1/3}}$), حيث T الزمن المعتبر).

R - نصف القطر الهيدروليكي (L).

S - الضياع في الارتفاع الناتج عن الاحتكاك لكل وحدة الطول للفناة (رقم لا يبعدي).

- انحدار أو ميل تدرج الطاقة.

وتكون من أجل النماذج الحقيقية قيمة $1 = S_r = L_r = R_r$, وبالتالي:

$$V_r = \frac{L_r^{2/3}}{n_r}$$

إن من الضروري أن يكون الجريان في نماذج الأهوار والأقنية مضطرباً، ولقد حددت محطة بحارب الماء الأمريكية (U.S Waterways Experiment Station) بأن الجريان يكون مضطرباً إذا تحققت العلاقة:

$$\frac{VR}{v} \geq 4000$$

حيث

V - السرعة الوسطية، (ft/s) (m/s).

R - نصف القطر الهيدروليكي، (ft) (m).

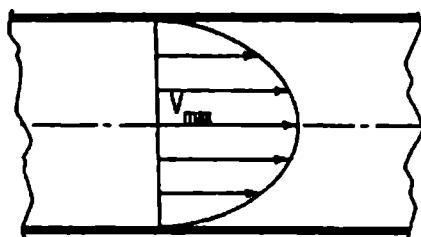
v - اللزوجة الحر كية، (ft²/s) (m²/s).

إذا أردنا أن نقرب النموذج من النموذج الحقيقي فإنه يجب جعله كبير الحجم وذلك للتعبير عن الجريان المضطرب، ولكن يعتبر هذا النموذج غير اقتصادي.

جريان المائع في الأنابيب

الجريان الصفعي

تتحرك جزيئات المائع في الجريان الصفعي وفق طبقات متوازية باتجاه واحد. وبأخذ توزع السرعة في الجريان الصفعي شكل قطع مكافئ - كما يبينه الشكل 10.3 - مما يخلق إجهادات قص تعطى بالعلاقة $dV/dy = \mu$ حيث يمثل dV/dy نسبة تغير السرعة وفق العمق، ويمثل μ معامل اللزوجة. وكلما ازدادت إجهادات القص هذه كلما أصبحت قوى اللزوجة أقل قدرة على تثميد الاضطرابات، وبالتالي سيصبح الجريان بالنتيجة جرياناً مضطرباً. تعتمد منطقة التغير (أو التبدل) على سرعة المائع وكافته ولزوجته وعلى حجم القناة.



الشكل 10.3 توزع السرعة لجريان صفعي في أنبوب دائري يكون على شكل قطع مكافئ، وتكون القبمة العظمى للسرعة مساوية لضعف السرعة الوسطية

ولقد تم إيجاد وسيط لا بعدي يدعى رقم رينولدز (Reynolds number) ليكون معياراً يحدد نوع الجريان هل هو صفعي أم مضطرب، ويمثل هذا الرقم نسبة قوى العطالة إلى قوى اللزوجة ويعطى بالعلاقة:

$$R = \frac{VD\rho}{\mu} = \frac{VD}{v}$$

حيث

V = سرعة المائع، (m/s) . ft/s

D = قطر الأنابيب، (m) ft

ρ = كثافة الماء، ($\text{Kg} \cdot \text{s}^2 / \text{m}^4$) lb.s²/ft⁴ (وهو الوزن النوعي مقسماً على g). (32.2 ft/s²)

μ = لزوجة الماء، (Kg.s/m²) . lb.s/ft²

$\frac{\mu}{\rho}$ = لزوجة الحركة، (m²/s) ft²/s

وإذا كان رقم رينولدز أقل من 2000 فهذا يعني بأن الجريان هو صفحى ضمن الأنابيب الدائرية. وإذا كان رقم رينولدز أكبر من 2000 فإنه يعني بأن الجريان الصفحى غير مستقر، ومن المحتمل أن تكبر الاضطرابات جاعلةً الجريان مضطرباً.

يمكن استنتاج المعادلة التالية في الجريان الصفحى والتي تعطى ضياعات الارتفاع الناتجة عن الاحتكاك عبر الافتراض بأن القوى ستؤثر على اسطوانة من الماء موجودة داخل الأنابيب:

$$h_f = \frac{32\mu LV}{D^2 \rho g} = \frac{32\mu LV}{D^2 w}$$

حيث

h_f = ضياعات الارتفاع الناتجة عن الاحتكاك، (m) ft

L = طول مقطع الأنابيب المأمور بعين الاعتبار، (m) ft

g = تسارع الجاذبية الأرضية = (9.81 m/s²) .32.2 ft/s²

w = الوزن النوعي للماء، (Kg/m³) . lb/ft³

ونستطيع كتابة المعادلة السابقة بعد إدخال رقم رينولدز كما يلي:

$$h_f = \frac{64}{R} \frac{L}{D} \frac{V^2}{2g}$$

تشابه هذه المعادلة في الجريان الصفعي معادلة Darcy - Weisbach، وذلك لأنه في الجريان الصفعي يعطى الاحتكاك بالعلاقة:

$$f = 64/R$$

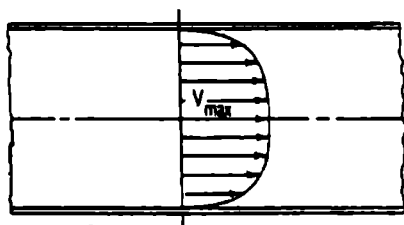
الجريان المضطرب

تكون قوى العطالة كبيرة جداً في الجريان المضطرب بحيث لا تستطيع فرقة الزوجة تخفيد الاضطرابات الناجمة أصلاً عن خشونة السطح. وينشأ عن هذه الاضطرابات دوامات والتي لها سرعتين دورانية وانسحابية (انتقالية). ويؤدي انتقال هذه الدوامات إلى مزج وتبادل كميات من المائع خلال مقاطع المجرى وتتوزع السرعة نتائجاً لذلك بشكل أكثر انتظاماً - كما يبين الشكل 10.4 -، ونظهر التجارب المعاينة على الجريان المضطرب ما يلي:

- ❖ تتناسب ضياعات الارتفاع بشكل طردي مع طول الأنابيب.
- ❖ تتناسب ضياعات الارتفاع تقريباً مع مربع السرعة.
- ❖ تتناسب ضياعات الارتفاع تقريباً بشكل عكسي مع القطر.
- ❖ تعتمد ضياعات الارتفاع على خشونة سطح جدار الأنابيب.
- ❖ تعتمد ضياعات الارتفاع على كافة المائع ولزوجته.
- ❖ تكون ضياعات الارتفاع مستقلة عن الضغط.

معادلة Darcy-Weisbach

تعتبر هذه المعادلة إحدى أهم المعادلات المستخدمة أثناء حساب الجريان داخل الأنابيب، حيث تحدد هذه المعادلة الحالات المنشورة في الفقرة السابقة وتطبق بشكل مقبول على الجريان الصافي أو المضطرب ولجميع المائع.



الشكل 10.4 يكون توزع السرعة لجريان مضطرب في أنبوب دائري بشكل منتظم تقريباً أكثر من السرعة في حالة الجريان الصافي

$$h_f = f \frac{L}{D} \frac{V^2}{2g}$$

حيث

h_f - ضياع الارتفاع الناتج عن الاحتكاك، ft (m).

f - عامل الاحتكاك (يمكن إيجاده في المراجع الهندسية).

L - طول الأنابيب، ft (m).

D - قطر الأنابيب، ft (m).

V - سرعة المائع، ft/s (m/s).

g - تسارع الجاذبية الأرضية = $32.2 \text{ ft/s}^2 (9.81 \text{ m/s}^2)$

تستطيع استخدام مخطط Moody لإيجاد قيمة معامل الاحتكاك f . وبما أن المعادلة السابقة هي معادلة متحانسة بعدياً فإنه يمكن استخدام أي مجموعة والوحدات بدون أن يغير ذلك من قيمة معامل الاحتكاك، ونستطيع إيجاد قيم الخشونة ϵ ، (m) في المراجع الهندسية، وذلك لأننا سنحتاج إليها عند استخدام مخطط Moody لتحديد معامل الاحتكاك وفق معادلة Darcy-Weisback.

معادلة Chezy

تم وضع هذه المعادلة لتقوم بحساب ضياعات الارتفاع في مجاري الماء، وهي تعطي نتائج جيدة في الحالة التي تكون فيها أرقام رينولدز مرتفعة:

$$V = C \sqrt{RS}$$

حيث

V - السرعة، ft/s (m/s) .

C - معامل يتعلق بخشونة سطح المجرى.

S - ميل مستقيم تدرج الطاقة أو ضياعات الارتفاع الناجمة عن الاحتكاك (من المجرى) (m/m) من مجرى ft/ft .

R - نصف القطر الهيدروليكي، (m) .

يحسب نصف القطر الهيدروليكي لمجرى ما عبر تقسيم مساحة مقطع المجرى الماء فيه على محيط المقطع المبتل.

معادلة Manning (معادلة التزويد)

لقد أثبتت التجارب أن معادلة Manning تتضمن القيمة C في معادلة Chezy التي يجب أن تغير مع $R^{1/6}$ كما يلي:

$$C = \frac{1.486 R^{1/6}}{n}$$

حيث

n - معامل يتعلق بخشونة السطح (يعتمد أيضاً على خشونة السطح، ويعامل n أحياناً على أنه وسيط مركزي لجميع ضياعات الارتفاع). وبالتبديل نجد:

$$V = \frac{1.486}{n} R^{2/3} S^{1/2}$$

وبتعريف $D/4$ - حيث D يمثل قطر الأنابيب - في نصف القطر الهيدروليكي للأنبوب يمكننا كتابة المعادلات التالية المعتبرة عن التدفق الكامل ضمن الأنابيب:

$$V = \frac{0.590}{n} D^{2/3} S^{1/2}$$

$$Q = \frac{0.463}{n} D^{8/3} S^{1/2}$$

$$h_f = 4.66 n^2 \frac{L Q^2}{D^{16/3}}$$

$$D = \left(\frac{2.159 Q n}{S^{1/2}} \right)^{3/8}$$

حيث

. ft^3/s (m^3/s) Q

Hazen-Williams

تعتبر هذه المعادلة من أشهر المعادلات المستخدمة في حسابات تدفق الماء ضمن الأنابيب، كما أنها صالحة لحالة القنوات المفتوحة أو التدفق ضمن الأنابيب:

$$V = 1.318 C_1 R^{0.63} S^{0.54}$$

ومن أجل التدفق الكامل ضمن الأنابيب:

$$V = 0.55 C_1 D^{0.63} S^{0.54}$$

$$Q = 0.432 C_1 D^{2.63} S^{0.54}$$

$$h_f = \frac{4.727}{D^{4.87}} L \left(\frac{Q}{C_1} \right)^{1.85}$$

$$D = \frac{1.376}{S^{0.205}} \left(\frac{Q}{C_1} \right)^{0.38}$$

حيث

V - السرعة، ft/s (m/s).

C_1 - معامل يتعلق بخشونة السطح (يعطى في المراجع الهندسية).

R - نصف القطر الهيدروليكي، ft (m).

S - ضياع الارتفاع الناتج عن الاحتكاك، (من الأنابيب m/m) من الأنابيب ft/ft.

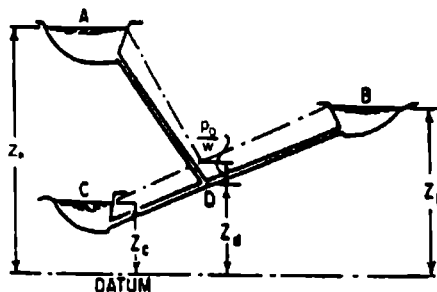
D - قطر الأنابيب، ft (m).

L - طول الأنابيب، ft (m).

Q - التصريف، ft³/s (m³/s).

h_f - ضياعات الاحتكاك، ft (m).

يظهر الشكل 10.5 مسألة مزدوجة لثلاثة خزانات، وارتفاعات خطوط التدرج الهيدروليكي للأنباب الثلاثة متساوية عند النقطة D . ويمكن كتابة معادلة Hazen-Williams لضياع الارتفاع لكل أنبوب متلاقي عند النقطة D . وبتطبيق معادلة الاستمرارية لكميات التدفق نستطيع إيجاد عدد معادلات بعد المجهيل كما يلي:



الشكل 10.5 التدفق بين الحزانات

$$Z_a = Z_d + \frac{P_D}{w} + \frac{4.727 L_A}{D_A^{4.87}} \left(\frac{Q_A}{C_A} \right)^{1.85}$$

$$Z_b = Z_d + \frac{P_D}{w} + \frac{4.727 L_B}{D_B^{4.87}} \left(\frac{Q_B}{C_B} \right)^{1.85}$$

$$Z_c = Z_d + \frac{P_D}{w} + \frac{4.727 L_C}{D_C^{4.87}} \left(\frac{Q_C}{C_C} \right)^{1.85}$$

$$Q_A + Q_B = Q_C$$

حيث

 P_D - الضغط عند النقطة D. w - واحدة الوزن من السائل.

تغيرات الضغط (الارتفاع) الناتجة عن تغير حجم الأنابيب

تحدد ضياعات القدرة في نفاثات الأنابيب والاخناء والموسعات والصمامات وباقى لوازم الأنابيب. وفي الحقيقة يمكن إهمال هذه الضياعات إذا كان طول

الأنبوب أكبر من 1500 مرة من قطر الأنابيب، أما في الأنابيب القصيرة الطول فقد تؤدي هذه الضياعات إلى زيادة ضياعات الاحتكاك وبالتالي يجبأخذها بعين الاعتبار.

التوسيع المفاجئ

لقد تم تحديد المعادلة التالية تحليلياً والتي تستخدم لحساب ضياعات الارتفاع - (m) - ft - أثناء مرور المائع ضمن الموسعات المفاجئة، والتي تعطي نتائج تتوافق مع النتائج العملية:

$$h_L = \frac{(V_1 - V_2)^2}{2g}$$

حيث

V_1 - السرعة قبل التوسيع المفاجئ في المقطع . ft/s (m/s)

V_2 - السرعة بعد التوسيع المفاجئ في المقطع . ft/s (m/s)

$$.32.2 \text{ ft/s}^2 (9.81 \text{ m/s}^2) = g$$

ولقد قدم العالم Arches معادلة أخرى لحساب ضياعات الارتفاع الناتجة عن التوسيع المفاجئ للأنبوب، وتعطي هذه المعادلة نتائج أقرب بقليل من النتائج العملية من المعادلة السابقة:

$$h_L = \frac{1.1(V_1 - V_2)^{1.92}}{2g}$$

التوسيع المتدرج (الموسعات المتدرجة)

تأخذ معادلة ضياع الارتفاع الناتج عن التوسيع المخروطي المتدرج للأنبوب الشكل التالي:

$$h_L = \frac{K(V_1 - V_2)^2}{2g}$$

حيث

K = معامل الضياع والذي يؤخذ من المراجع الهندسية.

التضييق المفاجئ لحجم الأنابيب (التقلص المفاجئ للمقطع)

لقد تم تحديد المعادلة التالية لحساب ضياع الارتفاع الناتج عن التقلص المفاجئ للأنبوب وفق نفس نوع الدراسات التحليلية السابقة:

$$h_L = \left(\frac{1}{C_c} - 1 \right)^2 \frac{V^2}{2g}$$

حيث

C_c = معامل الرص.

V = السرعة ضمن القطر الأصغر للأنبوب، (ft/s) (m/s).

وتعطي هذه المعادلة نتائجاً أفضل إذا كان ضياع الارتفاع أكبر من 0.3 ft (0.3 m).

ولقد قام Brightmore بوضع معادلة تجريبية أخرى لحساب ضياع الارتفاع الناتج عن التقلص المفاجئ للأنبوب والتي لها الشكل التالي:

$$h_L = \frac{0.7(V_1 - V_2)^2}{2g}$$

تعطي هذه المعادلة نتائجاً أدق إذا كان ضياع الارتفاع أقل من 0.3 m (0.3 ft).

تعتبر ضياعات الدخول للأنباب أحد الحالات الخاصة للتقلص المفاجئ، وتقترح بعض المراجع الهندسية قيمة مموجة لمعامل الضياع K الناتج عن دخول المائع إلى الأنابيب كما يلي:

$$h_L = K V^2 / 2g$$

حيث

V = السرعة ضمن الأنابيب.

ضياعات الانحناء واللوازم القياسية

تعطى ضياعات الارتفاع الناتجة عن الانحناءات وعن لوازم الأنابيب مثل الصمامات والأكواب بالعلاقة التالية:

$$h_L = \frac{KV^2}{2g}$$

وللحصول على الضياعات في الانحناءات المغايرة لقيمة 90° ، فإنه يمكن استخدام المعادلة التالية لتعديل قيمة K كما يلي:

$$K' = K \sqrt{\frac{\Delta}{90}}$$

حيث

Δ = زاوية الانحناء بالدرجات، وتعطى قيم K في المراجع الهندسية.

التدفق خلال النوافير

النافورة هي فتحة بمحيط مغلق يتدفق من خلالها الماء، ويمكن أن تأخذ النوافير أي شكل، إلا أنها عادةً ما تكون مدوربة أو مربعة أو مستطيلة الشكل.

تصريف نافورة إلى الهواء الحر

يمكن حساب التصريف المار من نافورة حادة الحواف بالعلاقة:

$$Q = Ca\sqrt{2gh}$$

حيث

Q - التصريف (التدفق المصرف)، (m^3/s) . ft^3/s

C - معامل التصريف.

a - مساحة النافورة، (m^2) . ft^2

g - تسارع الجاذبية الأرضية، (m/s^2) . ft/s^2

h - ارتفاع الماء فوق الخط الأفقي المار عبر مركز النافورة، (m) . ft

يعطى معامل التصريف C في المراجع الهندسية من أجل السرعات المنخفضة، أما إذا كانت السرعة كبيرة فيجبأخذ تأثيره بعين الاعتبار. كما أن قياس الارتفاع اعتباراً من خط المركز للنافورة ليس صحيحاً نظرياً في حالة الارتفاعات الصغيرة، ولكنه يتم تصحيح هذا الخطأ عبر اختيار قيمة C .

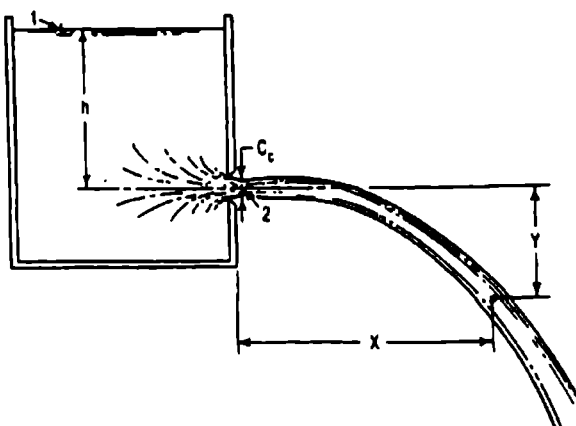
يعتبر معامل التصريف C عبارة عن حاصل ضرب معامل السرعة c . معامل الرص C_c ، ونحصل على معامل السرعة عبر تقسيم السرعة الحقيقة عند عنق النافورة (تقلص التصريف النافث) على السرعة النظرية. ونحصل على السرعة النظرية عبر كتابة معادلة برنولي بين النقاطين 1 و 2 من الشكل 10.6:

$$\frac{V_1^2}{2g} + \frac{P_1}{w} + Z_1 = \frac{V_2^2}{2g} + \frac{P_2}{w} + z_2$$

وبأخذ المستوى المرجعي المار من النقطة 2 يمكننا تعويض: $h = Z_1 - Z_2$ و $P_1/w = P_2/w = 0$ في المعادلة السابقة فنحصل على:

$$V_2 = \sqrt{2gh}$$

ونحصل على معامل الرص C_d عبر الحصول على النسبة بين أصغر مساحة للمائع المنفوت - عنق النافورة - إلى مساحة النافورة. يحدث الرص في المائع المنفوت إذا كانت حواف النافورة عبارة عن مربع، مما يجبر جزء من المائع على الاقتراب من النافورة وفق اتجاه معامد لاتجاه التدفق خلال النافورة.



الشكل 10.6 يأخذ المائع المنفوت مساراً على شكل قطع مكافئ

النواير المغمورة بالماء

يمكن حساب التدفق خلال النواير المغمورة عبر تطبيق معادلة برنولي بين النقطتين 1 و 2 في الشكل 10.7 والحصول على العلاقة:

$$V_2 = \sqrt{2g \left(h_1 - h_2 + \frac{V_1^2}{2g} - h_L \right)}$$

حيث

h_L = الضياعات في الارتفاع بين النقطتين 1 و 2، ft (m).

وبفرض $0 \approx V_1$ ووضع $\Delta h = h_1 - h_2$ ، واستخدام معامل التصريف C في حساب الصياغات نحصل على المعادلة التالية:

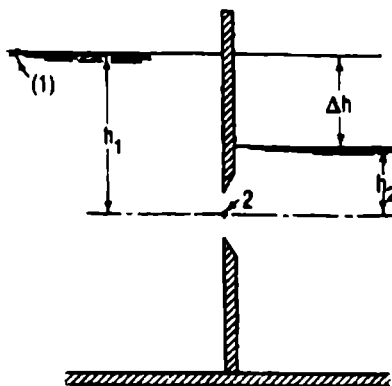
$$Q = Ca\sqrt{2g \Delta h}$$

لا تختلف قيم المعامل C للتوافير المغمورة كثيراً عن قيمة للتوافير غير المغمورة.

معدل التصريف تحت ارتفاع هابط

تولد عملية التدفق من خزان أو وعاء عندما يكون التدفق الداخل أصغر من التدفق الخارج حالة التصريف تحت ارتفاع هابط. ويمكن حساب الزمن المطلوب لتدفق كمية محددة من الماء في خزان غير مساواة حجم الماء المتذبذب خلال الفوهة أو الأنابيب خلال زمن dt مع مقدار تناقص حجم الماء في الخزان. وإذا كانت مساحة الخزان ثابتة فإنه يمكننا كتابة:

$$t = \frac{2A}{Ca\sqrt{2g}} (\sqrt{h_1} - \sqrt{h_2})$$



الشكل 10.7 التصريف خلال تأفوره مغمورة

حيث

- . h_1 - الارتفاع عند بداية التصريف، (m).
- . h_2 - الارتفاع عند نهاية التصريف، (m).
- t - الزمن المستغرق لانخفاض الارتفاع من h_1 إلى h_2 ، s.

نفث الماء

يعاً أن تأثير مقاومة الهواء يعتبر صغيراً على حركة المائع فإن تصريف المائع خلال نافورة إلى الهواء سيأخذ مساراً على شكل قطع مكافئ. وتعطى السرعة الابتدائية للنفث بالعلاقة:

$$V_0 = C_v \sqrt{2gh}$$

حيث

- . h - الارتفاع فوق الخط المركزي للنافورة، (m).
- C_v - معامل السرعة.

يعتمد اتجاه السرعة الابتدائية على توضع السطح الحامل للنافورة، ولتبسيط تم الحصول على المعادلات التالية بافتراض أن النافورة واقفة في مستوى شاقولي (انظر الشكل 10.6). تبقى سرعة المائع المنثورت وفق الاتجاه (الأفقي) X ثابتة:

$$V_x = V_0 = C_v \sqrt{2gh}$$

تأخذ السرعة وفق الاتجاه Y قيمة ابتدائية مساوية للصفر، ثم تصبح تابعة للزمن ولتسارع الجاذبية الأرضية:

$$V_y = gt$$

ويعطى الإحداثي X عند الزمن t بالعلاقة:

$$X = V_x t = t C_v \sqrt{2gh}$$

بينما يعطى الإحداثي Y بالعلاقة:

$$Y = V_{avg} t = \frac{gt^2}{2}$$

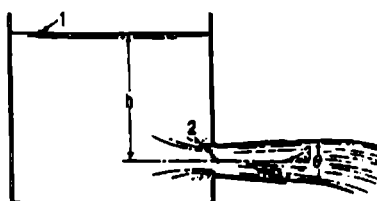
حيث

V_{avg} - السرعة المتوسطة خلال فترة من الزمن t . وتعطى معادلة المسار بالعلاقة:

$$X^2 = C_v^2 4h Y$$

تصريف النافورة إلى الأنابيب المخروطية المتبااعدة

يستطيع هذا النوع من الأنابيب زيادة التدفق عبر النافورة بشكل كبير عبر تخفيف الضغط عند النافورة إلى ما دون الضغط الجوي. ونحصل على الضغط عند مدخل الأنابيب عبر تطبيق معادلة برنولي بين النقطتين 1 و 3 وال نقطتين 1 و 2 في الشكل التالي:



الشكل 10.8 يزيد الأنابيب المخروطية المتبااعدة التدفق من خزان عبر نافورة عبر تخفيف الضغط إلى ما دون الضغط الجوي

$$P_2 = wh \left[1 - \left(\frac{a_3}{a_2} \right)^2 \right]$$

حيث

P_2 - الضغط المقاس عند مدخل الأنابيب، (Pa).

w - وحدة الوزن للماء (الكتلة الحجمية للماء)، (lb/ft³) (Kg/m³).

h - الارتفاع عند المحور المركزي للنافورة، (m).

a_2 - مساحة أصغر مقطع من الماء المنفوت (عنق الفوهة إن كان موجوداً)، (m²).

a_3 - مساحة التصريف عند نهاية الأنابيب، (ft²). ويحسب معدّل التصريف أيضاً عبر كتابة معادلة برنولي بين النقطتين 1 و 3 في الشكل 10.8.

وحتى يكون هذا التحليل مقبولاً يجب أن يكون الأنابيب تمام التدفق، ويجب أن لا ينخفض الضغط عند مقدمة الأنابيب ليصل إلى ضغط تبخر الماء، تظهر تجارب العالم Venturi بأن قيمة الزاوية θ الأكثر فعالية تكون حوالي 5° .

طرق الماء

طرق الماء هو عبارة عن تغير في الضغط - إما أعلى أو أخفض من الضغط الطبيعي - ناتج عن التغير في معدّل التدفق داخل الأنابيب.

تعطى معادلة سرعة الماء ضمن الأنابيب كما يلي:

$$U = \sqrt{\frac{E}{\rho}} \sqrt{\frac{1}{1 + ED/E_p}}$$

حيث

U - سرعة موجة الضغط داخل الأنابيب، (m/s).

$E =$ معامل المرونة للماء $= 43.2 \times 10^6 \text{ lb/ft}^2 (2.07 \times 10^6 \text{ kPa})$

$\rho =$ كثافة الماء $= 1.94 \text{ lb/s ft}^4$ (الوزن النوعي مقسوماً على تسارع الجاذبية الأرضية).

$D =$ قطر الأنابيب، (ft) (m)

$E_p =$ معامل المرونة لمعدن الأنابيب، $\text{lb/ft}^2 (\text{kg/m}^2)$

$t =$ سماكة جدار الأنابيب، (ft) (m)

إجهادات الأنابيب العمودية على المحور الطولي

تنتج الإجهادات المؤثرة عمودياً على المحور الطولي للأنابيب عن الضغط الداخلي أو الخارجي على سطوح الأنابيب. يُولد الضغط الداخلي إجهاداً يدعى الشد الحلقي (hoop tension)، والتي يمكن حسابه عبرأخذ محيط الجسم المز لطول (25.4 mm) in من الأنابيب مقطوعاً بمستوى عمودي على المحور الطولي (الشكل 10.9). تلغي القوى وفق المحور الشاقولي، ويعطي جمجم القوى وفق المحور الأفقي بالعلاقة:

$$pD = 2F$$

حيث

$p =$ الضغط الداخلي، $\text{lb/in}^2 (\text{MPa})$

$D =$ القطر الخارجي للأنابيب، (in) (mm)

$F =$ القوة المؤثرة على كل مقطع من حافة الأنابيب، (lb) (N).

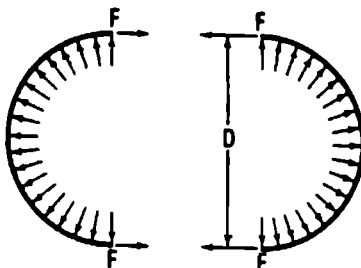
وبالتالي يعطي الإجهاد في مادة الأنابيب، $\text{lb/in}^2 (\text{MPa})$ بالعلاقة:

$$f = \frac{F}{A} = \frac{pD}{2t}$$

حيث

$A =$ مساحة مقطع حافة الأنابيب، $\text{ft}^2 (\text{m}^2)$

t = سمكية جدار الأنابيب، in (mm)



الشكل 10.9 يولد ضغط الأنابيب الداخلي شدًا حلقياً

التمدد الحراري للأنابيب

إذا تعرّض الأنابيب بحالٍ واسعٍ من درجات الحرارة، فإن الإجهاد الناتج عن تغير درجات الحرارة يعطي بالعلاقة:

$$f = cE \Delta T$$

حيث

E = معامل المرونة لمعدن الأنابيب، lb/in² (MPa)

ΔT = تغير درجات الحرارة عن درجة حرارة الإنشاء.

C = معامل التمدد الحراري لمعدن الأنابيب.

ويعطي الحركة الواحد السماح لها – إذا تم استخدام وصلات تمدد – بالعلاقة:

$$\Delta L = L_c \Delta T$$

حيث

ΔL - الحركة وفق الطول L من الأنابيب.

L - المسافة بين وصلتي تمدد.

القوى الناتجة عن انحناءات الأنابيب

إن من الشائع عملياً استخدام كتل دفع في انحناءات الأنابيب لأخذ القوى المؤثرة على الأنابيب الناتجة عن تغير كمية الحركة وضغط الماء الداخلي غير المترافق.

يعبر الشكل 10.10 عن طريقة ملائمة لإيجاد القوة المحصلة المؤثرة على الانحناء، ويمكن تحليل القوى إلى مركبتين X و Z لإيجاد طريله واتجاه القوى المحصلة المؤثرة على الأنابيب، ونجد في الشكل 10.10 ما يلي:

V_1 - السرعة قبل تغير حجم الأنابيب، ft/s (m/s).

V_2 - السرعة بعد تغير حجم الأنابيب، ft/s (m/s).

p_1 - الضغط قبل الانحناء أو تغير حجم الأنابيب، lb/ft² (kPa).

p_2 - الضغط بعد الانحناء أو تغير حجم الأنابيب، lb/ft² (kPa).

A_1 - المساحة قبل تغير حجم الأنابيب، ft² (m²).

A_2 - المساحة بعد تغير حجم الأنابيب، ft² (m²).

F_{2m} - القوة الناتجة عن كمية الحركة للماء في المقطع 2 - $V_2 Qw/g$.

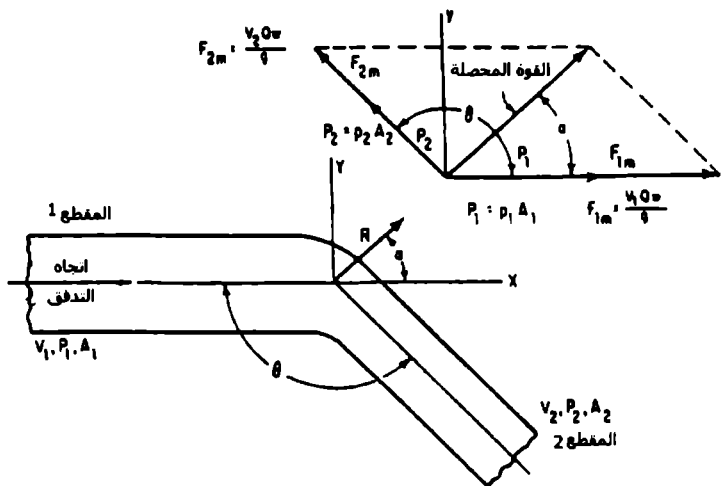
F_{1m} - القوة الناتجة عن كمية الحركة للماء في المقطع 1 - $V_1 Qw/g$.

P_2 - ضغط الماء في المقطع 2 مضروباً بمساحة المقطع 2 - $p_2 A_2$.

P_1 - ضغط الماء في المقطع 1 مضروباً بمساحة المقطع 1 - $p_1 A_1$.

w = وزن الوحدة للسائل، (lb/ft^3) (Kg/m^3)

Q = التدفق (معدل التصريف)، (ft^3/s) (m^3/s)



الشكل 10.10 القوى الناتجة عن التدفق ضمن أنبوب منحني ومتغير القطر

إذا كان ضياع الضغط مهماً وليس هناك تغير في طولية السرعة حول الاختناء، فإنه يمكننا تطبيق الحل السريع التالي:

$$R = 2A \left(w \frac{V^2}{g} + p \right) \cos \frac{\theta}{2}$$

$$\alpha = \frac{\theta}{2}$$

حيث

R - القوة المحصلة المؤثرة على الاختلاء (N) lb.

α - الزاوية التي تصنفها المحصلة مع القوة F_{im} .

P - الضغط . lb/ft² (kPa)

w - وزن الوحدة للماء = .62.4 lb/ft³ (998.4 Kg/m³)

v - سرعة الجريان، ft/s (m/s)

g - تسارع الجاذبية الأرضية = .32.2 ft/s² (9.81 m/s²)

A - مساحة مقطع الأنابيب، ft² (m²)

θ - الزاوية بين طرف الأنابيب ($0^\circ \leq \theta \leq 180^\circ$)

الحجم الاقتصادي للأنباب الموزعة

توجد هناك معادلة لاعطاء قطر الأنابيب الأكثر اقتصادية لنظام توزيع أنابيب المياه وهي:

$$D = 0.215 \left(\frac{fb Q_a^3 S}{ai H_a} \right)^{1/7}$$

حيث

D - قطر الأنابيب، ft (m)

f - عامل احتكاك Darcy-Weisbach

b - سعر الطاقة (القدرة)، (\$/KW) خلال سنة hp

Q_a - متوسط معدل التصريف، ft³/s (m³/s)

- S - الإجهاد المسموح به لمعدن الأنابيب، (lb/in^2 (MPa)).
- ٤ - تكلفة الاصلاح لخط الأنابيب سنوياً (معيناً عنه كجزء من الكلفة الكلية).
- H - متوسط الارتفاع (الضغط) المطبق على الأنابيب، (m (ft)).

تحديد القطر المناسب لأنابيب الماء والبخار

تعتبر حسابات ضياعات المائع ضرورية لتحديد الحجم الدقيق للأنبوب. ولذلك تعتبر هذه نقطة البداية لتصميم أي نظام أنابيب سواءً أكان لسائل أو غاز. وعادةً ما يكون إبقاء السرعة أعلى ما يمكن أمراً أكثر اقتصادية لأنها تنتج ضياعات أقل، وسيعطي الحجم الأمثل للأنبوب مصاريف سنوية صغرى مثل كلفة الضخ مضافةً لها كلفة الإنشاء الأساسية.

ننصحك بأن تأخذ قيمة السرعة من الجدول التالي والذي يعتمد على التطبيق المراد تحديد الأنابيب له، ولكن تذكر بأنها ستكون قيماً تقريرية فقط وتحتاج إلى إعادة تقسيم بعد إنجاز حساباتك حتى تصل إلى الحجم الاقتصادي.

m/s	ft/s	مجال السرعة	مجال الخدمة
0.61 to 1.5	2 to 5		أنابيب المياه المائية الرئيسية
1.2 to 3.1	4 to 10		أنابيب مياه الخدمة العامة
1.8 to 5.5	6 to 18		أنابيب مياه تغذية الرجل
4.6 to 21.3	15 to 70		أنابيب البخار الساخن منخفض الضغط.
21.3 to 50.3	70 to 165		أنابيب بخار رئيسية بضغط منخفض
50.3 to 121.9	165 to 400		أنابيب بخار رئيسية بضغط عال
30.5 to 45.7	100 to 150		أنابيب المضخات والمحرك البخاري
45.7 to 100.6	150 to 330		أنابيب العنفة البخارية

تردد السرعة المسموح بها نوعاً ما مع زيادة قطر الأنابيب، لذلك أعد التحقق من قيمة السرعة V نتيجة المعادلات التالية مستخدماً قطر الأنابيب d :

$$\text{خطوط تصريف المضخة ft/s} \quad V = (d/2) + 4$$

$$\text{خطوط سحب المضخة ft/s} \quad V = 1/3 (d/2) + 4$$

$$1000 \text{ ft/min, أنابيب البحار} \quad V = d$$

وباستخدام قيمة السرعة التقريرية احسب حجم الأنابيب من المعادلة:

$$ID \text{ of pipe} = \sqrt{\frac{0.409 \times gal/min}{velocity, ft/s}}$$

حساب التدفق عبر القياس بالفنتوري

يعطى التدفق الماء خلال الفنتوري (الشكل 10.11) بالعلاقة التالية:

$$Q = c K d_2^2 \sqrt{h_1 - h_2}$$

$$K = \frac{4}{\pi} \sqrt{\frac{2g}{1 - (d_2/d_1)^2}}$$

حيث

Q = معدل التدفق، ft^3/s (m^3/s).

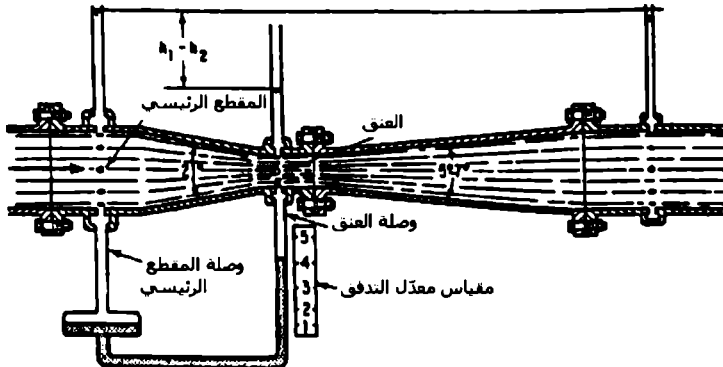
c = معامل تصريف تجربى يتعلق بالسرعة عند العنق وبالقطر.

d_1 = قطر المقطع الرئيسي، ft (m).

d_2 = قطر العنق، ft (m).

h_1 = الضغط عند المقطع الرئيسي، ft (m) عمود ماء.

h_2 = الضغط عند مقطع العنق، ft (m) عمود ماء.



الشكل 10.11 مقياس فتورى القياسى

الجريان غير المنتظم في الأقنية المفتوحة

سنسنخدم الرموز التالية في هذا الفصل:

V - سرعة التدفق في القناة المفتوحة، (m/s) (ft/s)

D - العمق الحرج، (m) (ft)

g - تسارع الجاذبية الأرضية، (m/s^2) (ft/s^2)

Q - معدل التدفق، (m^3/s) (ft^3/s)

q - معدل التدفق لكل واحدة عرض، (m^3/m) (ft^3/ft)

H_m - القدرة النوعية الصغرى، ($Kg.m/lb$) ($ft.lb/lb$)

وتعطى أبعاد القناة بالأقدام أو الأمتار، كما تم إعطاء الرموز الموافقة لتلك الأبعاد وشرحها من خلال النص.

يحدث التدفق غير المنتظم في الأقبية المفتوحة عندما يتم تغيير مساحة مقطع الجريان بشكل متدرج أو مفاجئ، ولقد استخدم المصطلحان التدفق متدرج التغير والتدفق سريع التغير لوصف هذين النوعين من الجريان غير المنتظم، وسنقدم المعادلات التالية للتعبير عن التدفق في حال كون:

(1) إذا كان مقطع القناة مستطيل الشكل.

(2) إذا كان مقطع القناة مثلث الشكل.

(3) إذا كان مقطع القناة على شكل قطع مكافئ.

(4) إذا كان مقطع القناة على شكل شبه منحرف.

(5) إذا كان مقطع القناة دائري الشكل.

تغطي هذه الأنواع الخمسة معظم أنواع الأقبية التي تشاهد في الحياة العملية، ويظهر الشكل 10.12 علاقات القدرة العامة للجريان ضمن الأقبية المفتوحة.

الأقبية مستطيلة المقطع

يساوي العمق الخروج D_c في الأقبية مستطيلة المقطع العمق الوسطي D_m ، ويساوي عرض قعر القناة b العرض العلوي T ، وعندما يُؤخذ تصريف السائل كتدفق لكل قدم (متر) من عرض القناة q ، فإن b و T لها نفس الواحدة. عندها يمكن حساب السرعة المتوسطة V_c بالعلاقة:

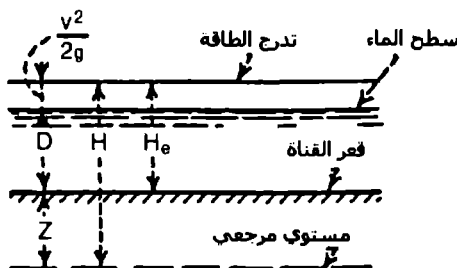
$$V_c = \sqrt{g D_c}$$

و

$$D_c = \frac{V_c^2}{g}$$

أيضاً

$$Q = \sqrt{g} b D_c^{3/2}$$



الشكل 10.12 طاقة جريان السائل ضمن القناة المفتوحة

حيث

g يعبر عن تسارع الجاذبية الأرضية بنظام الوحدات الدولية SI أو بنظام USCS.

$$q = \sqrt{g} D_c^{3/2}$$

و

$$D_c = \sqrt[3]{\frac{q^2}{g}}$$

ونعطي القدرة النوعية الصغرى بالعلاقة:

$$H_m = \frac{3}{2} D_c$$

وبعطي العمق المخرج بالعلاقة:

$$D_c = 2/3 H_m$$

عندما يمكن إعطاء معدل التصريف لكل قدم (متر) من العرض بالعلاقة:

$$q = \sqrt{g} (2/3)^{3/2} H_m^{3/2}$$

وبتعريض قيمة $g = 32.16$ تصبح المعادلة السابقة كما يلي:

$$q = 3.087 H_m^{3/2}$$

الأقنية مثلثة المقطع

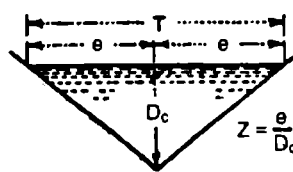
إذا كان العمق الأعظمي D_c فإن العمق الوسطي D_m في الأقنية مثلثة المقطع (الشكل 10.13) يساوي إلى نصف العمق الأعظمي $D_m = \frac{1}{2} D_c$ ، عندما:

$$V_c = \sqrt{\frac{g D_c}{2}}$$

و

$$D_c = \frac{2 V_c^2}{g}$$

وكما هو واضح في الشكل 10.13 فإن ميل جداري القناة معبراً عنه بالنسبة بين البعد الأفقي إلى البعد الشاقولي، وإذا كان المقطع متناهياً فإنه $e/D_c = z$ وتعطى المساحة بالعلاقة $a = z D_c^2$ وعندما:



الشكل 10.13 القناة المفتوحة مثلثة المقطع

$$Q = \sqrt{\frac{g}{2} z D_c^{5/2}}$$

و بتعریض $g = 32.16$

$$Q = 4.01 z D_c^{5/2}$$

و

$$D_c = \sqrt{\frac{2Q^2}{gz^2}}$$

أو

$$Q = \sqrt[5]{\frac{g}{2}} \left(\frac{4}{5} \right)^{5/2} z H_m^{5/2}$$

و بتعریض $g = 32.16$

$$Q = 2.295 z H_m^{5/2}$$

الأقنية ذات المقطع على شكل قطع مكافىء

إن من المناسب أن نعرف هذه الأقنية بمعطليين هما العرض العلوي T والعمق D_c ، عندها تعطى مساحة المقطع بالعلاقة $T = 2/3 D_c + a$ ، و سرعة للفطر الوسطي V_c بالرمز D_m .

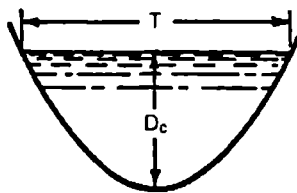
$$V_c = \sqrt{2/3 g D_c}$$

و

$$D_c = \frac{3}{2} \frac{V_c^2}{g}$$

بالناتي

$$Q = \sqrt{\frac{8g}{27}} TD_c^{3/2}$$



الشكل 10.14 قناة مفتوحة ذات شكل قطع مكافئ

وبتعويض $g = 32.16$

$$Q = 3.087 TD_c^{3/2}$$

,

$$D_c = \frac{3}{2} \sqrt[3]{\frac{Q^2}{gT^2}}$$

أيضاً

$$Q = \sqrt{\frac{8g}{27}} \left(\frac{3}{4}\right)^{3/2} TH_m^{3/2}$$

وبتعويض $g = 32.16$

$$Q = 2.005 TH_m^{3/2}$$

الأقنية التي لها مقطع شبه منحرف

يظهر الشكل 10.15 قناة لها شكل شبه منحرف له العمق D_c وعرض القعر b ، ويرمز لميل الوجودة - البعد الأفقي مقسماً على البعد الشاقولي - z . وبالتعبير عن أبعاد القناة كتابع للعمق الوسطي D_m ، عندها يعطى العمق المخرج H والسرعة المتوسطة V_c بالعلاقةين:

$$V_c = \sqrt{\frac{b + zD_c}{b + 2zD_c} g D_c}$$

$$D_c = \frac{V_c^2}{c} - \frac{b}{2z} + \sqrt{\frac{V_c^4}{g^2} + \frac{b^2}{4z^2}}$$

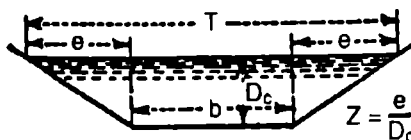
ويعطى معدل التصريف خلال القناة:

$$Q = \sqrt{g \frac{(b + zD_c)^3}{b + 2zD_c} D_c^{3/2}}$$

ويعطى العمق المخرج والقدرة النوعية الصغرى بالعلاقةين:

$$H_m = \frac{3b + 5zD_c}{2b + 4zD_c} D_c$$

$$D_c = \frac{4zH_m - 3b + \sqrt{16z^2 H_m^2 + 16zH_m b + 9b^2}}{10z}$$



الشكل 10.15 قناة مفتوحة ذات مقطع شبه منحرف

الأقنية دائيرية المقطع

يظهر الشكل 10.16 قناة غرذجية دائيرية المقطع حيث يمكننا حساب a المساحة، و T العرض العلوي، والعمق D_c بالعلاقات:

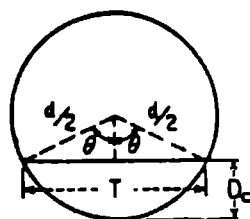
$$a = \frac{d^2}{4} \left(\theta_r - \frac{1}{2} \sin 2\theta \right)$$

$$T = d \sin \theta$$

$$D_c = \frac{d}{2} (1 - \cos \theta)$$

ثم يعطى التدفق بالعلاقة:

$$Q = \frac{2^{3/2} g^{1/2} (\theta_r - 1/2 \sin 2\theta)^{3/2}}{8(\sin \theta)^{1/2} (1 - \cos \theta)^{5/2}} D_c^{5/2}$$



الشكل 10.16 قناة دائيرية المقطع

المضخات

تعریف

المضخة هي آلة أو جهاز لرفع السائل - والذي يعتبر مائعاً غير قابل للانضغاط - إلى مستوى أعلى أو إلى ضغط أعلى. أما الضاغط فهو آلة أو جهاز لرفع الغاز - والذي هو مائع قابل للانضغاط - إلى ضغط أعلى. وتدعى الأجهزة التي تطرد الهواء من أنواعية مختلفة بمضخات الهواء، وهي في الواقع ضواغط هواء تعمل تحت الضغط الجوي.

ويضغط النافخ - تمييزاً عن الضاغط - الغاز إلى ضغط أقل نسبياً. أما المروحة فهي بالأصل معدة لتحرير حجوم كبيرة من الغاز، والضغط الناتج عن المروحة صغير وهو أمر ثانوي الأهمية.

قياسات الارتفاع (فرق الضغط)

يتكون فرق الضغط الذي على المضخة تحقيقه أو العمل ضده من ارتفاع ستاتيكى مضافاً له جميع ضياعات الاحتكاك في الأنابيب، ويمكن حساب قيمته إلا أنه يجب من الناحية العملية تحديده ضمن اختبار عبر قياس الضغوط في الأنابيب الموصولة بالمضخة من كلا جانبي الامتصاص والتصريف.

لنفرض

- h = الارتفاع الكلى بالأقدام (الأمتار).
- p = ضغط السائل معيناً عنه بالأقدام (الأمتار من السائل).
- z = ارتفاع مركز مقياس التصريف فوق النقطة التي يقاس عندها ضغط السحب.
- v = السرعة بالقدم في الثانية (متر في الثانية) عند المقطع الموصول به المقياس.
- g = تسارع الجاذبية الأرضية، (m/s^2) .
ft/s²

يشير الدليل d إلى قيم التصريف، بينما يشير الدليل s إلى قيم السحب، وعندما نستطيع أن نكتب:

$$h = p_d - p_s + z + \frac{V_d^2}{2g} - \frac{V_s^2}{2g}$$

إذا كان الضغط عند جهة المدخل أخفض من الضغط الجوي، وإذا استخدمنا ضغط المقياس في المعادلة السابقة عندها سيأخذ الضغط p قيمة سالبة.

القدرة (الطاقة)

إذا فرضنا أن

q = معدل التصريف، (m^3/s) . ft^3/s

. gal/min (L/min) = G

w = كثافة السائل، lb/ft^3

وتدعى الاستطاعة المائية للسائل بالاستطاعة المائية مقدرة بالحصان وتعطى بالعلاقة التالية:

$$\text{الاستطاعة المائية} = \frac{wqh}{550} hp \quad (1 hp = 0.75 kW)$$

وفي حال استخدام الكثافة المألفة للماء والمساوية للقيمة (8.0 Kg/m^3 ، 62.4 lb/ft^3) وبالتالي ينتج معنا ما يلي:

$$\text{الاستطاعة المائية} = \frac{qh}{8.81} = \frac{Gh}{3960} hp \quad (1 hp = 0.75 kW)$$

ومن أجل أنواع أخرى من السوائل لها الثقل النوعي s ، ويجب عندها ضرب العلاقاتتين السابقتين بالثقل النوعي s . وإذا كان Δ المردود الكلي للمضخة

عندما تطلى استطاعة الدخل للمضخة والتي تدعى عادةً باستطاعة الكبح
بالعلاقة: (brake horsepower)

$$\text{استطاعة الكبح} = \frac{qh}{e \times 8.81} = \frac{Gh}{e \times 3960} \text{ hp} \quad (1 \text{ hp} = 0.75 \text{ kW})$$

تحديد المرادي

يعرف المردود - ويدعى أحياناً المردود الكلي أو الإجمالي - على أنه النسبة بين الاستطاعة المسلمة من السائل إلى استطاعة الدخل للمضخة، ويعطى بالعلاقة:

$$e = \frac{\text{استطاعة الماء}}{\text{استطاعة الكبح}} = \frac{\text{kW}}{\text{hp}}$$

ويعبر عن المردود الهيدروليكي e بالنسبة بين الاستطاعة الفعلية المعطاة من الماء إلى القدرة المقدمة إلى الماء أو السوائل الأخرى، والفرق بين هاتين القيمتين هو ضياعات الاحتكاك الهيدروليكي.

ويعطى المردود الميكانيكي e_m عبر النسبة بين الطاقة المسلمة للماء إلى الطاقة المولعة لإدارة المضخة.

والفرق بينهما هو ضياعات الاحتكاك الميكانيكية، مثل الاحتكاكات في المدحرجات... الخ.

ويعطى المردود الحجمي e_v عبر النسبة بين كمية الماء الفعلية المسلمة إلى تلك الواجب تسليمها إذا لم يكن هناك ضياعات ترب، المقطع غير الكامل للصمام، ... الخ.

ونعني بالانزلاق Slip - في حالة المضخات ذات الإزاحة الموجبة - الفرق بين الإزاحة الحقيقة وحجم السائل المسلم فعلياً معيناً عنه كتبة مئوية من الإزاحة.
وتعطى العلاقة بين الانزلاق والمردود الحجمي على الشكل التالي:

$$\text{Slip} = 100(1 - e_v)$$

ويكون المردود الكلي عبارة عن حاصل ضرب المردود الهيدروليكي والميكانيكي والمحجمي، أي:

$$e = e_h \times e_m \times e_v$$

الخدمة (duty) وهو مفهوم آخر يعبر عن مردود محركات المضخ المقادة بالبخار. ويعبر عن الخدمة عادةً بالقدم. باوند من العمل المنجز لكل 1000 ليرة (J/454 Kg) من البخار المستاجر، ولكنه يُعبر بشكل أكثر دقة عن الخدمة بالوحدات التالية، قدم. باوند من العمل المنجز لكل مليون Btu (J/1.1 MJ) مستاجر.

ارتفاع السحب

يمكن حساب ارتفاع السحب النظري كما يلي:

$$L = b - p_v - h_f - \frac{V_s^2}{2g}$$

حيث

L - ارتفاع السحب (علو المص).

b - الضغط البارومטרי للسائل، (m) ft.

p_v - ضغط التبخر للماء، (m) ft.

h_f - ضياعات الاحتكاك في الصمام وأنابيب السحب، الح.

V_s - السرعة عند مدخل المضخة (من جهة سحب المضخة).

وإذا كان السائل ماءً فإنه من المفضل إبقاء الضغط أكبر من ضغط التبخر على الأقل بقدر (3 m). ولذلك فإن الارتفاع الأعظمي المسموح به سيكون أقل من القيمة الموجودة في المعادلة السابقة بحوالي (3 m).

ويؤخذ ارتفاع السحب عادةً في التطبيقات العملية بقيمة (6 m) أو (20 ft) للماء البارد، ويتناقض كلما ازدادت درجة حرارة الماء، وإذا كانت درجة الحرارة فوق 160°F (71°C) فيجب أن يتم تزويد الماء للمضخة وهو تحت ضغط موجب.

الطاقة ضمن أنظمة الضخ

إذا كان المائع غير قابل للانضغاط فإنه يملك قدرة (طاقة) على شكل سرعة وضغط وطاقة كامنة (ارتفاع)، وتتص نظرية برنولي للموائع غير القابلة للانضغاط ولجريان ثابت بدون ضياعات، وأن القدرة عند أي نقطة هي جموع الارتفاع الناتج عن السرعة والارتفاع الناتج عن الضغط والارتفاع الناتج عن فرق المنسوب، ويعتبر هذا الجموع ثابتاً من أجل خط تدفق ضمن الحجرى. لذلك تعطي الطاقة (القدرة) H -H أو ft.lbf/lb - (m) - النسبية أو المطلقة لأي نقطة من النظام منسوبة إلى مستوى مرجعي مختار بالعلاقة التالية:

$$H = \frac{V^2}{2g} + \frac{144p}{w} + Z$$

حيث

V - السرعة، ft/s (m/s) .

g - تسارع الجاذبية الأرضية، وهي تساوي تقريرياً 32.17 ft/s^2 (9.81 m/s^2) .

p - الضغط (موجب أو سالب)، lb/in^2 (kPa) .

w - الوزن النوعي للسائل، lb/ft^3 (Kg/m^3) .

Z - المنسوب فوق (+) أو تحت (-) المستوى المرجعي، ft (m) .

فرق الارتفاع الكلي للمضخة

يقصد بفرق الارتفاع الكلي للمضخة الفرق في الطاقة بين تصريف المضخة (النقطة 2) وسحب المضخة (النقطة 1)، كما هو موضح في الشكل 10.17، وبطبيق نظرية برنولي عند كل نقطة، يعطى فرق الارتفاع الكلي للمضخة TH بالأقدام (الأمتار) بالعلاقة التالية:

$$TH = H_d - H_s = \left(\frac{V_d^2}{2g} + \frac{144p_d}{w_d} + Z_d \right) - \left(\frac{V_s^2}{2g} + \frac{144p_s}{w_s} + Z_s \right)$$

وتعطي معادلة فرق الضغط للمضخة ΔP (kPa) psi كما يلي:

$$\begin{aligned} P_\Delta &= P_d - P_s \\ &= \left[p_d + 0.433sp gr_d \left(Z_d + \frac{V_d^2}{2g} \right) \right] \\ &\quad - \left[p_s + 0.433sp gr_s \left(Z_s + \frac{V_s^2}{2g} \right) \right] \end{aligned}$$

حيث يدل الدليلان d و s على التصريف والسحب على التوالي، و:

H - الارتفاع الكلي (موجب أو سالب)، قدم بالنسبة لمستوي أو قدم مطلق، (m).

P - الضغط الكلي (موجب أو سالب)، psi نسبية (أو kPa مطلقة).

V - السرعة، ft/s (m/s).

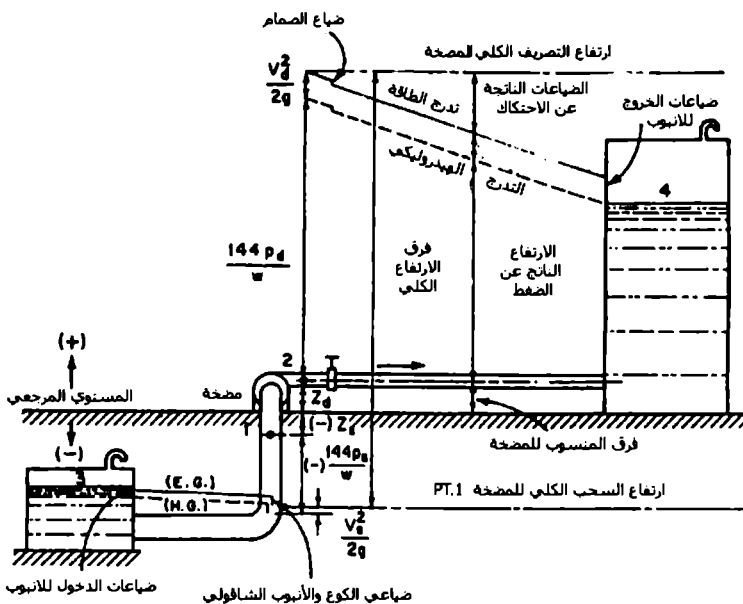
p - الضغط (موجب أو سالب)، psi نسبية أو kPa مطلقة.

Z - المنسوب فوق (+) أو تحت (-) المستوي المرجعي المختار، (m).

w - الوزن النوعي للسائل، lb/ft³ (Kg/m³).

sp gr = الكثافة النوعية للسائل.

g = تسارع الجاذبية الأرضية، حوالي 32.17 ft/s^2 (9.81 m/s^2)



الشكل 10.17 الطاقة والتدرجات الميدانية

تؤخذ قيمة فرق الارتفاع الكلي TH (m, ft)، وفرق الضغط للمضخة P_H (psi, kPa) دائمًا ككميات (كتفيم) مطلقة وذلك إما كقيم ضغوط منسوبة (مقاسة) أو كقيم ضغوط مطلقة - ولكن ليس لكليهما - وذلك عندأخذ ضغطى السحب والتصريف للمضخة، كما يجب اختيار مستوى مرجعي عام.

ويعكّن نسب فرق الارتفاع الكلّي بالأقدام (أمتار) إلى فرق الضغط للمضخة،
كمًا يلي:

$$TH = \frac{144 P \Delta}{w}$$

ويكّن تطبيق المعادلة العامة التالية لتحديد فرق الارتفاع الكلّي للمضخة بين أي نقطتين واقعتين في ضمن نظام الضخ بشرطين الأول أن تكون الطاقة المضافة هي فقط ناتجة عن المضخة والشرط الثاني عدم تغير الوزن النوعي للسائل (مثلاً نتيجة لتغير درجات الحرارة):

$$\begin{aligned} TH &= H_2 - H_1 + \sum h_f(1-2) \\ &= \left(\frac{V_2^2}{2g} + \frac{144 p_2}{w} + Z_2 \right) - \left(\frac{V_1^2}{2g} + \frac{144 p_1}{w} + Z_1 \right) + \sum h_f(1-2) \end{aligned}$$

حيث يدل الدليلان 1 و 2 على أي نقطتين إحداهما فوق المضخة والثانية تحت المضخة على التوالي، و:

H - فرق الارتفاع الكلّي (موجب أو سالب)، ft نسي أو ft مطلق، (m).

v - السرعة، (m/s)

p - الضغط (موجب أو سالب)، lb/in² نسي أو psi أو kPa مطلق، (kPa).

Z - المنسوب فوق (+) أو تحت (-) المستوى المرجعي المختار، ft (m).

w - الوزن النوعي للسائل (ويفترض أن يبقى نفسه عند النقطتين)، (Kg/m³) (lb/ft³).

g - تسارع الجاذبية الأرضية، حوالي (9.81 m/s²) (32.17 ft/s²).

$\sum h_f$ - مجموع الضياعات بين النقطتين، (m).

عند معرفة الثقل النوعي للسائل، فيمكن عندها حساب فرق الارتفاع الناتج عن الضغط بالقدم (المتر) من العلاقة التالية:

$$\frac{144p}{w} = \frac{2.31p}{sp gr}$$

كما يمكن حساب السرعة ضمن الأنابيب بالقدم في الثانية (المتر في الثانية) من المعادلة التالية:

$$V = \frac{gpm \times 0.408}{(pipe ID)^2}$$

معادلات الاستطاعة والضغط والتدفق للمضخة

يتم ضخ السائل عبر مضخة دوارنية بتدفق معين، (gpm) (gallons per minute)، والذي يتغير ويتعلق بدوران محور المضخة بعدد دورات في الدقيقة، (rpm) (revolutions per minute)، كما يلي:

$$\frac{gpm_2}{gpm_1} = \frac{rpm_2}{rpm_1}$$

حيث يدل الدليلان 1 و 2 على معدل تدفقين مختلفين عند سرعتي دوران المحور. يستغرى الارتفاع الحقيق HD في المضخة وفق مربع معدل التدفقين وأيضاً وفق مربع سرعتي الدوران كما يلي:

$$\frac{HD_2}{HD_1} = \left(\frac{gpm_2}{gpm_1} \right)^2 = \left(\frac{rpm_2}{rpm_1} \right)^2$$

وستتغير استطاعة الدخل للمضخة مع مكعب معدل التدفق، ومكعب سرعة الدوران، ومع الارتفاع الحقيق بقوة 1.5 كما يلي:

$$\frac{bhp_2}{bhp_1} = \left(\frac{gpm_2}{gpm_1} \right)^3 = \left(\frac{rpm_2}{rpm_1} \right)^3 = \left(\frac{HD_2}{HD_1} \right)^{1.5}$$

ويعكس حساب استطاعة الكبح لدخل المضخة بالحصان البخاري bhp ، لتدفق معطى (gpm) ولستقل نوعي للسائل $sp\ gr$ ، وإذا كان مردود المضخة $Pump_{EFF}$ معروفاً وفق المعادلة التالية:

$$bhp = \frac{gpm \times HD \times sp\ gr}{3960 \times pump_{EFF}}$$

وإذا ثُمِّت إدارة المضخة بمحرك كهربائي، وإذا كان مردود المحرك (عزم/محور، M/D_{EFF}) حوالي $(95 - 85)\%$ فإنه يمكن حساب استطاعة المحركة الكهربائي كما يلي:

$$mhp = \frac{bhp}{M/D_{EFF}}$$

ويعطى الارتفاع الناتج عن السرعة VH (ft/m)، في نظام الصخ وفق العلاقة:

$$VH = \frac{V^2}{2g}$$

حيث

V - سرعة السائل ضمن الأنابيب، (ft/s) (m/s).

g - تسارع الجاذبية الأرضية = 32.2 ft/s^2 (9.81 m/s^2)

ويعطى ارتفاع الضخ للمضخة بالأقدام (بالأمتار) من السائل الذي يضخ وفق العلاقة:

$$HD = \frac{P \times 2.31}{sp\ gr}$$

حيث

.1.0 - التقل النوعي للسائل المراد ضخه، بالمقارنة مع الثقل النوعي للماء - $\frac{sp}{gr}$

ضياعات الضغط ضمن الأنابيب والملحقات

إذا تدفق مائع ضمن أنبوب أو ملحقات الأنابيب، فإنه ستحدث ضياعات في الضغط الناجمة عن الاحتكاك ضمن الأنبوب والمقاومة التي تبديها الملحقات. وإذا كان الأنبوب طويلاً فإن ضياعات الضغط الناجمة عن الانحناءات أو الصمامات أو الملحقات الأخرى تعتبر مهملاً مقارنة مع الضياعات الناجمة عن طول الأنبوب نفسه، أما إذا كانت الأنابيب قصيرة مع استقامات قليلة فعندما تصبح الضياعات الناجمة عن الانحناءات والصمامات والملحقات الأخرى مؤثرة ولا يمكن إ忽الها.

وتستطيع حساب ضياعات الضغط ضمن الأنابيب المستقيمة استخدام معادلة Darcy-Weisbach أو معادلة Manning أو معادلة Hazen-Williams، بينما تحسب الضياعات ضمن الانحناءات أو الصمامات أو الملحقات الأخرى عبر إيجاد الطول المكافئ لها كما هو مبين في الجدول 10.2. حيث يضاف الطول المكافئ إلى الطول الأصلي للأنبوب لتحديد الطول الكلي الذي سيستخدم في حسابات ضياعات الضغط. ويمكن استخدام أية معادلة من المعادلات الثلاث المذكورة بعد إيجاد الطول الكلي (الإجمالي) وتعويضه وذلك لحساب الضياعات في الضغط.

ارتفاع السحب الوجب الصافي للمضخات الترددية

يتحرك المكبس في المضخات الترددية للأمام والخلف ضمن الاسطوانة مولداً فرقاً في التسارع، ولذلك يجب علينا التعامل مع ارتفاع السحب الوجب الصافي المتوفر.

ارتفاع السحب الموجب الصافي المتوفّر

يعرف ارتفاع السحب الموجب الصافي المتوفّر (NPSHA) على أنه فرق الارتفاع الشمسي مضافاً له فرق ارتفاع الجو مطروحاً منه ضياعات الرفع والاحتكاك وضغط التبخر والارتفاع الناتج عن السرعة والارتفاع الناتج عن التسارع مقدراً بالقدم والملوحة عند المحور المار من مركز أنبوب السحب.

ويمكن اعتبار الارتفاع الناتج عن التسارع هو العامل الأعلى في NPSHA، وقد يبلغ في بعض الحالات عشرة أضعاف جميع الضياعات الأخرى. ولتحديد الارتفاع الناتج عن التسارع يجب معرفة معلومات عن المضخة وعن نظام السحب، ولا يمكن حسابه ما لم تتوفر هذه المعلومات.

الارتفاع الناتج عن التسارع

يكون التدفق في أنبوب السحب متوجهاً بشكل دائم ويكون متتسارعاً أو متبططاً بشكل مستمر ودوري، ولا يعتبر الارتفاع الناتج عن التسارع ضياعاً لأن الطاقة سيعاد تخزينها خلال التباطؤ. ويعرف الارتفاع الناتج عن التسارع وفق العلاقة التالية:

$$H_a = \frac{L \times V \times n \times C}{g \times K}$$

حيث

H_a - ضياع الارتفاع الناتج عن التسارع، ft (m).

L - طول أنبوب السحب، ft (m).

V - السرعة الوسطية في أنبوب السحب، ft/s (m/s).

الجدول 10.2 الطول المكافئ متعلقاً بقطرى الأنابيب L/D لمختلف الصمامات والملحقات

450	صمام كروي، مفتوح كاملاً
200	صمام زاوي، مفتوح كاملاً
13	صمام بوابي، مفتوح كاملاً
35	ثلاثة أرباع الفتح
160	نصف الفتح
900	ربع الفتح
135	صمامات فحص دوارة، فتحة كاملة
150	صمامات فحص كروية، فتحة كاملة
20	صمامات فراشة، 6 مداخل أو أكثر، فتحة كاملة.
30	كوع قياسي 90°
16	كوع قياسي 45°
20	كوع بنصف قطر كبير 90°
50	كوع شارع 90°
26	كوع شارع 45°
	شكل T قياسي:
20	التدفق خلال الاتجاه الرئيسي
60	التدفق خلال فرع

$$V = \frac{gpm \times 0.321}{in^2 \text{ مساحة مقطع أنبوب السحب}}$$

حيث

n = سرعة دوران المضخة، rpm.

g = تسارع الجاذبية الأرضية = 32.2 ft/s^2

K - عامل يتعلق بالموائع المختلفة:

1.4 للماء.

2.5 للنفط.

1.0 سائل مع غاز إدخال.

C - عامل يتعلق بنوع المضخة:

0.115 ثانية

0.006 ثلاثة

0.08 رابعة

0.04 خماسية

0.055 سادسية

0.028 سباعية

عندما يتكون نظام السحب من أنابيب مختلفة الأقطار، قم بحساب الارتفاع الناتج عن التسارع لكل مقطع على حدة، ثم اجمع الارتفاعات الناتجة عن التسارع لكل مقطع للحصول على الارتفاع الكلي.

إذا كان ارتفاع السحب الموجب الصافي المتوفر - بما فيه الارتفاع الناتج عن التسارع - أكبر من الممكن تأمينه من نظام السحب فإنه يجب زيادة ارتفاع السحب الموجب الصافي، والذي يمكن تحقيقه عبر:

1. زيادة الارتفاع статический.

2. زيادة الضغط الجوي.

3. إضافة مضخة دعم للنظام.

4. إضافة محمد نبضات.

نستطيع إيجاد أبسط تعريف لارتفاع الناتج عن التسارع كما يلي:

تسارع السائل في أنبوب السحب $G_s = V \times n \times C = ft/s^2$

$$F_s = \frac{W_s \times G_s}{g} = lb, \quad \text{القوة التي تنتج التسارع}$$

حيث

W_s - وزن السائل الموجود في الأنابيب $= LA \times sp gr$ ، و:

$$H_t = \frac{F_s \times 2.31}{A_s \times sp gr} = \text{قدم من السائل، الارتفاع النظري}$$

حيث

A_s - مساحة مقطع الأنابيب، وبالتبديل نحصل على:

$$H_L = \frac{W_s VnC \times 2.31}{A_s \times sp gr \times g} = \frac{LVnC}{g}$$

$$H_a = \frac{H_t}{K}$$

حيث

K - النسبة بين الارتفاع النظري والارتفاع الحقيقي، ولذلك:

$$H_a = \frac{LVnC}{gK}$$

حيث

$. rpm$ - سرعة دوران المضخة، rpm

$. ft (m)$ - ارتفاع السحب، h_s

$. ft (m)$ - ضياعات الاحتكاك في الأنابيب، h_f

A_s = مساحة مقطع أنبوب السحب، (mm^2) . in^2 .

L = طول ذراع التوصيل، (من المركز إلى المركز)، (m) . ft .

R = نصف قطر العمود المرفقي، (m) . ft .

l = طول الأنابيب حيثما يتم قياس مقاومة التدفق، (m) . ft .

A_p = مساحة المكبس، (mm^2) . in^2 .

ارتفاع السحب الموجب الصافي لمضخات الطرد المركزي

يعبر ارتفاع السحب الموجب الصافي ($NPSH_v$) عن شروط السحب الأصغرية المطلوبة لمنع حدوث ظاهرة التكهف في المضخة، ويجب أن يحدد ارتفاع السحب الموجب الصافي ($NPSH_v$) الأصغر أو المطلوب عبر إجراء اختبار عادة ما يتم في المصنع.

ويجب أن يكون $NPSH_v$ المتوفّر مساوياً على الأقل للارتفاع ($NPSH$) المطلوب إذا أردنا تجنب ظاهرة التكهف، وزيادة $NPSH_v$ المتوفّر سيزيد من هامش الأمان تجاه حدوث التكهف. وستستخدم الرموز التالية والشكل 10.18 لحساب قيمة $NPSH_v$:

p_v = الضغط المطلق في الوسط المحيط بالقياس، الشكل 10.18.

p_s = الضغط المقاس (النسبي) ويتم الحصول عليه عبر وصل مانومتر إلى أنبوب سحب المضخة المقطع $s-s$ ، يمكن أن يكون موجباً أو سالباً.

p_i = الضغط المطلق عند سطح السائل الحر في الخزان المغلق الموصول إلى سحب المضخة.

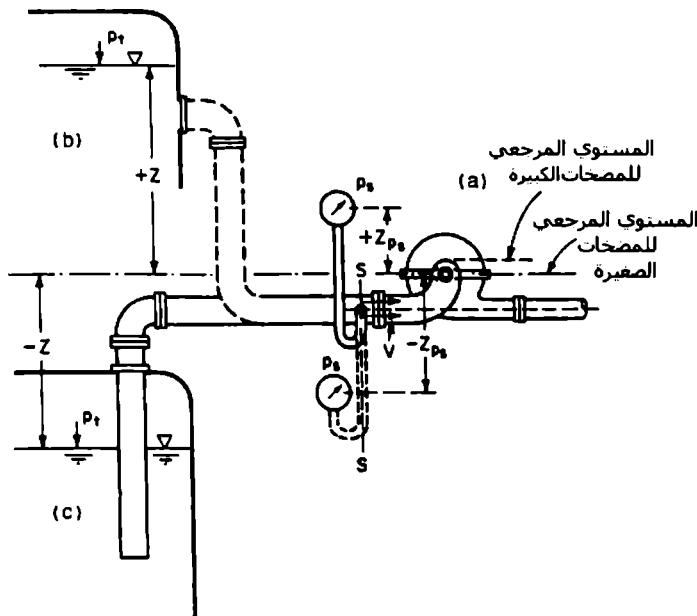
$p_{v,p}$ = ضغط البخار للسائل المراد ضخه والمتعلق بدرجة الحرارة عند المقطع $s-s$ ، وإذا كان السائل خليطاً من الهيدروكربونات، فيجب قياس $p_{v,p}$ عبر طريقة نقطة تكون الفقاعي (bubble point Method).

h_f - الضياع في الارتفاع الناتج عن الاحتكاك في أنبوب السحب بين الخزان والمقطع s-s.

v - السرعة المتوسطة عند المقطع s-s.

Z_p و Z_{ps} - المسافتين الشاقوليتين المعروفين في الشكل 10.18، ويعكن أن تكونا موجبين أو سالبين.

٢ - الوزن النوعي للسائل عند درجة حرارة الصخ.



الشكل 10.18 مخطط توضيحي لحساب ارتفاع السحب الموجب الصافي (NPSH)

إن من المفضل اختيار المستوى المرجعي للمضخات الصغيرة كما هو مبين في الشكل 10.18، ولكن في المضخات الكبيرة يجب رفع المستوى المرجعي إلى الارتفاع الذي يتحمل أكثر أن يبدأ عنده حدوث ظاهرة التكهف. فمثلاً يجب اختيار المستوى المرجعي لضخة كبيرة ذات مروحة محور أفقى عند أقصى ارتفاع يواافق الطرف العلوي للعنفة الدوارة.

ويعطى NPSH المتوفى بالعلاقة:

$$h_{sv} = \frac{p_s - p_{vp}}{\gamma} + \frac{p_s}{\gamma} + Z_{ps} + \frac{V^2}{2g}$$

أو

$$h_{sv} = \frac{p_t - p_{vp}}{\gamma} + Z - h_f$$

يجب اختيار وحدات متحانسة تتبع لنظام وحدات واحد، لذلك سيعطى كل حد موجود في المعادلين السابقين بواحدة القدم (أو المتر) من السائل المضخوخ. وأيضاً:

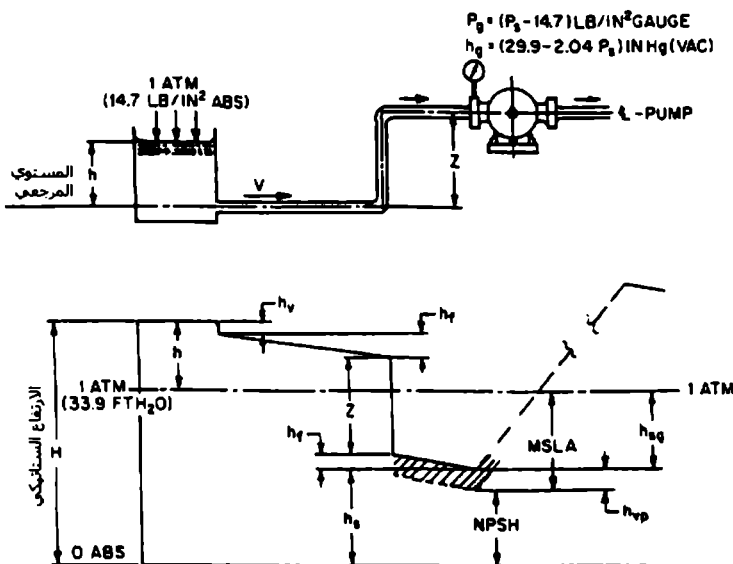
$$h_{sv} = h_b + h_s$$

عادةً ما ندعى القيمة الموجبة للارتفاع h_s بارتفاع السحب، بينما تدعى القيمة السالبة للارتفاع h_b بعلو الامتصاص (ارتفاع المص).

المضخات اللولبية وارتفاع الامتصاص الأعظمي

تحدث عملية الامتصاص عندما يكون الضغط الكلي الناتج عند مدخل المضخة أقل من الضغط الجوى، ومن الطبيعي أن يكون ناتجاً عن تغير الارتفاع والاحتكاك داخل الأنوب. كما تستطيع المضخات اللولبية تأمين تفريغ عالى، ولا يقوم هذا التفريغ بإجبار المائع على التدفق، وكما شرحنا آنفاً فإن الضغط الجوى أو أي

ضغط خارجي (عيط) مطبق هو الذي سيدفع الماء إلى مدخل المضخة. ولما أن الضغط الجوي عند سطح البحر يصل إلى (مطلاقة 14.7 psi أو 30 in Hg) فإنه يعبر الضغط الأعظمي المتوفّر لتحريك الماء، ولا يمكن لارتفاع الامتصاص زيادة هذه القيمة أو الفاعلية. وعملياً يجب توفير قيمة ضغط أخفض وذلك ليتعلّب بعضه على تفطّيّة الاحتكاك في مداخل الأنابيب والصمامات والأكواع، ... الخ. وإن من الأمور الواجبأخذها بعين الاعتبار عملياً هو إبقاء ارتفاع الامتصاص أقل ما يمكن (الشكل 10.19).



الشكل 10.19 العلاقة بين التدرج الهيدروليكي و NPSH و MSLA.

الارتفاع الكلّي عند المنبع = الارتفاع الناتج عن السرعة + ارتفاع المنسوب + الارتفاع стاتيكي + ضياع الارتفاع الناتج عن الاحتكاك.

$$\begin{aligned}
 H_{st}(m) &= h + \frac{33.9}{w} = h_v + Z + h_s + \sum(h_f) \\
 &= \frac{V^2}{2g} + Z + \frac{144P_s}{w} + \frac{144P_f}{w}
 \end{aligned}$$

الارتفاع статический عند مدخل المضخة - ارتفاع السحب المرجب الصافي + ضغط بخار السائل، ft (m) abs.

$$h_s = NPSH + h_{vp}$$

أو

$$NPSH = h_s - h_{vp}$$

ارتفاع الامتصاص الأعظمي المتوفر - NPSH معياراً عنه كتبة إلى الضغط الجوي (قراءة المقياس).

$$MSLA = 1 \text{ atm} - NPSH$$

حيث

P_g , h_g - قراءة الضغط المقاس عند مدخل المضخة، مقاس in Hg(vac) و psi
 P_s , h_s - الضغط статический المطلق عند مدخل المضخة، مطلق أم من السائل، مطلق أم مقاس (نسبي).

Z - الارتفاع الناتج عن فرق المنسوب، (m) ft بالنسبة إلى المستوى المرجعي.

h - مستوى السائل في الخزان، (m) ft بالنسبة إلى المستوى المرجعي.

h_v , h_r - الارتفاع الناتج عن السرعة وضياع الارتفاع الناتج عن الاحتكاك.

p_{vp} , h_{vp} - ضغط بخار السائل، مطلق psi، أو الحرارة، مطلق (m) ft.

P_{sv} = ضغط الدخول الموجب الصافي، مطلق psi.

$NPSH$ = ارتفاع السحب الموجب الصافي، (m) ft عمود سائل مطلق.

P_{sv} = ضغط الدخول الموجب الصافي الناتج عن عمل المضخة.

$MSLA$ = ارتفاع الامتصاص الأعظمي المقدم من المضخة، (m) ft عمود سائل أو .in Hg(vac)

w = الوزن النوعي للسائل.

السرعة النوعية للمضخات التجارية

تعطي المعادلات التالية - الشكل 10.20 - السرعات النوعية النموذجية للمضخات التجارية. وتعطي السرعة النوعية لأي مضخة طاردة مرئية بالعلاقة:

$$S = \frac{rpm, \sqrt{gpm}}{h_{sv}^{3/4}}$$

من أجل نفس Q, S, h_{sv}

$$n_{\text{double suction}} = \sqrt{2n_{\text{single suction}}} = 1.414 n_{\text{single suction}}$$

من أجل نفس Q, H, h_{sv}

$$(n_s)_{\text{double suction}} = \sqrt{2(n_s)_{\text{single suction}}} = 1.414(n_s)_{\text{single suction}}$$

من أجل نفس Q, n_s, h_{sv}

$$H_{\text{double suction}} = 1.587 H_{\text{single suction}}$$

من أجل نفس Q, n

$$(h_{sv})_{\text{double suction}} = 0.630(h_{sv})_{\text{single suction}}$$

$$n_{\max} = \frac{S(h_{sv})^{3/4}}{\sqrt{Q}} \approx \frac{8000(h_{sv})^{3/4}}{\sqrt{Q}}$$

حيث

. سحب مفرد : single suction

. سحب ثبائي : double suction

$$\text{gpm} = Q$$

H = قدم من السائل المراد ضخه،

$$\text{rpm} = n$$

h_{sv} = قدم من السائل المراد ضخه.

سرعة السحب النوعية S

يمكن أن نحصل على سرعة السحب النوعية S المعادلة التالية:

$$S = \frac{N\sqrt{Q}}{(h_{sv})^{3/4}}$$

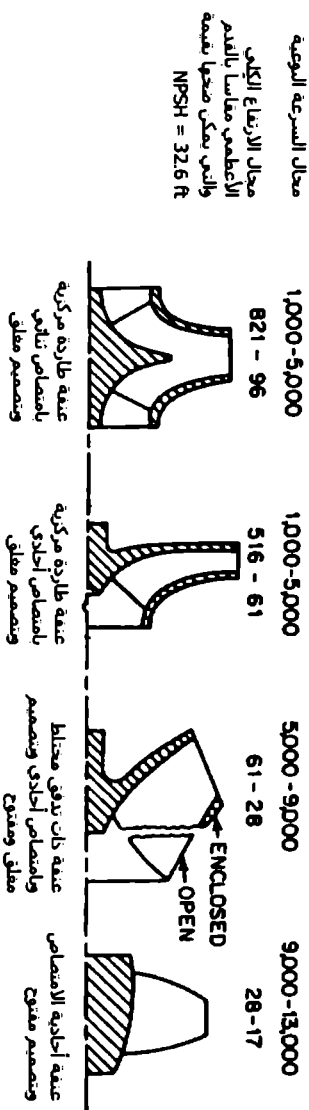
لاحظ بأن التدفق Q يساوي نصف التصريف في حالة كون العنفة ثنائية السحب عند حساب S.

كما يمكن تقسيم المعادلات في الشكل 10.20 إلى الحدود:

$$\sigma = \left(\frac{n_s}{S} \right)^{4/3}$$

أو

$$n_s = S(\sigma)^{1/4}$$



الشكل ١٠.٢٠ حدد السرعة الموجية H ، الارتفاع الكلوي h بارتفاع امتصاص صفرى (افتراض أن 85°F ، 1.0 spgr) عند سطح البحر، يكفى القبأ 8.000 ft (NPSH) 32.6ft

تشغيل المضخات الطاردة المركزية عند معدلات تدفق منخفضة

عندما ينخفض التدفق خلال المضخة الطاردة المركزية فإن درجة حرارة السائل المراد ضخه ستترتفع بشكل سريع وعken حساتها وفق العلاقة:

$$T_m = \frac{42.4 \times P_{SO}}{W_w \times C_w}$$

حيث:

T_m - ارتفاع درجة الحرارة، °F/min.

P_{SO} - استطاعة الكبح مقدرة بالحصان عند الإيقاف.

42.4 - عامل تحويل من bhp إلى Btu/min.

W_w - وزن السائل الصافي داخل المضخة، lb.

C_w - الحرارة النوعية للسائل (وتتساوي 1.0 إذا كان السائل هو الماء).

إذا استمر التدفق خلال المضخة وبعد أن تصبح هذه الشروط مستقرة، فمن الممكن حساب ارتفاع درجة الحرارة خلال المضخة لأي تدفق معطى، وبفرض أن السائل هو الماء فإنه يمكننا استخدام المعادلة التالية:

$$T = \frac{(bhp - whp) \times 2545}{capacity, lb/h}$$

حيث

T - ارتفاع درجة الحرارة، °F/min، و $2545 = Btu$ مكافأة لحصان بخاري في الساعة .hp.hr.

وهناك علاقة أخرى تعطي ارتفاع درجة الحرارة ولكن بدلاًلة الارتفاع الكلي ومردود المضخة كما يلي:

$$T = \frac{H}{778} \left(\frac{1}{e} - 1 \right)$$

حيث

H - الارتفاع الكلي، ft.

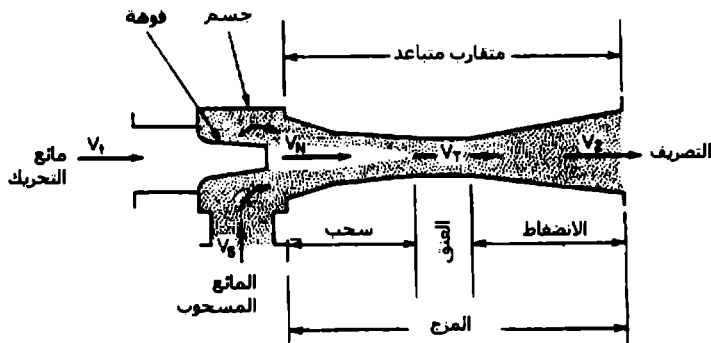
e - مردود المضخة عند السعة المعطاة.

(لاحظ بأن هذه المعادلات تهم تأثير انضغاطية الماء، ولكن من أجل إجراء حسابات أدق لارتفاع درجة الحرارة وخاصة عند الضغوط المرتفعة جداً فإنه يجب أخذ الحسابات الترموديناميكية بعين الاعتبار).

المستخرجات (المفرّغات) Eductors

مقدمة نظرية وتصميمية

لقد طُرِّعت نظرية المستخرج (المفرّغ) (الشكل 10.21) من معادلة برنولي. حيث يحول الضغط стاتيكي عند مدخل الفوهة إلى طاقة حرارية عبر إjection المائع على الستدفق بحرية من خلال فوهة متقاربة. حيث يشكل ذلك المائع الناتج ذو السرعة العالية مائع الامتصاص في حجرة السحب، وتكون نتيجة انتزاع المائع تدفق بسرعة متوسطة. يقوم الناشر بعدها بتحويل ضغط السرعة ثانية إلى ضغط ستاتيكي عند تصريف المائع من المستخرج.



الشكل 10.21 فوهة نافثة تحول طاقة الضغط إلى سرعة عبر وضع متقارب ومزج المائع ومن ثم تحويل السرعة ثانية إلى ضغط

وبكتابة معادلة برنولي لائع التحرير (المائع الحرك) خلال فوهة المستخرج (المفرغ)، يكون لدينا:

$$\frac{P_1}{w_1} + \frac{V_1^2}{2g} = \frac{P_s}{w_1} + \frac{V_N^2}{2g}$$

حيث

P_1 - الضغط статический بعيداً عن الفوهة، lb/ft^2 .

P_s - الضغط статический عند الامتصاص (عند فم الفوهة)، lb/ft^2 .

V_1 - السرعة بعيداً عن الفوهة، ft/s .

V_N - السرعة عند فتحة الفوهة (فم الفوهة)، ft/s .

w_1 - الوزن النوعي للسائل الحرك، lb/ft^3 .

قبل الفوهة يمكن اعتبار جميع الطاقة هي ارتفاع ستاتيكي وبالتالي سيحذف الحد V_1 ، وبالتالي نجد:

$$\frac{V_N^2}{2g} = \frac{P_1 - P_s}{w_1}$$

يدعى هذا الحد بالارتفاع العامل (ارتفاع العمل) (operating head). وبتطبيق نفس المبدأ ضمن المتقارب المتبع على الجريان المزوج، ماعدا التأثير المعاكس للفوهة يمكننا كتابة:

$$\frac{P_s}{w_2} + \frac{V_T^2}{2g} = \frac{P_2}{w_2} + \frac{V_2^2}{2g}$$

حيث

P_s - الضغط статический عند طرف السحب، lb/ft^2 .

P_2 - الضغط статический عند التصريف، lb/ft^2 .

V_T - السرعة خالل عنق المتقارب المتبع، ft/s .

V_2 - السرعة عند طرف التصريف بعد الفوهة، ft/s .

w_2 - الوزن النوعي للموائع المزوجة، lb/ft^3 .

وعند طرف التصريف وبعيداً عن الناشر فإننا نفترض بأن السرعة تحولت إلى ضغط ستاتيكي، وبالتالي $V_2 = 0$.

ويمكننا كتابة:

$$\frac{V_T^2}{2g} = \frac{P_2 - P_s}{w_2}$$

يدعى هذا الحد بارتفاع التصريف (discharge head). وتعُرف نسبة الارتفاع R_H عندما على أنها الارتفاع العامل منسوباً على ارتفاع التصريف:

$$R_H = \frac{V_N^2 / 2g}{V_T^2 / 2g} = \frac{V_N^2}{V_T^2} = \frac{(P_1 - P_s) / w_1}{(P_2 - P_s) / w_2} = \frac{(P_1 - P_s)w_2}{(P_2 - P_s)w_1}$$

وبسبب وجود النسب فإنه من المناسب استبدال الوزن النوعي بالكتلة النوعية:

$$R_H = \frac{(P_1 - P_s)sp gr_2}{(P_2 - P_s)sp gr_1}$$

عندما يكون المائع الحُرك هو نفسه المائع المتصل، فإنه لا حاجة لتصحيحات الجاذبية وستصبح المعادلة السابقة:

$$R_H = \frac{H_1 - H_s}{H_2 - H_s}$$

حيث

$H_1 - H_s$ = الارتفاع العامل، ft.

$H_2 - H_s$ = ارتفاع التصريف، ft.

ونحدد شروط السحب عبر تطبيق معادلة الكميات كما يلي:

$$M_1 V_N + M_s F_s = (M_1 + M_s) V_T$$

حيث

M_1 = كتلة المائع الحُرك، Slugs (وحدة فية بريطانية للكتلة).

M_2 = كتلة المائع المتصل، Slugs

V_N = السرعة عند تصريف الفوهة، ft/s

V_s = السرعة عند مدخل السحب، ft/s

. V_T - السرعة عند عنق المتقارب المتبعـد، ft/s.

وباعتبار السرعة عند مدخل السحب معدومة فإنه:

$$M_s = M_1 \left(\frac{V_N}{V_T} - 1 \right)$$

ويعرّف الحد التالي على أنه النسبة الوزنية العاملة:

$$R_w = \frac{M_s}{M_1} = \frac{V_N}{V_T} - 1$$

ويعـرف أن الحد V_N^2/V_T^2 تم تعريفه على أنه نسبة الارتفاع R_H ، سنكتـب:

$$R_w = \sqrt{R_H} - 1$$

وعـكن الآن إيجاد نسبة الحجم R_w كما يلي:

$$\frac{Q_s}{Q_1} = R_w \frac{sp g \eta}{sp gr_2}$$

حيث

Q_s - تدفق السحب بـوحدات الحجم.

Q_1 - تدفق المائع المحرّك بـوحدات الحجم.

تصميم محور المضخة

معايير التصميم

إجهاد الانحناء: يمكن حساب إجهادات الفتل في المحور بـتطبيق المعادلتين التاليـتين:

$$S_s = \frac{16T}{D_o^2} \quad \text{للمحاور المصمتة}$$

$$S_s = \frac{16T}{D_o^2(1 - D^4/D_o^4)} \quad \text{للمحاور المفرغة}$$

حيث

S_s = إجهاد قص الفتل، lb/in².

T = العزم المنقول، lb.in.

D = قطر المحور الداخلي (من أجل المحاور المفرغة فقط)، in.

D_o = قطر المحور الخارجي، in.

تعتمد قيمة إجهاد القص المسموح به على نوع المعدن الذي يصنع منه المحور، وفيما إذا كان معرضاً أيضاً لحمولات أخرى، مثل الانحناء أو الضغط. يجب أن يكون عامل أمان التصميم للمحور مساوياً أو أكبر من المركبات الأخرى التي سيتعرض لها.

السرعة الحرجة: تحدد السرعة الحرجة لمحور عبر تحديد الانحراف أو التشوه له، أو "sag" تدلي المحور في الوضع الأفقي تحت تأثير وزنه فقط، حيث يعتبر هذا التدلي هو المعيار الأصغر، بينما تعتبر السرعة الحرجة هي المعيار الأكبر. وعملياً ستكون للمحاور الطويلة والرفيعة سرعة حرجة منخفضة، بينما ستكون للمحاور القصيرة وذات الأقطار الكبيرة سرعة حرجة عالية جداً، ويعطي الانحراف لمحور بسيط التثبيت وفق العلاقة:

$$y = \frac{5wL^4}{384EI} = \text{انحراف (تشوه) المحور}$$

لاحظ أن:

$$I = \frac{\pi D_o^4}{64} \quad \text{للمحاور المصمتة}$$

$$I = \frac{\pi(D_o^4 - D^4)}{64} \quad \text{للمحاور المفرغة}$$

حيث

w - وزن المحور لكل وحدة طول، lb/in.

L - الطول بين المدحرجات التي يستند إليها المحور، in.

E - معامل يونغ، psi.

I - عزم العطالة، in⁴.

ويمكن إعارة الانحراف أو التشوه العمودي للمحور، فإنه من الممكن حساب السرعة الموجة الأولى من المعادلة:

$$N_{crit} = 187 \sqrt{\frac{1}{y}}$$

والتي تعبر عن السرعة الموجة مباشرةً بعد الدورات في الدقيقة rpm للمحور الدوار.

حسابات استطاعة المضخة

استطاعة الخرج

يمكن إيجاد استطاعة الماء (Whp) أو العمل المفید للنجز بتطبيق العلاقة:

$$whp = \frac{\text{الارتفاع الكلي بالقدم من السائل} \times \text{min}}{\text{من السائل المضخو خ lb}}$$

كتلة نوعية مساوية 33,000

إذا كان للسائل ثقلًا نوعياً متساوياً للواحد وزناً نوعياً متساوياً للقيمة lb/ft^3 62.3 عند درجة الحرارة 68°F ، عندما ستصبح المعادلة كما يلي:

$$whp = \frac{gpm \times \text{head, ft}}{3960}$$

استطاعة الدخل

يمكن إيجاد استطاعة الكبح المطلوبة لتحرير المضخة عبر تطبيق المعادلة:

$$\text{bhp} = \frac{\text{gpm} \times \text{total head, ft}}{3960 \times \text{pump efficiency}}$$

حيث نحصل على مردود المضخة من المعادلة التالية:

$$\frac{\text{الخرج}}{\text{الدخل}} = \frac{\text{whp}}{\text{bhp}} - \text{مردود المضخة}$$

وتعطى الاستطاعة الكهربائية (ehp) المقدمة للمحرك بالعلاقة:

$$\begin{aligned} \text{ehp} &= \frac{\text{bhp}}{\text{motor efficiency}} \\ &= \frac{\text{gpm} \times \text{head, ft}}{3960 \times \text{pump efficiency} \times \text{motor efficiency}} \end{aligned}$$

وتعطى استطاعة الدخل للمحرك بالكيلو واط كما يلي:

$$\begin{aligned} \text{kW input} &= \frac{\text{bhp} \times 0.746}{\text{motor efficiency}} \\ &= \frac{\text{gpm} \times \text{head} \times 0.746}{3960 \times \text{pump efficiency} \times \text{motor efficiency}} \end{aligned}$$

مردود المضخة

يعطى مردود المضخة بالعلاقة التالية:

$$\text{pump efficiency} = \frac{\text{output}}{\text{input}} = \frac{\text{whp}}{\text{bhp}}$$

ومن أجل مضخة مقادة بمحرك كهربائي فإنه يمكن إيجاد المردود الإجمالي كما يلي:

$$\text{المردود الإجمالي} = \text{مردود المضخة} \times \text{مردود المحرك.}$$

وإن من المطلوب في العديد من الموصفات أن يستخدم محرك عمل فعلي خاص بالمضخة خلال اختبارات حقلية أو في المختبر. واعتماداً على هذا النوع من الاختبار فإن المردود الكلي هنا يأخذ تسمية شائعة حيث يسمى مردود سلك إلى ماء (wire to - water efficiency)

$$\text{Overall efficiency} = \frac{\text{whp}}{\text{ehp input}} = \frac{\text{whp}}{\text{ehp}}$$

كيف تشكل جداول الأنابيب الفولاذ

استخدم المعادلة التالية لتشكيل سماكات الأنابيب المطلوبة والمعادن وحجم الأنابيب الاسمي من أجل استخدامه في تطبيق عملي.

$$t_m = \frac{PD}{2S + 2yP} + C$$

حيث

t_m - سماكة الجدار الأصغرية، in. وإذا أوجدت السماكة الاسمية أضف إليها % 1.25 لتغطية تساحمات العمل.

P - الضغط الداخلي الأعظمي، psig، عند درجة حرارة العمل (التشغيل).

D - قطر الأنابيب الخارجي، in.

S - الإجهاد المسموح به عند درجة حرارة التشغيل (العمل)، psi، ويؤخذ من المراجع الهندسية.

C - تسامح للاستقرار الإنساني فقط، خذ تسامحاً إضافياً للتناكل من الجدول التالي:

الجدول 10.3

أنبوب مخلزن (وأصغر 3/4-in)	0.065
أنبوب مخلزن (وأكبر 1-in)	عمق الخلزنة
أنبوب مخدّد	عمق التخديد
أنبوب غير مخلزن النهاية (وأصغر 3½-in)	0.065
أنبوب غير مخلزن النهاية (وأكبر 4-in)	0.000

ـ معامل درجة الحرارة والمعدن:

الجدول 10.4

نوع الفولاذ	درجة الحرارة، °F					
	1150 فرق	1100	1050	1000	950	900 تحت
فربين	0.7	0.7	0.7	0.7	0.5	0.4
أوستينitic	0.7	0.5	0.4	0.4	0.4	0.4

ابحث الآن في جدول خصائص الأنابيب واستخرج الأنبوب الذي يملك السماكة الأكبر مباشرةً من السماكة المحسوبة، وأعد تفقد وفحص مجالات الضغط ودرجات الحرارة باستخدام أبعاد الأنبوب الفعلي. وباستخدام ID للأنبوب الفعلي أعد تفحص الضياعات الهيدروليكيه.

تقدير وزن الأنبوب تبعاً لكل قدم من الطول

احصل أولأ على القطر الداخلي مقدراً بالإنش من المعادلة:

$$ID = OD - 2t$$

حيث

ID = القطر الداخلي للأنبوب، in.

OD = القطر الخارجي للأنبوب يوحد من الجدول، in.

e = سمك جدار الأنابيب وتوخذ من الجدول، in.

عندما:

$$\text{Wt/ft of length} = 0.85 \pi (OD^2 - ID^2)$$

معادلات الجريان الصفيحي والمضطرب في الأنابيب

توجد هنا 21 معادلة - ستة للجريان الصفيحي و 15 للمضطرب للماء داخل الأنابيب - تعبر عن الجريان داخل أنبوب موضوعة في الجدول 10.5. وتؤمن هذه المعادلات تحويلات سهلة عند معرفة متغيرات مختلفة عن الجريان، وهذه المتغيرات هي طول الأنبوب، سرعة المائع، قطر الأنبوب، ضياعات الضغط، معدل التدفق، عامل الاحتكاك، السرعة المطلقة.

مصطلحات ورموز

$$cP (\text{lb.s/ft}^2) = cSt$$

d = قطر الأنابيب الداخلي، in.

D = قطر الأنابيب الداخلي، ft.

f = عامل الاحتكاك، لا بعدي.

g = الجاذبية الأرضية، ft/s^2 .

H_L = ضياعات الارتفاع، ft.

L = طول الأنابيب، ft.

L_{in} = طول الأنابيب، in.

Δp = ضياعات الضغط، psi.

ΔP = ضياعات الضغط، psf.

q = التدفق، gal/min.

Q = التدفق، ft³/s.

$Q_{in,3}$ = التدفق، in³/s.

R_e = رقم رينولدز. $\mu DV/\rho$ واحداته النموذجية:

$3162 q/dv_{cSt}$ gal/min, in, cSt

$50.6 q\gamma/d\mu_{cp}$ gal/min, lb/ft³, in, cP

$\gamma DV/g\mu$ lb/ft³, ft, ft/s, lb.s/ft²

v = سرعة المائع، in/s.

V = سرعة المائع، ft/s.

μ = اللزوجة المطلقة، lb.s/ft².

ν = μ/ρ , اللزوجة الحركية، ft²/s.

ρ = كثافة الكتلة، lb.s²/ft⁴ = slugs/ft³.

γ = كثافة الوزن، lb/ft³.

ϵ/D = الخشونة النسبية لجدار الأنابيب، قيم ϵ ، ft، للأنايبير المسحوبة $10^6 \times 5$ ، الفولاذ أو الحديد المطاوع $10^6 \times 150$ ، D = القطر الداخلي.

لبيت فقط ، سجلات ملحة $\frac{V}{D^2 \Delta P}$ (= ٥٥ lb/ft²) . العدليات الحالية العادة لكل العديليات

النوع	المعادلات	السرعة	صياغة الخط	كل العديليات	المتغير
الدقيق	$V = \sqrt{\frac{d^2 \Delta P}{fL}} \times 3.73$	$Q = \sqrt{\frac{d^3 \Delta P}{fL}} \times 0.0203$	$V = \frac{d}{fL} V^2 \times 0.072$	$V = \frac{d}{fL} Q$	L
الحادي	$V = \sqrt{\frac{d^2 \Delta P}{fL}} \times 3.73$	$Q = \sqrt{\frac{d^3 \Delta P}{fL}} \times 9.1$	$V = \frac{d}{fL} q^2 \times 0.0123$	$V = \frac{d}{fL} q$	f
الحادي الصعب فقط	$V = \sqrt{\frac{d^2 \Delta P}{fL}} \times 3.73$	$Q = \sqrt{\frac{d^3 \Delta P}{fL}} \times 9.1$	$V = \frac{d}{fL} q$	$V = \frac{d}{fL} q$	f
الحادي الصعب فقط	$V = \frac{d^2 \Delta P}{fL} \times 1670$	$Q = \frac{d^3 \Delta P}{fL} \times 9.1$	$V = \frac{d}{fL} V \times 0.0006$	$V = \frac{d}{fL} Q$	f
الحادي الصعب فقط	$V = \frac{d^2 \Delta P}{fL} \times 1670$	$Q = \frac{d^3 \Delta P}{fL} \times 4080$	$V = \frac{d}{fL} q \times 2.45 \times 10^{-4}$	$V = \frac{d}{fL} q$	f
الحادي الصعب فقط	$V = \frac{d^2 \Delta P}{fL} \times 0.0312$	$Q = \frac{d^3 \Delta P}{fL} \times 0.0245$	$V = \frac{d}{fL} q \times 40.75$	$V = \frac{d}{fL} Q$	f
الحادي الصعب فقط	$V = \frac{D^2 \Delta P}{fL} \times 0.0312$	$Q = \frac{D^3 \Delta P}{fL} \times 0.0248$	$V = \frac{D}{fL} q \times 32$	$V = \frac{D}{fL} Q$	f
الحادي الصعب فقط	$V = \frac{D^2 \Delta P}{fL} \times 0.0312$	$Q = \frac{D^3 \Delta P}{fL} \times 11$	$V = \frac{D}{fL} q \times 0.091$	$V = \frac{D}{fL} Q$	f

ابنريل ١٠.٥ معادلات ابجرايان ضمن الأنابيب

معادلات جريان الهواء ضمن الأنابيب والصمامات ولوازمها

ينشر الصانعون معادلات مختلفة لجريان الهواء، وسنورد هنا عشرة معادلات والبيانات التي تعرف هذه المعادلات، مع معادلات التحويل (الجدولين 10.6 و 10.7)، وعند استخدام أي معادلة من هذه المعادلات في عملية التصميم فإنما ستعطي نتائجاً معقولة ومقبولة.

مصطلحات ورموز

- جريان الهواء بواحدات قياسية، scfm (14.7 psi , 68°F).
- جريان الهواء بشرط حقيقة، $q = q(P/14.7) (528/T)$.
- السرعة، v (متروطة خلال الصمام).
- الضغط بواحدات مطلقة، $psia$ (الدليل D - قبل المقياس، U - بعد المقياس).
- الضغط المقصى، psi .
- انخفاض الضغط، ΔP .
- نسبة الضغط $r = P_D/P_U$.
- الكتلة، lb/ft^3 .
- الثقل النوعي، $G = \rho_{\text{gas}}/\rho_{\text{air}}$.
- درجة الحرارة المطلقة، ${}^\circ R = {}^\circ F + 460$.
- مساحة الدخول للأنبوب، A .
- القطر المكافئ للنافورة حادة الحافة، D_e (معامل التصريف $C_D = 0.6$).
- الوزن المولي، M ($M = 29 \text{ lb for air}$).

- W - التدفق الوزني للماء، lb/s.
- C_v, K, F, D_o - معاملات تدفق غرودجية (وتدعى أيضاً ثابت التدفق وعوامل التدفق) تستخدم في معادلة التدفق.

الجدول 10.6 معلومات الصانعين لأدوات أو أجهزة جريان الماء

العنصر	معامل التدفق	معادلة التعريف
صمام يدوي	$C_v = 1.26$	$C_v = \frac{Q \times 60}{1360} \sqrt{\frac{GT_U}{\Delta P \times P_U}}$
خنق ضغط	$D_o = 0.25$	$D_o = \sqrt{\frac{Q}{33P_U}} \times \frac{1}{\sqrt{r(r^{0.43} - r^{0.71})}}$
صمام عكك	غير معروف	$F = \frac{Q}{P_U \sqrt{8/5}} \sqrt{\frac{1}{r(1-r)(3-r)}}$
مخرج هوائي	$Q = 250 \text{ scfm}$; $P = 600 \text{ psia}$ (معطى)	

D_v	C_v	F	K		
			$r = 1.0$	$r = 0.75$	$r = 0.5$
D_v	$= 0.236\sqrt{C_v}$	$= 0.316\sqrt{F}$	$= 1.456 \frac{\sqrt{A}}{K^{1/4}}$	$= 1.521 \frac{\sqrt{A}}{K^{1/4}}$	$= 1.641 \frac{\sqrt{A}}{K^{1/4}}$
C_v	$= 18.0D_v^2$	$= 1.8F$	$= 38.2 \frac{A}{\sqrt{K}}$	$= 41.5 \frac{A}{\sqrt{K}}$	$= 48.3 \frac{A}{\sqrt{K}}$
F	$= 10D_v^2$	$= 0.556C_v$	$= 21.2 \frac{A}{\sqrt{K}}$	$= 23.1 \frac{A}{\sqrt{K}}$	$= 26.9 \frac{A}{\sqrt{K}}$
$r = 1.0$	$= 4.5 \frac{A^2}{D_v^2}$	$= 1460 \frac{A^2}{C_v}$	$= 450 \frac{A^2}{F^2}$		
$K, r = 0.75$	$= 5.36 \frac{A^2}{D_v^2}$	$= 1725 \frac{A^2}{C_v}$	$= 534 \frac{A^2}{F^2}$		
$r = 0.5$	$= 7.29 \frac{A^2}{D_v^2}$	$= 2330 \frac{A^2}{C_v}$	$= 724 \frac{A^2}{F^2}$		

لإخطاء يفترض العامل K معروفة أي قيمة استخدما المسمى لاستخراج قيمة K .
 فمثلاً إذا أخذ عدد $r = 0.75$ و C_v متساوية دعوه للمعادر $A = 0.2$.

الجدول 10.7 معادلات التحريل بين متغيرات سرريان الماء

$D_v = \sqrt{\frac{Q}{33 D_v^2 P_u} \times \frac{1}{\sqrt{r_{v1}^{0.043} - r^{0.043}}}}$ $D_v = \frac{W \times 60}{963} \sqrt{\frac{G T_u}{\Delta P \times P_u}}$ $D_v = \frac{Q \times 60}{1390} \sqrt{\frac{G T_u}{\Delta P \times P_u}}$ $D_v = \frac{Q \times 60}{5180} \sqrt{\frac{G T_u}{P_u^2 - P_b^2}}$ $D_v = \frac{Q \times 60}{963} \sqrt{\frac{G T_u}{P_u^2 - P_b^2}}$	صيغ معامل الدفع معامل العنبان (درجة بونا) (m²/min) معامل scfm = Q مكعب الماء حادة العنب C_D = 0.6 معامل الصمام C_v معامل الدفع C_v عامل السعة C_v معامل التدفق معن الصمام C_v معامل الدفع معن الصمام C_v
--	--

الجدول ١٠.٨ معادلات جريان الماء النسوجية

معدل حذف العينات (Average Removal Rate) (m³/min)

$$Q = \frac{2.37^{(44)}_{(43)}}{60} C_e \frac{\Delta P^{(44)} \times P_U^{(44)}}{\sqrt{G T_U / 520}}$$

نسبة معلم التدفق
معدل حذف العينات

$$Q = F P_U \sqrt{\frac{4}{3} \sqrt{1 - r^2}}$$

$F = \text{NBS}$ # 1
عمل حذف العينات

$$Q = F P_U \sqrt{\frac{8}{5} \sqrt{r(1 - r)(3 - r)}}$$

$F = (4.2 + \text{better}) \text{ NBS}$
عمل حذف العينات

$$Q = 38.1 P_U A \sqrt{\frac{1 - r}{K}}$$

$K = K$
العامل

Taken from catalog

إيجول 10.8 معدلات حذف الماء النموذجية /تابع

أنظمة امتصاص الهواء في محركات الاحتراق الداخلي

إن أول خطوة في تصميم نظام امتصاص الهواء لمحرك الاحتراق الداخلي هي معرفة كمية الهواء المطلوبة للاحتراق، وتعطى كمية الهواء المطلوبة بالقدم المكعب في الدقيقة بالعلاقة التالية:

$$\text{الهواء المطلوب} = \frac{B^2 S \times rpm \times N}{2200K}$$

حيث

B - قطر الاسطوانة، in.

S - شوط المكبس، in.

rpm - سرعة دوران المحرك، rpm.

N - عدد الاسطوانات.

K - ثابت. لثنائي الشوط = 1، لرباعي الشوط = 4.

سيتغير المردود الحجمي مع تصميم المحرك ولكن يمكن أخذ متوسط 80 % لتحديد حجم مصفاة الهواء.

الأساسات لمحركات الاحتراق الداخلي

يعتبر تصميم الأساسات هاماً جداً عند التحضير لتركيب محركات الاحتراق الداخلي، إذ يعتمد حجم وكتلة الأساسات على أبعاد وزن المحرك والمولد أو المضخة إذا كانت منشآت إدارة مضخة. ويجب عليك اتباع هذه القيم الأساسية على الأقل:

1. يجب أن يستوعب العرض عرض الجهاز مع عرض إضافي وطول إضافي على الأقل قدم واحد.

2. يجب أن يكون العمق كافياً لتأمين وزن من الاسمنت مساوٍ لـ 1.3 إلى 1.5 مرة من وزن الجهاز، ويحدد هذا العمق وفق العلاقة:

$$H = \frac{(1.3 - 1.5)W}{LB \times 135}$$

حيث

H = عمق الأساس، ft.

L = طول الأساس، ft.

B = عرض الأساس، ft.

135 = كافية الاسمنت، lb/ft³.

W = وزن الجهاز المراد تثبيته.

3. يجب أن لا يتجاوز حمل الجلوس على التربة الموصفات القياسية للبناء، ويعطى حمل الجلوس (الtorsion) بالعلاقة:

$$\frac{(2.3 - 2.5)W}{BL} = \text{حمل الترسان}$$

حيث

W = وزن الجهاز.

B = عرض الأساس، ft.

L = طول الأساس، ft.

١١

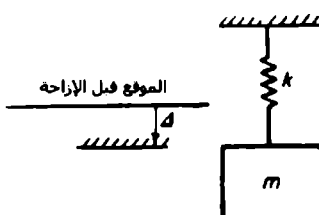
الاهتزازات

الرموز المستخدمة

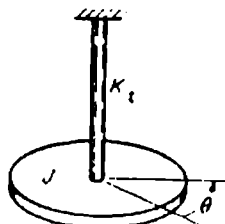
المجدول 11.1

الوحدة	الاهتزاز الفتلي	الرمز	الوحدة	الاهتزاز المستقيم	الرمز	Item
s	t	s	s	t	t	ال الزمن
rad	θ	m		x		الإزاحة
rad/s	θ̇	m/s		dot{x}		السرعة
rad/s ²	θ̈	m/s ²		ddot{x}		السارع
Nms ² (or) kg m ²	J	kg		m		الكلمة العطالية
Nm (or) kg m ² /s ²	k _f	N/m (or) kg/s ²		k		ثابت صلابة النابض
Nms (or) kg m ² /s	c _f	Ns/m (or) kg/s		c		معامل التخميد
rad/s	ω _n	rad/s		ω _n		تردد الرأوي الطبيعي
Hz	f _n	Hz		f _n		تردد الطبيعي

الاهتزازات الحرية غير المترافقية



الشكل 11.1 نظام نابض - كتلة



الشكل 11.2 نظام اهتزاز فتل

المعادلة التفاضلية لحركة النظام المهتز

$$m\ddot{x} + kx = 0 \quad J\ddot{\theta} + k_t\theta = 0$$

دور الاهتزاز الطبيعي

$$\tau = 2\pi\sqrt{\frac{m}{k}} \quad \tau = 2\pi\sqrt{\frac{J}{k_t}}$$

حيث

$$k = \frac{W}{\Delta} \quad k_t = \frac{\pi G d^4}{32L}$$

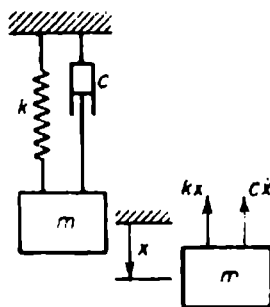
التردد الزاوي الطبيعي للنظام

$$\omega_n = \sqrt{\frac{k}{m}} = \sqrt{\frac{g}{\Delta}} \quad \omega_n = \sqrt{\frac{k_t}{J}}$$

التردد الطبيعي

$$f_n = \frac{1}{2\pi}\sqrt{\frac{k}{m}} = \frac{1}{2\pi}\sqrt{\frac{g}{\Delta}} \quad f_n = \frac{1}{2\pi}\sqrt{\frac{k_t}{J}}$$

الاهتزازات الحرية المتخامدة



الشكل 11.3 اهتزازات حرية مع تخفيف لرج

المعادلة التفاضلية للحركة

$$m\ddot{x} + c\dot{x} + kx = 0$$

الحل العام للأهتزاز الحر المتخامد

$$x = Ae^{s_1 t} + Be^{s_2 t}$$

حيث تعتبر A و B ثوابت مساعدة تعتمد قيمها على الشروط الابتدائية.

بينما تتحدد قيم s₁ و s₂ وفق المعادلة:

$$\begin{aligned} s_{1,2} &= -\frac{c}{2m} \pm \sqrt{\left(\frac{c}{2m}\right)^2 - \frac{k}{m}} \\ &= \{-\zeta \pm \sqrt{\zeta^2 - 1}\}\omega_n \end{aligned}$$

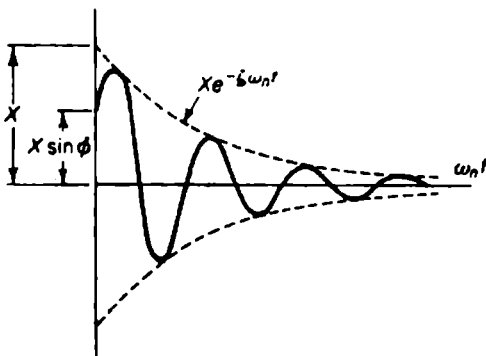
حيث

ζ = نسبة التخفيف.

$$\frac{c}{c_c} =$$

$$2\sqrt{km} = 2m\omega_n = c_c$$

الاهتزازات المتخامدة عندما $\zeta > 1$:



الشكل 11.4

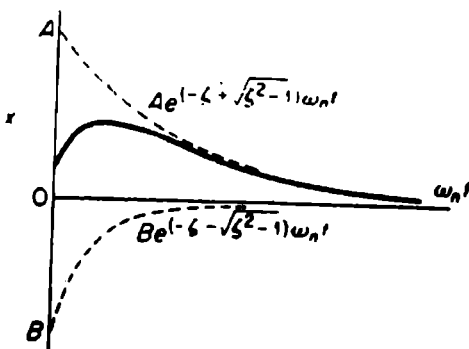
وتعطى معادلة الخل العام لنظام مخمد:

$$\begin{aligned} x &= e^{\zeta \omega_n t} (A e^{i\sqrt{1-\zeta^2} \omega_n t} + B e^{-i\sqrt{1-\zeta^2} \omega_n t}) \\ &= X e^{-\zeta \omega_n t} \sin(\sqrt{1-\zeta^2} \omega_n t + \phi) \end{aligned}$$

ويعطى التردد للاهتزاز المتخامد بالعلاقة:

$$\omega_d = \sqrt{1 - \zeta^2 \omega_n}$$

أما إذا كان $1.0 < \zeta$ فيمكن عندها أن تأخذ الحركة الشكل التالي عند الشروط الابتدائية x_0 و y_0 :



الشكل 11.5

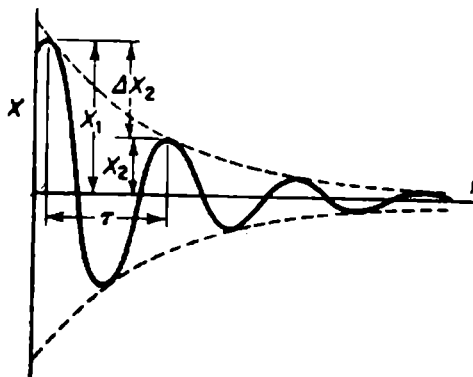
ويعطى الحل العام لنظام مع فرط تخميد كما في المعادلة:

$$x = Ae^{(-\zeta + \sqrt{\zeta^2 - 1})\omega_n t} + \\ Be^{(-\zeta - \sqrt{\zeta^2 - 1})\omega_n t}$$

أما عندما تكون $\zeta = 1.0$ فيسمى عندها تخميد حرج، ويعطى الحل كما يلي:

$$x = (A + Br)e^{-\omega_n t}$$

وإذا كان التناقص لогاريتمياً فنعطي معادلة الحركة كما في الشكل التالي



الشكل 11.6

وتعطى نسبة السعتين كما يلي:

$$\begin{aligned}\delta &= \ln \frac{x_1}{x_2} = \ln \frac{e^{-\zeta \omega_n t}}{e^{-\zeta \omega_n (t_1 + \tau)}} \\ &= \ln e^{\zeta \omega_n \tau} = \zeta \omega_n \tau \\ &= \frac{2\pi \zeta}{\sqrt{1 - \zeta^2}} = \frac{1}{n} \ln \frac{x_0}{x_n} = \frac{\Delta U}{U}\end{aligned}$$

حيث

$$2\pi / \omega_n \sqrt{1 - \zeta^2} = \text{دور الاهتزاز المترافق}$$

x_n = السعة بعد اتمام n دورة.

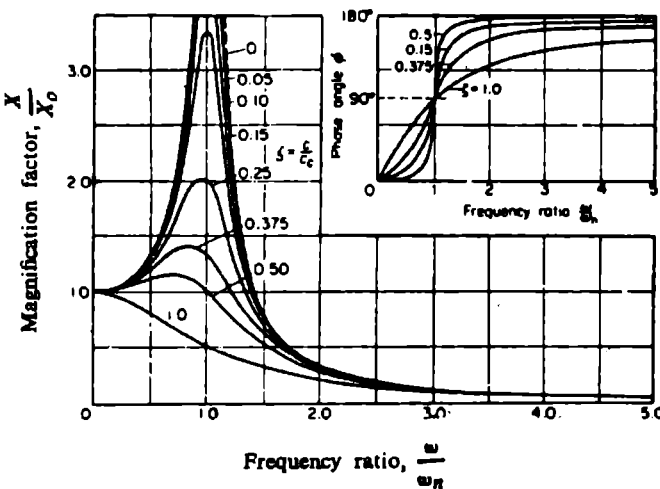
ΔU : الطاقة المبذدة خلال دور.

U : الطاقة الاهتزازية.

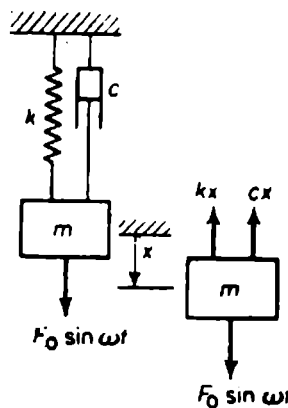
$$1/2 K x^2 = U_i$$

الاهتزازات القسرية

أ. حل الحالة الثابتة مع تخميد لرج



الشكل 11.8



الشكل 11.7 الاهتزاز القسري مع تخميد لرج.

المعادلة التفاضلية لحركة نظام كتلة - نابض مع تخفيف لزج:

$$m\ddot{x} + c\dot{x} + kx = F_0 \sin \omega t$$

حيث تعتبر ω تردد القوة القسرية.

يعطى الحل العام للمعادلة السابقة بالعلاقة:

$$x = X_1 e^{-\zeta \omega_n t} \sin(\sqrt{1 - \zeta^2} \omega_n t + \phi) + \frac{F_0 \sin(\omega t - \phi)}{\sqrt{(k - m\omega^2)^2 + (c\omega)^2}}$$

ويعطى حل الحالة الثابتة للمعادلة التفاضلية السابقة بالعلاقة:

$$x = \frac{F_0 \sin(\omega t - \phi)}{\sqrt{(k - m\omega^2)^2 + (c\omega)^2}}$$

عامل التكبير يعطى بالعلاقة:

$$\begin{aligned} \frac{X}{X_0} &= \frac{1}{\sqrt{\left(1 - \frac{m\omega^2}{k}\right)^2 + \left(\frac{c\omega}{k}\right)^2}} \\ &= \frac{1}{\sqrt{\left\{1 - \left(\frac{\omega}{\omega_n}\right)^2\right\}^2 + \left\{2\zeta\left(\frac{\omega}{\omega_n}\right)\right\}^2}} \end{aligned}$$

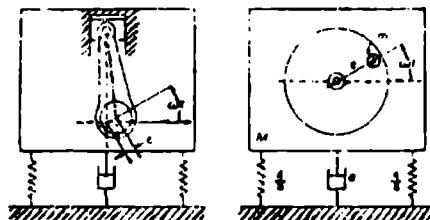
بينما تعطى زاوية الطور بالعلاقة:

$$\tan \phi = \frac{\frac{c\omega}{k}}{1 - \frac{m\omega^2}{k}} = \frac{2\zeta \left(\frac{\omega}{\omega_n} \right)}{1 - \left(\frac{\omega}{\omega_n} \right)^2}$$

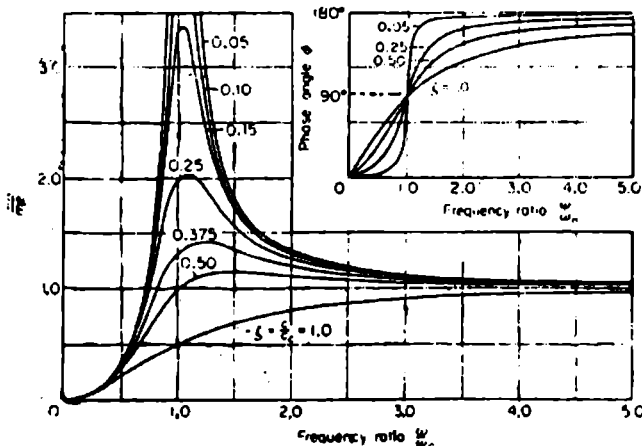
حيث

$X_o = \frac{F_o}{k}$ ثابتة . F_o = الاستطاعة عند التردد الصفرى لنظام كتلة — نابض تحت تأثير قوة

ب- عدم التوازن الدوراني والتزدي



الشكل 11.9



الشكل 11.10

تعطى المعادلة التفاضلية للنظام كما يلي:

$$M\ddot{x} + c\dot{x} + kx = (m\omega^2) \sin \omega t$$

ونعطي السعة كما يلي:

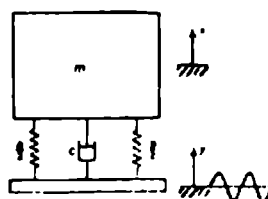
$$\begin{aligned} X &= \frac{m\omega^2}{\sqrt{(k - M\omega^2)^2 + (c\omega)^2}} \\ &= \frac{\frac{m}{M} e^{\left(\frac{\omega}{\omega_n}\right)^2}}{\sqrt{\left\{1 - \left(\frac{\omega}{\omega_n}\right)^2\right\}^2 + \left(2\zeta \frac{\omega}{\omega_n}\right)^2}} \end{aligned}$$

بينما تعطى زاوية الطور (الشكل 11.10) كما يلي:

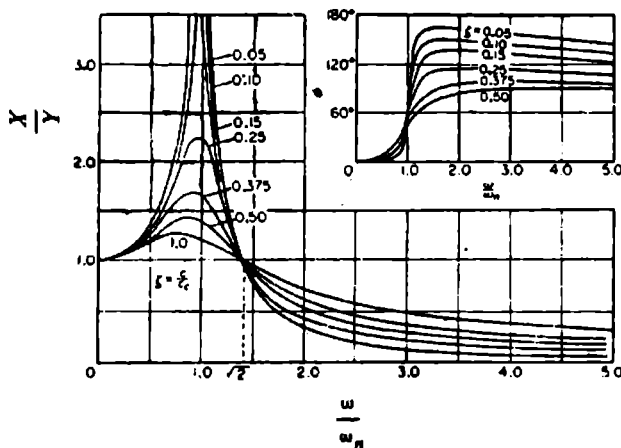
$$\tan \phi = \frac{c\omega}{k - m\omega^2}$$

$$= \frac{2\zeta \frac{\omega}{\omega_n}}{1 - \left(\frac{\omega}{\omega_n}\right)^2}$$

ج - حالة اهتزاز القاعدة (تهييج القاعدة)



الشكل 11.11



الشكل 20.15

تعطى المعادلة التفاضلية للنظام كما يلي:

$$M \ddot{x} + c \dot{x} + kx = ky + cy$$

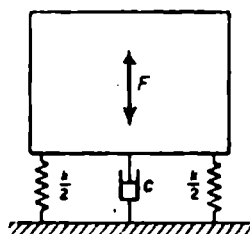
وتعطى القيمة المطلقة لنسبة الاستطاعة (الشكل 11.12) بالعلاقة:

$$\begin{aligned} \frac{X}{Y} &= \sqrt{\frac{k^2 + (c\omega)^2}{(k - m\omega^2)^2 + (c\omega)^2}} \\ &= \frac{1 + \left(\frac{2\zeta\omega}{\omega_n}\right)^2}{\left\{1 - \left(\frac{\omega}{\omega_n}\right)^2\right\}^2 + \left(\frac{2\zeta\omega}{\omega_n}\right)^2} \end{aligned}$$

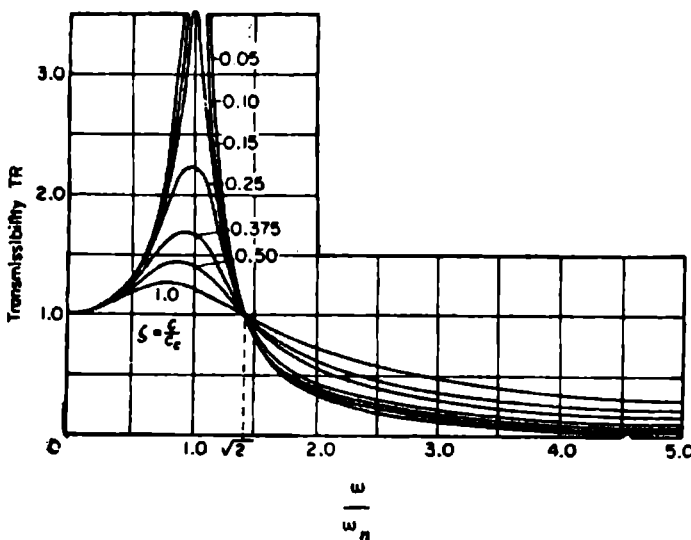
بينما تعطى معادلة زاوية الطور كما يلي:

$$\begin{aligned} \tan \phi &= \frac{mc\omega^3}{k^2 \left\{1 - \left(\frac{\omega}{\omega_n}\right)^2\right\} + (c\omega)^2} \\ &= \frac{2\zeta \left(\frac{\omega}{\omega_n}\right)^2}{1 - \left(\frac{\omega}{\omega_n}\right)^2 + \left(\frac{2\zeta\omega}{\omega_n}\right)^2} \end{aligned}$$

د - عزل الاهتزاز



الشكل 11.13



الشكل 11.14

تعطى القوة المتنقلة عبر التوابع والمحمد بالعلاقة:

$$F_T = \frac{F_o \sqrt{1 + \left(\frac{c\omega}{k}\right)^2}}{\sqrt{\left\{1 - \frac{m\omega^2}{k}\right\}^2 + \left(\frac{c\omega}{k}\right)^2}}$$

$$= \frac{F_o \sqrt{1 + \left(2\zeta \frac{\omega}{\omega_n}\right)^2}}{\sqrt{\left\{1 - \left(\frac{\omega}{\omega_n}\right)^2\right\}^2 + \left(2\zeta \frac{c\omega}{k}\right)^2}}$$

وتعطى قابلية الانتقال TR كما يلي:

$$TR = \frac{\sqrt{1 + \left(2\zeta \frac{\omega}{\omega_n}\right)^2}}{\sqrt{\left\{1 - \left(\frac{\omega}{\omega_n}\right)^2\right\}^2 + \left(2\zeta \frac{\omega}{\omega_n}\right)^2}}$$

وعندما يكون التخميد مهملاً عندها تعطى قابلية الانتقال بالعلاقة:

$$TR = \frac{1}{\left(\frac{\omega}{\omega_n}\right)^2 - 1}$$

$$= \frac{1}{\frac{(2\pi f)^2 \Delta}{g} - 1}$$

حيث

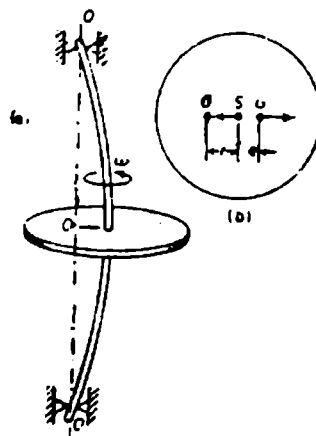
Δ - الانزياح статический للنظام.

هـ - تدويم المحاور الدوارة

تدويم محور فيه عدم توازن.

يعطى الانحراف الديناميكي بالعلاقة:

$$r = \frac{m\omega^2 e}{k - m\omega^2} = \frac{\left(\frac{\omega}{\omega_n}\right)^2 e}{1 - \left(\frac{\omega}{\omega_n}\right)^2}$$



الشكل 11.15

حيث $\omega_n = \sqrt{\frac{k}{m}}$ التردد الطبيعي للاهتزاز العرضي للمحور والقرص عند سرعة صفرية.
وتعطى السرعة الحرجة للمحور بالعلاقة:

$$\omega_c = \sqrt{\frac{k}{m}} = \sqrt{\frac{g}{\Delta}}$$

وتعطى السرعة الحرجة لنظام محور متعدد الدوارات عبر معادلة Dunkerely :

$$\frac{1}{\omega_c^2} = \frac{1}{\omega_s^2} + \frac{1}{\omega_1^2} + \frac{1}{\omega_2^2} + \dots + \frac{1}{\omega_i^2} \dots \dots$$

حيث

ω_s = السرعة الحرجة للمحور لوحده.

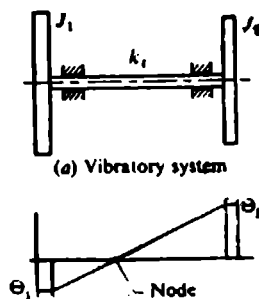
ω_1 = السرعة الحرجة للمحور عند تعرضه للوزن W_1 فقط.

ω_2 = السرعة الحرجة للمحور عند تعرضه للوزن W_2 فقط.

ω_i = السرعة الحرجة للمحور عند تعرضه للوزن W_i فقط.

الاهتزازات الفتيلية

١- نظام فيه فردين



الشكل 11.16

ونعطي معادلتي الحركة للدورانين كما يلي:

$$J_1 \ddot{\theta}_1 + k_t \theta_1 - k_t \theta_2 = 0$$

$$J_2 \ddot{\theta}_2 + k_t \theta_2 - k_t \theta_1 = 0$$

ونعطي معادلة التردد كما يلي:

$$\omega^2 \left\{ \omega^2 - \left(\frac{k_t}{J_1} + \frac{k_t}{J_2} \right) \right\} = 0$$

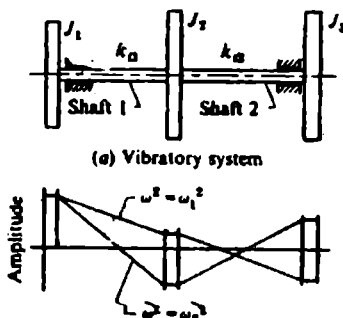
ونعطي الترددات الطبيعية للنظام كما يلي:

$$\begin{cases} \omega_{n1} = 0 \\ \omega_{n2} = \sqrt{k_t \left(\frac{J_1 + J_2}{J_1 J_2} \right)} \end{cases}$$

ونسبة السعة للأمplitud الأساسية:

$$\frac{\theta_1}{\theta_2} = \frac{k_f}{k_f - J_2\omega^2} = \frac{k_f - J_2\omega^2}{k_f}$$

ب - نظام فيه ثلاثة أفراد



الشكل 11.17

الأمplitud الرئيسية للاهتزاز $\omega_1^2 < \omega_2^2$.

تعطى معادلات الحركة كما يلي:

$$\left\{ \begin{array}{l} J_1 \ddot{\theta}_1 + k_{f1}(\theta_1 - \theta_2) = 0 \\ J_2 \ddot{\theta}_2 + k_{f1}(\theta_1 - \theta_2) + k_{f2}(\theta_2 - \theta_3) = 0 \\ J_3 \ddot{\theta}_3 + k_{f2}(\theta_3 - \theta_2) = 0 \end{array} \right.$$

ونعطي المعادلة الترددية التي تحدد الترددات الطبيعية لنظام بثلاث أفراد كما يلي:

$$\omega^2 \left\{ \begin{array}{l} \omega^2 - \left[k_{f1} \left(\frac{1}{J_1} + \frac{1}{J_2} \right) + k_{f2} \left(\frac{1}{J_2} + \frac{1}{J_3} \right) \right] \omega^2 \\ + k_{f1} k_{f2} \frac{J_1 + J_2 + J_3}{J_1 J_2 J_3} \end{array} \right\} = 0$$

ونسب السعات للأمplitud الرئيسية للاهراء:

$$\frac{\theta_1}{\theta_2} = \frac{k_{f1}}{k_{f1} - J_1 \omega^2}$$

$$\frac{\theta_2}{\theta_3} = \frac{k_f^2 - J_3 \omega^2}{k_{f1}^2}$$

الملحق

الخواص الميكانيكية لحديد الصب مع غرافيت كروي

النوع (1)	متانة الشد الأصلية (2)	نسبة الاستطالة (3)	مجال قساوة برينيل المودجية (4)	التركيب الأساسي و المجال التطبيق (5)
SG	800	2	248-352	برليت أو مراجع، له قوة شد عالية ومطبلية أقل.
800/2	700	2	229-302	مكون من البرليت، له قوة شد عالية ومطبلية أقل.
700/2	600	3	192-269	مكون من البرليت والفريت، له متانة شد عالية ومطبلية أقل.
600/3	500	7	170-241	مكون من البرليت والفريت، له متانة شد متوسطة مع مطبلية معقولة.
500/7	400	12	201, Max	مكون من الفريت، له متانة شد متوسطة مع مطبلية وصلابة كبيرة نسبيا.
400/12	370	17	179, Max	مكون من الفريت، وهو مقاوم عالي للصدم.
370/17				

الخواص الميكانيكية لحديد الصب الرمادي

النوع (See IS: 4843-1968)	متانة الشد الأصفرية (N/mm ²)	قساوة بربيل (IIB)
FG 150	150	130 to 180
FG 200	200	160 to 220
FG 220	220	180 to 220
FG 260	260	180 to 230
FG 300	300	180 to 230
FG 350	350	207 to 241
FG 400	400	207 to 270

الخواص الميكانيكية للفولاذ ذو مقاومة الشد العالية

النوع التصميمي الرمز	متانة الشد الأصفرية (MN/m ²)	تجهاد						
		Izod الصفرى (J)	متانة صدم الصفرى (J)	قساوة بربيل الصفرى (J)	استطالة طول قوسي في المساحة $= 5.65\sqrt{50}$	النائق الأصفرى في المساحة	الخطوضع (جهاز بالنئ) تجربى)	(1)
							(4)	(5)
CS 640	640	30	190	15	35	390	(3)	(6)
CS 700	700	30	207	14	30	560	(3)	(7)
CS 840	840	28	248	12	28	700	(3)	(8)
CS 1030	1030	20	305	8	20	850	(3)	(9)
CS 1230	1230	-	355	5	12	1000	(3)	(10)

**الخواص الميكانيكية والصلادة للفولاذ الكربوني المطروق المستخدم
لأهداف هندسية عامة**

نوع الرمز الصممي	متانة الشد الأقصى N/mm ²	إجهاد المصوّر الأقصى N/mm ²	نسبة الاستطالة	الصلادة الصغرى BHN	درجة حرارة الطبع C	
(1)	(2)	(3)	(4)	(5)	(6)	(7)
1 A	15 C 8	410	220	25	110	880-910
2	20 C 8	430	230	24	120	880-910
2 A	25 C 8	460	250	22	130	880-910
3	30 C 8	490	270	21	140	860-890
3 A	35 C 8	540	280	20	155	850-880
4	45 C 8	620	320	15	175	830-860
5	55 C 8	710	350	13	200	810-840
6	65 C 6	740	370	10	210	800-830

ملاحظة: إنما أخذت المخصصات الموجودة في هذا الجدول لعينة على شكل قضيب قطر MM 100 مطروق ومطبع وتم الاختبار وفق اتجاه استطالة الحبيبات.

مواصفات واستخدامات الفولاذ الكربوني

السمية (رقة (ISI))	% C	% Mn	مذكرة	نسبة الاستطالة الأصغرية (الطرل المقاس 5.65/4 ولمية اختبار ذاتية)	قصولة بريل (HB) No.	الاستخدامات الفترحة (8)
(1)	(2)	(3)	(4)	(5)	(6)	(7)
C 10	0.15 max	0.10 - 0.18	0.10 - 0.18	314-392	196	-
C 14	0.30 - 0.60	0.40 - 0.70	-	314-392	27	-
C 15	0.20 max	0.10 - 0.20	0.10 - 0.20	333 - 412	206	نفس الاستخدام
C 15 Mn 75	0.30 - 0.60	0.60 - 0.90	0.60 - 0.90	363 - 481	216	أحمد الكاتات، الستات، خفيبة الأداء، الستات، الدرويد، بنزرت الكبس، المارور، المقاطلات، دوايب السادس، العصارات،... الخ.
C 20	0.15 - 0.25	0.15 - 0.25	0.15 - 0.25	432 - 510	245	الرسيم العاملة على البارد للعاصير ذات الإجهاد والخداف الماء، للعاصير ذات الإجهاد والخداف الماء، للعاصير ذات الإجهاد والخداف الماء.
C 25	0.20 - 0.30	0.30 - 0.60	0.30 - 0.60	432 - 520	275	للمعاصر ذات الإجهاد والخداف الماء.
C 25	0.20 - 0.30	0.30 - 0.60	0.30 - 0.60	432 - 520	170	للمعاصر ذات الإجهاد والخداف الماء.

مواصفات واستخدامات الفولاذ الگربروني / انباع /

السمة (Roc) (ISI)	% Mn	% C	نسبة الاستطالة الأصغرية (الطرول المقص A 5.65٪A)	فولاذ بريل (HB No.)	الاستخدامات المقرونة (8)
إيجاد N/mm ²	مذلة				
الأشد N/mm ²					
المفترض N/mm ²					
(1)	(2)	(3)	(4)	(5)	(6)
(7)	(8)				
العنصر ذات الإجهاد المنخفض والخداف العادة.	207	22	275	461 - 560	0.60 - 0.90
الصلات المشككة علىillard، مسامر الربط القشدة والترابعه، الكابلات الدوليب المسنة، الجلب، أنابيب الفرلايد، ... الخ.	179	21	294	490 - 588	0.60 - 0.90
للحاسمر المرسنه لإجهادات قليله، أنابيب السبارة وأدوات الربيط.	187	20	304	510-608	0.30 - 0.60
للأجزاء المعرضه لإجهادات قليله، إطاريات المدارات و الدراجات البارقه، علاقات الربط لوصل الشكلن الخديديه	223	20	314	540 - 637	0.60 - 0.90
العمود المدققي (الكلنك)، المقاور، عوارض الدوران، والمغاور المحلله، أنوعه الدفع، وأذرعه العونين، الجلوبات، الراغي، المقاور الخ...	217	18	324	570 - 667	0.60 - 0.90

مواصفات واستخدامات الفولاذ الگریوین / اربع

النوعية (ISI)	% C	% Mn	النسلة (IIB) No.	نسبة الاستنطالية الأصفرة (النطرل الفاس) 5.65%	فشاره بربيل (IIB)	الاستخدامات المقر حـ (8)
(1)	(2)	(3)	(4)	(5)	(6)	(7)
C 45	0.40 - 0.50	0.60 - 0.90	0.40 - 0.50	618 - 696	353	الأخوار والمراغي والمسنات ومحار الدرران لأنواع التشكيل.
C 50	0.45 - 0.55	0.60 - 0.90	0.45 - 0.55	647 - 765	373	الأخوار، المطراب، الإطارات، الأجزاء المتساقة للمسنات الدووية والدوارات.
C 50 Mn	0.45 - 0.55	1.00 - 1.10	0.45 - 0.55	1.00 - 1.10	392	فولاذ السكاكن المدببة، الراغي، محار المسنات، الأذرع، وطفالات الاستنطارات.
C 55 Mn 75	0.50 - 0.60	0.60 - 0.90	0.50 - 0.60	0.60 - 0.90	392	الخواجي، أعمدة الرافع، الاستنطارات، الكلمات، المسنات، أسنان المسنات، لأجزاء المراد منها إعطاء مقاومة أعراة متوسطة.
C 60	0.55 - 0.65	0.50 - 0.80	0.55 - 0.65	0.50 - 0.80	412	المراغي والصلب المقصاة، أعمدة المحار، القاربات، المسنات، والأعمدة الدوارة في الألات التشكيل.
C 65	0.60 - 0.07	0.50 - 0.80	0.60 - 0.07	0.50 - 0.80	422	عربات القاطرات وإطارات المركبات، نوافذ صمامات المحرك، الرنيدلات، وللأختام الدقيقة.

قييم اجهادات الشد والخضوع للفولاذ الطروق القياسي

النسمة (1)	متانة الشد (N/mm ²) (2)	اجهاد الخضوع الأصفر (N/mm ²) (3)	نسبة الاستطالة الأصفرية (الطول المقس) $5.65\sqrt{A}$ (4)
Fe 290	290	170	27
FeE 220	290	220	27
Fe 310	310	180	26
FeE 230	310	230	26
Fe 330	330	200	26
FeE 250	300	250	26
Fe 360	360	220	25
FeE 270	360	270	25
Fe 410	410	250	23
FeE 310	410	310	23
Fe 490	490	290	21
FeE 370	490	370	21
Fe 540	540	320	20
FeE 400	540	400	20
Fe 620	620	380	15
FeE 460	620	460	15
Fe 690	690	410	12
FeE 520	690	520	12
Fe 770	770	460	10
FeE 580	770	580	10
Fe 870	870	520	8
FeE 650	870	550	8

بعض واسخدام الفولاذ المقاوم للصدأ

النسمة (1)	متانة الشد	حد المختبر	الاستالة الاختبارية	صمام الأسطوانة	فارة بربيل	الاستخدامات المقترنة
(1)	MN/mm ²	MN/mm ²	(e = 6.55 $\sqrt{\sigma}$)	Izod الأسطوري value, Nm	No. HB	(7)
588-736	20 MN 2	588-736	170-217 للبيكل المحسنة، المعزز (كرنك)، عازور الدوران، القطع القائدة.	432	18	47.07
687-834	27 MN 2	588-736	170-217 للبيكل المحسنة، المعزز لكرنك)، عازور الدوران، القطع القائدة.	432	18	47.07
687-834	37 MN 2	588-736	170-217 47.07	490	16	47.07
687-834	35 MN 2 Mo 28	687-834	201-248 الصمام المرقفي، المحاور، أذرع التوصيل	490	16	47.07
785-932	882-1030	785-932	201-248 الصمام المرقفي، المحاور، أذرع التوصيل	432	18	47.07
882-1030	882-1030	882-1030	229-277 الصمام المرقفي، المحاور، أذرع التوصيل	530	18	47.07
882-1030	882-1030	882-1030	255-311 الصمام المرقفي، المحاور، أذرع التوصيل	588	16	40.21
882-1030	882-1030	882-1030	255-311 الصمام المرقفي، المحاور، أذرع التوصيل	785	15	54.00
882-1030	882-1030	882-1030	285-341 الصمام المرقفي، المحاور، أذرع التوصيل	981-1128	13	47.07

خصائص راستخدامات الفولاذ المخلوطى / أنابيع /

السمية (1)						
الاستخدامات المقترنة						
فشاره بربيل No. HB	صلم lead الأصمرى value, Nm	الاستطالة الأقصري $(e = 6.35\sqrt{a})$	حدا الفضوع MN/m2	سادة الشد MN/m2	السمية (1)	الاستطالة الأقصري $MN/m2$
(7)	(6)	(5)	(4)	(3)	(2)	(1)
الصود الرقيق، الستانلس، المراوغ وذراع التصبيل	229-277	54.00	16	588	765-932	35 Mn 2 Mo 45
أذراع التوصيل، الصفائح المقاومة للاختراق ... الخ.	225-311	54.00	15	687	882-1030	
إطار، الستانلس، المراوغ، المطريلات.	285-341	47.07	13	785	981-1128	
أذراع التوصيل، الصفائح المقاومة للاختراق ... الخ.	201-248	54.00	18	530	678-834	40 Cr I
إطار، الستانلس، المراوغ، المطريلات.	229-277	54.00	16	588	785-932	
أذراع التوصيل، الصفائح المقاومة للاختراق ... الخ.	255-311	54.00	15	687	882-1030	
إطار، الستانلس، المراوغ، المطريلات.	201-248	54.00	18	530	687-834	40 Cr I Mo 28
أذراع التوصيل، الصفائح المقاومة للاختراق ... الخ.	229-277	54.00	16	588	785-932	
أذراع التوصيل، الصفائح المقاومة للاختراق ... الخ.	255-311	54.00	15	687	882-1030	
أذراع التوصيل، الصفائح المقاومة للاختراق ... الخ.	255-341	47.07	13	785	981-1128	
أذراع التوصيل، الصفائح المقاومة للاختراق ... الخ.	201-248	54.00	18	530	687-834	15 Cr 3 Mo 55
أذراع التوصيل، الصفائح المقاومة للاختراق ... الخ.	229-277	54.00	16	588	785-932	and
أذراع التوصيل، الصفائح المقاومة للاختراق ... الخ.	255-311	54.00	15	687	882-1030	25 Cr 3 Mo 55

خسائر واستخدامات الفراغ الملاطي /تابع

النسمية (1)	سماكة الشد	حد المطفرع	MN/m ²	MN/m ²	الاستطالة Izod الأصفرى	الاصغرية	صلم Load الأصفرى	فارة بربيل No. HB	الاستخدامات المقترنة
(1)	(2)	(3)	(4)	(5)	(6)	(7)			
444 Min	13.73	8	1275	1520 min	1080-1226	981-1128	785	47.07	285-341
363 min	20.60	8	1098	1324 min	40 Cr 3 Mo 1 V 20				311-363
444 mm	13.73	8	1275	1520 min					444 Min
201-248	34.00	18	530	687-834	40 Cr 2 Al 1 Mo 18				الناصر الذي تحتاج لتساره سطحية عالية وزراعة نسبيه.
229-277	34.00	16	588	785-932					التطريق القليل، شفرات العقدات، براغي عالبة الإجهاد، الرئامي والصوبي، مستخدم عند درجات الحرارة المنخفضة (معدان، ضراغط).
255-311	37.27	15	687	822-1030					
229-277	34.00	16	588	785-932	40 Ni 3				
255-311	34.00	15	687	822-1030					

خصائص واستخدامات الفولاذ المقاوم للصدأ / الرابع

السمية (1)	سماكة الشلد	حد المختبر	الاستهلاك الإجمالي	قدارة بربط	الاستخدامات المقترنة
(1)	M/N/m ²	M/N/m ²	M/N/m ²	No. HB	صدم load الأصفرى value, Nm
(2)	(3)	(4)	(5)	(6)	(7)
(1)	(2)	(3)	(4)	(5)	(6)
التيلا.	للحاملات وعاصير المربات	201-248	54.00	18	530
المسننات ذات الإيجياد العا	المسننات ذات الإيجياد العا	444 mm	13.73	8	1275
الربط ... إلخ.	المسننات ذات الإيجياد العا	13.73	15	1520 min	30 Ni 4 Cr 1
المسننات، الغراغي، عوارض الدوران، أدوات	المسننات ذات الإيجياد العا	54.00	16	588	785-932
أجزاء الآلات المرضية لفري غالبة مثل ..	المسننات ذات الإيجياد العا	54.00	16	588	785-932
الربط ... إلخ.	المسننات ذات الإيجياد العا	54.00	15	687	882-1030
المسننات، الغراغي، عوارض الدوران، أدوات	المسننات ذات الإيجياد العا	47.07	13	785	882-1030
أجزاء الآلات المرضية لفري غالبة مثل ..	المسننات ذات الإيجياد العا	40.21	11	863	981-1128
الربط ... إلخ.	المسننات ذات الإيجياد العا	54.00	16	588	1080-1226
المسننات، الغراغي، عوارض الدوران، أدوات	المسننات ذات الإيجياد العا	229-277	54.00	15	785-932
أجزاء الآلات المرضية لفري غالبة مثل ..	المسننات ذات الإيجياد العا	311-363	54.00	15	40 Ni 2 Cr 1 Mo 28
الربط ... إلخ.	المسننات ذات الإيجياد العا	255-311	54.00	15	882-1030
المسننات، الغراغي، عوارض الدوران، أدوات	المسننات ذات الإيجياد العا	255-311	47.07	13	1080-1128
أجزاء الآلات المرضية لفري غالبة مثل ..	المسننات ذات الإيجياد العا	311-363	40.21	11	1080-1226

$e = 6.55\sqrt{a}$

خصائص واستخدامات الفولاذ المقاوم للصدأ / اثناعاً

النسمية (1) الاستهلاك الأخضرى $(e = 6.55\sqrt{\sigma})$	متانة الشد حد المختصر الإسطالة الأخضرى value, N/mm	صدم Irod الأسطالية الأخضرى No. HB	قساوة بربيل	الاستهلاك المفترضة (7)
النسمية (1) استهلاك المفترضة الأخضرى value, N/mm	MN/m ²	MN/m ²	MN/m ²	النسمية (1) استهلاك المفترضة الأخضرى value, N/mm
1180-1324	1275	10.79	29.42	341-401
1520 min	981	10		
981-1128	785	12		444 min
40 Ni 2 Cr 6.5 Mo 55	47.07			285-341
1080-1226				311-363
1180-1324				341-401
1520 min	1275	13.73	8	444 min

**الخواص الميكانيكية للفولاذ الأوستينيti المنعم البنية غير القابل للصدأ
قضبان، صفائح، الواح، شرائط**

نسبة الاستطالة الواح، شرائط		نسبة الاستطالة قضبان		قوة الشد		تجهيز المصود		قساوة بريل	نسمة الفولاذ
من	من	من	من	(4)	(3)	(2)	(1)		
3 to mm	0.5	3 to 30 mm	5 to 100 mm					الأصفرى 20 %	
(8)	(7)	(6)	(5)	(4)	(3)	(2)	(1)		
40	38	40	40	440 to 650	180	192	02Cr18Ni11		
40	38	40	40	490 to 690	200	192	04Cr18Ni0		
40	38	40	40	490 to 690	210	192	07Cr18Ni9		
40	38	40	-	590 to 780	220	212	10Cr17Ni7		
35	33	35	35	490 to 690	210	192	04Cr18Ni0Ti20		
35	33	35	35	490 to 690	210	192	04Cr18Ni0Nb40		
40	38	40	40	490 to 690	210	192	04Cr17Ni2Mo20		
40	38	40	40	440 to 640	200	192	02Cr17Ni2Mo2		
35	33	35	35	490 to 690	220	192	04Cr17Ni2Mo2Ti20		
40	38	40	40	640 to 830	300	217	10Cr17Mn6N14		
-	-	40	40	490 to 690	210	-	15Cr24Ni3		
-	-	40	40	490 to 690	210	-	20Cr25Ni20		

خمامص حديد الزهر القياسي

المعدن	المقاومة التهابية MN/m ²	حد المفعول في حالة الاختبار Mu/m ²	فترة بريل	معامل المرونة رقم Mn/m ²	الاستعمال عند 50 mm %	ملاحظات والاستخدام المفرج
--------	--	---	--------------	--	-----------------------------	------------------------------

العنوان	النوع	الجهة	النوع	الجهة	النوع	الجهة
السكب الصناعي العام	UNS	UNS	UNS	UNS	UNS	UNS
اسطوانات المضخات	0-1	28	69-82	100-150	62	557
المسكوبات الملحنة	0-1	33	82	100-150	82	690
بدل عن المطروقات غير الماء	0-1	38	96	100-150	103	828
إطارات الإلاد المغذية	1-2	41	103	100-145	173	828
اسطوانات الدبرل (القفل)	1-2	55	138	220	200	221
المضخات وعيار المصادر، طارورات ألات التشغيل المائية.	1-2	41	103	200	110	166
اسطوانات المخركات المخففة.	1-2	55	138	300	110	276
فوائب التشكيك التقليد.	1-2	138	300	152	1103	214

$$GN/m^2 = (1000/9.80665) kgf/mm^2$$

$$1 MN/m^2 = (1/9.80665) kgf/mm^2$$

المصانع العامة للفولاذ المقاوم للصدأ وألمنيوم

العنوان	الاستهلاك العام	نسبة الاستهلاك العام	معامل المرونة	رقم نمسا	حد العمل في حالة الإختبار	تجهيز المخصوص الذكي	المعدن		المقدمة البهائية		تجهيز المخصوص العام		ملاحظات والمستخدم المفترض	
							فص	شد وضغط	فص	شد وضغط	MN/m ²	MN/m ²		
(11)	(10)	(9)	(8)	(7)	(6)	(5)	(4)	(3)	(2)	(1)				
فولاذ كريستال	30-40	77.5	193	100	173	110	186	345	332	حد ديدغ				
فولاذ كريستال	22	82.0	207	110	180	110	186	290	414	مطابع فولاذ صلب، طري				
فولاذ كريستال	15													
فولاذ كريستال	82.0	207	120	207	131	218	338	483	552	واسط				
فولاذ كريستال	82.0	207	130	234	145	248	386			فاسي	S.A.F.	10.25.		
فولاذ كريستال	26	82.0	207	120	200	138	234	282	462	مطابع				
فولاذ كريستال	35													
فولاذ كريستال	27	82.0	207	183	345	166	282	380	538	621	متغير	بلاء		
فولاذ كريستال														

الخصائص العامة للفولاذ المقاوم للصدأ والكربوني (تابع)

المعدن	المقاومة التهائية	تجهيز المفترض	حد التحمل في حالة الإلتحام اللكلور	معامل المرونة	الاستطالة عند 50 mm %	ملاحمات والاستخدام المفترض				
(1)	(2)	(3)	(4)	(5)	(6)	(7)	(8)	(9)	(10)	(11)
للضررقات	20	82.0	207	140	289	180	310	414	586	S.A.E. 1045. ملاط
الكثافة عدار، الكترو	28	197	365	241	414	462	655	828	828	مسمي بلاء
[15]	82.0	207	248	462	360	621	580	828	828	مسمي
[22]	192	365	241	428	462	662	793	933	933	ماريت
[16]	82.0	207	235	448	310	552	552	793	793	ملاط
النواص، أحمر، القطبي	20	82.0	200	360	228	380	520	760	1095.	ملاط
[16]	300	470	270	455	586	896	828	1300	1300	مسمي باريت
[10]	79.4	207	380	690	520	896	828	1300	1300	

المعايير العامة للفولاد الخاططي والكريبوني /تابع

العنوان	المقدمة الفنية	تجهيز المقص	حالة الاتساع MN/m ²	حد التحمل في الاستطالة عند 90 mm %	معامل المرونة فissile	معامل المرونة بريشيل	الاستطالة عند واستمدام المفرج	ملاحظات		
								العنوان	القيمة المئوية	شدة نفس
(1)	(2)	(3)	(4)	(5)	(6)	(7)	(8)	(9)	(10)	(11)
فولاد خلادطي Nickel: S.A.E. 2320.	مسني بالد	مسني بالد	مسني بالد	مسني بالد	مسني بالد	مسني بالد	مسني بالد	مسني بالد	مسني بالد	مسني بالد
دعامات مقنطرة السطح للجراء الفنية وهو غير مزورب للمستبات ذات المقطع الصغيرة (القليلة).	30 18	82 207	143 277	338 470	207 448	345 758	380 676	504 965		
للطروعات، الحافر المستبات	30 16 17	89 340 82	183 517 207	183 380 183	183 380 207	183 380 207	183 380 207	1206 1035 1035	1240 655 655	S.A.E. 2340
	14	330	517	586	1020	724	1138	641	641	مسني بالد

الخصائص العامة للفلزات المalleable والكريبوري / الرابع

المعدن	القدرة التهانوية	إجهاد المقصورة MN/m ²	حد التحمل في حالة الإكراه، الذكور	معامل المرونة	الاستطالة عند 50 mm %	ملاحمات والاستخدام المفرج				
(1)	(2)	(3)	(4)	(5)	(6)	(7)	(8)	(9)	(10)	(11)
بريل	قص	شد وضغط tu	شد وضغط tu	قص	شد وضغط tu	شد وضغط tu	قص	شد وضغط tu	شدة MN/m ²	قصارة بريل
بريل	G/N/m ²	M/N/m ²	M/N/m ²	G/N/m ²	M/N/m ²	M/N/m ²	G/N/m ²	M/N/m ²	M/N/m ²	معدن الباردة
العنق.	متاطي كثيف سطوح مترسفة.	متاطي كثيف تقطيب	متاطي كثيف	متاطي كثيف	متاطي كثيف	متاطي كثيف	متاطي كثيف	متاطي كثيف	متاطي كثيف	العنق.
15	34	82	207	174	380	234	393	414	593	Nickel-chromium S.A.E. 3120
30	82	207	163	317	200	331	380	504	828	ستري بالريل باريل
18	241	331	393	662	565	414	414	600	1138	S.A.E. 3220. ستري بالريل
23	82	207	187	400	248	414	414	600	1138	ستري بالريل باريل
16	331	496	573	986	792	364	386	552	380	ستري بالريل باريل
30	82	207	174	352	214	364	386	552	380	ستري بالريل باريل
20	311	448	655	896	738	380	380	552	380	ستري بالريل باريل
23	82	207	229	580	360	600	503	758	1380	S.A.E. 3240. ستري بالريل باريل
14	388	621	724	1240	896	1380	1380	1380	1380	ستري بالريل باريل

الخصائص العامة للمفلاذ الملاطي والكرتيوني / الرابع

العنوان	المعامل المائية	تجهيز المفلاذ	حالة الاتساع	قساوة	معامل المرونة	الاستطالة عند الاستخدام	ملاحظات	المحض	
								شدة الضغط	شدة التحمل في
(1)	(2)	(3)	(4)	(5)	(6)	(7)	(8)	نوع المكرب	نوع المير
								MN/m ²	MN/m ²
								tensile	compressive
								N/mm ²	GPa
								MPa	MPa
								tu	tu
								MN/m ²	MN/m ²
								σ _{tu}	σ _{tu}
الصلب، نوافذ	16	82	207	240	414	380	690	621	828
الصلب على البارد.	60	82	207	135	276	138	241	414	1310
الدلفنة على الساخن	5	-	-	380	621	690	1206	1035	1360
								steel.	Stainless steel.
								0.12C, 180	S.A.E. 9.260.
								cr. 80 Ni	Chromium-vanadium. S.A.E 6145.
									Stainless steel.

$$1 \text{ GN/m}^2 = (1000/9.80665) \text{ kgf/mm}^2$$

$$1 \text{ MN/m}^2 = (1/9.80665) \text{ kgf/mm}^2$$

قيم عوامل الأمان المفضلة والموصى باستخدامها

المعدن	للحمولات الثقيلة الثابتة	للمحملات العالية	للمحملات الصدم	قيم عوامل الأمان المفضلة والموصى باستخدامها
حديد الزهر	5 to 6	8 to 12	16 to 20	
الحديد المقطار	4	7	10 to 50	
الغولاذ	4	8	12 to 60	
المخلوط والمعادن الضرية	6	9	15	
الجلد	9	12	15	
دعامات حشبية	7	10 to 15	20	

جدول بعوامل الضرب الكبيرة والصغيرة

قيمة العامل	النسمة	الرمز
$1\ 000\ 000\ 000\ 000 = 10^{12}$	tera [†]	T
$1\ 000\ 000\ 000 = 10^9$	giga	G
$1\ 000\ 000 = 10^6$	mega	M
$1\ 000 = 10^3$	kilo	k
$100 = 10^2$	hecto	h
$10 = 10^1$	deca	da
$0.1 = 10^{-1}$	deci	d
$0.01 = 10^{-2}$	centi	c
$0.001 = 10^{-3}$	milli	m
$0.000\ 001 = 10^{-6}$	micro	μ
$0.000\ 000\ 001 = 10^{-9}$	nano	n
$0.000\ 000\ 000\ 001 = 10^{-12}$	pico	p
$0.000\ 000\ 000\ 000\ 001 = 10^{-15}$	femto	f
$0.000\ 000\ 000\ 000\ 000\ 001 = 10^{-18}$	atto	a

جدول المحتويات

5.....	مقدمة.....
7.....	1 عوامل التحويل إلى الوحدات في النظام الدولي.....
17	2 معادلات الستاتيك والتحريك.....
18	معادلات الحركة.....
18	رموز واصطلاحات.....
19	الستاتيك
32	التحريك.....
32	طاقة الجسم الصلب.....
32	الاهتزازات الحرّة للأنظمة وحيدة درجة الحرية.....
36	الفتل.....
36	الفتل في المخوار الدائرية المصمتة.....
42	إجهادات الاسطوانة.....
42	الإجهادات في الأنابيب أو الأسطوانات قليلة السماكة (ذات المقاطع الصغيرة)
42	الإجهادات في الأنابيب أو الأسطوانات ذات السماكة الكبيرة.....

3 معادلات الإجهادات في العناصر الميكانيكية	45
الإجهادات الناظمية والأساسية	46
الإجهادات الناظمية	46
إجهاد القص الأعظمي	47
تطبيق	48
الإجهادات الناتجة عن العناصر المتداخلة	50
القوى والعزوم	53
تجميع الأجزاء المتداخلة	54
معادلات الجواز	54
4 المحاور ومعادلاتها	75
المحاور وأعمدة الإدارة	76
الآخراف الرواية الناتج عن العزم	78
المحاور في حالة الانحناء	79
المحاور المعرضة لعزم المخناء وفضل مر كبين	79
محاور نقل القدرة	81
حساءة الفتيل	85
الحساءة الجانبية	86
العزوم	87
السرعة المفرطة	88

المعادلات التجريبية لمحاور نقل القدرة المصنوعة من الفولاذ	93
الأنظمة ذات محاور نقل القدرة المتعددة.....	94
المحاور القائدة.....	94
محاور المعاولة العلوية.....	95
محاور إدارة متوسطة	96
المحاور الوسيطة.....	96
الحدافات على المحاور (الدولاب المعدل).....	99
المحاور العمودية الخاصة بالمرج أو أوعية الخلط	101
معادلة الاستطاعة بالحصان البخاري.....	101
5 عناصر الآلات ومعادلات الوثوقية.....	103
النوابض	104
النوابض الحلزونية	104
التحميل الحانبي لنوابض الضغط.....	106
نوابض الشد الحلزونية	110
النوابض المخروطية.....	112
النوابض الحلزونية ذات الأسلامك المربعة والمستطيلة.....	113
نوابض القتل الحلزونية	118
النوابض ذات الأسلامك مربعة المقطع	119
النوابض ذات الأسلامك مستطيلة المقطع	120
نوابض الاستطاعة اللولبية والنوابض ثابتة القوة (NEG'ATOR)	121

نوابض الأقراص المخروطية أو نوابض Belleville	127
المعادات الخاصة باغراف وارتفاع المخروط الصغيرين	129
الحمل P المطبق داخل الحواف	130
النوابض المستوية والورقية.....	130
نابض الدعامة البارزة البسيط — عرض ثابت	130
نابض الدعامة البارزة البسيط ذو شكل شبه المنحرف.....	132
النوابض المستوية المعرضة لحملة مركبة محورية وجانبية.....	133
النوابض الورقية.....	135
نوابض قضبان القتل	138
عموميات	138
قضيب مصمت دائري المقطع.....	138
قضيب مفرغ دائري المقطع	139
قضيب مربع المقطع	139
قضيب مستطيل المقطع.....	140
نوابض القتل المحملة بواسطة ذراع	140
النوابض المطاطةة ونوابض الشبيت.....	141
نوابض القص أو التي على شكل شطائر	142
نوابض القص الاسطوانية	143
ارتفاع محوري ثابت	143
إجهاد ثابت	144
نوابض القتل الاسطوانية	145

145	ثابة السماكة
151	السيور المسطحة (الأقشطة)
151	طول السر
152	سرعة السر
153	قوة الشد المؤثرة على السر
153	الاستطاعة المنقوله
154	تصميم البكرات المصنوعة من حديد الصب
158	السيور التي على شكل حرف V
162	السلالس الاسطوانية الدوارة
164	السلالس الصامدة (سلالس ذات حلقات مفلطحة متباينة مع مسامير الربط)
165	المكابع ذات اللقم
169	الكوابع ذات السيور
173	الفاصل الواصل
173	الفاصل الواصل القرص
174	الفاصل الواصل المخروطي
174	الفاصل الواصل ذو السر
176	الفاصل الواصل ذو المدرجات الاسطوانية
178	الخوابير
181	المستنات
182	معادلات المشن المستقيم
184	حمل القدرة — السرعة

182	مثانة المسنن
186	الفورت (BACKLASH)
188	مرحلة التخفيض
189	المستنات المائلة (Helical Gear)
191	المستنات المخروطية
197	براغي ACME
198	الأعمدة في أجزاء الآلات
201	وثيقة عناصر الآلات والأنظمة
201	ملخص للمعادلات ذات الصلة بموضوع الوثيقة
207	تصميم دولاب GENEVA
207	معادلات التصميم
211	معادلات الإجهاد للاسطوانات الرقيقة
213	المعادلات التصميمية للتوازن المحني
216	المعادلات الهيدروديناميكية المقيدة أثناء تصميم المدحرجات (البليات)
223	المدحرجات (البليات)
231	الدولاب المعدل
237.....	6 معادلات تشغيل المعادن
236	سرعة القطع
236	سرعة تغذية أداة القطع
237	المحاور المخروطية

آلات التفريز.....	238
مقدار تقدم سكينة التفريز	240
عمق التفريز المطلوب لكان توضع الحابور.....	241
زمن الإنتاج (التشغيل)	242
طريقة الإنتاج المثلى.....	242
حجم المجموعة الأصغرى	243
زمن الخراطة.....	243
الزمن المطلوب لتبديل أدوات القطع.....	244
زمن إجراء الشدف (الشنفراة).....	244
زمن خراطة الوجه.....	245
أبعاد اللولب المطلوبة عند تشغيل اللولب	245
عمليات تشغيل القلاووظ	247
الزمن اللازم للقلوطة بذكر القلاووظ	248
الزمن اللازم لإجراء التفريز الجانبي.....	249
الزمن اللازم لتبديل أداة القطع للمقشطة.....	249
سرعة القطع للمقشطة.....	249
زمن القطع على المقشطة.....	250
معدّل التغذية للمحلحة المركبة	250
زمن التحليخ.....	251
زمن تفريز القلاووظ.....	252
الزمن اللازم للبشر	252

سرعة المشغولة وسرعة أداة قطع المستنات (التسنين).....	252
الزمن اللازم لتشغيل مسنن مستقيم.....	253
زمن تأثر (تحديد المحاور).....	254
الزمن اللازم للنشر عنشار المعادن.....	255
الزمن اللازم للنشر عنشار شريطي (ثلث).....	255
استطاعة المحرك المطلوبة لإنجاز عمليات القطع بالخرطة.....	255
7 معادلات التدفئة والتهوية والتكييف	257
معادلات التكييف	258
قوانين المروحة	258
معادلات تغير الهواء	259
معادلات تدفق الهواء.....	259
معادلات التسخين والتبريد بالهواء.....	260
نواتج التكيف المشكلة في مكيفات الهواء.....	262
معادلات توازن الهواء المطلوب.....	262
معادلات ترطيب الغرفة.....	263
تحديد درجة حرارة تكافف قطرات البخار على زجاج النوافذ.....	264
معادلات خصائص الهواء في مكيفات الهواء.....	265
معادلات نظام مبرد الماء	267
معادلات برج التبريد.....	268
معادلات نظام التسخين	269

269	ضياعات الضغط في أنابيب البحار.....
272	معادلات مسخنات الماء الساخن ذات الحجم المترتب.....
273	استطاعة التسخين للمشعات والمبادلات.....
274	تقدير هواء التزويد لغرفة اعتماداً على محتوى CO_2
275	المردود واستطاعة الدخل لمروحة الهواء.....
277	قطر بحرى الهواء الدايرى المقطوع المكافى للبحرى المستطيل.....
278	ضياعات الضغط في مجاري الهواء
279	الكبح الناتج عن وجود مصفاة هواء مغيرة.....
279	كمية الحرارة المتنقلة عبر الجدار
281	فرق درجات الحرارة الوسطى لوشائع تبريد نظام الماء المبرد.....
282	مردود برج التبريد
283	معادلات التسخين وتكييف الهواء بنظام SI وUSCS
286	المعادلات التبادلية بين التدفق واختفاض ضغط أنابيب البحار.....
287	معادلات نواتج التكيف على الأنابيب.....
287	معادلات مردود HVAC
288	معادلات غرفة الامتصاص المكافأة لنظام HVAC
289	المعادلات البسيكوكومترية
293	معادلات مزج الهواء (الهواء الخارجى والهواء المعاد).....
293	معادلات حمل التبريد
294	معادلات عوامل كمية الحرارة المحسوسة
295	معادلات عامل التمير الجانبي

295	معادلات درجة الحرارة عند الأجهزة
295	معادلة درجة حرارة هواء التزويد
296	معادلات كميات الهواء.....
297	أمثال ثوابت الهواء
298	المعادلات في حال وجود مصائد بخار.....
299	عامل الأمان
300	الجزء المراد تصميمه
301.....	8 معادلات термодинамик.....
302	مصطلحات وتعريف.....
305	معادلة الطاقة العامة
306	قوانين الغازات.....
307	الأطوار أو العمليات المطبقة على الغازات المثالية (النامة)
310	أداء الضواغط.....
310	مواصفات القياسية للضواغط الأدبياتية/إيزونتروبية)
311	مواصفات الضواغط التساري درجة الحرارة.....
311	مواصفات الضواغط متعددة المراحل.....
312	السعه
313	إزاحة المكبس.....
313	إزاحة المكبس.....
314	المردود الحجمي الظاهري.....

314	الاستطاعة النظرية للضواغط (KW)
315	مردود الضغط
315	الاستطاعة الفعلية hp
315	أداء المروحة
315	تعاريف
316	فرق الضغط المترافق والضغط الناتج عن السرعة وفرق الضغط الكلي
317	استطاعة المروحة
318	استطاعة المحور (SHP)
318	الصفات المميزة للمروحة
319	قوانين المروحة
319	ميزات الأداء للآلات المكبسية
319	الضغط الفعال الوسطي
321	الاستطاعة الظاهرية
321	استطاعة المحور أو الكبح
322	ضغط الكبح الفعال الوسطي أو ضغط الكبح الوسطي
322	ضغوط الاحتكاك الوسطية
322	المردود الميكانيكي
323	الedarات الحرارية للمحرك — النظرية
323	دارة كارنو (CARNOT
325	دارة اوتو (OTTO)
325	دارة ديزل DIESEL

326	دارة برايتون (BRAYTON)
327	دارة رانكين (RANKINE)
329	المسعر الخانق (Throttling Calorimeter)
330	العنفات الغازية
341.....	9 معادلات هندسة الطاقة.....
342	عوامل أداء منشآت الطاقة
342	أداء مولد البحار (المرجل)
342	رموز واصطلاحات
343	كمية الحرارة المضافة إلى بخار الماء
344	قدرة مولد البحار وكمية البحار الناتج
344	عامل التبخر (FE)
344	التبخر
345	مردود مولد البحار
345	الضياعات وتوازن كمية الحرارة
346	مولّدات البحار
350	أنواع الوقود والاحتراق
350	مقدار تسخين الوقود
351	نواتج الاحتراق
351	اهواء الزائد المضاف
351	العنفات البحارية

352	معدل الحرارة
355	معدل البحار للدارة ذات إعادة التسخين المتعدد
357	مردود مولد البحار التربيني ومعدل البحار.....
358	دارة المولد التربيني ذو الحرارة المستعادة: تحليل اختياري
360	أداء منشآت الطاقة اعتماداً على بيانات اختبار.....
361	المنشآت الميدرو كهربائية والعنفات الميدرو ليكية
361	رموز و اختصارات
362	استطاعة الماء.....
363	السرعة النوعية.....
363	النکھف.....
363	المكثفات ذات السطوح للعنفات البحارية
365	التوازن الحراري لمولد البحار.....
368	انخفاض الضغط في بخاري الماء المستقيمة بخاري مولد البحار.....
370	الأنباب التي على شكل U او مقاييس الضغط والسحب
370	الأنباب التي على شكل U
371	أنبوب التفاضلي.....
371	أنبوب التفاضلي القلوب.....
372	الأنباب المفلقة التي على شكل U
372	المقاييس المضاعفة

10	معادلات خاصة بـهندسة المواقع	375
376	الخاصة الشعرية	
381	مدخل إلى جريان المواقع	
383	مائلة النماذج الفيزيائية	
387	جريان المائع في الأنابيب	
387	الجريان الصفعي	
389	الجريان المضطرب	
390	معادلة Darcy-Weisbach	
391	معادلة Chezy	
391	معادلة Manning	
392	معادلة Hazen-Williams	
394	تغيرات الضغط (الارتفاع) الناتجة عن تغير حجم الأنابيب	
395	التوسيع المفاجئ	
395	التوسيع المتدرج (الموسعات المتدرجة)	
396	التضييق المفاجئ لحجم الأنابيب (التقلص المفاجئ للمقطع)	
397	ضياءات الانحناء والتوازم القياسية	
397	التدفق خلال التوافير	
397	تصريف نافورة إلى الماء الحر	
399	التوافير المغمورة بالماء	
400	معدل التصريف تحت ارتفاع هابط	

401	نفث المائع.....
402	تصريف النافورة إلى الأنابيب المخروطية المباعدة.....
403	طرق الماء.....
404	إجهادات الأنابيب العمودية على المحور الطولي.....
405	التمدد الحراري للأنبوب.....
406	القوى الناجمة عن اختيارات الأنابيب.....
408	الحجم الاقتصادي للأنباب الموزعة.....
409	تحديد القطر المناسب لأنابيب الماء والبخار.....
410	حساب التدفق عبر القياس بالفتوري.....
411	الجريان غير المنظم في الأقبية المفتوحة.....
412	الأقبية مستطللة المقطع.....
414	الأقبية مثلثة المقطع.....
415	الأقبية ذات المقطع على شكل قطع مكافئ.....
417	الأقبية التي لها مقطع شبه منحرف.....
418	الأقبية دائرية المقطع.....
419	المضخات.....
419	تعاريف.....
419	قياسات الارتفاع (فرق الضغط).....
420	القدرة (الطاقة).....
421	تحديد المراديد.....
422	ارتفاع السحب.....

423	الطاقة ضمن أنظمة الضغط
424	فرق الارتفاع الكلي للمضخة
427	معادلات الاستطاعة والضغط والتدفق للمضخة
429	ضياعات الضغط ضمن الأنابيب والملحقات
429	ارتفاع السحب الموجب الصافي للمضخات الترددية
430	ارتفاع السحب الموجب الصافي المتوفّر
430	ارتفاع الناتج عن التسارع
434	ارتفاع السحب الموجب الصافي لمضخات الطرد المركزي
436	المضخات اللولبية وارتفاع الامتصاص الأعظمي
439	السرعة النوعية للمضخات التجارية
440	سرعة السحب النوعية S
442	تشغيل المضخات الطاردة المركزية عند معدلات تدفق منخفضة
443	المستخرجات (المفرغات) Ejectors
443	مقدمة نظرية وتصميمية
447	تصميم محور المضخة
447	عيار التصميم
447	إجهاد الانحناء: يمكن حساب إجهادات الفتل في المحور بتطبيق المعادلين التاليين:
448	أنحراف (تشوه) المحور
449	حسابات استطاعة المضخة
449	استطاعة الخرج
450	استطاعة الدخل

450	= مردود المضخة
450	مردود المضخة
451	كيف تُشكّل جداول أنابيب الفولاذ
452	تقدير وزن الأنابيب تبعاً لكل قدم من الطول
453	معادلات الجريان الصفعي والمضرور في الأنابيب
453	مصطلحات ورموز
456	معادلات حりان الهواء ضمن الأنابيب والصمامات ولوارتها
456	مصطلحات ورموز
461	أنظمة امتصاص الهواء في محركات الاحتراق الداخلي
461	الأساسات لمحركات الاحتراق الداخلي
463.....	11 الاهتزازات
464	الاهتزازات الحرية غير المترددة
466	الاهتزازات الحرية المترددة
470	الاهتزازات القسرية
470	أ - حل الحالة الثابتة مع تحديد لرج
472	ب - عدم التوازن الدوراني والتردد
474	ج - حالة اهتزاز القاعدة (قيبيح القاعدة)
476	د - عزل الاهتزاز
478	هـ - تدويم المحاور الدوارة
480	الاهتزازات الفتيلية

480	أ - نظام فيه قرصين
481	ب - نظام فيه ثلاثة أقراص
483.....	الملاحق
484	الخواص الميكانيكية لحديد الصب مع غرافيت كروي
485	الخواص الميكانيكية لحديد الصب الرمادي
485	الخواص الميكانيكية للفولاذ ذو مقاومة الشد العالية
	الخواص الميكانيكية والصلادة للفولاذ الكربوني المطروق
486	المستخدم لأهداف هندسية عامة
487	مواصفات واستخدامات الفولاذ الكربوني
490	قيم إجهادات الشد والحضور للفولاذ الطرائق القياسي
491	خصائص واستخدامات الفولاذ الخلائطي
	الخواص الميكانيكية للفولاذ الأوتستيني المنعم البنية غير القابل للصدأ
496	قضبان، صافائح، ألواح، شرائط
497	خصائص حديد الزهر القياسي
498	الخصائص العامة للفولاذ الخلائطي والكربوني
503	قيم عوامل الأمان المضللة والموصى باستخدامها
503	جدول بعوامل الضرب الكبيرة والصغريرة
505	جدول المحتويات

لتحميل أنواع الكتب راجع: ([منتدي إقرأ الثقافى](#))

پیرای دائمی کتابی‌ای مختلف مراجعه: (منتدى اقرا المقاوم)

بِسْمِ اللَّهِ الرَّحْمَنِ الرَّحِيمِ جُوْرِدَاهَا كِتَابِ سَهْرَدَانِ: (مُفْتَدِي إِقْرَا النَّقَافِ)

www.iqra.ahlamontada.com



www.iqra.ahlamontada.com

للكتب (كوردي . عربي . فارسي)

Mechanical Engineering Portable Reference

دليل المهندس الميكانيكي

يعتبر هذا الدليل مرجعاً سهلاً يحوي آلاف المعادلات التي يحتاجها المهندس الميكانيكي في حياته العملية مجموعة في كتاب واحد. من الإجهادات إلى معادلات الاهتزازات وتصميم المدرجات والمسننات والسيور ومعادلات هندسة الطاقة وهندسة المواقع ومعادلات التدفئة والتكييف. وهناك أيضاً معادلات تجريبية وضعها مهندسون محترفون على مدار سنوات طويلة من الخبرة والعديد من المواضيع الهندسية التي يحتاجها كل مهندس ميكانيكي أثناء عمله.

30010



3480R0430375



<http://www.raypub.com>